



АКЦИОНЕРНОЕ ОБЩЕСТВО «КОТЭС»

Инжиниринговая фирма по проектированию энергетических, промышленных и гражданских объектов;  
энергоаудиту, наладке, испытаниям тепломеханического оборудования и систем автоматизации  
электростанций и промпредприятий

Саморегулируемая организация 01-П-2009  
Регистрационный номер 01-П №142 от 25.11.2009 г.

**Заказчик – ООО «АГК-1»**

**Завод по термическому обезвреживанию твердых коммунальных  
отходов мощностью не менее 700 000 тонн ТКО в год  
(Россия, Московская область)**

*МАТЕРИАЛЫ*

**ОЦЕНКА ВОЗДЕЙСТВИЯ НА ОКРУЖАЮЩУЮ СРЕДУ**

**Часть 1. Оценка воздействия на окружающую среду**

**Книга 4. Приложения, часть 3**

**159-17К/ПИР-ОВОС1.4**

**Том 1.4**

2017

Общество с Ограниченной Ответственностью  
«Институт Проектирования, Экологии и Гигиены»



Свидетельство №0137.09-2009-7840359581-П-031 от 23 июля 2015 г.

Заказчик - ООО «АГК-1»

«Завод по термическому обезвреживанию твердых коммунальных отходов мощностью не менее 700000 тонн ТКО в год (Россия, Московская область)»

МАТЕРИАЛЫ

ОЦЕНКА ВОЗДЕЙСТВИЯ НА ОКРУЖАЮЩУЮ СРЕДУ

Часть 1 «Оценка воздействия на окружающую среду»  
Книга 4 «Приложения, часть 3»

159-17К/ПИР-ОВОС1.4

Том 1.4

АО "КОТЭС"			
Договор № <u>268/159-17К/ПИР</u> от <u>15.08.2017</u>			
Доп. соглашение № _____ от _____			
ГИП (Руководитель работ)	<u>Евдокимов Е.В.</u> ф.и.о.	<u>[Signature]</u> Подпись	<u>15.08.17</u> Дата
Главный специалист	_____ ф.и.о.	_____ Подпись	_____ Дата
Главный специалист	_____ ф.и.о.	_____ Подпись	_____ Дата
И.З. № <u>217-707</u>	<u>[Signature]</u> Подпись	<u>[Signature]</u> Подпись	<u>15.08.17</u> Дата

Общество с Ограниченной Ответственностью  
«Институт Проектирования, Экологии и Гигиены»



Свидетельство №0137.09-2009-7840359581-П-031 от 23 июля 2015 г.

Заказчик - ООО «АГК-1»

«Завод по термическому обезвреживанию твердых коммунальных  
отходов мощностью не менее 700000 тонн ТКО в год (Россия,  
Московская область)»

*МАТЕРИАЛЫ*

**ОЦЕНКА ВОЗДЕЙСТВИЯ НА ОКРУЖАЮЩУЮ СРЕДУ**

**Часть 1 «Оценка воздействия на окружающую среду»  
Книга 4 «Приложения, часть 3»**

**159-17К/ПИР-ОВОС1.4**

**Том 1.4**

Генеральный директор

Главный инженер проекта



А.Ю. Ломтев

А.Г. Баландин

2017

Согласовано		
Взам. инв. №		
Подл. и дата		
Инв. № подл.		

Обозначение	Наименование	Примечание (№ стр, листа тома)
159-17К/ПИР-ОВОС1.4-С	Содержание тома	2
159-17К/ПИР-ОВОС-СП	Состав ОВОС	3
159-17К/ПИР-ОВОС1.4-ТЧ	Текстовая часть	4

Согласовано		

Взам. инв. №

Подп. и дата

Инв. № подл.

Изм.	Кол.уч	Лист	№ док.	Подп.	Дата
Разработал		Лебедева			10.17
Проверил		Смирнова			10.17
Рук. отд.		Синьлицкожа			10.17
Н. контр.		Давыдова			10.17
ГИП		Баландин			10.17

**159-17К/ПИР-ОВОС1.4-С**

Содержание тома

Стадия Лист Листов

II I



Номер тома	Обозначение	Наименование	Примечание
		Оценка воздействия на окружающую среду	
1.1	159-17К/ПИР-ОВОС1.1	Часть 1 «Пояснительная записка»	
1.2	159-17К/ПИР-ОВОС1.2	Часть 2 «Приложения» Книга 1 «Часть 1»	
1.3	159-17К/ПИР-ОВОС1.3	Часть 2 «Приложения» Книга 2 «Часть 2»	
1.4	159-17К/ПИР-ОВОС1.4	Часть 2 «Приложения» Книга 3 «Часть 3»	
1.5	159-17К/ПИР-ОВОС1.5	Часть 2 «Приложения» Книга 4 «Часть 4»	
		Оценка воздействия на окружающую среду. Материалы общественных обсуждений	
2.1	159-17К/ПИР-ОВОС2.1	Часть 1 «Пояснительная записка»	
2.2	159-17К/ПИР-ОВОС2.2	Часть 2 «Приложения по проведению общественных обсуждений технического задания на проведение ОВОС»	
2.3	159-17К/ПИР-ОВОС2.3	Часть 3 «Приложения по проведению общественных обсуждений материалов ОВОС»	

Согласовано

Взам. инв. №

Подп. и дата

Инв. № подл.

Изм.	Кол.уч	Лист	№док.	Подп.	Дата
Разработал		Лебедева			10.17
Проверил		Смирнова			10.17
Рук. отд.		Сивильщикова			10.17
Н. контр.		Давыдова			10.17
ГИП		Баландин			10.17

**159-17К/ПИР-ОВОС-СП****Состав ОВОС**

Стадия Лист Листов

II I








## СОДЕРЖАНИЕ

Приложение Р1 (обязательное) Карта-схема расположения расчетных точек для оценки шумового воздействия

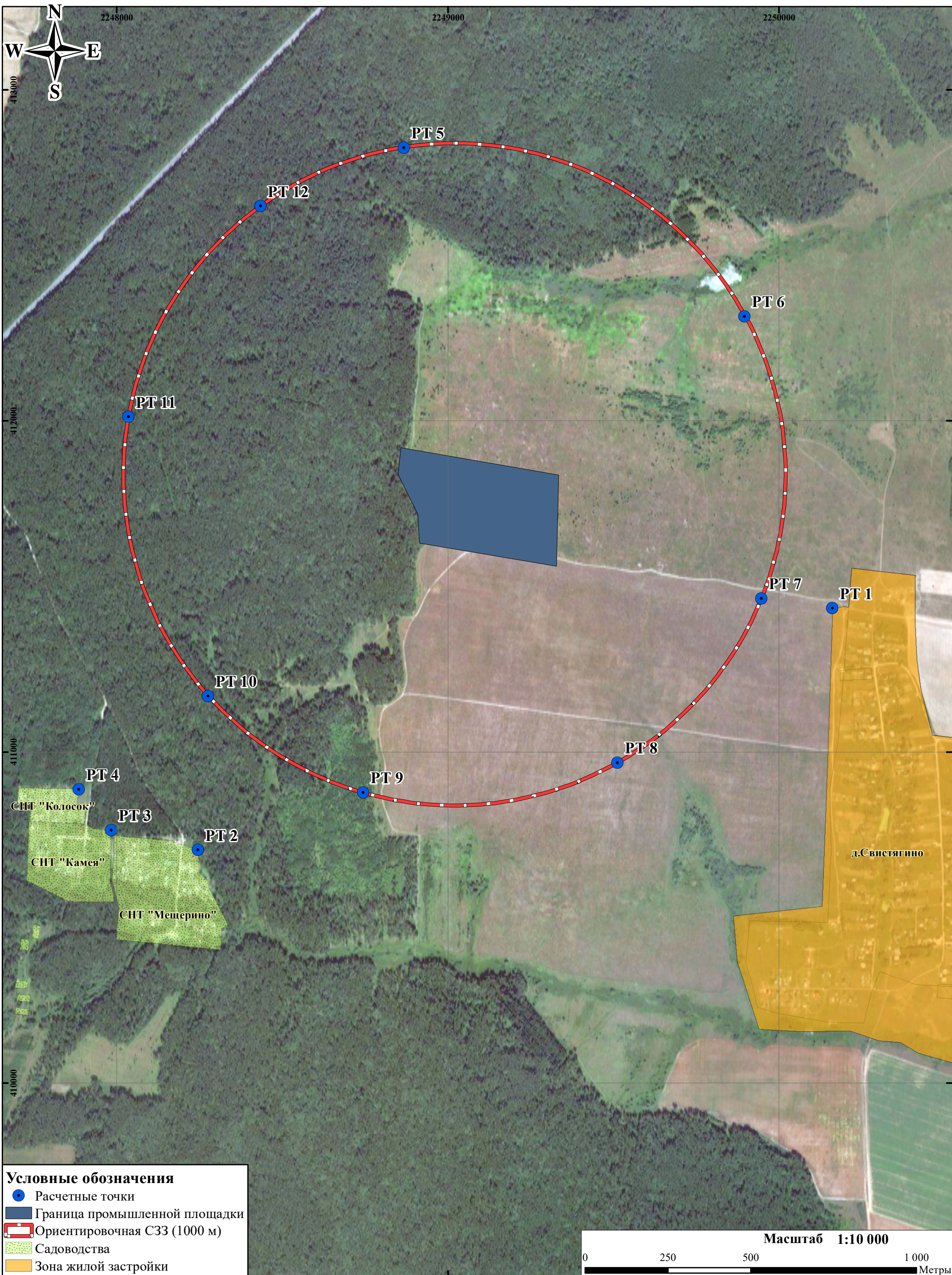
Приложение Р2 (обязательное) Карта-схема расположения источников шума для оценки шумового воздействия

Приложение С (обязательное) Результаты акустического расчета

Согласовано							<b>159-17К/ПИР-ОВОС1.4-ТЧ</b>					
Взам. инв. №												
Подп. и дата												
Инв. № подл.	Изм.	Кол.уч	Лист	№ док.	Подп.	Дата	<b>Текстовая часть</b>			Стадия	Лист	Листов
	Разработал		Лебедева			10.17				П	1	
	Проверил		Смирнова			10.17						
	Рук. отд.		Сивильщикова			10.17						
	Н. контр.		Давыдова			10.17						
	ГИП		Баландин			10.17						



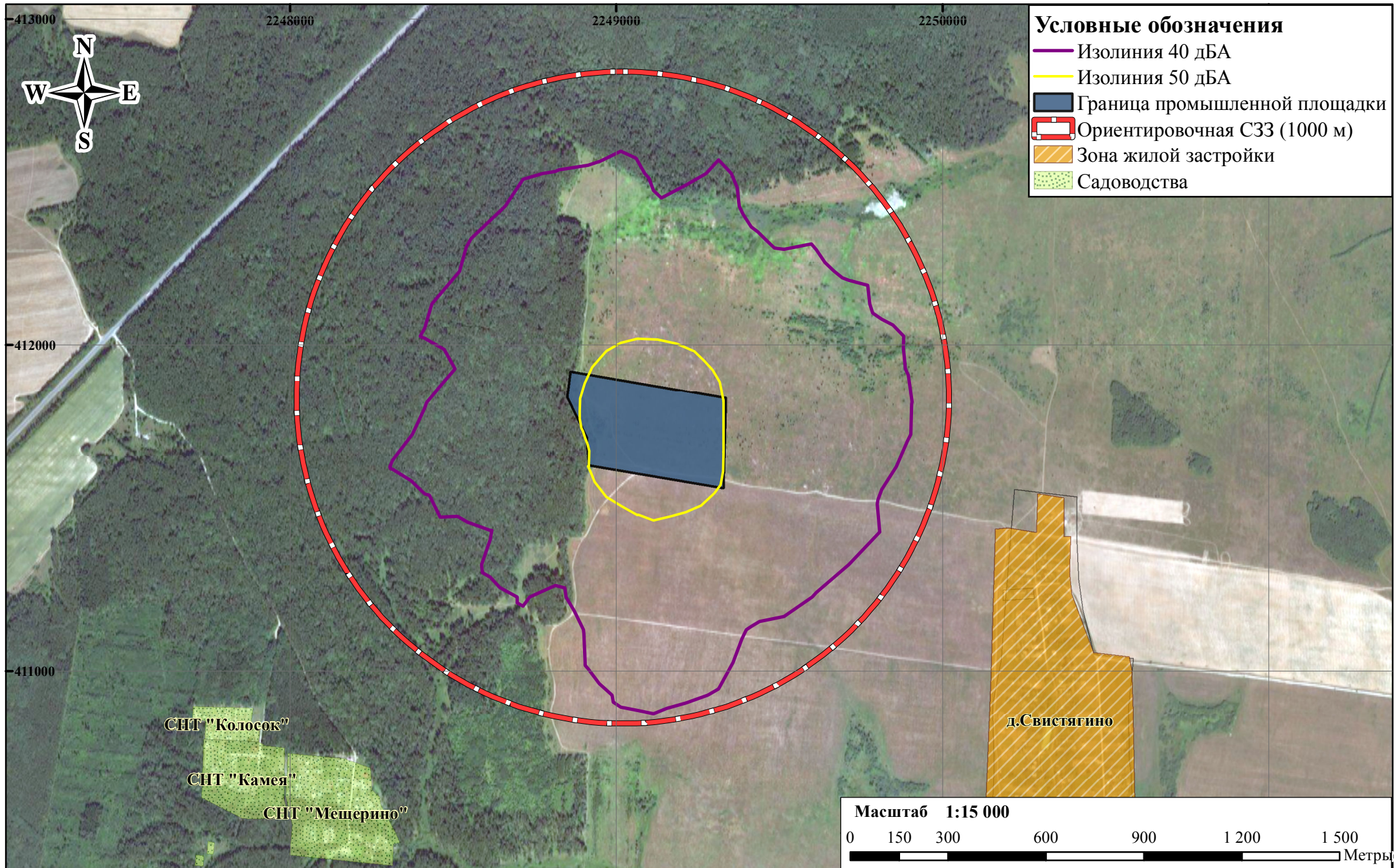
Карта-схема расположения расчетных точек для оценки шумового воздействия от источников  
завода по термическому обезвреживанию твердых коммунальных отходов мощностью не менее 700000 тонн ТКО в год





Приложение РЗ  
(обязательное)

Карта-схема положения изолиний допустимых уровней звука для дневного и для ночного времени суток на период эксплуатации завода по термическому обезвреживанию ТКО мощностью не менее 700000 тонн ТКО в год (Россия, Московская область)





Источ-ник шума	Характеристика	Уровни звукового давления, дБ, в октавных полосах, со среднегеометрическими частотами, Гц								La, дБА
		63	125	250	500	1000	2000	4000	8000	
<b>Итоговые результаты определения уровней звукового давления в РТ-1 (координаты точки, м: x = 2250161.10, y = 411429.80, z = 1.50)</b>										
ИШ-34	Уровни звукового давления от ИШ в РТ днём	5,3	0	12,4	8	0	0	0	0	7,3
	Уровни звукового давления от ИШ в РТ ночью	5,3	0	12,4	8	0	0	0	0	7,3
ИШ-35	Уровни звукового давления от ИШ в РТ днём	7,8	5,6	12,7	17,8	6,3	0	0	0	15,5
	Уровни звукового давления от ИШ в РТ ночью	7,8	5,6	12,7	17,8	6,3	0	0	0	15,5
ИШ-36	Уровни звукового давления от ИШ в РТ днём	9,5	1,2	0,2	6,2	0	0	0	0	3,4
	Уровни звукового давления от ИШ в РТ ночью	9,5	1,2	0,2	6,2	0	0	0	0	3,4
ИШ-37	Уровни звукового давления от ИШ в РТ днём	9,6	1,3	0,3	6,3	0	0	0	0	3,5
	Уровни звукового давления от ИШ в РТ ночью	9,6	1,3	0,3	6,3	0	0	0	0	3,5
ИШ-38	Уровни звукового давления от ИШ в РТ днём	9,7	1,4	0,4	6,5	0	0	0	0	3,7
	Уровни звукового давления от ИШ в РТ ночью	9,7	1,4	0,4	6,5	0	0	0	0	3,7
ИШ-39	Уровни звукового давления от ИШ в РТ днём	9,8	1,5	0,6	6,6	0	0	0	0	3,8
	Уровни звукового давления от ИШ в РТ ночью	9,8	1,5	0,6	6,6	0	0	0	0	3,8
ИШ-40	Уровни звукового давления от ИШ в РТ днём	20,4	12,2	11,2	17,3	9,8	0	0	0	15,8
	Уровни звукового давления от ИШ в РТ ночью	20,4	12,2	11,2	17,3	9,8	0	0	0	15,8
ИШ-41	Уровни звукового давления от ИШ в РТ днём	0	0	0	0	0	0	0	0	0
	Уровни звукового давления от ИШ в РТ ночью	0	0	0	0	0	0	0	0	0
ИШ-42	Уровни звукового давления от ИШ в РТ днём	0	0	0	0	0	0	0	0	0
	Уровни звукового давления от ИШ в РТ ночью	0	0	0	0	0	0	0	0	0
ИШ-43	Уровни звукового давления от ИШ в РТ днём	0	0	0	0	0	0	0	0	0
	Уровни звукового давления от ИШ в РТ ночью	0	0	0	0	0	0	0	0	0
ИШ-44	Уровни звукового давления от ИШ в РТ днём	0	0	0	0	0	0	0	0	0
	Уровни звукового давления от ИШ в РТ ночью	0	0	0	0	0	0	0	0	0
ИШ-45	Уровни звукового давления от ИШ в РТ днём	0	0	0	0	0	0	0	0	0
	Уровни звукового давления от ИШ в РТ ночью	0	0	0	0	0	0	0	0	0
ИШ-46	Уровни звукового давления от ИШ в РТ днём	12,7	16,6	16,6	11,6	5,5	0	0	0	12,5
	Уровни звукового давления от ИШ в РТ ночью	12,7	16,6	16,6	11,6	5,5	0	0	0	12,5
ИШ-47	Уровни звукового давления от ИШ в РТ днём	14,6	18,4	17,4	11,4	5,3	0	0	0	12,9
	Уровни звукового давления от ИШ в РТ ночью	14,6	18,4	17,4	11,4	5,3	0	0	0	12,9
ИШ-48	Уровни звукового давления от ИШ в РТ днём	12	0	15,8	10,8	0	0	0	0	10,4
	Уровни звукового давления от ИШ в РТ ночью	12	0	15,8	10,8	0	0	0	0	10,4
ИШ-49	Уровни звукового давления от ИШ в РТ днём	20,4	11,1	10,1	16	8,1	0	0	0	14,4
	Уровни звукового давления от ИШ в РТ ночью	20,4	11,1	10,1	16	8,1	0	0	0	14,4
ИШ-50	Уровни звукового давления от ИШ в РТ днём	17,4	8,1	7,2	13,2	5,5	0	0	0	11,6
	Уровни звукового давления от ИШ в РТ ночью	17,4	8,1	7,2	13,2	5,5	0	0	0	11,6
ИШ-51	Уровни звукового давления от ИШ в РТ днём	17,4	8,1	7,2	13,1	5,5	0	0	0	11,6
	Уровни звукового давления от ИШ в РТ ночью	17,4	8,1	7,2	13,1	5,5	0	0	0	11,6
ИШ-52	Уровни звукового давления от ИШ в РТ днём	17,5	8,2	7,2	13,2	5,6	0	0	0	11,6
	Уровни звукового давления от ИШ в РТ ночью	17,5	8,2	7,2	13,2	5,6	0	0	0	11,6
ИШ-53	Уровни звукового давления от ИШ в РТ днём	17,5	8,2	7,2	13	4,9	0	0	0	11,3
	Уровни звукового давления от ИШ в РТ ночью	17,5	8,2	7,2	13	4,9	0	0	0	11,3
ИШ-54	Уровни звукового давления от ИШ в РТ днём	17,5	8,2	7,3	13,3	5,7	0	0	0	11,7
	Уровни звукового давления от ИШ в РТ ночью	17,5	8,2	7,3	13,3	5,7	0	0	0	11,7
ИШ-55	Уровни звукового давления от ИШ в РТ днём	17,5	8,2	7,3	13,3	5,6	0	0	0	11,7
	Уровни звукового давления от ИШ в РТ ночью	17,5	8,2	7,3	13,3	5,6	0	0	0	11,7
ИШ-56	Уровни звукового давления от ИШ в РТ днём	17,5	8,2	7,3	13,3	5,6	0	0	0	11,7
	Уровни звукового давления от ИШ в РТ ночью	17,5	8,2	7,3	13,3	5,6	0	0	0	11,7
ИШ-57	Уровни звукового давления от ИШ в РТ днём	17,6	8,2	7	12,3	3,5	0	0	0	10,6
	Уровни звукового давления от ИШ в РТ ночью	17,6	8,2	7	12,3	3,5	0	0	0	10,6
ИШ-58	Уровни звукового давления от ИШ в РТ днём	17,7	8,4	7,4	13,5	5,9	0	0	0	11,9
	Уровни звукового давления от ИШ в РТ ночью	17,7	8,4	7,4	13,5	5,9	0	0	0	11,9
ИШ-59	Уровни звукового давления от ИШ в РТ днём	17,7	8,4	7,4	13,5	5,9	0	0	0	11,9
	Уровни звукового давления от ИШ в РТ ночью	17,7	8,4	7,4	13,5	5,9	0	0	0	11,9
ИШ-60	Уровни звукового давления от ИШ в РТ днём	17,7	8,4	7,4	13,4	5,9	0	0	0	11,9
	Уровни звукового давления от ИШ в РТ ночью	17,7	8,4	7,4	13,4	5,9	0	0	0	11,9
ИШ-61	Уровни звукового давления от ИШ в РТ днём	17,7	8,5	7,5	13,6	6	0	0	0	12
	Уровни звукового давления от ИШ в РТ ночью	17,7	8,5	7,5	13,6	6	0	0	0	12
ИШ-62	Уровни звукового давления от ИШ в РТ днём	18	7,4	4,1	7	0	0	0	0	4,9
	Уровни звукового давления от ИШ в РТ ночью	18	7,4	4,1	7	0	0	0	0	4,9
ИШ-63	Уровни звукового давления от ИШ в РТ днём	17,8	8,5	7,6	13,7	6,1	0	0	0	12,2
	Уровни звукового давления от ИШ в РТ ночью	17,8	8,5	7,6	13,7	6,1	0	0	0	12,2
ИШ-64	Уровни звукового давления от ИШ в РТ днём	17,8	8,5	7,6	13,7	6,1	0	0	0	12,1
	Уровни звукового давления от ИШ в РТ ночью	17,8	8,5	7,6	13,7	6,1	0	0	0	12,1
ИШ-65	Уровни звукового давления от ИШ в РТ днём	17,4	8,1	7,1	13,1	5,4	0	0	0	11,5
	Уровни звукового давления от ИШ в РТ ночью	17,4	8,1	7,1	13,1	5,4	0	0	0	11,5
ИШ-66	Уровни звукового давления от ИШ в РТ днём	12,4	0,1	0	0	0	0	0	0	0
	Уровни звукового давления от ИШ в РТ ночью	12,4	0,1	0	0	0	0	0	0	0
ИШ-67	Уровни звукового давления от ИШ в РТ днём	17,5	8,2	7,3	13,3	5,6	0	0	0	11,7



Источ- ник шума	Характеристика	Уровни звукового давления, дБ, в октавных полосах, со среднегеометрическими частотами, Гц								L <sub>a</sub> , дБА
		63	125	250	500	1000	2000	4000	8000	
<b>Итоговые результаты определения уровней звукового давления в РТ-1 (координаты точки, м: x = 2250161.10, y = 411429.80, z = 1.50)</b>										
ИШ-101	Уровни звукового давления от ИШ в РТ днём	0	0	0	0	0	0	0	0	0
	Уровни звукового давления от ИШ в РТ ночью	0	0	0	0	0	0	0	0	0
ИШ-102	Уровни звукового давления от ИШ в РТ днём	0	0	0	0	0	0	0	0	0
	Уровни звукового давления от ИШ в РТ ночью	0	0	0	0	0	0	0	0	0
ИШ-103	Уровни звукового давления от ИШ в РТ днём	10,2	10	7,1	1	0	0	0	0	2
	Уровни звукового давления от ИШ в РТ ночью	10,2	10	7,1	1	0	0	0	0	2
ИШ-104	Уровни звукового давления от ИШ в РТ днём	13,2	13,1	10,1	4	0	0	0	0	5
	Уровни звукового давления от ИШ в РТ ночью	13,2	13,1	10,1	4	0	0	0	0	5
ИШ-105	Уровни звукового давления от ИШ в РТ днём	10,2	10	7,1	1	0	0	0	0	2
	Уровни звукового давления от ИШ в РТ ночью	10,2	10	7,1	1	0	0	0	0	2
ИШ-106	Уровни звукового давления от ИШ в РТ днём	10,2	10	7,1	1	0	0	0	0	2
	Уровни звукового давления от ИШ в РТ ночью	10,2	10	7,1	1	0	0	0	0	2
ИШ-107	Уровни звукового давления от ИШ в РТ днём	0	0	0	0	0	0	0	0	0
	Уровни звукового давления от ИШ в РТ ночью	0	0	0	0	0	0	0	0	0
ИШ-108	Уровни звукового давления от ИШ в РТ днём	0	0	0	0	0	0	0	0	0
	Уровни звукового давления от ИШ в РТ ночью	0	0	0	0	0	0	0	0	0
ИШ-109	Уровни звукового давления от ИШ в РТ днём	0	0	0	0	0	0	0	0	0
	Уровни звукового давления от ИШ в РТ ночью	0	0	0	0	0	0	0	0	0
ИШ-110	Уровни звукового давления от ИШ в РТ днём	0	0	0	0	0	0	0	0	0
	Уровни звукового давления от ИШ в РТ ночью	0	0	0	0	0	0	0	0	0
ИШ-111	Уровни звукового давления от ИШ в РТ днём	7,2	7	4	0	0	0	0	0	0
	Уровни звукового давления от ИШ в РТ ночью	7,2	7	4	0	0	0	0	0	0
ИШ-112	Уровни звукового давления от ИШ в РТ днём	11,9	11,8	8,8	0	0	0	0	0	1,6
	Уровни звукового давления от ИШ в РТ ночью	11,9	11,8	8,8	0	0	0	0	0	1,6
ИШ-113	Уровни звукового давления от ИШ в РТ днём	10,4	10,2	7,2	0	0	0	0	0	0,1
	Уровни звукового давления от ИШ в РТ ночью	10,4	10,2	7,2	0	0	0	0	0	0,1
ИШ-114	Уровни звукового давления от ИШ в РТ днём	10,4	10,2	7,2	0	0	0	0	0	0,1
	Уровни звукового давления от ИШ в РТ ночью	10,4	10,2	7,2	0	0	0	0	0	0,1
ИШ-115	Уровни звукового давления от ИШ в РТ днём	0	0	0	0	0	0	0	0	0
	Уровни звукового давления от ИШ в РТ ночью	0	0	0	0	0	0	0	0	0
ИШ-116	Уровни звукового давления от ИШ в РТ днём	0	0	0	0	0	0	0	0	0
	Уровни звукового давления от ИШ в РТ ночью	0	0	0	0	0	0	0	0	0
ИШ-117	Уровни звукового давления от ИШ в РТ днём	18,1	19,2	19,4	17,5	14,1	5,3	0	0	18,5
	Уровни звукового давления от ИШ в РТ ночью	18,1	19,2	19,4	17,5	14,1	5,3	0	0	18,5
ИШ-118	Уровни звукового давления от ИШ в РТ днём	15,1	9,7	11,3	0	0	0	0	0	3,4
	Уровни звукового давления от ИШ в РТ ночью	15,1	9,7	11,3	0	0	0	0	0	3,4
ИШ-119	Уровни звукового давления от ИШ в РТ днём	9,2	1,5	10,5	0	0	0	0	0	2
	Уровни звукового давления от ИШ в РТ ночью	9,2	1,5	10,5	0	0	0	0	0	2
ИШ-120	Уровни звукового давления от ИШ в РТ днём	24,2	19,8	17,6	0	0	0	0	0	10,4
	Уровни звукового давления от ИШ в РТ ночью	24,2	19,8	17,6	0	0	0	0	0	10,4
ИШ-121	Уровни звукового давления от ИШ в РТ днём	27,3	22,9	16,7	0	0	0	0	0	11
	Уровни звукового давления от ИШ в РТ ночью	27,3	22,9	16,7	0	0	0	0	0	11
ИШ-122	Уровни звукового давления от ИШ в РТ днём	0	0	14,8	11,4	5,9	0	0	0	11,7
	Уровни звукового давления от ИШ в РТ ночью	0	0	14,8	11,4	5,9	0	0	0	11,7
ИШ-123	Уровни звукового давления от ИШ в РТ днём	7,1	14,4	16,7	13,8	5,6	0	0	0	13,5
	Уровни звукового давления от ИШ в РТ ночью	7,1	14,4	16,7	13,8	5,6	0	0	0	13,5
ИШ-124	Уровни звукового давления от ИШ в РТ днём	14,9	16,1	16,6	15,3	12,8	5,6	0	0	16,8
	Уровни звукового давления от ИШ в РТ ночью	14,9	16,1	16,6	15,3	12,8	5,6	0	0	16,8
ИШ-125	Уровни звукового давления от ИШ в РТ днём	17,4	19,4	16,5	10,5	2,7	0	0	0	12
	Уровни звукового давления от ИШ в РТ ночью	0	0	0	0	0	0	0	0	0
ИШ-130	Уровни звукового давления от ИШ в РТ днём	6,8	0	0	0	0	0	0	0	0
	Уровни звукового давления от ИШ в РТ ночью	0	0	0	0	0	0	0	0	0
ИШ-131	Уровни звукового давления от ИШ в РТ днём	0	0	3,2	0	0	0	0	0	0
	Уровни звукового давления от ИШ в РТ ночью	0	0	3,2	0	0	0	0	0	0
ИШ-133	Уровни звукового давления от ИШ в РТ днём	15,2	15,7	15,6	13,5	9,7	0	0	0	14,2
	Уровни звукового давления от ИШ в РТ ночью	0	0	0	0	0	0	0	0	0
ИШ-134	Уровни звукового давления от ИШ в РТ днём	12,3	10,6	7	1,8	0	0	0	0	2,4
	Уровни звукового давления от ИШ в РТ ночью	12,3	10,6	7	1,8	0	0	0	0	2,4
Суммарные УЗД в РТ от всех ИШ днём, Л <sub>рт</sub> , дБ		49,1	42,1	39,8	36	29,2	23,6	0	0	36,9
Суммарные УЗД в РТ от всех ИШ ночью, Л <sub>рт</sub> , дБ		49,1	42,1	39,7	36	29,1	23,6	0	0	36,9
Допускаемые УЗД днём, L <sub>доп</sub> , дБ   территория у жилого дома		70	61	54	49	45	42	40	39	50
Допускаемые УЗД ночью, L <sub>доп</sub> , дБ   территория у жилого дома		62	52	44	39	35	32	30	28	40
с учётом поправки -5 дБ на работу технологического оборудования										
Превышение днём, дБ		-20,9	-18,9	-14,2	-13	-15,8	-18,4	-40	-39	-13,1
Превышение ночью, дБ		-12,9	-9,9	-4,3	-3	-5,9	-8,4	-30	-28	-3,1
Изоляция помещением проникающего звука, дБ		10	10	12	14	16	18	18	18	
Суммарные УЗД в помещении днём, L <sub>пом</sub> , дБ		39,1	32,1	27,8	22	13,2	5,6	0	0	23,9















Источ- ник шума	Характеристика	Уровни звукового давления, дБ, в октавных полосах, со среднегеометрическими частотами, Гц								La, дБА
		63	125	250	500	1000	2000	4000	8000	
<b>Итоговые результаты определения уровней звукового давления в РТ-3 (координаты точки, м: x = 2247982.80, y = 410762.20, z = 1.50)</b>										
ИШ-31	Уровни звукового давления от ИШ в РТ днём	0	0	0	0	0	0	0	0	0
	Уровни звукового давления от ИШ в РТ ночью	0	0	0	0	0	0	0	0	0
ИШ-32	Уровни звукового давления от ИШ в РТ днём	0	0	0	0	0	0	0	0	0
	Уровни звукового давления от ИШ в РТ ночью	0	0	0	0	0	0	0	0	0
ИШ-33	Уровни звукового давления от ИШ в РТ днём	0	0	0	0	0	0	0	0	0
	Уровни звукового давления от ИШ в РТ ночью	0	0	0	0	0	0	0	0	0
ИШ-34	Уровни звукового давления от ИШ в РТ днём	0	0	0	0	0	0	0	0	0
	Уровни звукового давления от ИШ в РТ ночью	0	0	0	0	0	0	0	0	0
ИШ-35	Уровни звукового давления от ИШ в РТ днём	0	0	0	0	0	0	0	0	0
	Уровни звукового давления от ИШ в РТ ночью	0	0	0	0	0	0	0	0	0
ИШ-36	Уровни звукового давления от ИШ в РТ днём	18,9	10,6	9,5	15,2	7,2	0	0	0	13,6
	Уровни звукового давления от ИШ в РТ ночью	18,9	10,6	9,5	15,2	7,2	0	0	0	13,6
ИШ-37	Уровни звукового давления от ИШ в РТ днём	18,9	10,6	9,5	15,5	7,1	0	0	0	13,8
	Уровни звукового давления от ИШ в РТ ночью	18,9	10,6	9,5	15,5	7,1	0	0	0	13,8
ИШ-38	Уровни звукового давления от ИШ в РТ днём	18,8	10,5	9,4	15,4	7	0	0	0	13,7
	Уровни звукового давления от ИШ в РТ ночью	18,8	10,5	9,4	15,4	7	0	0	0	13,7
ИШ-39	Уровни звукового давления от ИШ в РТ днём	18,8	10,4	9,3	15,3	6,9	0	0	0	13,6
	Уровни звукового давления от ИШ в РТ ночью	18,8	10,4	9,3	15,3	6,9	0	0	0	13,6
ИШ-40	Уровни звукового давления от ИШ в РТ днём	18,7	10,4	9,3	15,3	6,8	0	0	0	13,5
	Уровни звукового давления от ИШ в РТ ночью	18,7	10,4	9,3	15,3	6,8	0	0	0	13,5
ИШ-41	Уровни звукового давления от ИШ в РТ днём	0	0	0	0	0	0	0	0	0
	Уровни звукового давления от ИШ в РТ ночью	0	0	0	0	0	0	0	0	0
ИШ-42	Уровни звукового давления от ИШ в РТ днём	0	0	0	0	0	0	0	0	0
	Уровни звукового давления от ИШ в РТ ночью	0	0	0	0	0	0	0	0	0
ИШ-43	Уровни звукового давления от ИШ в РТ днём	0	0	0	0	0	0	0	0	0
	Уровни звукового давления от ИШ в РТ ночью	0	0	0	0	0	0	0	0	0
ИШ-44	Уровни звукового давления от ИШ в РТ днём	0	0	0	0	0	0	0	0	0
	Уровни звукового давления от ИШ в РТ ночью	0	0	0	0	0	0	0	0	0
ИШ-45	Уровни звукового давления от ИШ в РТ днём	0	0	0	0	0	0	0	0	0
	Уровни звукового давления от ИШ в РТ ночью	0	0	0	0	0	0	0	0	0
ИШ-46	Уровни звукового давления от ИШ в РТ днём	0	0	0	0	0	0	0	0	0
	Уровни звукового давления от ИШ в РТ ночью	0	0	0	0	0	0	0	0	0
ИШ-47	Уровни звукового давления от ИШ в РТ днём	0	0	0	0	0	0	0	0	0
	Уровни звукового давления от ИШ в РТ ночью	0	0	0	0	0	0	0	0	0
ИШ-48	Уровни звукового давления от ИШ в РТ днём	0	0	0	0	0	0	0	0	0
	Уровни звукового давления от ИШ в РТ ночью	0	0	0	0	0	0	0	0	0
ИШ-49	Уровни звукового давления от ИШ в РТ днём	26,8	17,5	16,4	22,1	14	0	0	0	20,4
	Уровни звукового давления от ИШ в РТ ночью	26,8	17,5	16,4	22,1	14	0	0	0	20,4
ИШ-50	Уровни звукового давления от ИШ в РТ днём	16,7	6,4	3,5	6,6	0	0	0	0	4,3
	Уровни звукового давления от ИШ в РТ ночью	16,7	6,4	3,5	6,6	0	0	0	0	4,3
ИШ-51	Уровни звукового давления от ИШ в РТ днём	22,2	13,1	12,6	19,8	13,7	0	0	0	18,6
	Уровни звукового давления от ИШ в РТ ночью	22,2	13,1	12,6	19,8	13,7	0	0	0	18,6
ИШ-52	Уровни звукового давления от ИШ в РТ днём	17,2	7,3	5,7	10,7	1,6	0	0	0	8,9
	Уровни звукового давления от ИШ в РТ ночью	17,2	7,3	5,7	10,7	1,6	0	0	0	8,9
ИШ-53	Уровни звукового давления от ИШ в РТ днём	26,8	17,4	16,3	22	13,9	0	0	0	20,4
	Уровни звукового давления от ИШ в РТ ночью	26,8	17,4	16,3	22	13,9	0	0	0	20,4
ИШ-54	Уровни звукового давления от ИШ в РТ днём	16,1	6,8	5,6	11,3	3,2	0	0	0	9,7
	Уровни звукового давления от ИШ в РТ ночью	16,1	6,8	5,6	11,3	3,2	0	0	0	9,7
ИШ-55	Уровни звукового давления от ИШ в РТ днём	16,1	6,7	5,6	11,2	3,1	0	0	0	9,6
	Уровни звукового давления от ИШ в РТ ночью	16,1	6,7	5,6	11,2	3,1	0	0	0	9,6
ИШ-56	Уровни звукового давления от ИШ в РТ днём	16	6,6	5,4	10,8	2,2	0	0	0	9,1
	Уровни звукового давления от ИШ в РТ ночью	16	6,6	5,4	10,8	2,2	0	0	0	9,1
ИШ-57	Уровни звукового давления от ИШ в РТ днём	26,7	17,4	16,3	21,9	13,8	0	0	0	20,3
	Уровни звукового давления от ИШ в РТ ночью	26,7	17,4	16,3	21,9	13,8	0	0	0	20,3
ИШ-58	Уровни звукового давления от ИШ в РТ днём	16	6,7	5,6	11,2	3,1	0	0	0	9,6
	Уровни звукового давления от ИШ в РТ ночью	16	6,7	5,6	11,2	3,1	0	0	0	9,6
ИШ-59	Уровни звукового давления от ИШ в РТ днём	16	6,6	5,5	11,1	3	0	0	0	9,5
	Уровни звукового давления от ИШ в РТ ночью	16	6,6	5,5	11,1	3	0	0	0	9,5
ИШ-60	Уровни звукового давления от ИШ в РТ днём	15,9	6,6	5,4	11	2,9	0	0	0	9,4
	Уровни звукового давления от ИШ в РТ ночью	15,9	6,6	5,4	11	2,9	0	0	0	9,4
ИШ-61	Уровни звукового давления от ИШ в РТ днём	15,9	6,5	5,4	11	2,8	0	0	0	9,3
	Уровни звукового давления от ИШ в РТ ночью	15,9	6,5	5,4	11	2,8	0	0	0	9,3
ИШ-62	Уровни звукового давления от ИШ в РТ днём	26,6	17,3	16,2	21,8	13,6	0	0	0	20,1
	Уровни звукового давления от ИШ в РТ ночью	26,6	17,3	16,2	21,8	13,6	0	0	0	20,1
ИШ-63	Уровни звукового давления от ИШ в РТ днём	15,9	6,6	5,4	11	2,9	0	0	0	9,4
	Уровни звукового давления от ИШ в РТ ночью	15,9	6,6	5,4	11	2,9	0	0	0	9,4
ИШ-64	Уровни звукового давления от ИШ в РТ днём	15,9	6,5	5,4	10,9	2,7	0	0	0	9,3



Источ-ник шума	Характеристика	Уровни звукового давления, дБ, в октавных полосах, со среднегеометрическими частотами, Гц								La, дБА
		63	125	250	500	1000	2000	4000	8000	
Итоговые результаты определения уровней звукового давления в РТ-3 (координаты точки, м: x = 2247982.80, y = 410762.20, z = 1.50)										
ИШ-98	Уровни звукового давления от ИШ в РТ днём	0	0	0	0	0	0	0	0	0
	Уровни звукового давления от ИШ в РТ ночью	0	0	0	0	0	0	0	0	0
ИШ-99	Уровни звукового давления от ИШ в РТ днём	0	0	0	0	0	0	0	0	0
	Уровни звукового давления от ИШ в РТ ночью	0	0	0	0	0	0	0	0	0
ИШ-100	Уровни звукового давления от ИШ в РТ днём	0	0	0	0	0	0	0	0	0
	Уровни звукового давления от ИШ в РТ ночью	0	0	0	0	0	0	0	0	0
ИШ-101	Уровни звукового давления от ИШ в РТ днём	0	0	0	0	0	0	0	0	0
	Уровни звукового давления от ИШ в РТ ночью	0	0	0	0	0	0	0	0	0
ИШ-102	Уровни звукового давления от ИШ в РТ днём	0	0	0	0	0	0	0	0	0
	Уровни звукового давления от ИШ в РТ ночью	0	0	0	0	0	0	0	0	0
ИШ-103	Уровни звукового давления от ИШ в РТ днём	0	0	0	0	0	0	0	0	0
	Уровни звукового давления от ИШ в РТ ночью	0	0	0	0	0	0	0	0	0
ИШ-104	Уровни звукового давления от ИШ в РТ днём	0	0	0	0	0	0	0	0	0
	Уровни звукового давления от ИШ в РТ ночью	0	0	0	0	0	0	0	0	0
ИШ-105	Уровни звукового давления от ИШ в РТ днём	0	0	0	0	0	0	0	0	0
	Уровни звукового давления от ИШ в РТ ночью	0	0	0	0	0	0	0	0	0
ИШ-106	Уровни звукового давления от ИШ в РТ днём	0	0	0	0	0	0	0	0	0
	Уровни звукового давления от ИШ в РТ ночью	0	0	0	0	0	0	0	0	0
ИШ-107	Уровни звукового давления от ИШ в РТ днём	0	0	0	0	0	0	0	0	0
	Уровни звукового давления от ИШ в РТ ночью	0	0	0	0	0	0	0	0	0
ИШ-108	Уровни звукового давления от ИШ в РТ днём	0	0	0	0	0	0	0	0	0
	Уровни звукового давления от ИШ в РТ ночью	0	0	0	0	0	0	0	0	0
ИШ-109	Уровни звукового давления от ИШ в РТ днём	0	0	0	0	0	0	0	0	0
	Уровни звукового давления от ИШ в РТ ночью	0	0	0	0	0	0	0	0	0
ИШ-110	Уровни звукового давления от ИШ в РТ днём	0	0	0	0	0	0	0	0	0
	Уровни звукового давления от ИШ в РТ ночью	0	0	0	0	0	0	0	0	0
ИШ-111	Уровни звукового давления от ИШ в РТ днём	0	0	0	0	0	0	0	0	0
	Уровни звукового давления от ИШ в РТ ночью	0	0	0	0	0	0	0	0	0
ИШ-112	Уровни звукового давления от ИШ в РТ днём	0	0	0	0	0	0	0	0	0
	Уровни звукового давления от ИШ в РТ ночью	0	0	0	0	0	0	0	0	0
ИШ-113	Уровни звукового давления от ИШ в РТ днём	0	0	0	0	0	0	0	0	0
	Уровни звукового давления от ИШ в РТ ночью	0	0	0	0	0	0	0	0	0
ИШ-114	Уровни звукового давления от ИШ в РТ днём	0	0	0	0	0	0	0	0	0
	Уровни звукового давления от ИШ в РТ ночью	0	0	0	0	0	0	0	0	0
ИШ-115	Уровни звукового давления от ИШ в РТ днём	0	0	0	0	0	0	0	0	0
	Уровни звукового давления от ИШ в РТ ночью	0	0	0	0	0	0	0	0	0
ИШ-116	Уровни звукового давления от ИШ в РТ днём	0	0	0	0	0	0	0	0	0
	Уровни звукового давления от ИШ в РТ ночью	0	0	0	0	0	0	0	0	0
ИШ-117	Уровни звукового давления от ИШ в РТ днём	16,1	17,1	17,2	14,9	11,2	1,6	0	0	15,8
	Уровни звукового давления от ИШ в РТ ночью	16,1	17,1	17,2	14,9	11,2	1,6	0	0	15,8
ИШ-118	Уровни звукового давления от ИШ в РТ днём	6,1	0	0	0	0	0	0	0	0
	Уровни звукового давления от ИШ в РТ ночью	6,1	0	0	0	0	0	0	0	0
ИШ-119	Уровни звукового давления от ИШ в РТ днём	19,9	15,3	8,7	0	0	0	0	0	3,2
	Уровни звукового давления от ИШ в РТ ночью	19,9	15,3	8,7	0	0	0	0	0	3,2
ИШ-120	Уровни звукового давления от ИШ в РТ днём	19,9	15,3	8,7	0	0	0	0	0	3,2
	Уровни звукового давления от ИШ в РТ ночью	19,9	15,3	8,7	0	0	0	0	0	3,2
ИШ-121	Уровни звукового давления от ИШ в РТ днём	6	0	0	0	0	0	0	0	0
	Уровни звукового давления от ИШ в РТ ночью	6	0	0	0	0	0	0	0	0
ИШ-122	Уровни звукового давления от ИШ в РТ днём	5,8	10,5	11,2	7,4	0	0	0	0	6,7
	Уровни звукового давления от ИШ в РТ ночью	5,8	10,5	11,2	7,4	0	0	0	0	6,7
ИШ-123	Уровни звукового давления от ИШ в РТ днём	6	10,8	11,4	7,6	0	0	0	0	7
	Уровни звукового давления от ИШ в РТ ночью	6	10,8	11,4	7,6	0	0	0	0	7
ИШ-124	Уровни звукового давления от ИШ в РТ днём	10,2	11,2	11,2	8,7	4,7	0	0	0	9,4
	Уровни звукового давления от ИШ в РТ ночью	10,2	11,2	11,2	8,7	4,7	0	0	0	9,4
ИШ-125	Уровни звукового давления от ИШ в РТ днём	13,1	12,8	9,4	2,5	0	0	0	0	4,1
	Уровни звукового давления от ИШ в РТ ночью	0	0	0	0	0	0	0	0	0
ИШ-130	Уровни звукового давления от ИШ в РТ днём	13,8	5	0	9,6	8,7	0,1	0	0	11,2
	Уровни звукового давления от ИШ в РТ ночью	0	0	0	0	0	0	0	0	0
ИШ-131	Уровни звукового давления от ИШ в РТ днём	24,3	28	35,8	27,5	14,5	0	0	0	29,2
	Уровни звукового давления от ИШ в РТ ночью	24,3	28	35,8	27,5	14,5	0	0	0	29,2
ИШ-133	Уровни звукового давления от ИШ в РТ днём	6	4,6	1,6	0	0	0	0	0	0
	Уровни звукового давления от ИШ в РТ ночью	0	0	0	0	0	0	0	0	0
ИШ-134	Уровни звукового давления от ИШ в РТ днём	11,3	10,9	9,7	7,1	3,8	0	0	0	8,1
	Уровни звукового давления от ИШ в РТ ночью	11,3	10,9	9,7	7,1	3,8	0	0	0	8,1
Суммарные УЗД в РТ от всех ИШ днём, Лрт, дБ		42	33,9	36,7	32,9	24,1	3,9	0	0	32,9
Суммарные УЗД в РТ от всех ИШ ночью, Лрт, дБ		42	33,9	36,7	32,9	24	1,6	0	0	32,8
Допускаемые УЗД днём, Lдоп, дБ территория у жилого дома		70	61	54	49	45	42	40	39	50











Источ-ник шума	Характеристика	Уровни звукового давления, дБ, в октавных полосах, со среднегеометрическими частотами, Гц								La, дБА
		63	125	250	500	1000	2000	4000	8000	
<b>Итоговые результаты определения уровней звукового давления в РТ-4 (координаты точки, м: x = 2247889.30, y = 410888.50, z = 1.50)</b>										
ИШ-113	Уровни звукового давления от ИШ в РТ днём	0	0	0	0	0	0	0	0	0
	Уровни звукового давления от ИШ в РТ ночью	0	0	0	0	0	0	0	0	0
ИШ-114	Уровни звукового давления от ИШ в РТ днём	0	0	0	0	0	0	0	0	0
	Уровни звукового давления от ИШ в РТ ночью	0	0	0	0	0	0	0	0	0
ИШ-115	Уровни звукового давления от ИШ в РТ днём	0	0	0	0	0	0	0	0	0
	Уровни звукового давления от ИШ в РТ ночью	0	0	0	0	0	0	0	0	0
ИШ-116	Уровни звукового давления от ИШ в РТ днём	0	0	0	0	0	0	0	0	0
	Уровни звукового давления от ИШ в РТ ночью	0	0	0	0	0	0	0	0	0
ИШ-117	Уровни звукового давления от ИШ в РТ днём	16,2	17,2	17,3	15,1	11,4	1,9	0	0	16
	Уровни звукового давления от ИШ в РТ ночью	16,2	17,2	17,3	15,1	11,4	1,9	0	0	16
ИШ-118	Уровни звукового давления от ИШ в РТ днём	6,6	0	0	0	0	0	0	0	0
	Уровни звукового давления от ИШ в РТ ночью	6,6	0	0	0	0	0	0	0	0
ИШ-119	Уровни звукового давления от ИШ в РТ днём	19,9	15,3	8,6	0	0	0	0	0	3,2
	Уровни звукового давления от ИШ в РТ ночью	19,9	15,3	8,6	0	0	0	0	0	3,2
ИШ-120	Уровни звукового давления от ИШ в РТ днём	19,9	15,3	8,6	0	0	0	0	0	3,1
	Уровни звукового давления от ИШ в РТ ночью	19,9	15,3	8,6	0	0	0	0	0	3,1
ИШ-121	Уровни звукового давления от ИШ в РТ днём	5,5	0	0	0	0	0	0	0	0
	Уровни звукового давления от ИШ в РТ ночью	5,5	0	0	0	0	0	0	0	0
ИШ-122	Уровни звукового давления от ИШ в РТ днём	6	10,7	11,4	7,5	0	0	0	0	6,9
	Уровни звукового давления от ИШ в РТ ночью	6	10,7	11,4	7,5	0	0	0	0	6,9
ИШ-123	Уровни звукового давления от ИШ в РТ днём	5,7	10,4	11,1	7,3	0	0	0	0	6,6
	Уровни звукового давления от ИШ в РТ ночью	5,7	10,4	11,1	7,3	0	0	0	0	6,6
ИШ-124	Уровни звукового давления от ИШ в РТ днём	10,2	11,2	11,2	8,7	4,7	0	0	0	9,4
	Уровни звукового давления от ИШ в РТ ночью	10,2	11,2	11,2	8,7	4,7	0	0	0	9,4
ИШ-125	Уровни звукового давления от ИШ в РТ днём	13,1	12,8	9,4	2,5	0	0	0	0	4,1
	Уровни звукового давления от ИШ в РТ ночью	0	0	0	0	0	0	0	0	0
ИШ-130	Уровни звукового давления от ИШ в РТ днём	13,4	4,4	0	0	0	0	0	0	0
	Уровни звукового давления от ИШ в РТ ночью	0	0	0	0	0	0	0	0	0
ИШ-131	Уровни звукового давления от ИШ в РТ днём	24,4	28	33	24,7	11,7	0	0	0	26,5
	Уровни звукового давления от ИШ в РТ ночью	24,4	28	33	24,7	11,7	0	0	0	26,5
ИШ-133	Уровни звукового давления от ИШ в РТ днём	0,9	0	0	0	0	0	0	0	0
	Уровни звукового давления от ИШ в РТ ночью	0	0	0	0	0	0	0	0	0
ИШ-134	Уровни звукового давления от ИШ в РТ днём	11,4	11	9,8	7,3	4	0	0	0	8,3
	Уровни звукового давления от ИШ в РТ ночью	11,4	11	9,8	7,3	4	0	0	0	8,3
Суммарные УЗД в РТ от всех ИШ днём, Lрт, дБ		41,3	33,3	34,3	32,3	23,7	1,9	0	0	31,8
Суммарные УЗД в РТ от всех ИШ ночью, Lрт, дБ		41,3	33,2	34,3	32,3	23,7	1,9	0	0	31,8
Допускаемые УЗД днём, Lдоп, дБ территория у жилого дома		70	61	54	49	45	42	40	39	50
Допускаемые УЗД ночью, Lдоп, дБ территория у жилого дома		62	52	44	39	35	32	30	28	40
с учётом поправки -5 дБ на работу технологического оборудования										
Превышение днём, дБ		-28,7	-27,7	-19,7	-16,7	-21,3	-40,1	-40	-39	-18,2
Превышение ночью, дБ		-20,7	-18,8	-9,7	-6,7	-11,3	-30,1	-30	-28	-8,2
Изоляция помещением проникающего звука, дБ		10	10	12	14	16	18	18	18	
Суммарные УЗД в помещении днём, Lпом, дБ		31,3	23,3	22,3	18,3	7,7	0	0	0	18,5
Суммарные УЗД в помещении ночью, Lпом, дБ		31,3	23,2	22,3	18,3	7,7	0	0	0	18,5
Допускаемые УЗД днём, Lдоп, дБ жилые комнаты квартир, санаториев, интернатов, пансионатов		58	47	40	34	30	27	25	23	35
Допускаемые УЗД ночью, Lдоп, дБ жилые комнаты квартир, санаториев, интернатов, пансионатов		50	39	30	24	20	17	15	13	25
с учётом поправки -5 дБ на работу технологического оборудования										
Превышение днём, дБ		-26,7	-23,7	-17,7	-15,7	-22,3	-27	-25	-23	-16,5
Превышение ночью, дБ		-18,7	-15,8	-7,7	-5,7	-12,3	-17	-15	-13	-6,5

Источ-ник шума	Характеристика	Уровни звукового давления, дБ, в октавных полосах, со среднегеометрическими частотами, Гц								Lз, дБА	Lмакс, дБА
		63	125	250	500	1000	2000	4000	8000		
<b>Результаты расчета шумового воздействия источников непостоянного шума в РТ-4</b>											
ИШ-126	Уровни звукового давления от ИШ в РТ днём	0	16,1	12	2,7	0	0	0	0	6,1	24
	Уровни звукового давления от ИШ в РТ ночью	0	16,1	12	2,7	0	0	0	0	6,1	24
ИШ-127	Уровни звукового давления от ИШ в РТ днём	0	0	0	0	0	0	0	0	0	22,7
	Уровни звукового давления от ИШ в РТ ночью	0	0	0	0	0	0	0	0	0	22,7
ИШ-128	Уровни звукового давления от ИШ в РТ днём	0	2,7	0	0	0	0	0	0	0	25
	Уровни звукового давления от ИШ в РТ ночью	0	2,7	0	0	0	0	0	0	0	25
ИШ-129	Уровни звукового давления от ИШ в РТ днём	0	0	0	0	0	0	0	0	0	18,8
	Уровни звукового давления от ИШ в РТ ночью	0	0	0	0	0	0	0	0	0	18,8
ИШ-132	Уровни звукового давления от ИШ в РТ днём	0	0	0	0	0	0	0	0	0	14,9
	Уровни звукового давления от ИШ в РТ ночью	0	0	0	0	0	0	0	0	0	14,9
Суммарные УЗД в РТ от всех ИШ днём, Lрт, дБ		0	16,3	12	2,7	0	0	0	0	6,1	29,3
Суммарные УЗД в РТ от всех ИШ ночью, Lрт, дБ		0	16,3	12	2,7	0	0	0	0	6,1	29,3
Допускаемые УЗД днём, Lдоп, дБ территория у жилого дома		75	66	59	54	50	47	45	44	55	70
Допускаемые УЗД ночью, Lдоп, дБ территория у жилого дома		67	57	49	44	40	37	35	33	45	60

Превышение днём, дБ	-75	-49,7	-47	-51	-50	-47	-45	-44	-48,9	-40,7
Превышение ночью, дБ	-67	-40,7	-37	-41	-40	-37	-35	-33	-38,9	-30,7
Изоляция помещением проникающего звука, дБ	10	10	12	14	16	18	18	18		
Суммарные УЗД в помещении днём, L <sub>пом</sub> , дБ	0	6,3	0	0	0	0	0	0	0	23,2
Суммарные УЗД в помещении ночью, L <sub>пом</sub> , дБ	0	6,3	0	0	0	0	0	0	0	23,2
Допускаемые УЗД днём, L <sub>доп</sub> , дБ	63	52	45	39	35	32	30	28	40	55
Допускаемые УЗД ночью, L <sub>доп</sub> , дБ	55	44	35	29	25	22	20	18	30	45
Превышение днём, дБ	-63	-45,7	-45	-39	-35	-32	-30	-28	-40	-31,8
Превышение ночью, дБ	-55	-37,7	-35	-29	-25	-22	-20	-18	-30	-21,8

Источ-ник шума	Характеристика	Уровни звукового давления, дБ, в октавных полосах, со среднегометрическими частотами, Гц								L <sub>a</sub> , дБА
		63	125	250	500	1000	2000	4000	8000	
<b>Итоговые результаты определения уровней звукового давления в РТ-5 (координаты точки, м: x = 2248863.80, y = 412821.80, z = 1.50)</b>										
ИШ-1	Уровни звукового давления от ИШ в РТ днём	27,9	22,4	14,4	4,9	0	0	0	0	10,4
	Уровни звукового давления от ИШ в РТ ночью	27,9	22,4	14,4	4,9	0	0	0	0	10,4
ИШ-2	Уровни звукового давления от ИШ в РТ днём	28	23,1	15,6	0	0	0	0	0	10,6
	Уровни звукового давления от ИШ в РТ ночью	28	23,1	15,6	0	0	0	0	0	10,6
ИШ-3	Уровни звукового давления от ИШ в РТ днём	36,1	25,3	19,6	10,6	0	0	0	0	15,6
	Уровни звукового давления от ИШ в РТ ночью	36,1	25,3	19,6	10,6	0	0	0	0	15,6
ИШ-4	Уровни звукового давления от ИШ в РТ днём	15,7	1,4	0	0	0	0	0	0	0
	Уровни звукового давления от ИШ в РТ ночью	15,7	1,4	0	0	0	0	0	0	0
ИШ-5	Уровни звукового давления от ИШ в РТ днём	9,4	0	0	0	0	0	0	0	0
	Уровни звукового давления от ИШ в РТ ночью	9,4	0	0	0	0	0	0	0	0
ИШ-6	Уровни звукового давления от ИШ в РТ днём	29,5	15,9	13,3	13,7	6,5	0	0	0	13,4
	Уровни звукового давления от ИШ в РТ ночью	29,5	15,9	13,3	13,7	6,5	0	0	0	13,4
ИШ-7	Уровни звукового давления от ИШ в РТ днём	34	29,2	23,3	12,3	0	0	0	0	18,1
	Уровни звукового давления от ИШ в РТ ночью	34	29,2	23,3	12,3	0	0	0	0	18,1
ИШ-8	Уровни звукового давления от ИШ в РТ днём	36,3	31,5	25,6	14,7	0	0	0	0	20,4
	Уровни звукового давления от ИШ в РТ ночью	36,3	31,5	25,6	14,7	0	0	0	0	20,4
ИШ-9	Уровни звукового давления от ИШ в РТ днём	9,7	1,9	0	0	0	0	0	0	0
	Уровни звукового давления от ИШ в РТ ночью	9,7	1,9	0	0	0	0	0	0	0
ИШ-10	Уровни звукового давления от ИШ в РТ днём	9,5	5,8	0	0	0	0	0	0	0
	Уровни звукового давления от ИШ в РТ ночью	9,5	5,8	0	0	0	0	0	0	0
ИШ-11	Уровни звукового давления от ИШ в РТ днём	26,8	22,5	16,7	0	0	0	0	0	10,8
	Уровни звукового давления от ИШ в РТ ночью	26,8	22,5	16,7	0	0	0	0	0	10,8
ИШ-12	Уровни звукового давления от ИШ в РТ днём	0	0	0	0	0	0	0	0	0
	Уровни звукового давления от ИШ в РТ ночью	0	0	0	0	0	0	0	0	0
ИШ-13	Уровни звукового давления от ИШ в РТ днём	6,5	0	0	0	0	0	0	0	0
	Уровни звукового давления от ИШ в РТ ночью	6,5	0	0	0	0	0	0	0	0
ИШ-14	Уровни звукового давления от ИШ в РТ днём	11,7	8,9	3,2	0	0	0	0	0	0
	Уровни звукового давления от ИШ в РТ ночью	11,7	8,9	3,2	0	0	0	0	0	0
ИШ-15	Уровни звукового давления от ИШ в РТ днём	12,8	10,1	4,4	0	0	0	0	0	0
	Уровни звукового давления от ИШ в РТ ночью	12,8	10,1	4,4	0	0	0	0	0	0
ИШ-16	Уровни звукового давления от ИШ в РТ днём	31,2	31	28,1	24,7	18,7	9,1	0	0	25,4
	Уровни звукового давления от ИШ в РТ ночью	31,2	31	28,1	24,7	18,7	9,1	0	0	25,4
ИШ-17	Уровни звукового давления от ИШ в РТ днём	31,4	31,2	28,3	24,9	19	9,5	0	0	25,6
	Уровни звукового давления от ИШ в РТ ночью	31,4	31,2	28,3	24,9	19	9,5	0	0	25,6
ИШ-18	Уровни звукового давления от ИШ в РТ днём	0	6,2	5,4	15,1	17,8	18,6	0	0	22,3
	Уровни звукового давления от ИШ в РТ ночью	0	6,2	5,4	15,1	17,8	18,6	0	0	22,3
ИШ-19	Уровни звукового давления от ИШ в РТ днём	21,7	19,8	18,1	12,1	5,7	0	0	0	13,6
	Уровни звукового давления от ИШ в РТ ночью	21,7	19,8	18,1	12,1	5,7	0	0	0	13,6
ИШ-20	Уровни звукового давления от ИШ в РТ днём	4	4,4	3,7	1,1	0	0	0	0	0
	Уровни звукового давления от ИШ в РТ ночью	4	4,4	3,7	1,1	0	0	0	0	0
ИШ-21	Уровни звукового давления от ИШ в РТ днём	3,9	2,7	0	0	0	0	0	0	0
	Уровни звукового давления от ИШ в РТ ночью	3,9	2,7	0	0	0	0	0	0	0
ИШ-22	Уровни звукового давления от ИШ в РТ днём	0	0	0	0	0	0	0	0	0
	Уровни звукового давления от ИШ в РТ ночью	0	0	0	0	0	0	0	0	0
ИШ-23	Уровни звукового давления от ИШ в РТ днём	0	0	0	0	0	0	0	0	0
	Уровни звукового давления от ИШ в РТ ночью	0	0	0	0	0	0	0	0	0
ИШ-24	Уровни звукового давления от ИШ в РТ днём	13,7	1,5	0	0	0	0	0	0	0
	Уровни звукового давления от ИШ в РТ ночью	13,7	1,5	0	0	0	0	0	0	0
ИШ-25	Уровни звукового давления от ИШ в РТ днём	13,4	1,3	0	0	0	0	0	0	0
	Уровни звукового давления от ИШ в РТ ночью	13,4	1,3	0	0	0	0	0	0	0
ИШ-26	Уровни звукового давления от ИШ в РТ днём	13,3	1,2	0	0	0	0	0	0	0
	Уровни звукового давления от ИШ в РТ ночью	13,3	1,2	0	0	0	0	0	0	0
ИШ-27	Уровни звукового давления от ИШ в РТ днём	27	39	31,3	29,5	23	16	0	0	30,3
	Уровни звукового давления от ИШ в РТ ночью	27	39	31,3	29,5	23	16	0	0	30,3
ИШ-28	Уровни звукового давления от ИШ в РТ днём	6,5	14,5	2,9	0	0	0	0	0	0
	Уровни звукового давления от ИШ в РТ ночью	6,5	14,5	2,9	0	0	0	0	0	0
ИШ-29	Уровни звукового давления от ИШ в РТ днём	11,1	22,6	20,8	16	10,4	0	0	0	17,1

Источ- ник шума	Характеристика	Уровни звукового давления, дБ, в октавных полосах, со среднегеометрическими частотами, Гц								La, дБА
		63	125	250	500	1000	2000	4000	8000	
<b>Итоговые результаты определения уровней звукового давления в РТ-5 (координаты точки, м: x = 2248863.80, y = 412821.80, z = 1.50)</b>										
ИШ-30	Уровни звукового давления от ИШ в РТ ночью	11,1	22,6	20,8	16	10,4	0	0	0	17,1
	Уровни звукового давления от ИШ в РТ днём	6,5	18,1	16,3	11,5	0	0	0	0	11,5
	Уровни звукового давления от ИШ в РТ ночью	6,5	18,1	16,3	11,5	0	0	0	0	11,5
ИШ-31	Уровни звукового давления от ИШ в РТ днём	0	0	0	0	0	0	0	0	0
	Уровни звукового давления от ИШ в РТ ночью	0	0	0	0	0	0	0	0	0
ИШ-32	Уровни звукового давления от ИШ в РТ днём	0	2	0	0	0	0	0	0	0
	Уровни звукового давления от ИШ в РТ ночью	0	2	0	0	0	0	0	0	0
ИШ-33	Уровни звукового давления от ИШ в РТ днём	0	0	0	0	0	0	0	0	0
	Уровни звукового давления от ИШ в РТ ночью	0	0	0	0	0	0	0	0	0
ИШ-34	Уровни звукового давления от ИШ в РТ днём	0	0	0	0	0	0	0	0	0
	Уровни звукового давления от ИШ в РТ ночью	0	0	0	0	0	0	0	0	0
ИШ-35	Уровни звукового давления от ИШ в РТ днём	0	0	0	0	0	0	0	0	0
	Уровни звукового давления от ИШ в РТ ночью	0	0	0	0	0	0	0	0	0
ИШ-36	Уровни звукового давления от ИШ в РТ днём	7,9	0	0	0	0	0	0	0	0
	Уровни звукового давления от ИШ в РТ ночью	7,9	0	0	0	0	0	0	0	0
ИШ-37	Уровни звукового давления от ИШ в РТ днём	7,5	0	0	0	0	0	0	0	0
	Уровни звукового давления от ИШ в РТ ночью	7,5	0	0	0	0	0	0	0	0
ИШ-38	Уровни звукового давления от ИШ в РТ днём	7,3	0	0	0	0	0	0	0	0
	Уровни звукового давления от ИШ в РТ ночью	7,3	0	0	0	0	0	0	0	0
ИШ-39	Уровни звукового давления от ИШ в РТ днём	7,4	0	0	0	0	0	0	0	0
	Уровни звукового давления от ИШ в РТ ночью	7,4	0	0	0	0	0	0	0	0
ИШ-40	Уровни звукового давления от ИШ в РТ днём	7,5	0	0	0	0	0	0	0	0
	Уровни звукового давления от ИШ в РТ ночью	7,5	0	0	0	0	0	0	0	0
ИШ-41	Уровни звукового давления от ИШ в РТ днём	0	0	0	0	0	0	0	0	0
	Уровни звукового давления от ИШ в РТ ночью	0	0	0	0	0	0	0	0	0
ИШ-42	Уровни звукового давления от ИШ в РТ днём	0	0	0	0	0	0	0	0	0
	Уровни звукового давления от ИШ в РТ ночью	0	0	0	0	0	0	0	0	0
ИШ-43	Уровни звукового давления от ИШ в РТ днём	0	0	0	0	0	0	0	0	0
	Уровни звукового давления от ИШ в РТ ночью	0	0	0	0	0	0	0	0	0
ИШ-44	Уровни звукового давления от ИШ в РТ днём	0	0	0	0	0	0	0	0	0
	Уровни звукового давления от ИШ в РТ ночью	0	0	0	0	0	0	0	0	0
ИШ-45	Уровни звукового давления от ИШ в РТ днём	0	0	0	0	0	0	0	0	0
	Уровни звукового давления от ИШ в РТ ночью	0	0	0	0	0	0	0	0	0
ИШ-46	Уровни звукового давления от ИШ в РТ днём	0	0	0	0	0	0	0	0	0
	Уровни звукового давления от ИШ в РТ ночью	0	0	0	0	0	0	0	0	0
ИШ-47	Уровни звукового давления от ИШ в РТ днём	0	0	0	0	0	0	0	0	0
	Уровни звукового давления от ИШ в РТ ночью	0	0	0	0	0	0	0	0	0
ИШ-48	Уровни звукового давления от ИШ в РТ днём	12,3	0	16,2	11,2	0	0	0	0	10,8
	Уровни звукового давления от ИШ в РТ ночью	12,3	0	16,2	11,2	0	0	0	0	10,8
ИШ-49	Уровни звукового давления от ИШ в РТ днём	18,4	9,1	8,2	14,4	7	0	0	0	12,9
	Уровни звукового давления от ИШ в РТ ночью	18,4	9,1	8,2	14,4	7	0	0	0	12,9
ИШ-50	Уровни звукового давления от ИШ в РТ днём	18,5	9,2	8,4	14,6	7,2	0	0	0	13,1
	Уровни звукового давления от ИШ в РТ ночью	18,5	9,2	8,4	14,6	7,2	0	0	0	13,1
ИШ-51	Уровни звукового давления от ИШ в РТ днём	18,6	9,3	8,5	14,7	7,4	0	0	0	13,2
	Уровни звукового давления от ИШ в РТ ночью	18,6	9,3	8,5	14,7	7,4	0	0	0	13,2
ИШ-52	Уровни звукового давления от ИШ в РТ днём	18,6	9,3	8,5	14,7	7,3	0	0	0	13,2
	Уровни звукового давления от ИШ в РТ ночью	18,6	9,3	8,5	14,7	7,3	0	0	0	13,2
ИШ-53	Уровни звукового давления от ИШ в РТ днём	18,3	9,1	8,2	14,4	7	0	0	0	12,9
	Уровни звукового давления от ИШ в РТ ночью	18,3	9,1	8,2	14,4	7	0	0	0	12,9
ИШ-54	Уровни звукового давления от ИШ в РТ днём	18,4	9,1	8,3	14,5	7,1	0	0	0	13
	Уровни звукового давления от ИШ в РТ ночью	18,4	9,1	8,3	14,5	7,1	0	0	0	13
ИШ-55	Уровни звукового давления от ИШ в РТ днём	18,5	9,2	8,4	14,6	7,2	0	0	0	13,1
	Уровни звукового давления от ИШ в РТ ночью	18,5	9,2	8,4	14,6	7,2	0	0	0	13,1
ИШ-56	Уровни звукового давления от ИШ в РТ днём	18,5	9,3	8,4	14,7	7,3	0	0	0	13,2
	Уровни звукового давления от ИШ в РТ ночью	18,5	9,3	8,4	14,7	7,3	0	0	0	13,2
ИШ-57	Уровни звукового давления от ИШ в РТ днём	18,3	9	8,2	14,3	6,9	0	0	0	12,8
	Уровни звукового давления от ИШ в РТ ночью	18,3	9	8,2	14,3	6,9	0	0	0	12,8
ИШ-58	Уровни звукового давления от ИШ в РТ днём	18,4	9,1	8,2	14,4	7	0	0	0	12,9
	Уровни звукового давления от ИШ в РТ ночью	18,4	9,1	8,2	14,4	7	0	0	0	12,9
ИШ-59	Уровни звукового давления от ИШ в РТ днём	18,4	9,2	8,3	14,5	7,1	0	0	0	13
	Уровни звукового давления от ИШ в РТ ночью	18,4	9,2	8,3	14,5	7,1	0	0	0	13
ИШ-60	Уровни звукового давления от ИШ в РТ днём	18,5	9,2	8,4	14,6	7,3	0	0	0	13,1
	Уровни звукового давления от ИШ в РТ ночью	18,5	9,2	8,4	14,6	7,3	0	0	0	13,1
ИШ-61	Уровни звукового давления от ИШ в РТ днём	29,1	19,8	19	25,2	17,8	8,5	0	0	23,9
	Уровни звукового давления от ИШ в РТ ночью	29,1	19,8	19	25,2	17,8	8,5	0	0	23,9
ИШ-62	Уровни звукового давления от ИШ в РТ днём	18,2	9	8,1	14,2	6,8	0	0	0	12,7
	Уровни звукового давления от ИШ в РТ ночью	18,2	9	8,1	14,2	6,8	0	0	0	12,7



Источ-ник шума	Характеристика	Уровни звукового давления, дБ, в октавных полосах, со среднегеометрическими частотами, Гц								La, дБА
		63	125	250	500	1000	2000	4000	8000	
Итоговые результаты определения уровней звукового давления в РТ-5 (координаты точки, м: x = 2248863.80, y = 412821.80, z = 1.50)										
ИШ-97	Уровни звукового давления от ИШ в РТ ночью	0	0	0	0	0	0	0	0	0
	Уровни звукового давления от ИШ в РТ днём	0	0	0	0	0	0	0	0	0
	Уровни звукового давления от ИШ в РТ ночью	0	0	0	0	0	0	0	0	0
ИШ-98	Уровни звукового давления от ИШ в РТ днём	0	0	0	0	0	0	0	0	0
	Уровни звукового давления от ИШ в РТ ночью	0	0	0	0	0	0	0	0	0
ИШ-99	Уровни звукового давления от ИШ в РТ днём	0	0	0	0	0	0	0	0	0
	Уровни звукового давления от ИШ в РТ ночью	0	0	0	0	0	0	0	0	0
ИШ-100	Уровни звукового давления от ИШ в РТ днём	0	0	0	0	0	0	0	0	0
	Уровни звукового давления от ИШ в РТ ночью	0	0	0	0	0	0	0	0	0
ИШ-101	Уровни звукового давления от ИШ в РТ днём	0	0	0	0	0	0	0	0	0
	Уровни звукового давления от ИШ в РТ ночью	0	0	0	0	0	0	0	0	0
ИШ-102	Уровни звукового давления от ИШ в РТ днём	0	0	0	0	0	0	0	0	0
	Уровни звукового давления от ИШ в РТ ночью	0	0	0	0	0	0	0	0	0
ИШ-103	Уровни звукового давления от ИШ в РТ днём	0	0	0	0	0	0	0	0	0
	Уровни звукового давления от ИШ в РТ ночью	0	0	0	0	0	0	0	0	0
ИШ-104	Уровни звукового давления от ИШ в РТ днём	0	0	0	0	0	0	0	0	0
	Уровни звукового давления от ИШ в РТ ночью	0	0	0	0	0	0	0	0	0
ИШ-105	Уровни звукового давления от ИШ в РТ днём	0	0	0	0	0	0	0	0	0
	Уровни звукового давления от ИШ в РТ ночью	0	0	0	0	0	0	0	0	0
ИШ-106	Уровни звукового давления от ИШ в РТ днём	0	0	0	0	0	0	0	0	0
	Уровни звукового давления от ИШ в РТ ночью	0	0	0	0	0	0	0	0	0
ИШ-107	Уровни звукового давления от ИШ в РТ днём	10,6	10,4	7,5	0	0	0	0	0	0,3
	Уровни звукового давления от ИШ в РТ ночью	10,6	10,4	7,5	0	0	0	0	0	0,3
ИШ-108	Уровни звукового давления от ИШ в РТ днём	10,6	10,4	7,5	0	0	0	0	0	0,3
	Уровни звукового давления от ИШ в РТ ночью	10,6	10,4	7,5	0	0	0	0	0	0,3
ИШ-109	Уровни звукового давления от ИШ в РТ днём	7,6	10,4	7,5	0	0	0	0	0	0,2
	Уровни звукового давления от ИШ в РТ ночью	7,6	10,4	7,5	0	0	0	0	0	0,2
ИШ-110	Уровни звукового давления от ИШ в РТ днём	7,6	10,4	7,5	0	0	0	0	0	0,2
	Уровни звукового давления от ИШ в РТ ночью	7,6	10,4	7,5	0	0	0	0	0	0,2
ИШ-111	Уровни звукового давления от ИШ в РТ днём	0	0	0	0	0	0	0	0	0
	Уровни звукового давления от ИШ в РТ ночью	0	0	0	0	0	0	0	0	0
ИШ-112	Уровни звукового давления от ИШ в РТ днём	0	0	0	0	0	0	0	0	0
	Уровни звукового давления от ИШ в РТ ночью	0	0	0	0	0	0	0	0	0
ИШ-113	Уровни звукового давления от ИШ в РТ днём	0	0	0	0	0	0	0	0	0
	Уровни звукового давления от ИШ в РТ ночью	0	0	0	0	0	0	0	0	0
ИШ-114	Уровни звукового давления от ИШ в РТ днём	0	0	0	0	0	0	0	0	0
	Уровни звукового давления от ИШ в РТ ночью	0	0	0	0	0	0	0	0	0
ИШ-115	Уровни звукового давления от ИШ в РТ днём	7,6	7	3,3	0	0	0	0	0	0
	Уровни звукового давления от ИШ в РТ ночью	7,6	7	3,3	0	0	0	0	0	0
ИШ-116	Уровни звукового давления от ИШ в РТ днём	7,1	6	1,5	0	0	0	0	0	0
	Уровни звукового давления от ИШ в РТ ночью	7,1	6	1,5	0	0	0	0	0	0
ИШ-117	Уровни звукового давления от ИШ в РТ днём	20,2	23,8	24,3	22,9	20,2	12,8	0	0	24,3
	Уровни звукового давления от ИШ в РТ ночью	20,2	23,8	24,3	22,9	20,2	12,8	0	0	24,3
ИШ-118	Уровни звукового давления от ИШ в РТ днём	25,5	20,7	14,6	0	0	0	0	0	8,9
	Уровни звукового давления от ИШ в РТ ночью	25,5	20,7	14,6	0	0	0	0	0	8,9
ИШ-119	Уровни звукового давления от ИШ в РТ днём	22,2	20,7	14,4	0	0	0	0	0	8,5
	Уровни звукового давления от ИШ в РТ ночью	22,2	20,7	14,4	0	0	0	0	0	8,5
ИШ-120	Уровни звукового давления от ИШ в РТ днём	7,3	0	0	0	0	0	0	0	0
	Уровни звукового давления от ИШ в РТ ночью	7,3	0	0	0	0	0	0	0	0
ИШ-121	Уровни звукового давления от ИШ в РТ днём	10,8	4,4	0	0	0	0	0	0	0
	Уровни звукового давления от ИШ в РТ ночью	10,8	4,4	0	0	0	0	0	0	0
ИШ-122	Уровни звукового давления от ИШ в РТ днём	6,9	12,9	13,9	9,5	0	0	0	0	9,1
	Уровни звукового давления от ИШ в РТ ночью	6,9	12,9	13,9	9,5	0	0	0	0	9,1
ИШ-123	Уровни звукового давления от ИШ в РТ днём	0	0	0	0	0	0	0	0	0
	Уровни звукового давления от ИШ в РТ ночью	0	0	0	0	0	0	0	0	0
ИШ-124	Уровни звукового давления от ИШ в РТ днём	13,7	14,9	15,3	13,7	10,9	3,1	0	0	15
	Уровни звукового давления от ИШ в РТ ночью	13,7	14,9	15,3	13,7	10,9	3,1	0	0	15
ИШ-125	Уровни звукового давления от ИШ в РТ днём	16,5	16,3	13,3	7,3	1,2	0	0	0	9
	Уровни звукового давления от ИШ в РТ ночью	0	0	0	0	0	0	0	0	0
ИШ-130	Уровни звукового давления от ИШ в РТ днём	16,5	7,8	13,7	10,8	9,1	0	0	0	12,4
	Уровни звукового давления от ИШ в РТ ночью	0	0	0	0	0	0	0	0	0
ИШ-131	Уровни звукового давления от ИШ в РТ днём	15,9	19,7	24,8	17	4,6	0	0	0	18,5
	Уровни звукового давления от ИШ в РТ ночью	15,9	19,7	24,8	17	4,6	0	0	0	18,5
ИШ-133	Уровни звукового давления от ИШ в РТ днём	0	0	0	0	0	0	0	0	0
	Уровни звукового давления от ИШ в РТ ночью	0	0	0	0	0	0	0	0	0
ИШ-134	Уровни звукового давления от ИШ в РТ днём	15,4	17,5	16,6	14,7	12	7,1	0	0	16,5
	Уровни звукового давления от ИШ в РТ ночью	15,4	17,5	16,6	14,7	12	7,1	0	0	16,5

Источ-ник шума	Характеристика	Уровни звукового давления, дБ, в октавных полосах, со среднегеометрическими частотами, Гц								La, дБА
		63	125	250	500	1000	2000	4000	8000	
<b>Итоговые результаты определения уровней звукового давления в РТ-5 (координаты точки, м: x = 2248863.80, y = 412821.80, z = 1.50)</b>										
Суммарные УЗД в РТ от всех ИШ днём, Лрт, дБ		43,6	41,9	37,3	36,4	29,7	22,7	0	0	36,5
Суммарные УЗД в РТ от всех ИШ ночью, Лрт, дБ		43,6	41,9	37,2	36,4	29,6	22,7	0	0	36,4
Допускаемые УЗД днём, Lдоп, дБ	территория у жилого дома	70	61	54	49	45	42	40	39	50
Допускаемые УЗД ночью, Lдоп, дБ	территория у жилого дома	62	52	44	39	35	32	30	28	40
с учётом поправки -5 дБ на работу технологического оборудования										
Превышение днём, дБ		-26,4	-19,1	-16,7	-12,6	-15,3	-19,3	-40	-39	-13,5
Превышение ночью, дБ		-18,4	-10,1	-6,8	-2,6	-5,4	-9,3	-30	-28	-3,6

Источ-ник шума	Характеристика	Уровни звукового давления, дБ, в октавных полосах, со среднегеометрическими частотами, Гц								Lз, дБА	Lмакс, дБА
		63	125	250	500	1000	2000	4000	8000		
<b>Результаты расчета шумового воздействия источников непостоянного шума в РТ-5</b>											
ИШ-126	Уровни звукового давления от ИШ в РТ днём	0	17,2	13,3	8,3	4,4	0	0	0	10,1	26,8
	Уровни звукового давления от ИШ в РТ ночью	0	17,2	13,3	8,3	4,4	0	0	0	10,1	26,8
ИШ-127	Уровни звукового давления от ИШ в РТ днём	0	0	0	0	0	0	0	0	0	25,6
	Уровни звукового давления от ИШ в РТ ночью	0	0	0	0	0	0	0	0	0	25,6
ИШ-128	Уровни звукового давления от ИШ в РТ днём	0	0	0	0	0	0	0	0	0	26,9
	Уровни звукового давления от ИШ в РТ ночью	0	0	0	0	0	0	0	0	0	26,9
ИШ-129	Уровни звукового давления от ИШ в РТ днём	0	0	0	0	0	0	0	0	0	25,7
	Уровни звукового давления от ИШ в РТ ночью	0	0	0	0	0	0	0	0	0	25,7
ИШ-132	Уровни звукового давления от ИШ в РТ днём	0	0	0	0	0	0	0	0	0	19,1
	Уровни звукового давления от ИШ в РТ ночью	0	0	0	0	0	0	0	0	0	19,1
Суммарные УЗД в РТ от всех ИШ днём, Лрт, дБ		0	17,3	13,3	8,3	4,4	0	0	0	10,1	32,5
Суммарные УЗД в РТ от всех ИШ ночью, Лрт, дБ		0	17,3	13,3	8,3	4,4	0	0	0	10,1	32,5
Допускаемые УЗД днём, Lдоп, дБ	территория у жилого дома	75	66	59	54	50	47	45	44	55	70
Допускаемые УЗД ночью, Lдоп, дБ	территория у жилого дома	67	57	49	44	40	37	35	33	45	60
Превышение днём, дБ		-75	-48,7	-45,7	-45,7	-45,6	-47	-45	-44	-44,9	-37,5
Превышение ночью, дБ		-67	-39,7	-35,7	-35,7	-35,6	-37	-35	-33	-34,9	-27,5

Источ-ник шума	Характеристика	Уровни звукового давления, дБ, в октавных полосах, со среднегеометрическими частотами, Гц								La, дБА
		63	125	250	500	1000	2000	4000	8000	
<b>Итоговые результаты определения уровней звукового давления в РТ-6 (координаты точки, м: x = 2249895.70, y = 412312.60, z = 1.50)</b>										
ИШ-1	Уровни звукового давления от ИШ в РТ днём	3,2	0	0	0	0	0	0	0	0
	Уровни звукового давления от ИШ в РТ ночью	3,2	0	0	0	0	0	0	0	0
ИШ-2	Уровни звукового давления от ИШ в РТ днём	0	0	0	0	0	0	0	0	0
	Уровни звукового давления от ИШ в РТ ночью	0	0	0	0	0	0	0	0	0
ИШ-3	Уровни звукового давления от ИШ в РТ днём	10,2	0	0	0	0	0	0	0	0
	Уровни звукового давления от ИШ в РТ ночью	10,2	0	0	0	0	0	0	0	0
ИШ-4	Уровни звукового давления от ИШ в РТ днём	21,5	7,4	0	0	0	0	0	0	0
	Уровни звукового давления от ИШ в РТ ночью	21,5	7,4	0	0	0	0	0	0	0
ИШ-5	Уровни звукового давления от ИШ в РТ днём	25,7	13	7,1	0	0	0	0	0	3,2
	Уровни звукового давления от ИШ в РТ ночью	25,7	13	7,1	0	0	0	0	0	3,2
ИШ-6	Уровни звукового давления от ИШ в РТ днём	10,5	0	0	0	0	0	0	0	0
	Уровни звукового давления от ИШ в РТ ночью	10,5	0	0	0	0	0	0	0	0
ИШ-7	Уровни звукового давления от ИШ в РТ днём	10,3	2,3	0	0	0	0	0	0	0
	Уровни звукового давления от ИШ в РТ ночью	10,3	2,3	0	0	0	0	0	0	0
ИШ-8	Уровни звукового давления от ИШ в РТ днём	32,2	31,6	25,7	14,9	0	0	0	0	20,3
	Уровни звукового давления от ИШ в РТ ночью	32,2	31,6	25,7	14,9	0	0	0	0	20,3
ИШ-9	Уровни звукового давления от ИШ в РТ днём	26	24,2	18,3	7,5	0	0	0	0	12,9
	Уровни звукового давления от ИШ в РТ ночью	26	24,2	18,3	7,5	0	0	0	0	12,9
ИШ-10	Уровни звукового давления от ИШ в РТ днём	9,6	5,9	0	0	0	0	0	0	0
	Уровни звукового давления от ИШ в РТ ночью	9,6	5,9	0	0	0	0	0	0	0
ИШ-11	Уровни звукового давления от ИШ в РТ днём	24,5	20,2	14,5	0	0	0	0	0	8,6
	Уровни звукового давления от ИШ в РТ ночью	24,5	20,2	14,5	0	0	0	0	0	8,6
ИШ-12	Уровни звукового давления от ИШ в РТ днём	3	0	0	0	0	0	0	0	0
	Уровни звукового давления от ИШ в РТ ночью	3	0	0	0	0	0	0	0	0
ИШ-13	Уровни звукового давления от ИШ в РТ днём	26,3	24,9	19,3	9,4	0	0	0	0	13,9
	Уровни звукового давления от ИШ в РТ ночью	26,3	24,9	19,3	9,4	0	0	0	0	13,9
ИШ-14	Уровни звукового давления от ИШ в РТ днём	13,3	10,6	4,9	0	0	0	0	0	0
	Уровни звукового давления от ИШ в РТ ночью	13,3	10,6	4,9	0	0	0	0	0	0
ИШ-15	Уровни звукового давления от ИШ в РТ днём	14,4	11,8	6,2	0	0	0	0	0	0,1
	Уровни звукового давления от ИШ в РТ ночью	14,4	11,8	6,2	0	0	0	0	0	0,1
ИШ-16	Уровни звукового давления от ИШ в РТ днём	32,1	32	29,2	23,4	17,7	8,6	0	0	25,2
	Уровни звукового давления от ИШ в РТ ночью	32,1	32	29,2	23,4	17,7	8,6	0	0	25,2
ИШ-17	Уровни звукового давления от ИШ в РТ днём	31,8	31,7	28,8	23	17,2	8	0	0	24,8
	Уровни звукового давления от ИШ в РТ ночью	31,8	31,7	28,8	23	17,2	8	0	0	24,8
ИШ-18	Уровни звукового давления от ИШ в РТ днём	0	4,1	3,3	11,7	14,6	15,8	0	0	19,4
	Уровни звукового давления от ИШ в РТ ночью	0	4,1	3,3	11,7	14,6	15,8	0	0	19,4
ИШ-19	Уровни звукового давления от ИШ в РТ днём	11,2	6	0	0	0	0	0	0	0



Источ-ник шума	Характеристика	Уровни звукового давления, дБ, в октавных полосах, со среднегеометрическими частотами, Гц								La, дБА
		63	125	250	500	1000	2000	4000	8000	
<b>Итоговые результаты определения уровней звукового давления в РТ-6 (координаты точки, м: x = 2249895.70, y = 412312.60, z = 1.50)</b>										
ИШ-20	Уровни звукового давления от ИШ в РТ ночью	11,2	6	0	0	0	0	0	0	0
	Уровни звукового давления от ИШ в РТ днём	4,8	6,2	6,9	9,5	7,6	0	0	0	10,3
ИШ-21	Уровни звукового давления от ИШ в РТ ночью	4,8	6,2	6,9	9,5	7,6	0	0	0	10,3
	Уровни звукового давления от ИШ в РТ днём	15,2	14,1	6,9	0	0	0	0	0	1,4
ИШ-22	Уровни звукового давления от ИШ в РТ ночью	15,2	14,1	6,9	0	0	0	0	0	1,4
	Уровни звукового давления от ИШ в РТ днём	0	0	0	0	0	0	0	0	0
ИШ-23	Уровни звукового давления от ИШ в РТ ночью	0	0	0	0	0	0	0	0	0
	Уровни звукового давления от ИШ в РТ днём	0	0	0	0	0	0	0	0	0
ИШ-24	Уровни звукового давления от ИШ в РТ ночью	40,5	34,7	32,8	26	18,6	0	0	0	28
	Уровни звукового давления от ИШ в РТ днём	40,5	34,7	32,8	26	18,6	0	0	0	28
ИШ-25	Уровни звукового давления от ИШ в РТ ночью	43,5	34,7	32,8	26	18,6	0	0	0	28,1
	Уровни звукового давления от ИШ в РТ днём	43,5	34,7	32,8	26	18,6	0	0	0	28,1
ИШ-26	Уровни звукового давления от ИШ в РТ ночью	43,5	34,7	32,8	26	18,7	0	0	0	28,2
	Уровни звукового давления от ИШ в РТ днём	43,5	34,7	32,8	26	18,7	0	0	0	28,2
ИШ-27	Уровни звукового давления от ИШ в РТ ночью	0	0	0	0	0	0	0	0	0
	Уровни звукового давления от ИШ в РТ днём	0	0	0	0	0	0	0	0	0
ИШ-28	Уровни звукового давления от ИШ в РТ ночью	13	25,2	17,4	15,7	9,4	2,7	0	0	16,5
	Уровни звукового давления от ИШ в РТ днём	13	25,2	17,4	15,7	9,4	2,7	0	0	16,5
ИШ-29	Уровни звукового давления от ИШ в РТ ночью	0	16,2	14,5	9,8	0	0	0	0	9,8
	Уровни звукового давления от ИШ в РТ днём	0	16,2	14,5	9,8	0	0	0	0	9,8
ИШ-30	Уровни звукового давления от ИШ в РТ ночью	13	24,1	22,3	17,7	12,6	8	0	0	19,3
	Уровни звукового давления от ИШ в РТ днём	13	24,1	22,3	17,7	12,6	8	0	0	19,3
ИШ-31	Уровни звукового давления от ИШ в РТ ночью	16,3	20,1	16,2	13,5	6,4	0	0	0	13,7
	Уровни звукового давления от ИШ в РТ днём	16,3	20,1	16,2	13,5	6,4	0	0	0	13,7
ИШ-32	Уровни звукового давления от ИШ в РТ ночью	10,9	19,1	14,4	12,8	6,7	0	0	0	12,9
	Уровни звукового давления от ИШ в РТ днём	10,9	19,1	14,4	12,8	6,7	0	0	0	12,9
ИШ-33	Уровни звукового давления от ИШ в РТ ночью	0	0	0	0	0	0	0	0	0
	Уровни звукового давления от ИШ в РТ днём	0	0	0	0	0	0	0	0	0
ИШ-34	Уровни звукового давления от ИШ в РТ ночью	0	0	11,3	7,2	0	0	0	0	6,4
	Уровни звукового давления от ИШ в РТ днём	0	0	11,3	7,2	0	0	0	0	6,4
ИШ-35	Уровни звукового давления от ИШ в РТ ночью	6,1	0	11	17,1	0	0	0	0	14,2
	Уровни звукового давления от ИШ в РТ днём	6,1	0	11	17,1	0	0	0	0	14,2
ИШ-36	Уровни звукового давления от ИШ в РТ ночью	8,7	0	0	0	0	0	0	0	0
	Уровни звукового давления от ИШ в РТ днём	8,7	0	0	0	0	0	0	0	0
ИШ-37	Уровни звукового давления от ИШ в РТ ночью	8,9	0	0	0	0	0	0	0	0
	Уровни звукового давления от ИШ в РТ днём	8,9	0	0	0	0	0	0	0	0
ИШ-38	Уровни звукового давления от ИШ в РТ ночью	9,2	0	0	0	0	0	0	0	0
	Уровни звукового давления от ИШ в РТ днём	9,2	0	0	0	0	0	0	0	0
ИШ-39	Уровни звукового давления от ИШ в РТ ночью	7,3	0	0	0	0	0	0	0	0
	Уровни звукового давления от ИШ в РТ днём	7,3	0	0	0	0	0	0	0	0
ИШ-40	Уровни звукового давления от ИШ в РТ ночью	10,7	2,4	1,6	7,8	0,5	0	0	0	6,3
	Уровни звукового давления от ИШ в РТ днём	10,7	2,4	1,6	7,8	0,5	0	0	0	6,3
ИШ-41	Уровни звукового давления от ИШ в РТ ночью	0	0	0	0	0	0	0	0	0
	Уровни звукового давления от ИШ в РТ днём	0	0	0	0	0	0	0	0	0
ИШ-42	Уровни звукового давления от ИШ в РТ ночью	0	0	0	0	0	0	0	0	0
	Уровни звукового давления от ИШ в РТ днём	0	0	0	0	0	0	0	0	0
ИШ-43	Уровни звукового давления от ИШ в РТ ночью	0	0	0	0	0	0	0	0	0
	Уровни звукового давления от ИШ в РТ днём	0	0	0	0	0	0	0	0	0
ИШ-44	Уровни звукового давления от ИШ в РТ ночью	0	0	0	0	0	0	0	0	0
	Уровни звукового давления от ИШ в РТ днём	0	0	0	0	0	0	0	0	0
ИШ-45	Уровни звукового давления от ИШ в РТ ночью	0	0	0	0	0	0	0	0	0
	Уровни звукового давления от ИШ в РТ днём	0	0	0	0	0	0	0	0	0
ИШ-46	Уровни звукового давления от ИШ в РТ ночью	14	17,9	18	13,2	6,4	0	0	0	13,9
	Уровни звукового давления от ИШ в РТ днём	14	17,9	18	13,2	6,4	0	0	0	13,9
ИШ-47	Уровни звукового давления от ИШ в РТ ночью	15,4	19,3	18,5	12,7	6,9	0	0	0	14,1
	Уровни звукового давления от ИШ в РТ днём	15,4	19,3	18,5	12,7	6,9	0	0	0	14,1
ИШ-48	Уровни звукового давления от ИШ в РТ ночью	13,3	0	17,3	12,5	6,7	0	0	0	13,2
	Уровни звукового давления от ИШ в РТ днём	13,3	0	17,3	12,5	6,7	0	0	0	13,2
ИШ-49	Уровни звукового давления от ИШ в РТ ночью	18,5	9,2	8,4	14,6	7,2	0	0	0	13,1
	Уровни звукового давления от ИШ в РТ днём	18,5	9,2	8,4	14,6	7,2	0	0	0	13,1
ИШ-50	Уровни звукового давления от ИШ в РТ ночью	18,6	9,3	8,5	14,7	7,4	0	0	0	13,2
	Уровни звукового давления от ИШ в РТ днём	18,6	9,3	8,5	14,7	7,4	0	0	0	13,2
ИШ-51	Уровни звукового давления от ИШ в РТ ночью	18,6	9,4	8,6	14,8	7,5	0	0	0	13,3
	Уровни звукового давления от ИШ в РТ днём	18,6	9,4	8,6	14,8	7,5	0	0	0	13,3
ИШ-52	Уровни звукового давления от ИШ в РТ ночью	18,7	9,4	8,6	14,8	7,5	0	0	0	13,3
	Уровни звукового давления от ИШ в РТ днём	18,7	9,4	8,6	14,8	7,5	0	0	0	13,3

Источ-ник шума	Характеристика	Уровни звукового давления, дБ, в октавных полосах, со среднегеометрическими частотами, Гц								La, дБА
		63	125	250	500	1000	2000	4000	8000	
Итоговые результаты определения уровней звукового давления в РТ-6 (координаты точки, м: x = 2249895.70, y = 412312.60, z = 1.50)										
ИШ-53	Уровни звукового давления от ИШ в РТ днём	18,6	9,3	8,5	14,7	7,4	0	0	0	13,2
	Уровни звукового давления от ИШ в РТ ночью	18,6	9,3	8,5	14,7	7,4	0	0	0	13,2
ИШ-54	Уровни звукового давления от ИШ в РТ днём	18,6	9,4	8,5	14,8	7,4	0	0	0	13,3
	Уровни звукового давления от ИШ в РТ ночью	18,6	9,4	8,5	14,8	7,4	0	0	0	13,3
ИШ-55	Уровни звукового давления от ИШ в РТ днём	18,7	9,4	8,6	14,8	7,5	0	0	0	13,3
	Уровни звукового давления от ИШ в РТ ночью	18,7	9,4	8,6	14,8	7,5	0	0	0	13,3
ИШ-56	Уровни звукового давления от ИШ в РТ днём	18,7	9,5	8,6	14,9	7,6	0	0	0	13,4
	Уровни звукового давления от ИШ в РТ ночью	18,7	9,5	8,6	14,9	7,6	0	0	0	13,4
ИШ-57	Уровни звукового давления от ИШ в РТ днём	18,7	9,4	8,6	14,8	7,5	0	0	0	13,4
	Уровни звукового давления от ИШ в РТ ночью	18,7	9,4	8,6	14,8	7,5	0	0	0	13,4
ИШ-58	Уровни звукового давления от ИШ в РТ днём	18,7	9,5	8,7	14,9	7,6	0	0	0	13,4
	Уровни звукового давления от ИШ в РТ ночью	18,7	9,5	8,7	14,9	7,6	0	0	0	13,4
ИШ-59	Уровни звукового давления от ИШ в РТ днём	18,8	9,5	8,7	15	7,7	0	0	0	13,5
	Уровни звукового давления от ИШ в РТ ночью	18,8	9,5	8,7	15	7,7	0	0	0	13,5
ИШ-60	Уровни звукового давления от ИШ в РТ днём	18,8	9,6	8,8	15,1	7,8	0	0	0	13,6
	Уровни звукового давления от ИШ в РТ ночью	18,8	9,6	8,8	15,1	7,8	0	0	0	13,6
ИШ-61	Уровни звукового давления от ИШ в РТ днём	18,9	9,7	8,9	15,2	7,9	0	0	0	13,7
	Уровни звукового давления от ИШ в РТ ночью	18,9	9,7	8,9	15,2	7,9	0	0	0	13,7
ИШ-62	Уровни звукового давления от ИШ в РТ днём	18,8	9,6	8,7	15	7,7	0	0	0	13,5
	Уровни звукового давления от ИШ в РТ ночью	18,8	9,6	8,7	15	7,7	0	0	0	13,5
ИШ-63	Уровни звукового давления от ИШ в РТ днём	18,9	9,6	8,8	15,1	7,9	0	0	0	13,6
	Уровни звукового давления от ИШ в РТ ночью	18,9	9,6	8,8	15,1	7,9	0	0	0	13,6
ИШ-64	Уровни звукового давления от ИШ в РТ днём	19	9,7	8,9	15,2	8	0	0	0	13,8
	Уровни звукового давления от ИШ в РТ ночью	19	9,7	8,9	15,2	8	0	0	0	13,8
ИШ-65	Уровни звукового давления от ИШ в РТ днём	18,8	9,5	8,7	15	7,7	0	0	0	13,5
	Уровни звукового давления от ИШ в РТ ночью	18,8	9,5	8,7	15	7,7	0	0	0	13,5
ИШ-66	Уровни звукового давления от ИШ в РТ днём	18,8	12,5	11,7	17,9	10,7	0	0	0	16,5
	Уровни звукового давления от ИШ в РТ ночью	18,8	12,5	11,7	17,9	10,7	0	0	0	16,5
ИШ-67	Уровни звукового давления от ИШ в РТ днём	18,9	9,6	8,8	15,1	7,9	0	0	0	13,6
	Уровни звукового давления от ИШ в РТ ночью	18,9	9,6	8,8	15,1	7,9	0	0	0	13,6
ИШ-68	Уровни звукового давления от ИШ в РТ днём	18,9	12,6	11,8	18,1	10,8	0	0	0	16,6
	Уровни звукового давления от ИШ в РТ ночью	18,9	12,6	11,8	18,1	10,8	0	0	0	16,6
ИШ-69	Уровни звукового давления от ИШ в РТ днём	19	9,7	8,9	15,2	8	0	0	0	13,8
	Уровни звукового давления от ИШ в РТ ночью	19	9,7	8,9	15,2	8	0	0	0	13,8
ИШ-70	Уровни звукового давления от ИШ в РТ днём	19	12,7	11,9	18,2	11	0	0	0	16,7
	Уровни звукового давления от ИШ в РТ ночью	19	12,7	11,9	18,2	11	0	0	0	16,7
ИШ-71	Уровни звукового давления от ИШ в РТ днём	19,1	9,8	9,1	15,4	8,2	0	0	0	13,9
	Уровни звукового давления от ИШ в РТ ночью	19,1	9,8	9,1	15,4	8,2	0	0	0	13,9
ИШ-72	Уровни звукового давления от ИШ в РТ днём	26,1	17,9	20,1	23,4	14,2	7,1	0	0	21,9
	Уровни звукового давления от ИШ в РТ ночью	26,1	17,9	20,1	23,4	14,2	7,1	0	0	21,9
ИШ-73	Уровни звукового давления от ИШ в РТ днём	26,2	17,9	20,2	23,5	14,3	7,3	0	0	22
	Уровни звукового давления от ИШ в РТ ночью	26,2	17,9	20,2	23,5	14,3	7,3	0	0	22
ИШ-74	Уровни звукового давления от ИШ в РТ днём	26,2	17,9	20,1	23,5	14,3	7,2	0	0	21,9
	Уровни звукового давления от ИШ в РТ ночью	26,2	17,9	20,1	23,5	14,3	7,2	0	0	21,9
ИШ-75	Уровни звукового давления от ИШ в РТ днём	26,2	18	20,2	23,6	14,4	7,4	0	0	22,1
	Уровни звукового давления от ИШ в РТ ночью	26,2	18	20,2	23,6	14,4	7,4	0	0	22,1
ИШ-76	Уровни звукового давления от ИШ в РТ днём	26,3	18,1	20,3	23,7	14,5	7,5	0	0	22,2
	Уровни звукового давления от ИШ в РТ ночью	26,3	18,1	20,3	23,7	14,5	7,5	0	0	22,2
ИШ-77	Уровни звукового давления от ИШ в РТ днём	26,4	18,2	20,4	23,8	14,6	7,7	0	0	22,3
	Уровни звукового давления от ИШ в РТ ночью	26,4	18,2	20,4	23,8	14,6	7,7	0	0	22,3
ИШ-78	Уровни звукового давления от ИШ в РТ днём	5,8	0	0	10,8	0	0	0	0	7,6
	Уровни звукового давления от ИШ в РТ ночью	5,8	0	0	10,8	0	0	0	0	7,6
ИШ-79	Уровни звукового давления от ИШ в РТ днём	5,9	0	0	10,9	0	0	0	0	7,7
	Уровни звукового давления от ИШ в РТ ночью	5,9	0	0	10,9	0	0	0	0	7,7
ИШ-80	Уровни звукового давления от ИШ в РТ днём	0	0	0	0	0	0	0	0	0
	Уровни звукового давления от ИШ в РТ ночью	0	0	0	0	0	0	0	0	0
ИШ-81	Уровни звукового давления от ИШ в РТ днём	0	0	0	0	0	0	0	0	0
	Уровни звукового давления от ИШ в РТ ночью	0	0	0	0	0	0	0	0	0
ИШ-82	Уровни звукового давления от ИШ в РТ днём	0	0	0	7,9	0	0	0	0	4,7
	Уровни звукового давления от ИШ в РТ ночью	0	0	0	7,9	0	0	0	0	4,7
ИШ-83	Уровни звукового давления от ИШ в РТ днём	16,3	10,6	11,9	17,6	9,7	0	0	0	16
	Уровни звукового давления от ИШ в РТ ночью	16,3	10,6	11,9	17,6	9,7	0	0	0	16
ИШ-84	Уровни звукового давления от ИШ в РТ днём	0	0	0	0	0	0	0	0	0
	Уровни звукового давления от ИШ в РТ ночью	0	0	0	0	0	0	0	0	0
ИШ-85	Уровни звукового давления от ИШ в РТ днём	6,1	9,3	10,4	6,8	0	0	0	0	6,1
	Уровни звукового давления от ИШ в РТ ночью	6,1	9,3	10,4	6,8	0	0	0	0	6,1
ИШ-86	Уровни звукового давления от ИШ в РТ днём	6,1	9,3	10,5	6,9	0	0	0	0	6,1



Источ-ник шума	Характеристика	Уровни звукового давления, дБ, в октавных полосах, со среднегеометрическими частотами, Гц								La, дБА
		63	125	250	500	1000	2000	4000	8000	
<b>Итоговые результаты определения уровней звукового давления в РТ-6 (координаты точки, м: x = 2249895.70, y = 412312.60, z = 1.50)</b>										
ИШ-120	Уровни звукового давления от ИШ в РТ днём	9,5	2	0	0	0	0	0	0	0
	Уровни звукового давления от ИШ в РТ ночью	9,5	2	0	0	0	0	0	0	0
ИШ-121	Уровни звукового давления от ИШ в РТ днём	24,7	20,3	17,2	0	0	0	0	0	10,2
	Уровни звукового давления от ИШ в РТ ночью	24,7	20,3	17,2	0	0	0	0	0	10,2
ИШ-122	Уровни звукового давления от ИШ в РТ днём	0	0	0	0	0	0	0	0	0
	Уровни звукового давления от ИШ в РТ ночью	0	0	0	0	0	0	0	0	0
ИШ-123	Уровни звукового давления от ИШ в РТ днём	0	0	0	0	0	0	0	0	0
	Уровни звукового давления от ИШ в РТ ночью	0	0	0	0	0	0	0	0	0
ИШ-124	Уровни звукового давления от ИШ в РТ днём	16,4	17,6	18,3	17,2	15	8,4	0	0	18,9
	Уровни звукового давления от ИШ в РТ ночью	16,4	17,6	18,3	17,2	15	8,4	0	0	18,9
ИШ-125	Уровни звукового давления от ИШ в РТ днём	21,8	21,7	18,9	13,2	7,6	0	0	0	14,9
	Уровни звукового давления от ИШ в РТ ночью	0	0	0	0	0	0	0	0	0
ИШ-130	Уровни звукового давления от ИШ в РТ днём	7,4	0	0	0	0	0	0	0	0
	Уровни звукового давления от ИШ в РТ ночью	0	0	0	0	0	0	0	0	0
ИШ-131	Уровни звукового давления от ИШ в РТ днём	0,8	0,5	4,4	0	0	0	0	0	0
	Уровни звукового давления от ИШ в РТ ночью	0,8	0,5	4,4	0	0	0	0	0	0
ИШ-133	Уровни звукового давления от ИШ в РТ днём	13,2	13,8	13,7	11,9	8,3	0,7	0	0	12,9
	Уровни звукового давления от ИШ в РТ ночью	0	0	0	0	0	0	0	0	0
ИШ-134	Уровни звукового давления от ИШ в РТ днём	15,6	15,3	14,5	12,9	10,7	9,1	0	0	15,6
	Уровни звукового давления от ИШ в РТ ночью	15,6	15,3	14,5	12,9	10,7	9,1	0	0	15,6
Суммарные УЗД в РТ от всех ИШ днём, L <sub>рт</sub> , дБ		48,3	42,2	39,9	36,5	29,4	20,5	0	0	37,1
Суммарные УЗД в РТ от всех ИШ ночью, L <sub>рт</sub> , дБ		48,3	42,1	39,9	36,5	29,3	20,5	0	0	37
Допускаемые УЗД днём, L <sub>доп</sub> , дБ		70	61	54	49	45	42	40	39	50
Допускаемые УЗД ночью, L <sub>доп</sub> , дБ		62	52	44	39	35	32	30	28	40
с учётом поправки -5 дБ на работу технологического оборудования										
Превышение днём, дБ		-21,7	-18,8	-14,1	-12,5	-15,6	-21,5	-40	-39	-12,9
Превышение ночью, дБ		-13,7	-9,9	-4,1	-2,5	-5,7	-11,5	-30	-28	-3

Источ-ник шума	Характеристика	Уровни звукового давления, дБ, в октавных полосах, со среднегеометрическими частотами, Гц								L <sub>а</sub> , дБА	L <sub>макс</sub> , дБА
		63	125	250	500	1000	2000	4000	8000		
<b>Результаты расчета шумового воздействия источников непостоянного шума в РТ-6</b>											
ИШ-126	Уровни звукового давления от ИШ в РТ днём	0	20,2	16,3	11,7	9,6	0	0	0	13,9	30,1
	Уровни звукового давления от ИШ в РТ ночью	0	20,2	16,3	11,7	9,6	0	0	0	13,9	30,1
ИШ-127	Уровни звукового давления от ИШ в РТ днём	0	10,9	7,2	0	0	0	0	0	0,1	40,2
	Уровни звукового давления от ИШ в РТ ночью	0	10,9	7,2	0	0	0	0	0	0,1	40,2
ИШ-128	Уровни звукового давления от ИШ в РТ днём	0	7,7	1	0	0	0	0	0	0	30,2
	Уровни звукового давления от ИШ в РТ ночью	0	7,7	1	0	0	0	0	0	0	30,2
ИШ-129	Уровни звукового давления от ИШ в РТ днём	0	0	0	0	0	0	0	0	0	5,1
	Уровни звукового давления от ИШ в РТ ночью	0	0	0	0	0	0	0	0	0	5,1
ИШ-132	Уровни звукового давления от ИШ в РТ днём	0	0	0	0	0	0	0	0	0	19,4
	Уровни звукового давления от ИШ в РТ ночью	0	0	0	0	0	0	0	0	0	19,4
Суммарные УЗД в РТ от всех ИШ днём, L <sub>рт</sub> , дБ		0	20,9	16,9	11,7	9,6	0	0	0	14,1	41
Суммарные УЗД в РТ от всех ИШ ночью, L <sub>рт</sub> , дБ		0	20,9	16,9	11,7	9,6	0	0	0	14,1	41
Допускаемые УЗД днём, L <sub>доп</sub> , дБ		75	66	59	54	50	47	45	44	55	70
Допускаемые УЗД ночью, L <sub>доп</sub> , дБ		67	57	49	44	40	37	35	33	45	60
Превышение днём, дБ		-75	-45,1	-42,1	-42,3	-40,4	-47	-45	-44	-40,9	-29
Превышение ночью, дБ		-67	-36,1	-32,1	-32,3	-30,4	-37	-35	-33	-30,9	-19

Источ-ник шума	Характеристика	Уровни звукового давления, дБ, в октавных полосах, со среднегеометрическими частотами, Гц								La, дБА
		63	125	250	500	1000	2000	4000	8000	
<b>Итоговые результаты определения уровней звукового давления в РТ-7 (координаты точки, м: x = 2249946.70, y = 411465.90, z = 1.50)</b>										
ИШ-1	Уровни звукового давления от ИШ в РТ днём	0,1	0	0	0	0	0	0	0	0
	Уровни звукового давления от ИШ в РТ ночью	0,1	0	0	0	0	0	0	0	0
ИШ-2	Уровни звукового давления от ИШ в РТ днём	0	0	0	0	0	0	0	0	0
	Уровни звукового давления от ИШ в РТ ночью	0	0	0	0	0	0	0	0	0
ИШ-3	Уровни звукового давления от ИШ в РТ днём	11,9	1,5	0	0	0	0	0	0	0
	Уровни звукового давления от ИШ в РТ ночью	11,9	1,5	0	0	0	0	0	0	0
ИШ-4	Уровни звукового давления от ИШ в РТ днём	37,3	26,6	21,1	12,5	4,8	0	0	0	17,3
	Уровни звукового давления от ИШ в РТ ночью	37,3	26,6	21,1	12,5	4,8	0	0	0	17,3
ИШ-5	Уровни звукового давления от ИШ в РТ днём	39,2	28,5	23	14,5	7,1	0	0	0	19,2
	Уровни звукового давления от ИШ в РТ ночью	39,2	28,5	23	14,5	7,1	0	0	0	19,2
ИШ-6	Уровни звукового давления от ИШ в РТ днём	7,6	0	0	0	0	0	0	0	0
	Уровни звукового давления от ИШ в РТ ночью	7,6	0	0	0	0	0	0	0	0
ИШ-7	Уровни звукового давления от ИШ в РТ днём	2,6	0	0	0	0	0	0	0	0
	Уровни звукового давления от ИШ в РТ ночью	2,6	0	0	0	0	0	0	0	0
ИШ-8	Уровни звукового давления от ИШ в РТ днём	18,5	11,2	2,6	0	0	0	0	0	0
	Уровни звукового давления от ИШ в РТ ночью	18,5	11,2	2,6	0	0	0	0	0	0
ИШ-9	Уровни звукового давления от ИШ в РТ днём	29,5	24,7	18,9	8,2	0	0	0	0	13,7



Источ- ник шума	Характеристика	Уровни звукового давления, дБ, в октавных полосах, со среднегеометрическими частотами, Гц								La, дБА
		63	125	250	500	1000	2000	4000	8000	
Итоговые результаты определения уровней звукового давления в РТ-7 (координаты точки, м: x = 2249946.70, y = 411465.90, z = 1.50)										
ИШ-43	Уровни звукового давления от ИШ в РТ днём	5,8	0	0	0	0	0	0	0	0
	Уровни звукового давления от ИШ в РТ ночью	5,8	0	0	0	0	0	0	0	0
ИШ-44	Уровни звукового давления от ИШ в РТ днём	5,8	0	0	0	0	0	0	0	0
	Уровни звукового давления от ИШ в РТ ночью	5,8	0	0	0	0	0	0	0	0
ИШ-45	Уровни звукового давления от ИШ в РТ днём	5,8	0	0	0	0	0	0	0	0
	Уровни звукового давления от ИШ в РТ ночью	5,8	0	0	0	0	0	0	0	0
ИШ-46	Уровни звукового давления от ИШ в РТ днём	14,4	18,3	18,5	13,8	8,2	0	0	0	14,7
	Уровни звукового давления от ИШ в РТ ночью	14,4	18,3	18,5	13,8	8,2	0	0	0	14,7
ИШ-47	Уровни звукового давления от ИШ в РТ днём	16,2	20,3	19,5	13,6	8	0	0	0	15,1
	Уровни звукового давления от ИШ в РТ ночью	16,2	20,3	19,5	13,6	8	0	0	0	15,1
ИШ-48	Уровни звукового давления от ИШ в РТ днём	13,8	0	17,9	13,2	7,5	0	0	0	13,8
	Уровни звукового давления от ИШ в РТ ночью	13,8	0	17,9	13,2	7,5	0	0	0	13,8
ИШ-49	Уровни звукового давления от ИШ в РТ днём	22,1	12,9	12,1	18,4	11,2	0	0	0	16,9
	Уровни звукового давления от ИШ в РТ ночью	22,1	12,9	12,1	18,4	11,2	0	0	0	16,9
ИШ-50	Уровни звукового давления от ИШ в РТ днём	19,2	9,9	9,1	15,5	8,3	0	0	0	14
	Уровни звукового давления от ИШ в РТ ночью	19,2	9,9	9,1	15,5	8,3	0	0	0	14
ИШ-51	Уровни звукового давления от ИШ в РТ днём	19,1	9,9	9,1	15,4	8,2	0	0	0	14
	Уровни звукового давления от ИШ в РТ ночью	19,1	9,9	9,1	15,4	8,2	0	0	0	14
ИШ-52	Уровни звукового давления от ИШ в РТ днём	19,2	9,9	9,2	15,5	8,3	0	0	0	14
	Уровни звукового давления от ИШ в РТ ночью	19,2	9,9	9,2	15,5	8,3	0	0	0	14
ИШ-53	Уровни звукового давления от ИШ в РТ днём	19,2	9,9	8,8	14,5	6	0	0	0	12,8
	Уровни звукового давления от ИШ в РТ ночью	19,2	9,9	8,8	14,5	6	0	0	0	12,8
ИШ-54	Уровни звукового давления от ИШ в РТ днём	19,2	9,8	8,7	14,2	5,7	0	0	0	12,5
	Уровни звукового давления от ИШ в РТ ночью	19,2	9,8	8,7	14,2	5,7	0	0	0	12,5
ИШ-55	Уровни звукового давления от ИШ в РТ днём	19,3	10	9,2	15,6	8,4	0	0	0	14,1
	Уровни звукового давления от ИШ в РТ ночью	19,3	10	9,2	15,6	8,4	0	0	0	14,1
ИШ-56	Уровни звукового давления от ИШ в РТ днём	19,3	10	9,2	15,6	8,4	0	0	0	14,1
	Уровни звукового давления от ИШ в РТ ночью	19,3	10	9,2	15,6	8,4	0	0	0	14,1
ИШ-57	Уровни звукового давления от ИШ в РТ днём	19,2	9,7	8,1	12,9	3,6	0	0	0	11,1
	Уровни звукового давления от ИШ в РТ ночью	19,2	9,7	8,1	12,9	3,6	0	0	0	11,1
ИШ-58	Уровни звукового давления от ИШ в РТ днём	19,4	10,2	9,4	15,8	8,7	0	0	0	14,4
	Уровни звукового давления от ИШ в РТ ночью	19,4	10,2	9,4	15,8	8,7	0	0	0	14,4
ИШ-59	Уровни звукового давления от ИШ в РТ днём	19,4	10,2	9,4	15,8	8,7	0	0	0	14,4
	Уровни звукового давления от ИШ в РТ ночью	19,4	10,2	9,4	15,8	8,7	0	0	0	14,4
ИШ-60	Уровни звукового давления от ИШ в РТ днём	19,4	10,2	9,4	15,8	8,7	0	0	0	14,3
	Уровни звукового давления от ИШ в РТ ночью	19,4	10,2	9,4	15,8	8,7	0	0	0	14,3
ИШ-61	Уровни звукового давления от ИШ в РТ днём	19,5	10,3	9,5	15,9	8,8	0	0	0	14,5
	Уровни звукового давления от ИШ в РТ ночью	19,5	10,3	9,5	15,9	8,8	0	0	0	14,5
ИШ-62	Уровни звукового давления от ИШ в РТ днём	19,3	8,4	4,9	7,9	0	0	0	0	5,7
	Уровни звукового давления от ИШ в РТ ночью	19,3	8,4	4,9	7,9	0	0	0	0	5,7
ИШ-63	Уровни звукового давления от ИШ в РТ днём	19,6	10,4	9,6	16,1	9	0,1	0	0	14,8
	Уровни звукового давления от ИШ в РТ ночью	19,6	10,4	9,6	16,1	9	0,1	0	0	14,8
ИШ-64	Уровни звукового давления от ИШ в РТ днём	19,6	10,4	9,6	16	9	0,1	0	0	14,8
	Уровни звукового давления от ИШ в РТ ночью	19,6	10,4	9,6	16	9	0,1	0	0	14,8
ИШ-65	Уровни звукового давления от ИШ в РТ днём	19,1	9,9	9,1	15,4	8,2	0	0	0	13,9
	Уровни звукового давления от ИШ в РТ ночью	19,1	9,9	9,1	15,4	8,2	0	0	0	13,9
ИШ-66	Уровни звукового давления от ИШ в РТ днём	11,2	0	0	0	0	0	0	0	0
	Уровни звукового давления от ИШ в РТ ночью	11,2	0	0	0	0	0	0	0	0
ИШ-67	Уровни звукового давления от ИШ в РТ днём	19,2	10	9,2	15,6	8,4	0	0	0	14,1
	Уровни звукового давления от ИШ в РТ ночью	19,2	10	9,2	15,6	8,4	0	0	0	14,1
ИШ-68	Уровни звукового давления от ИШ в РТ днём	10,6	0	0	0	0	0	0	0	0
	Уровни звукового давления от ИШ в РТ ночью	10,6	0	0	0	0	0	0	0	0
ИШ-69	Уровни звукового давления от ИШ в РТ днём	19,4	10,1	9,4	15,7	8,6	0	0	0	14,3
	Уровни звукового давления от ИШ в РТ ночью	19,4	10,1	9,4	15,7	8,6	0	0	0	14,3
ИШ-70	Уровни звукового давления от ИШ в РТ днём	10,3	0	0	0	0	0	0	0	0
	Уровни звукового давления от ИШ в РТ ночью	10,3	0	0	0	0	0	0	0	0
ИШ-71	Уровни звукового давления от ИШ в РТ днём	19,5	10,3	9,5	15,9	8,8	0	0	0	14,5
	Уровни звукового давления от ИШ в РТ ночью	19,5	10,3	9,5	15,9	8,8	0	0	0	14,5
ИШ-72	Уровни звукового давления от ИШ в РТ днём	26,9	18,7	21	24,5	15,5	8,7	0	0	23
	Уровни звукового давления от ИШ в РТ ночью	26,9	18,7	21	24,5	15,5	8,7	0	0	23
ИШ-73	Уровни звукового давления от ИШ в РТ днём	26,9	18,7	21	24,4	15,4	8,7	0	0	23
	Уровни звукового давления от ИШ в РТ ночью	26,9	18,7	21	24,4	15,4	8,7	0	0	23
ИШ-74	Уровни звукового давления от ИШ в РТ днём	29,7	21,5	23,8	27,2	18,2	11,4	0	0	25,7
	Уровни звукового давления от ИШ в РТ ночью	29,7	21,5	23,8	27,2	18,2	11,4	0	0	25,7
ИШ-75	Уровни звукового давления от ИШ в РТ днём	26,8	18,5	20,8	24,2	15,2	8,4	0	0	22,8
	Уровни звукового давления от ИШ в РТ ночью	26,8	18,5	20,8	24,2	15,2	8,4	0	0	22,8
ИШ-76	Уровни звукового давления от ИШ в РТ днём	26,9	18,7	21	24,4	15,4	8,7	0	0	23



Источ-ник шума	Характеристика	Уровни звукового давления, дБ, в октавных полосах, со среднегеометрическими частотами, Гц								L <sub>a</sub> , дБА
		63	125	250	500	1000	2000	4000	8000	
<b>Итоговые результаты определения уровней звукового давления в РТ-7 (координаты точки, м: x = 2249946.70, y = 411465.90, z = 1.50)</b>										
ИШ-110	Уровни звукового давления от ИШ в РТ днём	0	0	0	0	0	0	0	0	0
	Уровни звукового давления от ИШ в РТ ночью	0	0	0	0	0	0	0	0	0
ИШ-111	Уровни звукового давления от ИШ в РТ днём	3	2,9	0	0	0	0	0	0	0
	Уровни звукового давления от ИШ в РТ ночью	3	2,9	0	0	0	0	0	0	0
ИШ-112	Уровни звукового давления от ИШ в РТ днём	3	2,9	0	0	0	0	0	0	0
	Уровни звукового давления от ИШ в РТ ночью	3	2,9	0	0	0	0	0	0	0
ИШ-113	Уровни звукового давления от ИШ в РТ днём	7,9	7,8	5	0	0	0	0	0	0
	Уровни звукового давления от ИШ в РТ ночью	7,9	7,8	5	0	0	0	0	0	0
ИШ-114	Уровни звукового давления от ИШ в РТ днём	7,9	7,8	5	0	0	0	0	0	0
	Уровни звукового давления от ИШ в РТ ночью	7,9	7,8	5	0	0	0	0	0	0
ИШ-115	Уровни звукового давления от ИШ в РТ днём	0	0	0	0	0	0	0	0	0
	Уровни звукового давления от ИШ в РТ ночью	0	0	0	0	0	0	0	0	0
ИШ-116	Уровни звукового давления от ИШ в РТ днём	0	0	0	0	0	0	0	0	0
	Уровни звукового давления от ИШ в РТ ночью	0	0	0	0	0	0	0	0	0
ИШ-117	Уровни звукового давления от ИШ в РТ днём	19,6	20,4	20,3	18	17,4	8,3	0	0	20,5
	Уровни звукового давления от ИШ в РТ ночью	19,6	20,4	20,3	18	17,4	8,3	0	0	20,5
ИШ-118	Уровни звукового давления от ИШ в РТ днём	17	11,5	4,8	0	0	0	0	0	0
	Уровни звукового давления от ИШ в РТ ночью	17	11,5	4,8	0	0	0	0	0	0
ИШ-119	Уровни звукового давления от ИШ в РТ днём	10,5	2,9	1,9	0	0	0	0	0	0
	Уровни звукового давления от ИШ в РТ ночью	10,5	2,9	1,9	0	0	0	0	0	0
ИШ-120	Уровни звукового давления от ИШ в РТ днём	26,4	25	19,1	8,6	0	0	0	0	13,7
	Уровни звукового давления от ИШ в РТ ночью	26,4	25	19,1	8,6	0	0	0	0	13,7
ИШ-121	Уровни звукового давления от ИШ в РТ днём	29,5	25,1	19,1	8,7	0	0	0	0	13,9
	Уровни звукового давления от ИШ в РТ ночью	29,5	25,1	19,1	8,7	0	0	0	0	13,9
ИШ-122	Уровни звукового давления от ИШ в РТ днём	0	0	16,5	13,4	8,4	0	0	0	13,7
	Уровни звукового давления от ИШ в РТ ночью	0	0	16,5	13,4	8,4	0	0	0	13,7
ИШ-123	Уровни звукового давления от ИШ в РТ днём	9,3	16,6	18,9	16,4	11,2	0	0	0	16,6
	Уровни звукового давления от ИШ в РТ ночью	9,3	16,6	18,9	16,4	11,2	0	0	0	16,6
ИШ-124	Уровни звукового давления от ИШ в РТ днём	17,1	18,3	19	18,1	16	9,7	0	0	19,8
	Уровни звукового давления от ИШ в РТ ночью	17,1	18,3	19	18,1	16	9,7	0	0	19,8
ИШ-125	Уровни звукового давления от ИШ в РТ днём	19,6	21,4	18,7	13	7,5	0	0	0	14,6
	Уровни звукового давления от ИШ в РТ ночью	0	0	0	0	0	0	0	0	0
ИШ-130	Уровни звукового давления от ИШ в РТ днём	8	0	0	0	0	0	0	0	0
	Уровни звукового давления от ИШ в РТ ночью	0	0	0	0	0	0	0	0	0
ИШ-131	Уровни звукового давления от ИШ в РТ днём	0	0	5,1	0	0	0	0	0	0
	Уровни звукового давления от ИШ в РТ ночью	0	0	5,1	0	0	0	0	0	0
ИШ-133	Уровни звукового давления от ИШ в РТ днём	17,1	17,7	17,7	16,1	12,6	5,5	0	0	17,2
	Уровни звукового давления от ИШ в РТ ночью	0	0	0	0	0	0	0	0	0
ИШ-134	Уровни звукового давления от ИШ в РТ днём	11,6	8,3	4,1	0	0	0	0	0	0
	Уровни звукового давления от ИШ в РТ ночью	11,6	8,3	4,1	0	0	0	0	0	0
Суммарные УЗД в РТ от всех ИШ днём, L <sub>рт</sub> , дБ		50,7	43,9	41,7	38,3	32,1	27,5	8,1	0	39,3
Суммарные УЗД в РТ от всех ИШ ночью, L <sub>рт</sub> , дБ		50,7	43,8	41,6	38,3	32	27,4	8,1	0	39,2
Допускаемые УЗД днём, L <sub>доп</sub> , дБ территория у жилого дома		70	61	54	49	45	42	40	39	50
Допускаемые УЗД ночью, L <sub>доп</sub> , дБ территория у жилого дома		62	52	44	39	35	32	30	28	40
с учётом поправки -5 дБ на работу технологического оборудования										
Превышение днём, дБ		-19,3	-17,1	-12,3	-10,7	-12,9	-14,5	-31,9	-39	-10,7
Превышение ночью, дБ		-11,3	-8,2	-2,4	-0,7	-3	-4,6	-21,9	-28	-0,8

Источ-ник шума	Характеристика	Уровни звукового давления, дБ, в октавных полосах, со среднегеометрическими частотами, Гц								L <sub>а</sub> , дБА	L <sub>макс</sub> , дБА
		63	125	250	500	1000	2000	4000	8000		
<b>Результаты расчета шумового воздействия источников непостоянного шума в РТ-7</b>											
ИШ-126	Уровни звукового давления от ИШ в РТ днём	0	21,8	18,2	13,8	12	1,9	0	0	16,3	31,8
	Уровни звукового давления от ИШ в РТ ночью	0	21,8	18,2	13,8	12	1,9	0	0	16,3	31,8
ИШ-127	Уровни звукового давления от ИШ в РТ днём	0	13,5	10	5,9	0	0	0	0	5,8	43,6
	Уровни звукового давления от ИШ в РТ ночью	0	13,5	10	5,9	0	0	0	0	5,8	43,6
ИШ-128	Уровни звукового давления от ИШ в РТ днём	0	10	4,6	0	0	0	0	0	0	32,2
	Уровни звукового давления от ИШ в РТ ночью	0	10	4,6	0	0	0	0	0	0	32,2
ИШ-129	Уровни звукового давления от ИШ в РТ днём	0	0	0	0	0	0	0	0	0	5,5
	Уровни звукового давления от ИШ в РТ ночью	0	0	0	0	0	0	0	0	0	5,5
ИШ-132	Уровни звукового давления от ИШ в РТ днём	0	0	0	0	0	0	0	0	0	24,8
	Уровни звукового давления от ИШ в РТ ночью	0	0	0	0	0	0	0	0	0	24,8
Суммарные УЗД в РТ от всех ИШ днём, L <sub>рт</sub> , дБ		0	22,7	19	14,4	12	1,9	0	0	16,7	44,2
Суммарные УЗД в РТ от всех ИШ ночью, L <sub>рт</sub> , дБ		0	22,7	19	14,4	12	1,9	0	0	16,7	44,2
Допускаемые УЗД днём, L <sub>доп</sub> , дБ территория у жилого дома		75	66	59	54	50	47	45	44	55	70
Допускаемые УЗД ночью, L <sub>доп</sub> , дБ территория у жилого дома		67	57	49	44	40	37	35	33	45	60
Превышение днём, дБ		-75	-43,3	-40	-39,6	-38	-45,1	-45	-44	-38,3	-25,8
Превышение ночью, дБ		-67	-34,3	-30	-29,6	-28	-35,1	-35	-33	-28,3	-15,8



Источ- ник шума	Характеристика	Уровни звукового давления, дБ, в октавных полосах, со среднегеометрическими частотами, Гц								La, дБА
		63	125	250	500	1000	2000	4000	8000	
Итоговые результаты определения уровней звукового давления в РТ-8 (координаты точки, м: x = 2249510.00, y = 410963.20, z = 1.50)										
ИШ-1	Уровни звукового давления от ИШ в РТ днём	4,5	0	0	0	0	0	0	0	0
	Уровни звукового давления от ИШ в РТ ночью	4,5	0	0	0	0	0	0	0	0
ИШ-2	Уровни звукового давления от ИШ в РТ днём	0	0	0	0	0	0	0	0	0
	Уровни звукового давления от ИШ в РТ ночью	0	0	0	0	0	0	0	0	0
ИШ-3	Уровни звукового давления от ИШ в РТ днём	17,7	4	0	0	0	0	0	0	0
	Уровни звукового давления от ИШ в РТ ночью	17,7	4	0	0	0	0	0	0	0
ИШ-4	Уровни звукового давления от ИШ в РТ днём	38,1	27,5	22	13,6	6,2	0	0	0	18,2
	Уровни звукового давления от ИШ в РТ ночью	38,1	27,5	22	13,6	6,2	0	0	0	18,2
ИШ-5	Уровни звукового давления от ИШ в РТ днём	39,5	28,9	23,4	16,6	9,3	0	0	0	20,1
	Уровни звукового давления от ИШ в РТ ночью	39,5	28,9	23,4	16,6	9,3	0	0	0	20,1
ИШ-6	Уровни звукового давления от ИШ в РТ днём	11,2	0	0	0	0	0	0	0	0
	Уровни звукового давления от ИШ в РТ ночью	11,2	0	0	0	0	0	0	0	0
ИШ-7	Уровни звукового давления от ИШ в РТ днём	3,7	0	0	0	0	0	0	0	0
	Уровни звукового давления от ИШ в РТ ночью	3,7	0	0	0	0	0	0	0	0
ИШ-8	Уровни звукового давления от ИШ в РТ днём	8,1	0,1	0	0	0	0	0	0	0
	Уровни звукового давления от ИШ в РТ ночью	8,1	0,1	0	0	0	0	0	0	0
ИШ-9	Уровни звукового давления от ИШ в РТ днём	29,5	24,7	18,9	8,2	0	0	0	0	13,6
	Уровни звукового давления от ИШ в РТ ночью	29,5	24,7	18,9	8,2	0	0	0	0	13,6
ИШ-10	Уровни звукового давления от ИШ в РТ днём	9,5	5,7	0	0	0	0	0	0	0
	Уровни звукового давления от ИШ в РТ ночью	9,5	5,7	0	0	0	0	0	0	0
ИШ-11	Уровни звукового давления от ИШ в РТ днём	2,5	0	0	0	0	0	0	0	0
	Уровни звукового давления от ИШ в РТ ночью	2,5	0	0	0	0	0	0	0	0
ИШ-12	Уровни звукового давления от ИШ в РТ днём	28,2	23,9	18,3	10,3	0	0	0	0	13,5
	Уровни звукового давления от ИШ в РТ ночью	28,2	23,9	18,3	10,3	0	0	0	0	13,5
ИШ-13	Уровни звукового давления от ИШ в РТ днём	30	25,7	20,1	10,3	0	0	0	0	14,9
	Уровни звукового давления от ИШ в РТ ночью	30	25,7	20,1	10,3	0	0	0	0	14,9
ИШ-14	Уровни звукового давления от ИШ в РТ днём	20,3	19,8	19	12,2	5	0	0	0	13,9
	Уровни звукового давления от ИШ в РТ ночью	20,3	19,8	19	12,2	5	0	0	0	13,9
ИШ-15	Уровни звукового давления от ИШ в РТ днём	10,5	6,1	0	0	0	0	0	0	0
	Уровни звукового давления от ИШ в РТ ночью	10,5	6,1	0	0	0	0	0	0	0
ИШ-16	Уровни звукового давления от ИШ в РТ днём	31,7	31,6	28,7	22,9	17,1	10,2	0	0	24,8
	Уровни звукового давления от ИШ в РТ ночью	31,7	31,6	28,7	22,9	17,1	10,2	0	0	24,8
ИШ-17	Уровни звукового давления от ИШ в РТ днём	20,6	16,5	10,2	2,4	0	0	0	0	5,6
	Уровни звукового давления от ИШ в РТ ночью	20,6	16,5	10,2	2,4	0	0	0	0	5,6
ИШ-18	Уровни звукового давления от ИШ в РТ днём	0	0	0	0	0	1,5	0	0	2,7
	Уровни звукового давления от ИШ в РТ ночью	0	0	0	0	0	1,5	0	0	2,7
ИШ-19	Уровни звукового давления от ИШ в РТ днём	10,1	5,1	0	0	0	0	0	0	0
	Уровни звукового давления от ИШ в РТ ночью	10,1	5,1	0	0	0	0	0	0	0
ИШ-20	Уровни звукового давления от ИШ в РТ днём	0	0	0	0	0	0	0	0	0
	Уровни звукового давления от ИШ в РТ ночью	0	0	0	0	0	0	0	0	0
ИШ-21	Уровни звукового давления от ИШ в РТ днём	15,7	17,5	10,3	0	0	0	0	0	4,7
	Уровни звукового давления от ИШ в РТ ночью	15,7	17,5	10,3	0	0	0	0	0	4,7
ИШ-22	Уровни звукового давления от ИШ в РТ днём	5,6	0	0	0	0	0	0	0	0
	Уровни звукового давления от ИШ в РТ ночью	5,6	0	0	0	0	0	0	0	0
ИШ-23	Уровни звукового давления от ИШ в РТ днём	5,7	0	0	0	0	0	0	0	0
	Уровни звукового давления от ИШ в РТ ночью	5,7	0	0	0	0	0	0	0	0
ИШ-24	Уровни звукового давления от ИШ в РТ днём	42,6	33,8	32,2	28,8	22	11,1	0	0	29,4
	Уровни звукового давления от ИШ в РТ ночью	42,6	33,8	32,2	28,8	22	11,1	0	0	29,4
ИШ-25	Уровни звукового давления от ИШ в РТ днём	42,6	36,8	35,2	28,8	22	11	0	0	30,6
	Уровни звукового давления от ИШ в РТ ночью	42,6	36,8	35,2	28,8	22	11	0	0	30,6
ИШ-26	Уровни звукового давления от ИШ в РТ днём	45,6	36,8	35,1	28,8	22	11	0	0	30,8
	Уровни звукового давления от ИШ в РТ ночью	45,6	36,8	35,1	28,8	22	11	0	0	30,8
ИШ-27	Уровни звукового давления от ИШ в РТ днём	0	0,4	0	0	0	0	0	0	0
	Уровни звукового давления от ИШ в РТ ночью	0	0,4	0	0	0	0	0	0	0
ИШ-28	Уровни звукового давления от ИШ в РТ днём	2,3	12,5	2,3	0	0	0	0	0	0
	Уровни звукового давления от ИШ в РТ ночью	2,3	12,5	2,3	0	0	0	0	0	0
ИШ-29	Уровни звукового давления от ИШ в РТ днём	0	6,7	5	0,4	0	0	0	0	0,3
	Уровни звукового давления от ИШ в РТ ночью	0	6,7	5	0,4	0	0	0	0	0,3
ИШ-30	Уровни звукового давления от ИШ в РТ днём	3	14,1	12,4	7,8	2,8	0	0	0	9
	Уровни звукового давления от ИШ в РТ ночью	3	14,1	12,4	7,8	2,8	0	0	0	9
ИШ-31	Уровни звукового давления от ИШ в РТ днём	17,9	20,9	17,2	14,6	7,5	0	0	0	14,8
	Уровни звукового давления от ИШ в РТ ночью	17,9	20,9	17,2	14,6	7,5	0	0	0	14,8
ИШ-32	Уровни звукового давления от ИШ в РТ днём	10,2	19,3	14,6	13,1	6,2	0	0	0	13
	Уровни звукового давления от ИШ в РТ ночью	10,2	19,3	14,6	13,1	6,2	0	0	0	13
ИШ-33	Уровни звукового давления от ИШ в РТ днём	0	0	0	0	0	0	0	0	0
	Уровни звукового давления от ИШ в РТ ночью	0	0	0	0	0	0	0	0	0
ИШ-34	Уровни звукового давления от ИШ в РТ днём	4,8	0	13	8,2	0	0	0	0	7,8





Источ-ник шума	Характеристика	Уровни звукового давления, дБ, в октавных полосах, со среднегеометрическими частотами, Гц								L <sub>a</sub> , дБА
		63	125	250	500	1000	2000	4000	8000	
Итоговые результаты определения уровней звукового давления в РТ-8 (координаты точки, м: x = 2249510.00, y = 410963.20, z = 1.50)										
ИШ-101	Уровни звукового давления от ИШ в РТ ночью	0	0	0	0	0	0	0	0	0
ИШ-102	Уровни звукового давления от ИШ в РТ днём	0	0	0	0	0	0	0	0	0
	Уровни звукового давления от ИШ в РТ ночью	0	0	0	0	0	0	0	0	0
ИШ-103	Уровни звукового давления от ИШ в РТ днём	13,1	13	10,2	4,6	0	0	0	0	5,3
	Уровни звукового давления от ИШ в РТ ночью	13,1	13	10,2	4,6	0	0	0	0	5,3
ИШ-104	Уровни звукового давления от ИШ в РТ днём	16,1	16	13,2	7,6	0	0	0	0	8,3
	Уровни звукового давления от ИШ в РТ ночью	16,1	16	13,2	7,6	0	0	0	0	8,3
ИШ-105	Уровни звукового давления от ИШ в РТ днём	13	12,9	10,2	4,6	0	0	0	0	5,2
	Уровни звукового давления от ИШ в РТ ночью	13	12,9	10,2	4,6	0	0	0	0	5,2
ИШ-106	Уровни звукового давления от ИШ в РТ днём	13	12,9	10,2	4,6	0	0	0	0	5,2
	Уровни звукового давления от ИШ в РТ ночью	13	12,9	10,2	4,6	0	0	0	0	5,2
ИШ-107	Уровни звукового давления от ИШ в РТ днём	0	0	0	0	0	0	0	0	0
	Уровни звукового давления от ИШ в РТ ночью	0	0	0	0	0	0	0	0	0
ИШ-108	Уровни звукового давления от ИШ в РТ днём	0	0	0	0	0	0	0	0	0
	Уровни звукового давления от ИШ в РТ ночью	0	0	0	0	0	0	0	0	0
ИШ-109	Уровни звукового давления от ИШ в РТ днём	0	0	0	0	0	0	0	0	0
	Уровни звукового давления от ИШ в РТ ночью	0	0	0	0	0	0	0	0	0
ИШ-110	Уровни звукового давления от ИШ в РТ днём	0	0	0	0	0	0	0	0	0
	Уровни звукового давления от ИШ в РТ ночью	0	0	0	0	0	0	0	0	0
ИШ-111	Уровни звукового давления от ИШ в РТ днём	0	0	0	0	0	0	0	0	0
	Уровни звукового давления от ИШ в РТ ночью	0	0	0	0	0	0	0	0	0
ИШ-112	Уровни звукового давления от ИШ в РТ днём	0	0	0	0	0	0	0	0	0
	Уровни звукового давления от ИШ в РТ ночью	0	0	0	0	0	0	0	0	0
ИШ-113	Уровни звукового давления от ИШ в РТ днём	12,6	12,4	9,7	4	0	0	0	0	4,7
	Уровни звукового давления от ИШ в РТ ночью	12,6	12,4	9,7	4	0	0	0	0	4,7
ИШ-114	Уровни звукового давления от ИШ в РТ днём	12,6	12,4	9,7	4	0	0	0	0	4,7
	Уровни звукового давления от ИШ в РТ ночью	12,6	12,4	9,7	4	0	0	0	0	4,7
ИШ-115	Уровни звукового давления от ИШ в РТ днём	0	0	0	0	0	0	0	0	0
	Уровни звукового давления от ИШ в РТ ночью	0	0	0	0	0	0	0	0	0
ИШ-116	Уровни звукового давления от ИШ в РТ днём	0	0	0	0	0	0	0	0	0
	Уровни звукового давления от ИШ в РТ ночью	0	0	0	0	0	0	0	0	0
ИШ-117	Уровни звукового давления от ИШ в РТ днём	9,8	7,5	4,8	0,4	0	0	0	0	0,4
	Уровни звукового давления от ИШ в РТ ночью	9,8	7,5	4,8	0,4	0	0	0	0	0,4
ИШ-118	Уровни звукового давления от ИШ в РТ днём	10	2	0	0	0	0	0	0	0
	Уровни звукового давления от ИШ в РТ ночью	10	2	0	0	0	0	0	0	0
ИШ-119	Уровни звукового давления от ИШ в РТ днём	14,8	8,6	0,2	0	0	0	0	0	0
	Уровни звукового давления от ИШ в РТ ночью	14,8	8,6	0,2	0	0	0	0	0	0
ИШ-120	Уровни звукового давления от ИШ в РТ днём	29	24,6	18,6	0	0	0	0	0	12,8
	Уровни звукового давления от ИШ в РТ ночью	29	24,6	18,6	0	0	0	0	0	12,8
ИШ-121	Уровни звукового давления от ИШ в РТ днём	25,9	24,5	18,5	0	0	0	0	0	12,5
	Уровни звукового давления от ИШ в РТ ночью	25,9	24,5	18,5	0	0	0	0	0	12,5
ИШ-122	Уровни звукового давления от ИШ в РТ днём	0	0	0	0	0	0	0	0	0
	Уровни звукового давления от ИШ в РТ ночью	0	0	0	0	0	0	0	0	0
ИШ-123	Уровни звукового давления от ИШ в РТ днём	12,2	17,5	18,8	16,3	11,6	0	0	0	16,7
	Уровни звукового давления от ИШ в РТ ночью	12,2	17,5	18,8	16,3	11,6	0	0	0	16,7
ИШ-124	Уровни звукового давления от ИШ в РТ днём	15,9	17	17,5	16,2	13,4	5,9	0	0	17,5
	Уровни звукового давления от ИШ в РТ ночью	15,9	17	17,5	16,2	13,4	5,9	0	0	17,5
ИШ-125	Уровни звукового давления от ИШ в РТ днём	18,6	18,5	15,7	10,1	4,5	0	0	0	11,7
	Уровни звукового давления от ИШ в РТ ночью	0	0	0	0	0	0	0	0	0
ИШ-130	Уровни звукового давления от ИШ в РТ днём	6,3	0	0	0	0	0	0	0	0
	Уровни звукового давления от ИШ в РТ ночью	0	0	0	0	0	0	0	0	0
ИШ-131	Уровни звукового давления от ИШ в РТ днём	3,8	4,2	6,2	0	0	0	0	0	0
	Уровни звукового давления от ИШ в РТ ночью	3,8	4,2	6,2	0	0	0	0	0	0
ИШ-133	Уровни звукового давления от ИШ в РТ днём	14,4	14,9	15,0	13,3	10	2,9	0	0	14,5
	Уровни звукового давления от ИШ в РТ ночью	0	0	0	0	0	0	0	0	0
ИШ-134	Уровни звукового давления от ИШ в РТ днём	0,6	0	0	0	0	0	0	0	0
	Уровни звукового давления от ИШ в РТ ночью	0,6	0	0	0	0	0	0	0	0
Суммарные УЗД в РТ от всех ИШ днём, L <sub>рт</sub> , дБ		50,1	42,7	40,8	38,4	31	21,9	0	0	38,5
Суммарные УЗД в РТ от всех ИШ ночью, L <sub>рт</sub> , дБ		50,1	42,7	40,7	38,4	31	21,8	0	0	38,5
Допускаемые УЗД днём, L <sub>доп</sub> , дБ территория у жилого дома		70	61	54	49	45	42	40	39	50
Допускаемые УЗД ночью, L <sub>доп</sub> , дБ территория у жилого дома		62	52	44	39	35	32	30	28	40
с учётом поправки -5 дБ на работу технологического оборудования										
Превышение днём, дБ		-19,9	-18,3	-13,2	-10,6	-14	-20,1	-40	-39	-11,5
Превышение ночью, дБ		-11,9	-9,3	-3,3	-0,6	-4	-10,2	-30	-28	-1,5

Характеристика	Уровни звукового давления, дБ, в октавных полосах, со среднегеометрическими частотами, Гц								L <sub>a</sub> , дБА	L <sub>макс</sub> , дБА
----------------	---	--	--	--	--	--	--	--	----------------------	-------------------------

Источ-ник шума		63	125	250	500	1000	2000	4000	8000		
		<b>Результаты расчета шумового воздействия источников непостоянного шума в РТ-8</b>									
ИШ-126	Уровни звукового давления от ИШ в РТ днём	0	22,1	18,4	14	12,1	2,9	0	0	16,5	31,9
	Уровни звукового давления от ИШ в РТ ночью	0	22,1	18,4	14	12,1	2,9	0	0	16,5	31,9
ИШ-127	Уровни звукового давления от ИШ в РТ днём	0	13,3	9,7	0	0	0	0	0	2,6	43,2
	Уровни звукового давления от ИШ в РТ ночью	0	13,3	9,7	0	0	0	0	0	2,6	43,2
ИШ-128	Уровни звукового давления от ИШ в РТ днём	0	10,4	3,9	0	0	0	0	0	0	32,2
	Уровни звукового давления от ИШ в РТ ночью	0	10,4	3,9	0	0	0	0	0	0	32,2
ИШ-129	Уровни звукового давления от ИШ в РТ днём	0	0	0	0	0	0	0	0	0	6,3
	Уровни звукового давления от ИШ в РТ ночью	0	0	0	0	0	0	0	0	0	6,3
ИШ-132	Уровни звукового давления от ИШ в РТ днём	0	0	0	0	0	0	0	0	0	23,8
	Уровни звукового давления от ИШ в РТ ночью	0	0	0	0	0	0	0	0	0	23,8
Суммарные УЗД в РТ от всех ИШ днём, L <sub>рт</sub> , дБ		0	22,9	19,1	14	12,1	2,9	0	0	16,7	43,9
Суммарные УЗД в РТ от всех ИШ ночью, L <sub>рт</sub> , дБ		0	22,9	19,1	14	12,1	2,9	0	0	16,7	43,9
Допускаемые УЗД днём, L <sub>доп</sub> , дБ территория у жилого дома		75	66	59	54	50	47	45	44	55	70
Допускаемые УЗД ночью, L <sub>доп</sub> , дБ территория у жилого дома		67	57	49	44	40	37	35	33	45	60
Превышение днём, дБ		-75	-43,1	-39,9	-40	-37,9	-44,1	-45	-44	-38,3	-26,1
Превышение ночью, дБ		-67	-34,1	-29,9	-30	-27,9	-34,1	-35	-33	-28,3	-16,1

Источ-ник шума	Характеристика	Уровни звукового давления, дБ, в октавных полосах, со среднегеометрическими частотами, Гц								L <sub>a</sub> , дБА
		63	125	250	500	1000	2000	4000	8000	
		<b>Итоговые результаты определения уровней звукового давления в РТ-9 (координаты точки, м: x = 2248742.70, y = 410875.70, z = 1.50)</b>								
ИШ-1	Уровни звукового давления от ИШ в РТ днём	28,4	23	15,3	7,3	0	0	0	0	11,4
	Уровни звукового давления от ИШ в РТ ночью	28,4	23	15,3	7,3	0	0	0	0	11,4
ИШ-2	Уровни звукового давления от ИШ в РТ днём	7	0	0	0	0	0	0	0	0
	Уровни звукового давления от ИШ в РТ ночью	7	0	0	0	0	0	0	0	0
ИШ-3	Уровни звукового давления от ИШ в РТ днём	36,4	25,8	20,3	11,9	4,6	0	0	0	16,5
	Уровни звукового давления от ИШ в РТ ночью	36,4	25,8	20,3	11,9	4,6	0	0	0	16,5
ИШ-4	Уровни звукового давления от ИШ в РТ днём	39,6	29	23,5	15,2	6,8	0	0	0	19,7
	Уровни звукового давления от ИШ в РТ ночью	39,6	29	23,5	15,2	6,8	0	0	0	19,7
ИШ-5	Уровни звукового давления от ИШ в РТ днём	26,4	13,9	6,2	0	0	0	0	0	3,5
	Уровни звукового давления от ИШ в РТ ночью	26,4	13,9	6,2	0	0	0	0	0	3,5
ИШ-6	Уровни звукового давления от ИШ в РТ днём	37,3	24,1	21,9	22,8	16	10,4	0	0	22,7
	Уровни звукового давления от ИШ в РТ ночью	37,3	24,1	21,9	22,8	16	10,4	0	0	22,7
ИШ-7	Уровни звукового давления от ИШ в РТ днём	31,8	27,1	21,3	10,5	0	0	0	0	16,1
	Уровни звукового давления от ИШ в РТ ночью	31,8	27,1	21,3	10,5	0	0	0	0	16,1
ИШ-8	Уровни звукового давления от ИШ в РТ днём	7,1	0	0	0	0	0	0	0	0
	Уровни звукового давления от ИШ в РТ ночью	7,1	0	0	0	0	0	0	0	0
ИШ-9	Уровни звукового давления от ИШ в РТ днём	13,3	6	0	0	0	0	0	0	0
	Уровни звукового давления от ИШ в РТ ночью	13,3	6	0	0	0	0	0	0	0
ИШ-10	Уровни звукового давления от ИШ в РТ днём	9,4	5,6	0	0	0	0	0	0	0
	Уровни звукового давления от ИШ в РТ ночью	9,4	5,6	0	0	0	0	0	0	0
ИШ-11	Уровни звукового давления от ИШ в РТ днём	0	0	0	0	0	0	0	0	0
	Уровни звукового давления от ИШ в РТ ночью	0	0	0	0	0	0	0	0	0
ИШ-12	Уровни звукового давления от ИШ в РТ днём	18,5	13,1	6,1	0	0	0	0	0	0,9
	Уровни звукового давления от ИШ в РТ ночью	18,5	13,1	6,1	0	0	0	0	0	0,9
ИШ-13	Уровни звукового давления от ИШ в РТ днём	13	6,6	0	0	0	0	0	0	0
	Уровни звукового давления от ИШ в РТ ночью	13	6,6	0	0	0	0	0	0	0
ИШ-14	Уровни звукового давления от ИШ в РТ днём	8,3	5	0	0	0	0	0	0	0
	Уровни звукового давления от ИШ в РТ ночью	8,3	5	0	0	0	0	0	0	0
ИШ-15	Уровни звукового давления от ИШ в РТ днём	7,8	4,2	0	0	0	0	0	0	0
	Уровни звукового давления от ИШ в РТ ночью	7,8	4,2	0	0	0	0	0	0	0
ИШ-16	Уровни звукового давления от ИШ в РТ днём	18,2	14,5	11,4	4,3	0	0	0	0	6,1
	Уровни звукового давления от ИШ в РТ ночью	18,2	14,5	11,4	4,3	0	0	0	0	6,1
ИШ-17	Уровни звукового давления от ИШ в РТ днём	16,3	12,7	10,4	4,4	0	0	0	0	5,3
	Уровни звукового давления от ИШ в РТ ночью	16,3	12,7	10,4	4,4	0	0	0	0	5,3
ИШ-18	Уровни звукового давления от ИШ в РТ днём	0	0	0	0	0	0	0	0	0
	Уровни звукового давления от ИШ в РТ ночью	0	0	0	0	0	0	0	0	0
ИШ-19	Уровни звукового давления от ИШ в РТ днём	23,1	21,2	19,5	13,7	7,5	0	0	0	15,2
	Уровни звукового давления от ИШ в РТ ночью	23,1	21,2	19,5	13,7	7,5	0	0	0	15,2
ИШ-20	Уровни звукового давления от ИШ в РТ днём	6,5	8	11,6	11,4	10	0,7	0	0	13,1
	Уровни звукового давления от ИШ в РТ ночью	6,5	8	11,6	11,4	10	0,7	0	0	13,1
ИШ-21	Уровни звукового давления от ИШ в РТ днём	0	0	0	0	0	0	0	0	0
	Уровни звукового давления от ИШ в РТ ночью	0	0	0	0	0	0	0	0	0
ИШ-22	Уровни звукового давления от ИШ в РТ днём	0	0	0	0	0	0	0	0	0
	Уровни звукового давления от ИШ в РТ ночью	0	0	0	0	0	0	0	0	0
ИШ-23	Уровни звукового давления от ИШ в РТ днём	0	0	0	0	0	0	0	0	0
	Уровни звукового давления от ИШ в РТ ночью	0	0	0	0	0	0	0	0	0
ИШ-24	Уровни звукового давления от ИШ в РТ днём	33,6	24,5	22,6	16	8,8	0	0	0	18,1

Источ- ник шума	Характеристика	Уровни звукового давления, дБ, в октавных полосах, со среднегеометрическими частотами, Гц								La, дБА
		63	125	250	500	1000	2000	4000	8000	
Итоговые результаты определения уровней звукового давления в РТ-9 (координаты точки, м: x = 2248742.70, y = 410875.70, z = 1.50)										
ИШ-25	Уровни звукового давления от ИШ в РТ ночью	33,6	24,5	22,6	16	8,8	0	0	0	18,1
	Уровни звукового давления от ИШ в РТ днём	33,2	23,8	21,4	13,8	5,4	0	0	0	16,5
	Уровни звукового давления от ИШ в РТ ночью	33,2	23,8	21,4	13,8	5,4	0	0	0	16,5
ИШ-26	Уровни звукового давления от ИШ в РТ днём	32,9	23,4	20,7	12,8	4	0	0	0	15,8
	Уровни звукового давления от ИШ в РТ ночью	32,9	23,4	20,7	12,8	4	0	0	0	15,8
ИШ-27	Уровни звукового давления от ИШ в РТ днём	3,5	14,1	2	0	0	0	0	0	0
	Уровни звукового давления от ИШ в РТ ночью	3,5	14,1	2	0	0	0	0	0	0
ИШ-28	Уровни звукового давления от ИШ в РТ днём	0	0	0	0	0	0	0	0	0
	Уровни звукового давления от ИШ в РТ ночью	0	0	0	0	0	0	0	0	0
ИШ-29	Уровни звукового давления от ИШ в РТ днём	0	0	0	0	0	0	0	0	0
	Уровни звукового давления от ИШ в РТ ночью	0	0	0	0	0	0	0	0	0
ИШ-30	Уровни звукового давления от ИШ в РТ днём	0	0	0	0	0	0	0	0	0
	Уровни звукового давления от ИШ в РТ ночью	0	0	0	0	0	0	0	0	0
ИШ-31	Уровни звукового давления от ИШ в РТ днём	3,6	6	1,2	0	0	0	0	0	0
	Уровни звукового давления от ИШ в РТ ночью	3,6	6	1,2	0	0	0	0	0	0
ИШ-32	Уровни звукового давления от ИШ в РТ днём	0	0	0	0	0	0	0	0	0
	Уровни звукового давления от ИШ в РТ ночью	0	0	0	0	0	0	0	0	0
ИШ-33	Уровни звукового давления от ИШ в РТ днём	0	0	0	0	0	0	0	0	0
	Уровни звукового давления от ИШ в РТ ночью	0	0	0	0	0	0	0	0	0
ИШ-34	Уровни звукового давления от ИШ в РТ днём	0	0	7,6	0	0	0	0	0	0
	Уровни звукового давления от ИШ в РТ ночью	0	0	7,6	0	0	0	0	0	0
ИШ-35	Уровни звукового давления от ИШ в РТ днём	0	0	0	0,3	0	0	0	0	0
	Уровни звукового давления от ИШ в РТ ночью	0	0	0	0,3	0	0	0	0	0
ИШ-36	Уровни звукового давления от ИШ в РТ днём	22,9	14,7	14	20,6	13,7	0	0	0	19,2
	Уровни звукового давления от ИШ в РТ ночью	22,9	14,7	14	20,6	13,7	0	0	0	19,2
ИШ-37	Уровни звукового давления от ИШ в РТ днём	22,9	14,7	14	20,5	13,6	0	0	0	19,1
	Уровни звукового давления от ИШ в РТ ночью	22,9	14,7	14	20,5	13,6	0	0	0	19,1
ИШ-38	Уровни звукового давления от ИШ в РТ днём	22,9	14,7	14	20,5	13,6	0	0	0	19,1
	Уровни звукового давления от ИШ в РТ ночью	22,9	14,7	14	20,5	13,6	0	0	0	19,1
ИШ-39	Уровни звукового давления от ИШ в РТ днём	22,9	14,6	13,9	20,5	13,6	0	0	0	19,1
	Уровни звукового давления от ИШ в РТ ночью	22,9	14,6	13,9	20,5	13,6	0	0	0	19,1
ИШ-40	Уровни звукового давления от ИШ в РТ днём	22,8	14,6	13,9	20,5	13,6	0	0	0	19,1
	Уровни звукового давления от ИШ в РТ ночью	22,8	14,6	13,9	20,5	13,6	0	0	0	19,1
ИШ-41	Уровни звукового давления от ИШ в РТ днём	0	0	0	0	0	0	0	0	0
	Уровни звукового давления от ИШ в РТ ночью	0	0	0	0	0	0	0	0	0
ИШ-42	Уровни звукового давления от ИШ в РТ днём	0	0	0	0	0	0	0	0	0
	Уровни звукового давления от ИШ в РТ ночью	0	0	0	0	0	0	0	0	0
ИШ-43	Уровни звукового давления от ИШ в РТ днём	0	0	0	0	0	0	0	0	0
	Уровни звукового давления от ИШ в РТ ночью	0	0	0	0	0	0	0	0	0
ИШ-44	Уровни звукового давления от ИШ в РТ днём	0	0	0	0	0	0	0	0	0
	Уровни звукового давления от ИШ в РТ ночью	0	0	0	0	0	0	0	0	0
ИШ-45	Уровни звукового давления от ИШ в РТ днём	0	0	0	0	0	0	0	0	0
	Уровни звукового давления от ИШ в РТ ночью	0	0	0	0	0	0	0	0	0
ИШ-46	Уровни звукового давления от ИШ в РТ днём	0	0	0	0	0	0	0	0	0
	Уровни звукового давления от ИШ в РТ ночью	0	0	0	0	0	0	0	0	0
ИШ-47	Уровни звукового давления от ИШ в РТ днём	0	0	0	0	0	0	0	0	0
	Уровни звукового давления от ИШ в РТ ночью	0	0	0	0	0	0	0	0	0
ИШ-48	Уровни звукового давления от ИШ в РТ днём	2,6	0	6,6	1,7	0	0	0	0	1,3
	Уровни звукового давления от ИШ в РТ ночью	2,6	0	6,6	1,7	0	0	0	0	1,3
ИШ-49	Уровни звукового давления от ИШ в РТ днём	30	21,5	20,8	27,3	20,3	11,7	0	0	26,1
	Уровни звукового давления от ИШ в РТ ночью	30	21,5	20,8	27,3	20,3	11,7	0	0	26,1
ИШ-50	Уровни звукового давления от ИШ в РТ днём	20	10,7	10	16,5	9,5	0,8	0	0	15,3
	Уровни звукового давления от ИШ в РТ ночью	20	10,7	10	16,5	9,5	0,8	0	0	15,3
ИШ-51	Уровни звукового давления от ИШ в РТ днём	19,9	10,6	9,9	16,4	9,3	0,6	0	0	15,1
	Уровни звукового давления от ИШ в РТ ночью	19,9	10,6	9,9	16,4	9,3	0,6	0	0	15,1
ИШ-52	Уровни звукового давления от ИШ в РТ днём	19,9	10,6	9,9	16,4	9,3	0,6	0	0	15,1
	Уровни звукового давления от ИШ в РТ ночью	19,9	10,6	9,9	16,4	9,3	0,6	0	0	15,1
ИШ-53	Уровни звукового давления от ИШ в РТ днём	30,5	21,4	20,7	27,2	20,3	11,6	0	0	26
	Уровни звукового давления от ИШ в РТ ночью	30,5	21,4	20,7	27,2	20,3	11,6	0	0	26
ИШ-54	Уровни звукового давления от ИШ в РТ днём	20	10,8	10,1	16,6	9,6	0,9	0	0	15,4
	Уровни звукового давления от ИШ в РТ ночью	20	10,8	10,1	16,6	9,6	0,9	0	0	15,4
ИШ-55	Уровни звукового давления от ИШ в РТ днём	19,9	10,7	10	16,5	9,5	0,8	0	0	15,3
	Уровни звукового давления от ИШ в РТ ночью	19,9	10,7	10	16,5	9,5	0,8	0	0	15,3
ИШ-56	Уровни звукового давления от ИШ в РТ днём	19,8	10,6	9,9	16,3	9,3	0,6	0	0	15,1
	Уровни звукового давления от ИШ в РТ ночью	19,8	10,6	9,9	16,3	9,3	0,6	0	0	15,1
ИШ-57	Уровни звукового давления от ИШ в РТ днём	30,3	21,4	20,7	27,2	20,2	11,6	0	0	26
	Уровни звукового давления от ИШ в РТ ночью	30,3	21,4	20,7	27,2	20,2	11,6	0	0	26

Источ- ник шума	Характеристика	Уровни звукового давления, дБ, в октавных полосах, со среднегеометрическими частотами, Гц								La, дБА
		63	125	250	500	1000	2000	4000	8000	
Итоговые результаты определения уровней звукового давления в РТ-9 (координаты точки, м: x = 2248742.70, y = 410875.70, z = 1.50)										
ИШ-58	Уровни звукового давления от ИШ в РТ днём	20	10,8	10,1	16,5	9,6	0,9	0	0	15,3
	Уровни звукового давления от ИШ в РТ ночью	20	10,8	10,1	16,5	9,6	0,9	0	0	15,3
ИШ-59	Уровни звукового давления от ИШ в РТ днём	19,9	10,7	10	16,4	9,4	0,7	0	0	15,2
	Уровни звукового давления от ИШ в РТ ночью	19,9	10,7	10	16,4	9,4	0,7	0	0	15,2
ИШ-60	Уровни звукового давления от ИШ в РТ днём	19,8	10,6	9,8	16,3	9,3	0,5	0	0	15,1
	Уровни звукового давления от ИШ в РТ ночью	19,8	10,6	9,8	16,3	9,3	0,5	0	0	15,1
ИШ-61	Уровни звукового давления от ИШ в РТ днём	19,8	10,5	9,8	16,3	9,2	0,4	0	0	15
	Уровни звукового давления от ИШ в РТ ночью	19,8	10,5	9,8	16,3	9,2	0,4	0	0	15
ИШ-62	Уровни звукового давления от ИШ в РТ днём	30,3	21,4	20,7	27,2	20,2	11,5	0	0	26
	Уровни звукового давления от ИШ в РТ ночью	30,3	21,4	20,7	27,2	20,2	11,5	0	0	26
ИШ-63	Уровни звукового давления от ИШ в РТ днём	19,9	10,7	10	16,5	9,5	0,7	0	0	15,2
	Уровни звукового давления от ИШ в РТ ночью	19,9	10,7	10	16,5	9,5	0,7	0	0	15,2
ИШ-64	Уровни звукового давления от ИШ в РТ днём	19,8	10,5	9,8	16,3	9,2	0,4	0	0	15
	Уровни звукового давления от ИШ в РТ ночью	19,8	10,5	9,8	16,3	9,2	0,4	0	0	15
ИШ-65	Уровни звукового давления от ИШ в РТ днём	12,9	0	0	0	0	0	0	0	0
	Уровни звукового давления от ИШ в РТ ночью	12,9	0	0	0	0	0	0	0	0
ИШ-66	Уровни звукового давления от ИШ в РТ днём	6,6	0	0	0	0	0	0	0	0
	Уровни звукового давления от ИШ в РТ ночью	6,6	0	0	0	0	0	0	0	0
ИШ-67	Уровни звукового давления от ИШ в РТ днём	7,4	0	0	0	0	0	0	0	0
	Уровни звукового давления от ИШ в РТ ночью	7,4	0	0	0	0	0	0	0	0
ИШ-68	Уровни звукового давления от ИШ в РТ днём	4,7	0	0	0	0	0	0	0	0
	Уровни звукового давления от ИШ в РТ ночью	4,7	0	0	0	0	0	0	0	0
ИШ-69	Уровни звукового давления от ИШ в РТ днём	6,2	0	0	0	0	0	0	0	0
	Уровни звукового давления от ИШ в РТ ночью	6,2	0	0	0	0	0	0	0	0
ИШ-70	Уровни звукового давления от ИШ в РТ днём	3,8	0	0	0	0	0	0	0	0
	Уровни звукового давления от ИШ в РТ ночью	3,8	0	0	0	0	0	0	0	0
ИШ-71	Уровни звукового давления от ИШ в РТ днём	5,3	0	0	0	0	0	0	0	0
	Уровни звукового давления от ИШ в РТ ночью	5,3	0	0	0	0	0	0	0	0
ИШ-72	Уровни звукового давления от ИШ в РТ днём	25	15,1	14,5	14,2	1,7	0	0	0	12,9
	Уровни звукового давления от ИШ в РТ ночью	25	15,1	14,5	14,2	1,7	0	0	0	12,9
ИШ-73	Уровни звукового давления от ИШ в РТ днём	24,7	14,2	13,3	13,6	1,6	0	0	0	12,2
	Уровни звукового давления от ИШ в РТ ночью	24,7	14,2	13,3	13,6	1,6	0	0	0	12,2
ИШ-74	Уровни звукового давления от ИШ в РТ днём	16,5	4,9	2,8	3,9	0	0	0	0	2,1
	Уровни звукового давления от ИШ в РТ ночью	16,5	4,9	2,8	3,9	0	0	0	0	2,1
ИШ-75	Уровни звукового давления от ИШ в РТ днём	18,9	6,9	4,8	4,5	0	0	0	0	3,2
	Уровни звукового давления от ИШ в РТ ночью	18,9	6,9	4,8	4,5	0	0	0	0	3,2
ИШ-76	Уровни звукового давления от ИШ в РТ днём	25,3	15,4	15,1	15,7	3,9	0	0	0	14,2
	Уровни звукового давления от ИШ в РТ ночью	25,3	15,4	15,1	15,7	3,9	0	0	0	14,2
ИШ-77	Уровни звукового давления от ИШ в РТ днём	19,7	8,3	6,4	5,5	0	0	0	0	4,3
	Уровни звукового давления от ИШ в РТ ночью	19,7	8,3	6,4	5,5	0	0	0	0	4,3
ИШ-78	Уровни звукового давления от ИШ в РТ днём	6,4	0	0	11,6	0	0	0	0	8,4
	Уровни звукового давления от ИШ в РТ ночью	6,4	0	0	11,6	0	0	0	0	8,4
ИШ-79	Уровни звукового давления от ИШ в РТ днём	6,4	0	0	11,5	0	0	0	0	8,3
	Уровни звукового давления от ИШ в РТ ночью	6,4	0	0	11,5	0	0	0	0	8,3
ИШ-80	Уровни звукового давления от ИШ в РТ днём	0	0	0	0	0	0	0	0	0
	Уровни звукового давления от ИШ в РТ ночью	0	0	0	0	0	0	0	0	0
ИШ-81	Уровни звукового давления от ИШ в РТ днём	0	0	0	0	0	0	0	0	0
	Уровни звукового давления от ИШ в РТ ночью	0	0	0	0	0	0	0	0	0
ИШ-82	Уровни звукового давления от ИШ в РТ днём	0	0	0	8,5	0	0	0	0	5,3
	Уровни звукового давления от ИШ в РТ ночью	0	0	0	8,5	0	0	0	0	5,3
ИШ-83	Уровни звукового давления от ИШ в РТ днём	16,9	11,2	12,5	18,3	10,5	0	0	0	16,7
	Уровни звукового давления от ИШ в РТ ночью	16,9	11,2	12,5	18,3	10,5	0	0	0	16,7
ИШ-84	Уровни звукового давления от ИШ в РТ днём	0	0	0	0	0	0	0	0	0
	Уровни звукового давления от ИШ в РТ ночью	0	0	0	0	0	0	0	0	0
ИШ-85	Уровни звукового давления от ИШ в РТ днём	6,6	9,9	11,1	7,6	0	0	0	0	6,8
	Уровни звукового давления от ИШ в РТ ночью	6,6	9,9	11,1	7,6	0	0	0	0	6,8
ИШ-86	Уровни звукового давления от ИШ в РТ днём	6,6	9,9	11	7,5	0	0	0	0	6,7
	Уровни звукового давления от ИШ в РТ ночью	6,6	9,9	11	7,5	0	0	0	0	6,7
ИШ-87	Уровни звукового давления от ИШ в РТ днём	6,6	9,9	11	7,5	0	0	0	0	6,7
	Уровни звукового давления от ИШ в РТ ночью	6,6	9,9	11	7,5	0	0	0	0	6,7
ИШ-88	Уровни звукового давления от ИШ в РТ днём	0	0	0	0	0	0	0	0	0
	Уровни звукового давления от ИШ в РТ ночью	0	0	0	0	0	0	0	0	0
ИШ-89	Уровни звукового давления от ИШ в РТ днём	5,9	3,9	5,2	12,2	3,5	0	0	0	10,3
	Уровни звукового давления от ИШ в РТ ночью	5,9	3,9	5,2	12,2	3,5	0	0	0	10,3
ИШ-90	Уровни звукового давления от ИШ в РТ днём	11,9	8,9	10,2	16,1	7,5	0	0	0	14,3
	Уровни звукового давления от ИШ в РТ ночью	11,9	8,9	10,2	16,1	7,5	0	0	0	14,3
ИШ-91	Уровни звукового давления от ИШ в РТ днём	0	0,8	0	0	0	0	0	0	0





Источ-ник шума	Характеристика	Уровни звукового давления, дБ, в октавных полосах, со среднегеометрическими частотами, Гц								La, дБА
		63	125	250	500	1000	2000	4000	8000	
<b>Итоговые результаты определения уровней звукового давления в РТ-9 (координаты точки, м: x = 2248742.70, y = 410875.70, z = 1.50)</b>										
ИШ-125	Уровни звукового давления от ИШ в РТ днём	17	16,9	13,9	8	2	0	0	0	9,7
	Уровни звукового давления от ИШ в РТ ночью	0	0	0	0	0	0	0	0	0
ИШ-130	Уровни звукового давления от ИШ в РТ днём	25	19,8	16,1	14,6	15,6	7,9	0	0	18,2
	Уровни звукового давления от ИШ в РТ ночью	0	0	0	0	0	0	0	0	0
ИШ-131	Уровни звукового давления от ИШ в РТ днём	27,9	31,7	37	29,6	17,6	11	0	0	30,9
	Уровни звукового давления от ИШ в РТ ночью	27,9	31,7	37	29,6	17,6	11	0	0	30,9
ИШ-133	Уровни звукового давления от ИШ в РТ днём	13,6	14,2	14,2	12,4	8,9	1,5	0	0	13,5
	Уровни звукового давления от ИШ в РТ ночью	0	0	0	0	0	0	0	0	0
ИШ-134	Уровни звукового давления от ИШ в РТ днём	1,5	0	0	0	0	0	0	0	0
	Уровни звукового давления от ИШ в РТ ночью	1,5	0	0	0	0	0	0	0	0
Суммарные УЗД в РТ от всех ИШ днём, L <sub>рт</sub> , дБ		45,8	38	38,8	36,9	29,5	20,3	0	0	36,7
Суммарные УЗД в РТ от всех ИШ ночью, L <sub>рт</sub> , дБ		45,7	37,9	38,7	36,9	29,2	20	0	0	36,6
Допускаемые УЗД днём, L <sub>доп</sub> , дБ территория у жилого дома		70	61	54	49	45	42	40	39	50
Допускаемые УЗД ночью, L <sub>доп</sub> , дБ территория у жилого дома		62	52	44	39	35	32	30	28	40
с учётом поправки -5 дБ на работу технологического оборудования										
Превышение днём, дБ		-24,2	-23	-15,2	-12,1	-15,5	-21,7	-40	-39	-13,3
Превышение ночью, дБ		-16,3	-14,1	-5,3	-2,1	-5,8	-12	-30	-28	-3,4

Источ-ник шума	Характеристика	Уровни звукового давления, дБ, в октавных полосах, со среднегеометрическими частотами, Гц								L <sub>р</sub> , дБА	L <sub>макс</sub> , дБА
		63	125	250	500	1000	2000	4000	8000		
<b>Результаты расчета шумового воздействия источников непостоянного шума в РТ-9</b>											
ИШ-126	Уровни звукового давления от ИШ в РТ днём	0	20,9	17,2	12,6	10,7	0,7	0	0	15,1	30,7
	Уровни звукового давления от ИШ в РТ ночью	0	20,9	17,2	12,6	10,7	0,7	0	0	15,1	30,7
ИШ-127	Уровни звукового давления от ИШ в РТ днём	0	0,2	0	0	0	0	0	0	0	29,4
	Уровни звукового давления от ИШ в РТ ночью	0	0,2	0	0	0	0	0	0	0	29,4
ИШ-128	Уровни звукового давления от ИШ в РТ днём	0	10	3,8	0	0	0	0	0	0	31
	Уровни звукового давления от ИШ в РТ ночью	0	10	3,8	0	0	0	0	0	0	31
ИШ-129	Уровни звукового давления от ИШ в РТ днём	0	0,1	0	0	0	0	0	0	0	27,7
	Уровни звукового давления от ИШ в РТ ночью	0	0,1	0	0	0	0	0	0	0	27,7
ИШ-132	Уровни звукового давления от ИШ в РТ днём	0	0	0	0	0	0	0	0	0	21,2
	Уровни звукового давления от ИШ в РТ ночью	0	0	0	0	0	0	0	0	0	21,2
Суммарные УЗД в РТ от всех ИШ днём, L <sub>рт</sub> , дБ		0	21,3	17,4	12,6	10,7	0,7	0	0	15,2	36
Суммарные УЗД в РТ от всех ИШ ночью, L <sub>рт</sub> , дБ		0	21,3	17,4	12,6	10,7	0,7	0	0	15,2	36
Допускаемые УЗД днём, L <sub>доп</sub> , дБ территория у жилого дома		75	66	59	54	50	47	45	44	55	70
Допускаемые УЗД ночью, L <sub>доп</sub> , дБ территория у жилого дома		67	57	49	44	40	37	35	33	45	60
Превышение днём, дБ		-75	-44,7	-41,6	-41,4	-39,3	-46,3	-45	-44	-39,8	-34
Превышение ночью, дБ		-67	-35,7	-31,6	-31,4	-29,3	-36,3	-35	-33	-29,8	-24

Источ-ник шума	Характеристика	Уровни звукового давления, дБ, в октавных полосах, со среднегеометрическими частотами, Гц								La, дБА
		63	125	250	500	1000	2000	4000	8000	
<b>Итоговые результаты определения уровней звукового давления в РТ-10 (координаты точки, м: x = 2248742.70, y = 410875.70, z = 1.50)</b>										
ИШ-1	Уровни звукового давления от ИШ в РТ днём	28,3	22,9	18,2	10,2	0	0	0	0	13,1
	Уровни звукового давления от ИШ в РТ ночью	28,3	22,9	18,2	10,2	0	0	0	0	13,1
ИШ-2	Уровни звукового давления от ИШ в РТ днём	0	0	0	0	0	0	0	0	0
	Уровни звукового давления от ИШ в РТ ночью	0	0	0	0	0	0	0	0	0
ИШ-3	Уровни звукового давления от ИШ в РТ днём	36,3	25,7	23,2	14,7	7,4	0	0	0	18,3
	Уровни звукового давления от ИШ в РТ ночью	36,3	25,7	23,2	14,7	7,4	0	0	0	18,3
ИШ-4	Уровни звукового давления от ИШ в РТ днём	38,1	27,5	22	13,5	6,2	0	0	0	18,2
	Уровни звукового давления от ИШ в РТ ночью	38,1	27,5	22	13,5	6,2	0	0	0	18,2
ИШ-5	Уровни звукового давления от ИШ в РТ днём	16,5	2,6	0	0	0	0	0	0	0
	Уровни звукового давления от ИШ в РТ ночью	16,5	2,6	0	0	0	0	0	0	0
ИШ-6	Уровни звукового давления от ИШ в РТ днём	37,3	24,1	21,9	22,8	16	10,4	0	0	22,7
	Уровни звукового давления от ИШ в РТ ночью	37,3	24,1	21,9	22,8	16	10,4	0	0	22,7
ИШ-7	Уровни звукового давления от ИШ в РТ днём	22,2	22,1	15,5	2,9	0	0	0	0	10,1
	Уровни звукового давления от ИШ в РТ ночью	22,2	22,1	15,5	2,9	0	0	0	0	10,1
ИШ-8	Уровни звукового давления от ИШ в РТ днём	9,5	0,7	0	0	0	0	0	0	0
	Уровни звукового давления от ИШ в РТ ночью	9,5	0,7	0	0	0	0	0	0	0
ИШ-9	Уровни звукового давления от ИШ в РТ днём	2,1	0	0	0	0	0	0	0	0
	Уровни звукового давления от ИШ в РТ ночью	2,1	0	0	0	0	0	0	0	0
ИШ-10	Уровни звукового давления от ИШ в РТ днём	9,3	5,6	0	0	0	0	0	0	0
	Уровни звукового давления от ИШ в РТ ночью	9,3	5,6	0	0	0	0	0	0	0
ИШ-11	Уровни звукового давления от ИШ в РТ днём	0	0	0	0	0	0	0	0	0
	Уровни звукового давления от ИШ в РТ ночью	0	0	0	0	0	0	0	0	0
ИШ-12	Уровни звукового давления от ИШ в РТ днём	0	0	0	0	0	0	0	0	0
	Уровни звукового давления от ИШ в РТ ночью	0	0	0	0	0	0	0	0	0
ИШ-13	Уровни звукового давления от ИШ в РТ днём	0	0	0	0	0	0	0	0	0
	Уровни звукового давления от ИШ в РТ ночью	0	0	0	0	0	0	0	0	0
ИШ-14	Уровни звукового давления от ИШ в РТ днём	5,7	2,4	0	0	0	0	0	0	0







Источ-ник шума	Характеристика	Уровни звукового давления, дБ, в октавных полосах, со среднегеометрическими частотами, Гц								La, дБА
		63	125	250	500	1000	2000	4000	8000	
<b>Итоговые результаты определения уровней звукового давления в РТ-10 (координаты точки, м: x = 2248742.70, y = 410875.70, z=1.50)</b>										
ИШ-115	Уровни звукового давления от ИШ в РТ днём	0	0	0	0	0	0	0	0	0
	Уровни звукового давления от ИШ в РТ ночью	0	0	0	0	0	0	0	0	0
ИШ-116	Уровни звукового давления от ИШ в РТ днём	0	0	0	0	0	0	0	0	0
	Уровни звукового давления от ИШ в РТ ночью	0	0	0	0	0	0	0	0	0
ИШ-117	Уровни звукового давления от ИШ в РТ днём	19,5	20,6	21	19,6	16,8	9,2	0	0	20,9
	Уровни звукового давления от ИШ в РТ ночью	19,5	20,6	21	19,6	16,8	9,2	0	0	20,9
ИШ-118	Уровни звукового давления от ИШ в РТ днём	9,7	2,4	0	0	0	0	0	0	0
	Уровни звукового давления от ИШ в РТ ночью	9,7	2,4	0	0	0	0	0	0	0
ИШ-119	Уровни звукового давления от ИШ в РТ днём	22,9	18,4	12,1	0	0	0	0	0	6,5
	Уровни звукового давления от ИШ в РТ ночью	22,9	18,4	12,1	0	0	0	0	0	6,5
ИШ-120	Уровни звукового давления от ИШ в РТ днём	22,9	18,4	15,1	0	0	0	0	0	8,2
	Уровни звукового давления от ИШ в РТ ночью	22,9	18,4	15,1	0	0	0	0	0	8,2
ИШ-121	Уровни звукового давления от ИШ в РТ днём	8	0,6	0	0	0	0	0	0	0
	Уровни звукового давления от ИШ в РТ ночью	8	0,6	0	0	0	0	0	0	0
ИШ-122	Уровни звукового давления от ИШ в РТ днём	9,1	13,9	14,9	11,9	6,8	0	0	0	12,3
	Уровни звукового давления от ИШ в РТ ночью	9,1	13,9	14,9	11,9	6,8	0	0	0	12,3
ИШ-123	Уровни звукового давления от ИШ в РТ днём	8,5	13,4	15,4	11,4	6,2	0	0	0	12,1
	Уровни звукового давления от ИШ в РТ ночью	8,5	13,4	15,4	11,4	6,2	0	0	0	12,1
ИШ-124	Уровни звукового давления от ИШ в РТ днём	13,2	14,3	14,6	12,9	9,9	1,7	0	0	14,1
	Уровни звукового давления от ИШ в РТ ночью	13,2	14,3	14,6	12,9	9,9	1,7	0	0	14,1
ИШ-125	Уровни звукового давления от ИШ в РТ днём	16,1	15,9	12,9	6,6	0,2	0	0	0	8,4
	Уровни звукового давления от ИШ в РТ ночью	0	0	0	0	0	0	0	0	0
ИШ-130	Уровни звукового давления от ИШ в РТ днём	16,5	7,6	0	0	15	8,4	0	0	16,1
	Уровни звукового давления от ИШ в РТ ночью	0	0	0	0	0	0	0	0	0
ИШ-131	Уровни звукового давления от ИШ в РТ днём	28	31,7	37	29,6	20,5	13,8	0	0	31,2
	Уровни звукового давления от ИШ в РТ ночью	28	31,7	37	29,6	20,5	13,8	0	0	31,2
ИШ-133	Уровни звукового давления от ИШ в РТ днём	2,1	0	0	0	0	0	0	0	0
	Уровни звукового давления от ИШ в РТ ночью	0	0	0	0	0	0	0	0	0
ИШ-134	Уровни звукового давления от ИШ в РТ днём	14,7	14,4	13,6	11,8	9,5	5,3	0	0	13,9
	Уровни звукового давления от ИШ в РТ ночью	14,7	14,4	13,6	11,8	9,5	5,3	0	0	13,9
Суммарные УЗД в РТ от всех ИШ днём, Лрт, дБ		44,1	36,6	38,2	35,8	28,6	20,4	0	0	35,8
Суммарные УЗД в РТ от всех ИШ ночью, Лрт, дБ		44,1	36,5	38,2	35,8	28,4	20,1	0	0	35,7
Допускаемые УЗД днём, Lдоп, дБ территория у жилого дома		70	61	54	49	45	42	40	39	50
Допускаемые УЗД ночью, Lдоп, дБ территория у жилого дома		62	52	44	39	35	32	30	28	40
с учётом поправки -5 дБ на работу технологического оборудования										
Превышение днём, дБ		-25,9	-24,4	-15,8	-13,2	-16,4	-21,6	-40	-39	-14,2
Превышение ночью, дБ		-17,9	-15,5	-5,8	-3,2	-6,6	-11,9	-30	-28	-4,3

Источ-ник шума	Характеристика	Уровни звукового давления, дБ, в октавных полосах, со среднегеометрическими частотами, Гц								La, дБА	Lmax, дБА
		63	125	250	500	1000	2000	4000	8000		
<b>Результаты расчета шумового воздействия источников непостоянного шума в РТ-10</b>											
ИШ-126	Уровни звукового давления от ИШ в РТ днём	0	19,6	15,8	11,1	8,9	0	0	0	13,3	29
	Уровни звукового давления от ИШ в РТ ночью	0	19,6	15,8	11,1	8,9	0	0	0	13,3	29
ИШ-127	Уровни звукового давления от ИШ в РТ днём	0	0	0	0	0	0	0	0	0	26,6
	Уровни звукового давления от ИШ в РТ ночью	0	0	0	0	0	0	0	0	0	26,6
ИШ-128	Уровни звукового давления от ИШ в РТ днём	0	8,7	2,8	0	0	0	0	0	0	30,5
	Уровни звукового давления от ИШ в РТ ночью	0	8,7	2,8	0	0	0	0	0	0	30,5
ИШ-129	Уровни звукового давления от ИШ в РТ днём	0	0	0	0	0	0	0	0	0	20,8
	Уровни звукового давления от ИШ в РТ ночью	0	0	0	0	0	0	0	0	0	20,8
ИШ-132	Уровни звукового давления от ИШ в РТ днём	0	0	0	0	0	0	0	0	0	19,6
	Уровни звукового давления от ИШ в РТ ночью	0	0	0	0	0	0	0	0	0	19,6
Суммарные УЗД в РТ от всех ИШ днём, Лрт, дБ		0	19,9	16	11,1	8,9	0	0	0	13,4	34,1
Суммарные УЗД в РТ от всех ИШ ночью, Лрт, дБ		0	19,9	16	11,1	8,9	0	0	0	13,4	34,1
Допускаемые УЗД днём, Lдоп, дБ территория у жилого дома		75	66	59	54	50	47	45	44	55	70
Допускаемые УЗД ночью, Lдоп, дБ территория у жилого дома		67	57	49	44	40	37	35	33	45	60
Превышение днём, дБ		-75	-46,1	-43	-42,9	-41,1	-47	-45	-44	-41,6	-35,9
Превышение ночью, дБ		-67	-37,1	-33	-32,9	-31,1	-37	-35	-33	-31,6	-25,9

Источ-ник шума	Характеристика	Уровни звукового давления, дБ, в октавных полосах, со среднегеометрическими частотами, Гц								La, дБА
		63	125	250	500	1000	2000	4000	8000	
<b>Итоговые результаты определения уровней звукового давления в РТ-11 (координаты точки, м: x = 2248034.60, y = 412011.50, z=1.50)</b>										
ИШ-1	Уровни звукового давления от ИШ в РТ днём	21,4	14,4	2,7	0	0	0	0	0	1
	Уровни звукового давления от ИШ в РТ ночью	21,4	14,4	2,7	0	0	0	0	0	1
ИШ-2	Уровни звукового давления от ИШ в РТ днём	17,9	11,5	0	0	0	0	0	0	0
	Уровни звукового давления от ИШ в РТ ночью	17,9	11,5	0	0	0	0	0	0	0
ИШ-3	Уровни звукового давления от ИШ в РТ днём	31,6	20,3	14,2	5,3	0	0	0	0	10,6
	Уровни звукового давления от ИШ в РТ ночью	31,6	20,3	14,2	5,3	0	0	0	0	10,6
ИШ-4	Уровни звукового давления от ИШ в РТ днём	32,5	22,2	17,3	10,8	4,2	0	0	0	13,8
	Уровни звукового давления от ИШ в РТ ночью	32,5	22,2	17,3	10,8	4,2	0	0	0	13,8

Источ-ник шума	Характеристика	Уровни звукового давления, дБ, в октавных полосах, со среднегеометрическими частотами, Гц								La, дБА
		63	125	250	500	1000	2000	4000	8000	
Итоговые результаты определения уровней звукового давления в РТ-11 (координаты точки, м: x = 2248034.60, y = 412011.50, z=1.50)										
ИШ-5	Уровни звукового давления от ИШ в РТ днём	11,3	0	0	0	0	0	0	0	0
	Уровни звукового давления от ИШ в РТ ночью	11,3	0	0	0	0	0	0	0	0
ИШ-6	Уровни звукового давления от ИШ в РТ днём	29,2	15,8	13,3	13,6	5,9	0	0	0	13,1
	Уровни звукового давления от ИШ в РТ ночью	29,2	15,8	13,3	13,6	5,9	0	0	0	13,1
ИШ-7	Уровни звукового давления от ИШ в РТ днём	24,4	18,7	10,7	0	0	0	0	0	6,1
	Уровни звукового давления от ИШ в РТ ночью	24,4	18,7	10,7	0	0	0	0	0	6,1
ИШ-8	Уровни звукового давления от ИШ в РТ днём	31,7	28,6	22,7	11,9	0	0	0	0	17,4
	Уровни звукового давления от ИШ в РТ ночью	31,7	28,6	22,7	11,9	0	0	0	0	17,4
ИШ-9	Уровни звукового давления от ИШ в РТ днём	0,6	0	0	0	0	0	0	0	0
	Уровни звукового давления от ИШ в РТ ночью	0,6	0	0	0	0	0	0	0	0
ИШ-10	Уровни звукового давления от ИШ в РТ днём	9,3	5,6	0	0	0	0	0	0	0
	Уровни звукового давления от ИШ в РТ ночью	9,3	5,6	0	0	0	0	0	0	0
ИШ-11	Уровни звукового давления от ИШ в РТ днём	23,6	19,3	13,5	0	0	0	0	0	7,6
	Уровни звукового давления от ИШ в РТ ночью	23,6	19,3	13,5	0	0	0	0	0	7,6
ИШ-12	Уровни звукового давления от ИШ в РТ днём	0	0	0	0	0	0	0	0	0
	Уровни звукового давления от ИШ в РТ ночью	0	0	0	0	0	0	0	0	0
ИШ-13	Уровни звукового давления от ИШ в РТ днём	0	0	0	0	0	0	0	0	0
	Уровни звукового давления от ИШ в РТ ночью	0	0	0	0	0	0	0	0	0
ИШ-14	Уровни звукового давления от ИШ в РТ днём	14,2	11,6	5,9	5,6	0	0	0	0	4,3
	Уровни звукового давления от ИШ в РТ ночью	14,2	11,6	5,9	5,6	0	0	0	0	4,3
ИШ-15	Уровни звукового давления от ИШ в РТ днём	14,1	11,4	13,7	5,4	0	0	0	0	7,3
	Уровни звукового давления от ИШ в РТ ночью	14,1	11,4	13,7	5,4	0	0	0	0	7,3
ИШ-16	Уровни звукового давления от ИШ в РТ днём	30,6	30,4	27,4	23,7	17,6	7,7	0	0	24,5
	Уровни звукового давления от ИШ в РТ ночью	30,6	30,4	27,4	23,7	17,6	7,7	0	0	24,5
ИШ-17	Уровни звукового давления от ИШ в РТ днём	30,9	30,8	27,9	24,2	18,2	8,5	0	0	25
	Уровни звукового давления от ИШ в РТ ночью	30,9	30,8	27,9	24,2	18,2	8,5	0	0	25
ИШ-18	Уровни звукового давления от ИШ в РТ днём	0	3	2,1	10,4	13	13,7	0	0	17,5
	Уровни звукового давления от ИШ в РТ ночью	0	3	2,1	10,4	13	13,7	0	0	17,5
ИШ-19	Уровни звукового давления от ИШ в РТ днём	25,4	23,5	18,9	12,9	6,4	0	0	0	14,9
	Уровни звукового давления от ИШ в РТ ночью	25,4	23,5	18,9	12,9	6,4	0	0	0	14,9
ИШ-20	Уровни звукового давления от ИШ в РТ днём	6,7	7,7	7,5	7,2	5,5	0	0	0	8,4
	Уровни звукового давления от ИШ в РТ ночью	6,7	7,7	7,5	7,2	5,5	0	0	0	8,4
ИШ-21	Уровни звукового давления от ИШ в РТ днём	0	0	0	0	0	0	0	0	0
	Уровни звукового давления от ИШ в РТ ночью	0	0	0	0	0	0	0	0	0
ИШ-22	Уровни звукового давления от ИШ в РТ днём	0	0	0	0	0	0	0	0	0
	Уровни звукового давления от ИШ в РТ ночью	0	0	0	0	0	0	0	0	0
ИШ-23	Уровни звукового давления от ИШ в РТ днём	0	0	0	0	0	0	0	0	0
	Уровни звукового давления от ИШ в РТ ночью	0	0	0	0	0	0	0	0	0
ИШ-24	Уровни звукового давления от ИШ в РТ днём	18,8	6,6	1,6	0	0	0	0	0	0
	Уровни звукового давления от ИШ в РТ ночью	18,8	6,6	1,6	0	0	0	0	0	0
ИШ-25	Уровни звукового давления от ИШ в РТ днём	18,4	6,2	1,2	0	0	0	0	0	0
	Уровни звукового давления от ИШ в РТ ночью	18,4	6,2	1,2	0	0	0	0	0	0
ИШ-26	Уровни звукового давления от ИШ в РТ днём	18,2	6	1	0	0	0	0	0	0
	Уровни звукового давления от ИШ в РТ ночью	18,2	6	1	0	0	0	0	0	0
ИШ-27	Уровни звукового давления от ИШ в РТ днём	17,8	29,8	22,1	20,5	14,2	7,5	0	0	21,3
	Уровни звукового давления от ИШ в РТ ночью	17,8	29,8	22,1	20,5	14,2	7,5	0	0	21,3
ИШ-28	Уровни звукового давления от ИШ в РТ днём	0	4,8	0	0	0	0	0	0	0
	Уровни звукового давления от ИШ в РТ ночью	0	4,8	0	0	0	0	0	0	0
ИШ-29	Уровни звукового давления от ИШ в РТ днём	3,9	15	13,2	8,4	3,1	0	0	0	9,6
	Уровни звукового давления от ИШ в РТ ночью	3,9	15	13,2	8,4	3,1	0	0	0	9,6
ИШ-30	Уровни звукового давления от ИШ в РТ днём	0	0,6	0	0	0	0	0	0	0
	Уровни звукового давления от ИШ в РТ ночью	0	0,6	0	0	0	0	0	0	0
ИШ-31	Уровни звукового давления от ИШ в РТ днём	0	0	0	0	0	0	0	0	0
	Уровни звукового давления от ИШ в РТ ночью	0	0	0	0	0	0	0	0	0
ИШ-32	Уровни звукового давления от ИШ в РТ днём	0	0	0	0	0	0	0	0	0
	Уровни звукового давления от ИШ в РТ ночью	0	0	0	0	0	0	0	0	0
ИШ-33	Уровни звукового давления от ИШ в РТ днём	0	0	0	0	0	0	0	0	0
	Уровни звукового давления от ИШ в РТ ночью	0	0	0	0	0	0	0	0	0
ИШ-34	Уровни звукового давления от ИШ в РТ днём	0	0	0	0	0	0	0	0	0
	Уровни звукового давления от ИШ в РТ ночью	0	0	0	0	0	0	0	0	0
ИШ-35	Уровни звукового давления от ИШ в РТ днём	0	0	0	0	0	0	0	0	0
	Уровни звукового давления от ИШ в РТ ночью	0	0	0	0	0	0	0	0	0
ИШ-36	Уровни звукового давления от ИШ в РТ днём	21,7	13,5	12,7	19	11,9	0	0	0	17,6
	Уровни звукового давления от ИШ в РТ ночью	21,7	13,5	12,7	19	11,9	0	0	0	17,6
ИШ-37	Уровни звукового давления от ИШ в РТ днём	11,1	2,8	2	8,3	1,1	0	0	0	6,9
	Уровни звукового давления от ИШ в РТ ночью	11,1	2,8	2	8,3	1,1	0	0	0	6,9
ИШ-38	Уровни звукового давления от ИШ в РТ днём	11	2,7	1,9	8,2	1	0	0	0	6,7

Источ-ник шума	Характеристика	Уровни звукового давления, дБ, в октавных полосах, со среднегеометрическими частотами, Гц								La, дБА
		63	125	250	500	1000	2000	4000	8000	
<b>Итоговые результаты определения уровней звукового давления в РТ-11 (координаты точки, м: x = 2248034.60, y = 412011.50, z=1.50)</b>										
ИШ-39	Уровни звукового давления от ИШ в РТ ночью	11	2,7	1,9	8,2	1	0	0	0	6,7
	Уровни звукового давления от ИШ в РТ днём	10,8	2,6	1,8	8	0,8	0	0	0	6,5
ИШ-40	Уровни звукового давления от ИШ в РТ ночью	10,8	2,6	1,8	8	0,8	0	0	0	6,5
	Уровни звукового давления от ИШ в РТ днём	10,7	2,5	1,6	7,9	0,6	0	0	0	6,4
ИШ-41	Уровни звукового давления от ИШ в РТ ночью	10,7	2,5	1,6	7,9	0,6	0	0	0	6,4
	Уровни звукового давления от ИШ в РТ днём	0	0	0	0	0	0	0	0	0
ИШ-42	Уровни звукового давления от ИШ в РТ ночью	0	0	0	0	0	0	0	0	0
	Уровни звукового давления от ИШ в РТ днём	0	0	0	0	0	0	0	0	0
ИШ-43	Уровни звукового давления от ИШ в РТ ночью	0	0	0	0	0	0	0	0	0
	Уровни звукового давления от ИШ в РТ днём	0	0	0	0	0	0	0	0	0
ИШ-44	Уровни звукового давления от ИШ в РТ ночью	0	0	0	0	0	0	0	0	0
	Уровни звукового давления от ИШ в РТ днём	0	0	0	0	0	0	0	0	0
ИШ-45	Уровни звукового давления от ИШ в РТ ночью	0	0	0	0	0	0	0	0	0
	Уровни звукового давления от ИШ в РТ днём	0	0	0	0	0	0	0	0	0
ИШ-46	Уровни звукового давления от ИШ в РТ ночью	0	0	0	0	0	0	0	0	0
	Уровни звукового давления от ИШ в РТ днём	0	0	0	0	0	0	0	0	0
ИШ-47	Уровни звукового давления от ИШ в РТ ночью	0	0	0	0	0	0	0	0	0
	Уровни звукового давления от ИШ в РТ днём	0	0	0	0	0	0	0	0	0
ИШ-48	Уровни звукового давления от ИШ в РТ ночью	1,5	0	5,4	0,3	0	0	0	0	0
	Уровни звукового давления от ИШ в РТ днём	1,5	0	5,4	0,3	0	0	0	0	0
ИШ-49	Уровни звукового давления от ИШ в РТ ночью	19,9	9,1	6,1	9,8	0	0	0	0	7,5
	Уровни звукового давления от ИШ в РТ днём	19,9	9,1	6,1	9,8	0	0	0	0	7,5
ИШ-50	Уровни звукового давления от ИШ в РТ ночью	29,8	20,6	19,8	26,1	19	9,9	0	0	24,9
	Уровни звукового давления от ИШ в РТ днём	29,8	20,6	19,8	26,1	19	9,9	0	0	24,9
ИШ-51	Уровни звукового давления от ИШ в РТ ночью	29,8	20,6	19,8	26,2	19	10	0	0	24,9
	Уровни звукового давления от ИШ в РТ днём	29,8	20,6	19,8	26,2	19	10	0	0	24,9
ИШ-52	Уровни звукового давления от ИШ в РТ ночью	19,2	9,9	9,2	15,5	8,3	0	0	0	14
	Уровни звукового давления от ИШ в РТ днём	19,2	9,9	9,2	15,5	8,3	0	0	0	14
ИШ-53	Уровни звукового давления от ИШ в РТ ночью	18,4	8,4	5,9	9,3	0	0	0	0	7
	Уровни звукового давления от ИШ в РТ днём	18,4	8,4	5,9	9,3	0	0	0	0	7
ИШ-54	Уровни звукового давления от ИШ в РТ ночью	19,1	9,9	9,1	15,4	8,2	0	0	0	13,9
	Уровни звукового давления от ИШ в РТ днём	19,1	9,9	9,1	15,4	8,2	0	0	0	13,9
ИШ-55	Уровни звукового давления от ИШ в РТ ночью	19,1	9,9	9,1	15,4	8,2	0	0	0	13,9
	Уровни звукового давления от ИШ в РТ днём	19,1	9,9	9,1	15,4	8,2	0	0	0	13,9
ИШ-56	Уровни звукового давления от ИШ в РТ ночью	19,1	9,9	9,1	15,4	8,2	0	0	0	13,9
	Уровни звукового давления от ИШ в РТ днём	19,1	9,9	9,1	15,4	8,2	0	0	0	13,9
ИШ-57	Уровни звукового давления от ИШ в РТ ночью	19	9,7	8,9	15,2	8	0	0	0	13,7
	Уровни звукового давления от ИШ в РТ днём	19	9,7	8,9	15,2	8	0	0	0	13,7
ИШ-58	Уровни звукового давления от ИШ в РТ ночью	19	9,7	8,9	15,2	8	0	0	0	13,7
	Уровни звукового давления от ИШ в РТ днём	19	9,7	8,9	15,2	8	0	0	0	13,7
ИШ-59	Уровни звукового давления от ИШ в РТ ночью	19	9,7	8,9	15,2	8	0	0	0	13,7
	Уровни звукового давления от ИШ в РТ днём	19	9,7	8,9	15,2	8	0	0	0	13,7
ИШ-60	Уровни звукового давления от ИШ в РТ ночью	19	9,7	8,9	15,2	8	0	0	0	13,7
	Уровни звукового давления от ИШ в РТ днём	19	9,7	8,9	15,2	8	0	0	0	13,7
ИШ-61	Уровни звукового давления от ИШ в РТ ночью	18,9	9,6	8,8	15,1	7,8	0	0	0	13,6
	Уровни звукового давления от ИШ в РТ днём	18,9	9,6	8,8	15,1	7,8	0	0	0	13,6
ИШ-62	Уровни звукового давления от ИШ в РТ ночью	18,8	9,5	8,7	14,9	7,7	0	0	0	13,5
	Уровни звукового давления от ИШ в РТ днём	18,8	9,5	8,7	14,9	7,7	0	0	0	13,5
ИШ-63	Уровни звукового давления от ИШ в РТ ночью	18,8	9,5	8,7	15	7,7	0	0	0	13,5
	Уровни звукового давления от ИШ в РТ днём	18,8	9,5	8,7	15	7,7	0	0	0	13,5
ИШ-64	Уровни звукового давления от ИШ в РТ ночью	18,8	9,5	8,7	15	7,7	0	0	0	13,5
	Уровни звукового давления от ИШ в РТ днём	18,8	9,5	8,7	15	7,7	0	0	0	13,5
ИШ-65	Уровни звукового давления от ИШ в РТ ночью	29,9	20,6	19,8	26,2	19	10	0	0	24,9
	Уровни звукового давления от ИШ в РТ днём	29,9	20,6	19,8	26,2	19	10	0	0	24,9
ИШ-66	Уровни звукового давления от ИШ в РТ ночью	29,8	20,5	19,8	26,1	18,9	9,9	0	0	24,8
	Уровни звукового давления от ИШ в РТ днём	29,8	20,5	19,8	26,1	18,9	9,9	0	0	24,8
ИШ-67	Уровни звукового давления от ИШ в РТ ночью	19,1	9,9	9,1	15,4	8,2	0	0	0	14
	Уровни звукового давления от ИШ в РТ днём	19,1	9,9	9,1	15,4	8,2	0	0	0	14
ИШ-68	Уровни звукового давления от ИШ в РТ ночью	19,1	9,8	9	15,4	8,2	0	0	0	13,9
	Уровни звукового давления от ИШ в РТ днём	19,1	9,8	9	15,4	8,2	0	0	0	13,9
ИШ-69	Уровни звукового давления от ИШ в РТ ночью	19	9,8	9	15,3	8	0	0	0	13,8
	Уровни звукового давления от ИШ в РТ днём	19	9,8	9	15,3	8	0	0	0	13,8
ИШ-70	Уровни звукового давления от ИШ в РТ ночью	18,9	9,7	8,9	15,2	7,9	0	0	0	13,7
	Уровни звукового давления от ИШ в РТ днём	18,9	9,7	8,9	15,2	7,9	0	0	0	13,7
ИШ-71	Уровни звукового давления от ИШ в РТ ночью	18,9	9,6	8,8	15,1	7,8	0	0	0	13,6
	Уровни звукового давления от ИШ в РТ днём	18,9	9,6	8,8	15,1	7,8	0	0	0	13,6







ИШ-132	Уровни звукового давления от ИШ в РТ днём	0	0	0	0	0	0	0	0	0	5,8
	Уровни звукового давления от ИШ в РТ ночью	0	0	0	0	0	0	0	0	0	5,8
Суммарные УЗД в РТ от всех ИШ днём, L <sub>рт</sub> , дБ		0	8,8	0	0	0	0	0	0	0	30
Суммарные УЗД в РТ от всех ИШ ночью, L <sub>рт</sub> , дБ		0	8,8	0	0	0	0	0	0	0	30
Допускаемые УЗД днём, L <sub>доп</sub> , дБ	территория у жилого дома	75	66	59	54	50	47	45	44	55	70
Допускаемые УЗД ночью, L <sub>доп</sub> , дБ	территория у жилого дома	67	57	49	44	40	37	35	33	45	60
Превышение днём, дБ		-75	-57,2	-59	-54	-50	-47	-45	-44	-55	-40
Превышение ночью, дБ		-67	-48,2	-49	-44	-40	-37	-35	-33	-45	-30

Источ-ник шума	Характеристика	Уровни звукового давления, дБ, в октавных полосах, со среднегеометрическими частотами, Гц								L <sub>a</sub> , дБА	
		63	125	250	500	1000	2000	4000	8000		
<b>Итоговые результаты определения уровней звукового давления в РТ-12 (координаты точки, м: x = 2248433.00, y = 412647.80, z=1.50)</b>											
ИШ-1	Уровни звукового давления от ИШ в РТ днём	16,5	9,7	1,6	0	0	0	0	0	0	0
	Уровни звукового давления от ИШ в РТ ночью	16,5	9,7	1,6	0	0	0	0	0	0	0
ИШ-2	Уровни звукового давления от ИШ в РТ днём	17,9	15,7	7,4	0	0	0	0	0	0	2,6
	Уровни звукового давления от ИШ в РТ ночью	17,9	15,7	7,4	0	0	0	0	0	0	2,6
ИШ-3	Уровни звукового давления от ИШ в РТ днём	26	18,4	12,7	3,9	0	0	0	0	0	8,1
	Уровни звукового давления от ИШ в РТ ночью	26	18,4	12,7	3,9	0	0	0	0	0	8,1
ИШ-4	Уровни звукового давления от ИШ в РТ днём	22,7	9,4	0,7	0	0	0	0	0	0	0
	Уровни звукового давления от ИШ в РТ ночью	22,7	9,4	0,7	0	0	0	0	0	0	0
ИШ-5	Уровни звукового давления от ИШ в РТ днём	7,4	0	0	0	0	0	0	0	0	0
	Уровни звукового давления от ИШ в РТ ночью	7,4	0	0	0	0	0	0	0	0	0
ИШ-6	Уровни звукового давления от ИШ в РТ днём	26,9	13	9,8	9,5	14,1	7,7	0	0	0	16,1
	Уровни звукового давления от ИШ в РТ ночью	26,9	13	9,8	9,5	14,1	7,7	0	0	0	16,1
ИШ-7	Уровни звукового давления от ИШ в РТ днём	31,1	26,4	20,5	9,6	0	0	0	0	0	15,3
	Уровни звукового давления от ИШ в РТ ночью	31,1	26,4	20,5	9,6	0	0	0	0	0	15,3
ИШ-8	Уровни звукового давления от ИШ в РТ днём	33,3	28,5	22,6	11,7	0	0	0	0	0	17,4
	Уровни звукового давления от ИШ в РТ ночью	33,3	28,5	22,6	11,7	0	0	0	0	0	17,4
ИШ-9	Уровни звукового давления от ИШ в РТ днём	5,4	0	0	0	0	0	0	0	0	0
	Уровни звукового давления от ИШ в РТ ночью	5,4	0	0	0	0	0	0	0	0	0
ИШ-10	Уровни звукового давления от ИШ в РТ днём	9,4	5,7	0	0	0	0	0	0	0	0
	Уровни звукового давления от ИШ в РТ ночью	9,4	5,7	0	0	0	0	0	0	0	0
ИШ-11	Уровни звукового давления от ИШ в РТ днём	23,7	19,3	13,6	0	0	0	0	0	0	7,6
	Уровни звукового давления от ИШ в РТ ночью	23,7	19,3	13,6	0	0	0	0	0	0	7,6
ИШ-12	Уровни звукового давления от ИШ в РТ днём	0	0	0	0	0	0	0	0	0	0
	Уровни звукового давления от ИШ в РТ ночью	0	0	0	0	0	0	0	0	0	0
ИШ-13	Уровни звукового давления от ИШ в РТ днём	1,4	0	0	0	0	0	0	0	0	0
	Уровни звукового давления от ИШ в РТ ночью	1,4	0	0	0	0	0	0	0	0	0
ИШ-14	Уровни звукового давления от ИШ в РТ днём	12,2	9,5	3,7	0	0	0	0	0	0	0
	Уровни звукового давления от ИШ в РТ ночью	12,2	9,5	3,7	0	0	0	0	0	0	0
ИШ-15	Уровни звукового давления от ИШ в РТ днём	13,7	11,1	5,4	0	0	0	0	0	0	0
	Уровни звукового давления от ИШ в РТ ночью	13,7	11,1	5,4	0	0	0	0	0	0	0
ИШ-16	Уровни звукового давления от ИШ в РТ днём	30,8	30,7	27,7	21,8	15,8	6,1	0	0	0	23,6
	Уровни звукового давления от ИШ в РТ ночью	30,8	30,7	27,7	21,8	15,8	6,1	0	0	0	23,6
ИШ-17	Уровни звукового давления от ИШ в РТ днём	31,1	31	28,1	22,2	16,2	6,7	0	0	0	24
	Уровни звукового давления от ИШ в РТ ночью	31,1	31	28,1	22,2	16,2	6,7	0	0	0	24
ИШ-18	Уровни звукового давления от ИШ в РТ днём	0	3,1	2,2	10,5	13,1	13,8	0	0	0	17,6
	Уровни звукового давления от ИШ в РТ ночью	0	3,1	2,2	10,5	13,1	13,8	0	0	0	17,6
ИШ-19	Уровни звукового давления от ИШ в РТ днём	22,1	20,2	15,7	9,8	3,5	0	0	0	0	11,7
	Уровни звукового давления от ИШ в РТ ночью	22,1	20,2	15,7	9,8	3,5	0	0	0	0	11,7
ИШ-20	Уровни звукового давления от ИШ в РТ днём	1,6	1	0	0	0	0	0	0	0	0
	Уровни звукового давления от ИШ в РТ ночью	1,6	1	0	0	0	0	0	0	0	0
ИШ-21	Уровни звукового давления от ИШ в РТ днём	0	0	0	0	0	0	0	0	0	0
	Уровни звукового давления от ИШ в РТ ночью	0	0	0	0	0	0	0	0	0	0
ИШ-22	Уровни звукового давления от ИШ в РТ днём	0	0	0	0	0	0	0	0	0	0
	Уровни звукового давления от ИШ в РТ ночью	0	0	0	0	0	0	0	0	0	0
ИШ-23	Уровни звукового давления от ИШ в РТ днём	0	0	0	0	0	0	0	0	0	0
	Уровни звукового давления от ИШ в РТ ночью	0	0	0	0	0	0	0	0	0	0
ИШ-24	Уровни звукового давления от ИШ в РТ днём	13,3	1,1	0	0	0	0	0	0	0	0
	Уровни звукового давления от ИШ в РТ ночью	13,3	1,1	0	0	0	0	0	0	0	0
ИШ-25	Уровни звукового давления от ИШ в РТ днём	13,1	1	0	0	0	0	0	0	0	0
	Уровни звукового давления от ИШ в РТ ночью	13,1	1	0	0	0	0	0	0	0	0
ИШ-26	Уровни звукового давления от ИШ в РТ днём	13	0,9	0	0	0	0	0	0	0	0
	Уровни звукового давления от ИШ в РТ ночью	13	0,9	0	0	0	0	0	0	0	0
ИШ-27	Уровни звукового давления от ИШ в РТ днём	26,4	37,6	29,9	28,1	21,7	14,8	0	0	0	28,9
	Уровни звукового давления от ИШ в РТ ночью	26,4	37,6	29,9	28,1	21,7	14,8	0	0	0	28,9
ИШ-28	Уровни звукового давления от ИШ в РТ днём	0,1	8,1	0	0	0	0	0	0	0	0
	Уровни звукового давления от ИШ в РТ ночью	0,1	8,1	0	0	0	0	0	0	0	0
ИШ-29	Уровни звукового давления от ИШ в РТ днём	12,6	23,8	21,9	17,2	11,8	6,9	0	0	0	18,7
	Уровни звукового давления от ИШ в РТ ночью	12,6	23,8	21,9	17,2	11,8	6,9	0	0	0	18,7
ИШ-30	Уровни звукового давления от ИШ в РТ днём	0	11,6	12,4	8,1	0	0	0	0	0	7,7

Источ- ник шума	Характеристика	Уровни звукового давления, дБ, в октавных полосах, со среднегеометрическими частотами, Гц								La, дБА
		63	125	250	500	1000	2000	4000	8000	
<b>Итоговые результаты определения уровней звукового давления в РТ-12 (координаты точки, м: x = 2248433.00, y = 412647.80, z=1.50)</b>										
ИШ-31	Уровни звукового давления от ИШ в РТ ночью	0	11,6	12,4	8,1	0	0	0	0	7,7
	Уровни звукового давления от ИШ в РТ днём	0	0	0	0	0	0	0	0	0
ИШ-32	Уровни звукового давления от ИШ в РТ ночью	0	0	0	0	0	0	0	0	0
	Уровни звукового давления от ИШ в РТ днём	0	0	0	0	0	0	0	0	0
ИШ-33	Уровни звукового давления от ИШ в РТ ночью	0	0	0	0	0	0	0	0	0
	Уровни звукового давления от ИШ в РТ днём	0	0	0	0	0	0	0	0	0
ИШ-34	Уровни звукового давления от ИШ в РТ ночью	0	0	0	0	0	0	0	0	0
	Уровни звукового давления от ИШ в РТ днём	0	0	0	0	0	0	0	0	0
ИШ-35	Уровни звукового давления от ИШ в РТ ночью	0	0	0	0	0	0	0	0	0
	Уровни звукового давления от ИШ в РТ днём	0	0	0	0	0	0	0	0	0
ИШ-36	Уровни звукового давления от ИШ в РТ ночью	10,4	2,1	1,3	7,4	0,1	0	0	0	5,9
	Уровни звукового давления от ИШ в РТ днём	10,4	2,1	1,3	7,4	0,1	0	0	0	5,9
ИШ-37	Уровни звукового давления от ИШ в РТ ночью	7,5	0	0	0	0	0	0	0	0
	Уровни звукового давления от ИШ в РТ днём	7,5	0	0	0	0	0	0	0	0
ИШ-38	Уровни звукового давления от ИШ в РТ ночью	8,9	0	0	0	0	0	0	0	0
	Уровни звукового давления от ИШ в РТ днём	8,9	0	0	0	0	0	0	0	0
ИШ-39	Уровни звукового давления от ИШ в РТ ночью	8,5	0	0	0	0	0	0	0	0
	Уровни звукового давления от ИШ в РТ днём	8,5	0	0	0	0	0	0	0	0
ИШ-40	Уровни звукового давления от ИШ в РТ ночью	8,2	0	0	0	0	0	0	0	0
	Уровни звукового давления от ИШ в РТ днём	8,2	0	0	0	0	0	0	0	0
ИШ-41	Уровни звукового давления от ИШ в РТ ночью	0	0	0	0	0	0	0	0	0
	Уровни звукового давления от ИШ в РТ днём	0	0	0	0	0	0	0	0	0
ИШ-42	Уровни звукового давления от ИШ в РТ ночью	0	0	0	0	0	0	0	0	0
	Уровни звукового давления от ИШ в РТ днём	0	0	0	0	0	0	0	0	0
ИШ-43	Уровни звукового давления от ИШ в РТ ночью	0	0	0	0	0	0	0	0	0
	Уровни звукового давления от ИШ в РТ днём	0	0	0	0	0	0	0	0	0
ИШ-44	Уровни звукового давления от ИШ в РТ ночью	0	0	0	0	0	0	0	0	0
	Уровни звукового давления от ИШ в РТ днём	0	0	0	0	0	0	0	0	0
ИШ-45	Уровни звукового давления от ИШ в РТ ночью	0	0	0	0	0	0	0	0	0
	Уровни звукового давления от ИШ в РТ днём	0	0	0	0	0	0	0	0	0
ИШ-46	Уровни звукового давления от ИШ в РТ ночью	0	0	0	0	0	0	0	0	0
	Уровни звукового давления от ИШ в РТ днём	0	0	0	0	0	0	0	0	0
ИШ-47	Уровни звукового давления от ИШ в РТ ночью	0	0	0	0	0	0	0	0	0
	Уровни звукового давления от ИШ в РТ днём	0	0	0	0	0	0	0	0	0
ИШ-48	Уровни звукового давления от ИШ в РТ ночью	12	0	15,9	10,9	0	0	0	0	10,5
	Уровни звукового давления от ИШ в РТ днём	12	0	15,9	10,9	0	0	0	0	10,5
ИШ-49	Уровни звукового давления от ИШ в РТ ночью	18,6	9,3	8,5	14,7	7,4	0	0	0	13,2
	Уровни звукового давления от ИШ в РТ днём	18,6	9,3	8,5	14,7	7,4	0	0	0	13,2
ИШ-50	Уровни звукового давления от ИШ в РТ ночью	18,7	9,4	8,6	14,8	7,5	0	0	0	13,3
	Уровни звукового давления от ИШ в РТ днём	18,7	9,4	8,6	14,8	7,5	0	0	0	13,3
ИШ-51	Уровни звукового давления от ИШ в РТ ночью	29,3	20,1	19,3	25,5	18,2	9	0	0	24,2
	Уровни звукового давления от ИШ в РТ днём	29,3	20,1	19,3	25,5	18,2	9	0	0	24,2
ИШ-52	Уровни звукового давления от ИШ в РТ ночью	18,7	9,5	8,6	14,9	7,6	0	0	0	13,4
	Уровни звукового давления от ИШ в РТ днём	18,7	9,5	8,6	14,9	7,6	0	0	0	13,4
ИШ-53	Уровни звукового давления от ИШ в РТ ночью	18,5	9,2	8,4	14,6	7,3	0	0	0	13,1
	Уровни звукового давления от ИШ в РТ днём	18,5	9,2	8,4	14,6	7,3	0	0	0	13,1
ИШ-54	Уровни звукового давления от ИШ в РТ ночью	18,6	9,3	8,5	14,7	7,3	0	0	0	13,2
	Уровни звукового давления от ИШ в РТ днём	18,6	9,3	8,5	14,7	7,3	0	0	0	13,2
ИШ-55	Уровни звукового давления от ИШ в РТ ночью	18,6	9,4	8,5	14,7	7,4	0	0	0	13,3
	Уровни звукового давления от ИШ в РТ днём	18,6	9,4	8,5	14,7	7,4	0	0	0	13,3
ИШ-56	Уровни звукового давления от ИШ в РТ ночью	18,7	9,4	8,6	14,8	7,5	0	0	0	13,3
	Уровни звукового давления от ИШ в РТ днём	18,7	9,4	8,6	14,8	7,5	0	0	0	13,3
ИШ-57	Уровни звукового давления от ИШ в РТ ночью	18,4	9,2	8,3	14,5	7,1	0	0	0	13
	Уровни звукового давления от ИШ в РТ днём	18,4	9,2	8,3	14,5	7,1	0	0	0	13
ИШ-58	Уровни звукового давления от ИШ в РТ ночью	18,5	9,2	8,3	14,5	7,2	0	0	0	13
	Уровни звукового давления от ИШ в РТ днём	18,5	9,2	8,3	14,5	7,2	0	0	0	13
ИШ-59	Уровни звукового давления от ИШ в РТ ночью	18,5	9,3	8,4	14,6	7,3	0	0	0	13,1
	Уровни звукового давления от ИШ в РТ днём	18,5	9,3	8,4	14,6	7,3	0	0	0	13,1
ИШ-60	Уровни звукового давления от ИШ в РТ ночью	18,6	9,3	8,5	14,7	7,4	0	0	0	13,2
	Уровни звукового давления от ИШ в РТ днём	18,6	9,3	8,5	14,7	7,4	0	0	0	13,2
ИШ-61	Уровни звукового давления от ИШ в РТ ночью	18,5	9,3	8,4	14,6	7,3	0	0	0	13,1
	Уровни звукового давления от ИШ в РТ днём	18,5	9,3	8,4	14,6	7,3	0	0	0	13,1
ИШ-62	Уровни звукового давления от ИШ в РТ ночью	18,3	9	8,2	14,3	6,9	0	0	0	12,8
	Уровни звукового давления от ИШ в РТ днём	18,3	9	8,2	14,3	6,9	0	0	0	12,8
ИШ-63	Уровни звукового давления от ИШ в РТ ночью	18,4	9,1	8,2	14,4	7	0	0	0	12,9
	Уровни звукового давления от ИШ в РТ днём	18,4	9,1	8,2	14,4	7	0	0	0	12,9



Источ- ник шума	Характеристика	Уровни звукового давления, дБ, в октавных полосах, со среднегеометрическими частотами, Гц								La, дБА
		63	125	250	500	1000	2000	4000	8000	
Итоговые результаты определения уровней звукового давления в РТ-12 (координаты точки, м: x = 2248433.00, y = 412647.80, z=1.50)										
ИШ-98	Уровни звукового давления от ИШ в РТ ночью	0	0	0	0	0	0	0	0	0
	Уровни звукового давления от ИШ в РТ днём	0	0	0	0	0	0	0	0	0
	Уровни звукового давления от ИШ в РТ ночью	0	0	0	0	0	0	0	0	0
ИШ-99	Уровни звукового давления от ИШ в РТ днём	0	0	0	0	0	0	0	0	0
	Уровни звукового давления от ИШ в РТ ночью	0	0	0	0	0	0	0	0	0
ИШ-100	Уровни звукового давления от ИШ в РТ днём	0	0	0	0	0	0	0	0	0
	Уровни звукового давления от ИШ в РТ ночью	0	0	0	0	0	0	0	0	0
ИШ-101	Уровни звукового давления от ИШ в РТ днём	0	0	0	0	0	0	0	0	0
	Уровни звукового давления от ИШ в РТ ночью	0	0	0	0	0	0	0	0	0
ИШ-102	Уровни звукового давления от ИШ в РТ днём	0	0	0	0	0	0	0	0	0
	Уровни звукового давления от ИШ в РТ ночью	0	0	0	0	0	0	0	0	0
ИШ-103	Уровни звукового давления от ИШ в РТ днём	0	0	0	0	0	0	0	0	0
	Уровни звукового давления от ИШ в РТ ночью	0	0	0	0	0	0	0	0	0
ИШ-104	Уровни звукового давления от ИШ в РТ днём	0	0	0	0	0	0	0	0	0
	Уровни звукового давления от ИШ в РТ ночью	0	0	0	0	0	0	0	0	0
ИШ-105	Уровни звукового давления от ИШ в РТ днём	0	0	0	0	0	0	0	0	0
	Уровни звукового давления от ИШ в РТ ночью	0	0	0	0	0	0	0	0	0
ИШ-106	Уровни звукового давления от ИШ в РТ днём	0	0	0	0	0	0	0	0	0
	Уровни звукового давления от ИШ в РТ ночью	0	0	0	0	0	0	0	0	0
ИШ-107	Уровни звукового давления от ИШ в РТ днём	7,8	7,6	4,7	0	0	0	0	0	0
	Уровни звукового давления от ИШ в РТ ночью	7,8	7,6	4,7	0	0	0	0	0	0
ИШ-108	Уровни звукового давления от ИШ в РТ днём	7,8	7,7	4,7	0	0	0	0	0	0
	Уровни звукового давления от ИШ в РТ ночью	7,8	7,7	4,7	0	0	0	0	0	0
ИШ-109	Уровни звукового давления от ИШ в РТ днём	7,8	7,7	4,7	0	0	0	0	0	0
	Уровни звукового давления от ИШ в РТ ночью	7,8	7,7	4,7	0	0	0	0	0	0
ИШ-110	Уровни звукового давления от ИШ в РТ днём	7,8	7,7	4,8	0	0	0	0	0	0
	Уровни звукового давления от ИШ в РТ ночью	7,8	7,7	4,8	0	0	0	0	0	0
ИШ-111	Уровни звукового давления от ИШ в РТ днём	0	0	0	0	0	0	0	0	0
	Уровни звукового давления от ИШ в РТ ночью	0	0	0	0	0	0	0	0	0
ИШ-112	Уровни звукового давления от ИШ в РТ днём	0	0	0	0	0	0	0	0	0
	Уровни звукового давления от ИШ в РТ ночью	0	0	0	0	0	0	0	0	0
ИШ-113	Уровни звукового давления от ИШ в РТ днём	0	0	0	0	0	0	0	0	0
	Уровни звукового давления от ИШ в РТ ночью	0	0	0	0	0	0	0	0	0
ИШ-114	Уровни звукового давления от ИШ в РТ днём	0	0	0	0	0	0	0	0	0
	Уровни звукового давления от ИШ в РТ ночью	0	0	0	0	0	0	0	0	0
ИШ-115	Уровни звукового давления от ИШ в РТ днём	7,4	7	3,4	0	0	0	0	0	0
	Уровни звукового давления от ИШ в РТ ночью	7,4	7	3,4	0	0	0	0	0	0
ИШ-116	Уровни звукового давления от ИШ в РТ днём	7,4	6,9	3,4	0	0	0	0	0	0
	Уровни звукового давления от ИШ в РТ ночью	7,4	6,9	3,4	0	0	0	0	0	0
ИШ-117	Уровни звукового давления от ИШ в РТ днём	20	21,2	21,7	20,4	17,9	10,6	0	0	21,8
	Уровни звукового давления от ИШ в РТ ночью	20	21,2	21,7	20,4	17,9	10,6	0	0	21,8
ИШ-118	Уровни звукового давления от ИШ в РТ днём	11,5	9,7	3,7	0	0	0	0	0	0
	Уровни звукового давления от ИШ в РТ ночью	11,5	9,7	3,7	0	0	0	0	0	0
ИШ-119	Уровни звукового давления от ИШ в РТ днём	11,4	6,8	0,4	0	0	0	0	0	0
	Уровни звукового давления от ИШ в РТ ночью	11,4	6,8	0,4	0	0	0	0	0	0
ИШ-120	Уровни звукового давления от ИШ в РТ днём	1,1	0	0	0	0	0	0	0	0
	Уровни звукового давления от ИШ в РТ ночью	1,1	0	0	0	0	0	0	0	0
ИШ-121	Уровни звукового давления от ИШ в РТ днём	2,1	0	0	0	0	0	0	0	0
	Уровни звукового давления от ИШ в РТ ночью	2,1	0	0	0	0	0	0	0	0
ИШ-122	Уровни звукового давления от ИШ в РТ днём	0	2,3	3,2	0	0	0	0	0	0
	Уровни звукового давления от ИШ в РТ ночью	0	2,3	3,2	0	0	0	0	0	0
ИШ-123	Уровни звукового давления от ИШ в РТ днём	0	0	0	0	0	0	0	0	0
	Уровни звукового давления от ИШ в РТ ночью	0	0	0	0	0	0	0	0	0
ИШ-124	Уровни звукового давления от ИШ в РТ днём	13	14,1	14,5	12,8	9,8	1,6	0	0	14
	Уровни звукового давления от ИШ в РТ ночью	13	14,1	14,5	12,8	9,8	1,6	0	0	14
ИШ-125	Уровни звукового давления от ИШ в РТ днём	15,9	15,7	12,6	6,5	0,2	0	0	0	8,3
	Уровни звукового давления от ИШ в РТ ночью	0	0	0	0	0	0	0	0	0
ИШ-130	Уровни звукового давления от ИШ в РТ днём	15,3	6,2	0	0	0	0	0	0	0
	Уровни звукового давления от ИШ в РТ ночью	0	0	0	0	0	0	0	0	0
ИШ-131	Уровни звукового давления от ИШ в РТ днём	16,2	20	25,1	17,2	4,7	7,5	0	0	19,2
	Уровни звукового давления от ИШ в РТ ночью	16,2	20	25,1	17,2	4,7	7,5	0	0	19,2
ИШ-133	Уровни звукового давления от ИШ в РТ днём	0	0	0	0	0	0	0	0	0
	Уровни звукового давления от ИШ в РТ ночью	0	0	0	0	0	0	0	0	0
ИШ-134	Уровни звукового давления от ИШ в РТ днём	15,2	14,9	14,1	12,4	10	5,7	0	0	14,4
	Уровни звукового давления от ИШ в РТ ночью	15,2	14,9	14,1	12,4	10	5,7	0	0	14,4
Суммарные УЗД в РТ от всех ИШ днём, Лрт, дБ		41,3	40,4	36,1	35,5	28,7	21,1	0	0	35,4
Суммарные УЗД в РТ от всех ИШ ночью, Лрт, дБ		41,3	40,4	36,1	35,5	28,7	21,1	0	0	35,4

Источ- ник шума	Характеристика	Уровни звукового давления, дБ, в октавных полосах, со среднегеометрическими частотами, Гц								L <sub>a</sub> , дБА
		63	125	250	500	1000	2000	4000	8000	
<b>Итоговые результаты определения уровней звукового давления в РТ-12 (координаты точки, м: x = 2248433.00, y = 412647.80, z=1.50)</b>										
Допускаемые УЗД днём, L <sub>доп</sub> , дБ	территория у жилого дома	70	61	54	49	45	42	40	39	50
Допускаемые УЗД ночью, L <sub>доп</sub> , дБ	территория у жилого дома	62	52	44	39	35	32	30	28	40
с учётом поправки -5 дБ на работу технологического оборудования										
Превышение днём, дБ		-28,7	-20,6	-17,9	-13,5	-16,3	-20,9	-40	-39	-14,6
Превышение ночью, дБ		-20,7	-11,6	-7,9	-3,5	-6,3	-10,9	-30	-28	-4,6

Источ- ник шума	Характеристика	Уровни звукового давления, дБ, в октавных полосах, со среднегеометрическими частотами, Гц								L <sub>a</sub> , дБА	L <sub>макс</sub> , дБА
		63	125	250	500	1000	2000	4000	8000		
<b>Результаты расчета шумового воздействия источников непостоянного шума в РТ-12</b>											
ИШ- 126	Уровни звукового давления от ИШ в РТ днём	0	11,9	7,3	2,2	0	0	0	0	2,8	26,1
	Уровни звукового давления от ИШ в РТ ночью	0	11,9	7,3	2,2	0	0	0	0	2,8	26,1
ИШ- 127	Уровни звукового давления от ИШ в РТ днём	0	0	0	0	0	0	0	0	0	24,9
	Уровни звукового давления от ИШ в РТ ночью	0	0	0	0	0	0	0	0	0	24,9
ИШ- 128	Уровни звукового давления от ИШ в РТ днём	0	0	0	0	0	0	0	0	0	25,9
	Уровни звукового давления от ИШ в РТ ночью	0	0	0	0	0	0	0	0	0	25,9
ИШ- 129	Уровни звукового давления от ИШ в РТ днём	0	0	0	0	0	0	0	0	0	21,1
	Уровни звукового давления от ИШ в РТ ночью	0	0	0	0	0	0	0	0	0	21,1
ИШ- 132	Уровни звукового давления от ИШ в РТ днём	0	0	0	0	0	0	0	0	0	18,3
	Уровни звукового давления от ИШ в РТ ночью	0	0	0	0	0	0	0	0	0	18,3
Суммарные УЗД в РТ от всех ИШ днём, L <sub>рт</sub> , дБ		0	11,9	7,3	2,2	0	0	0	0	2,8	31,1
Суммарные УЗД в РТ от всех ИШ ночью, L <sub>рт</sub> , дБ		0	11,9	7,3	2,2	0	0	0	0	2,8	31,1
Допускаемые УЗД днём, L <sub>доп</sub> , дБ	территория у жилого дома	75	66	59	54	50	47	45	44	55	70
Допускаемые УЗД ночью, L <sub>доп</sub> , дБ	территория у жилого дома	67	57	49	44	40	37	35	33	45	60
Превышение днём, дБ		-75	-54,1	-51,7	-51,8	-50	-47	-45	-44	-52,2	-38,9
Превышение ночью, дБ		-67	-45,1	-41,7	-41,8	-40	-37	-35	-33	-42,2	-28,9

**Исходные данные и определение уровней звуковой мощности источников шума**

Наименование величин и их описание	Ссылка	Уровни звукового давления, дБ, в октавных полосах, со среднегеометрическими частотами, Гц							L <sub>max</sub> , дБА	
		31,5	63	125	250	500	1000	2000		4000
ИШ-1 [координаты на плане (x, y, z), м = (2248962.7, 411724.8, 15.0)]										
Режим работы источника: постоянный										
Продолжительность работы в дневной период (7.00-23.00): 16 час										
Продолжительность работы в ночной период (23.00-7.00): 8 час										
Тип источника шума: внешние источники шума										
Название: Приемный бункер. Западный фасад здания. Работают измельчитель и кран переноса мусора										
Пространственный угол излучения, рад.		исходные данные								
Октавные уровни звуковой мощности источника L <sub>w</sub> , дБ		0	88	82,8	75,8	69,3	66,4	64,4	50,2	40,7
ИШ-2 [координаты на плане (x, y, z), м = (2248976.8, 411742.2, 15.0)]										
Режим работы источника: постоянный										
Продолжительность работы в дневной период (7.00-23.00): 16 час										
Продолжительность работы в ночной период (23.00-7.00): 8 час										
Тип источника шума: внешние источники шума										
Название: Приемный бункер. Северный фасад здания. Работают измельчитель и кран переноса мусора										
Пространственный угол излучения, рад.		исходные данные								
Октавные уровни звуковой мощности источника L <sub>w</sub> , дБ		0	85,3	80,1	73,1	66,5	63,6	61,7	47,4	38
ИШ-3 [координаты на плане (x, y, z), м = (2248963.1, 411715.9, 20.0)]										
Режим работы источника: постоянный										
Продолжительность работы в дневной период (7.00-23.00): 16 час										
Продолжительность работы в ночной период (23.00-7.00): 8 час										
Тип источника шума: внешние источники шума										
Название: Котельный зал, западный фасад. Работает оборудование 3-х котлов										
Пространственный угол излучения, рад.		исходные данные								
Октавные уровни звуковой мощности источника L <sub>w</sub> , дБ		0	96,5	86,1	81,3	74,3	68,9	67,1	51,6	40,8
ИШ-4 [координаты на плане (x, y, z), м = (2248990.7, 411648.3, 20.0)]										
Режим работы источника: постоянный										
Продолжительность работы в дневной период (7.00-23.00): 16 час										
Продолжительность работы в ночной период (23.00-7.00): 8 час										
Тип источника шума: внешние источники шума										
Название: Котельный зал, южный фасад. Работает оборудование 3-х котлов										
Пространственный угол излучения, рад.		исходные данные								
Октавные уровни звуковой мощности источника L <sub>w</sub> , дБ		0	98,1	87,7	82,9	75,9	70,4	68,7	53,2	42,4
ИШ-5 [координаты на плане (x, y, z), м = (2249070.0, 411699.1, 20.0)]										
Режим работы источника: постоянный										
Продолжительность работы в дневной период (7.00-23.00): 16 час										
Продолжительность работы в ночной период (23.00-7.00): 8 час										
Тип источника шума: внешние источники шума										
Название: Котельный зал, восточный фасад. Работает оборудование 3-х котлов										
Пространственный угол излучения, рад.		исходные данные								
Октавные уровни звуковой мощности источника L <sub>w</sub> , дБ		0	96,5	86,1	81,3	74,3	68,9	67,1	51,6	40,8
ИШ-6 [координаты на плане (x, y, z), м = (2248965.0, 411755.0, 3.0)]										

Режим работы источника:		постоянный																		
Продолжительность работы в дневной период (7.00-23.00):		16 час																		
Продолжительность работы в ночной период (23.00-7.00):		8 час																		
Тип источника шума:		внешние источники шума																		
Название:		Котельный зал, транспортёр золы																		
Пространственный угол излучения, рад.	$\Omega = 12.57$	исходные данные																		
Уровни звукового давления L на опорном расстоянии d, дБ	d = 1 м	0	91	78	76,5	78,9	74,1	72,2	64,1	51,5										
Габариты источника шума, м	LW = L + 20lg(d) + 10lg(Q)	исходные данные		длина (l <sub>1</sub> ) = 0.00	89	87,5	89,9	85,1	83,2	75,1	62,5									
Октавные уровни звуковой мощности источника Lw, дБ		0	102	89	87,5	89,9	85,1	83,2	75,1	62,5										
ИШ-7 [координаты на плане (x,y,z), м = (2248980.6,411777.8,15.0)]																				
Режим работы источника:		постоянный																		
Продолжительность работы в дневной период (7.00-23.00):		16 час																		
Продолжительность работы в ночной период (23.00-7.00):		8 час																		
Тип источника шума:		внешние источники шума																		
Название:		Помещение системы очистки дымовых газов, западный фасад. Работает технологическое оборудование																		
Пространственный угол излучения, рад.	$\Omega = 3.14$	исходные данные																		
Октавные уровни звуковой мощности источника Lw, дБ		0	91,9	87,4	82,3	73,1	67,4	63,5	47,8	36,8										
ИШ-8 [координаты на плане (x,y,z), м = (2249022.7,411809.3,15.0)]																				
Режим работы источника:		постоянный																		
Продолжительность работы в дневной период (7.00-23.00):		16 час																		
Продолжительность работы в ночной период (23.00-7.00):		8 час																		
Тип источника шума:		внешние источники шума																		
Название:		Помещение системы очистки дымовых газов, северный фасад. Работает технологическое оборудование																		
Пространственный угол излучения, рад.	$\Omega = 3.14$	исходные данные																		
Октавные уровни звуковой мощности источника Lw, дБ		0	94	89,5	84,4	75,2	69,5	65,5	49,8	38,8										
ИШ-9 [координаты на плане (x,y,z), м = (2249113.8,411760.1,25.0)]																				
Режим работы источника:		постоянный																		
Продолжительность работы в дневной период (7.00-23.00):		16 час																		
Продолжительность работы в ночной период (23.00-7.00):		8 час																		
Тип источника шума:		внешние источники шума																		
Название:		Помещение системы очистки дымовых газов, восточный фасад. Работает технологическое оборудование																		
Пространственный угол излучения, рад.	$\Omega = 3.14$	исходные данные																		
Октавные уровни звуковой мощности источника Lw, дБ		0	87,2	82,6	77,5	68,3	62,6	58,7	43	32										
ИШ-10 [координаты на плане (x,y,z), м = (2249035.7,411841.4,98.0)]																				
Режим работы источника:		постоянный																		
Продолжительность работы в дневной период (7.00-23.00):		16 час																		
Продолжительность работы в ночной период (23.00-7.00):		8 час																		
Тип источника шума:		внешние источники шума																		
Название:		Помещение системы очистки дымовых газов, восточный фасад. Работает технологическое оборудование																		
Пространственный угол излучения, рад.	$\Omega = 3.14$	исходные данные																		
Октавные уровни звуковой мощности источника Lw, дБ		0	87,2	82,6	77,5	68,3	62,6	58,7	43	32										
ИШ-11 [координаты на плане (x,y,z), м = (2249087.3,411800.7,10.0)]																				
Режим работы источника:		постоянный																		
Продолжительность работы в дневной период (7.00-23.00):		16 час																		
Продолжительность работы в ночной период (23.00-7.00):		8 час																		
Тип источника шума:		внешние источники шума																		
Название:		Срез дымовой трубы																		
Пространственный угол излучения, рад.	$\Omega = 12.57$	исходные данные																		
Октавные уровни звуковой мощности источника Lw, дБ		0	77,6	74,1	71,1	70,1	68,6	66,4	62,8	57,1										
ИШ-11 [координаты на плане (x,y,z), м = (2249087.3,411800.7,10.0)]																				
Режим работы источника:		постоянный																		
Продолжительность работы в дневной период (7.00-23.00):		16 час																		
Продолжительность работы в ночной период (23.00-7.00):		8 час																		



Тип источника шума:		внешние источники шума									
Название:		Турбинный зал, северный фасад. Работает технологическое оборудование.									
Пространственный угол излучения, рад.		исходные данные		исходные данные		исходные данные		исходные данные		исходные данные	
Октавные уровни звуковой мощности источника Lw, дБ		Ω = 3.14									
ИШ-12 [координаты на плане (x,y,z), м = (2249080.4,411721.8,10.0)]		0	84,3	80,2	75,3	67	63,3	66,4	51,6	41	
Режим работы источника:		постоянный									
Продолжительность работы в дневной период (7.00-23.00):		16 час									
Продолжительность работы в ночной период (23.00-7.00):		8 час									
Тип источника шума:		внешние источники шума									
Название:		Турбинный зал, южный фасад. Работает технологическое оборудование.									
Пространственный угол излучения, рад.		исходные данные		исходные данные		исходные данные		исходные данные		исходные данные	
Октавные уровни звуковой мощности источника Lw, дБ		Ω = 3.14									
ИШ-13 [координаты на плане (x,y,z), м = (2249111.9,411748.5,10.0)]		0	84,3	80,2	75,3	67	63,3	66,4	51,6	41	
Режим работы источника:		постоянный									
Продолжительность работы в дневной период (7.00-23.00):		16 час									
Продолжительность работы в ночной период (23.00-7.00):		8 час									
Тип источника шума:		внешние источники шума									
Название:		Турбинный зал, восточный фасад. Работает технологическое оборудование.									
Пространственный угол излучения, рад.		исходные данные		исходные данные		исходные данные		исходные данные		исходные данные	
Октавные уровни звуковой мощности источника Lw, дБ		Ω = 3.14									
ИШ-14 [координаты на плане (x,y,z), м = (2249116.6,411849.5,2.0)]		0	86,1	82	77,1	68,8	65,1	68,2	53,3	42,7	
Режим работы источника:		постоянный									
Продолжительность работы в дневной период (7.00-23.00):		16 час									
Продолжительность работы в ночной период (23.00-7.00):		8 час									
Тип источника шума:		внешние источники шума									
Название:		Наружный блок вентилятора (1) охлаждающего воздуха турбинного зала									
Пространственный угол излучения, рад.		исходные данные		исходные данные		исходные данные		исходные данные		исходные данные	
Уровень звуковой мощности источника LwA, дБА		Ω = 6.28									89
Спектральные поправки K(ΔL <sub>п</sub> ) для разложения общего УЗМ по октавным полосам, дБ											
Октавные уровни звуковой мощности источника Lw, дБ			-999	4,2	4,3	2,2	-2	-5,7	-11,1	-16,8	-22,8
ИШ-15 [координаты на плане (x,y,z), м = (2249071.7,411856.8,2.0)]			0	93,2	93,3	91,2	87	83,3	77,9	72,2	66,2
Режим работы источника:		постоянный									
Продолжительность работы в дневной период (7.00-23.00):		16 час									
Продолжительность работы в ночной период (23.00-7.00):		8 час									
Тип источника шума:		внешние источники шума									
Название:		Наружный блок вентилятора (2) охлаждающего воздуха турбинного зала									
Пространственный угол излучения, рад.		исходные данные		исходные данные		исходные данные		исходные данные		исходные данные	
Уровень звуковой мощности источника LwA, дБА		Ω = 6.28									89
Спектральные поправки K(ΔL <sub>п</sub> ) для разложения общего УЗМ по октавным полосам, дБ											
Октавные уровни звуковой мощности источника Lw, дБ			-999	4,2	4,3	2,2	-2	-5,7	-11,1	-16,8	-22,8
ИШ-16 [координаты на плане (x,y,z), м = (2249113.5,411835.2,7.5)]			0	93,2	93,3	91,2	87	83,3	77,9	72,2	66,2
Режим работы источника:		постоянный									
Продолжительность работы в дневной период (7.00-23.00):		16 час									
Продолжительность работы в ночной период (23.00-7.00):		8 час									
Тип источника шума:		внешние источники шума									
Название:		Наружный блок вентилятора (2) охлаждающего воздуха турбинного зала									
Пространственный угол излучения, рад.		исходные данные		исходные данные		исходные данные		исходные данные		исходные данные	
Уровень звуковой мощности источника LwA, дБА		Ω = 6.28									89
Спектральные поправки K(ΔL <sub>п</sub> ) для разложения общего УЗМ по октавным полосам, дБ											
Октавные уровни звуковой мощности источника Lw, дБ			-999	4,2	4,3	2,2	-2	-5,7	-11,1	-16,8	-22,8
ИШ-16 [координаты на плане (x,y,z), м = (2249113.5,411835.2,7.5)]			0	93,2	93,3	91,2	87	83,3	77,9	72,2	66,2
Режим работы источника:		постоянный									
Продолжительность работы в дневной период (7.00-23.00):		16 час									
Продолжительность работы в ночной период (23.00-7.00):		8 час									
Тип источника шума:		внешние источники шума									

Название:		Вентиляторы воздушного охлаждения (1)									
Пространственный угол излучения, рад.		$\Omega = 6.28$									
Уровень звуковой мощности источника LwA, дБА		исходные данные									
Спектральные поправки K( $\Delta_{\text{Lw}}$ ) для разложения общего УЗМ по октавным полосам, дБ		исходные данные									
Октавные уровни звуковой мощности источника Lw, дБ		-999	4,2	4,3	2,2	-2	-5,7	-11,1	-16,8	-22,8	100
ИШ-17 [координаты на плане (x,y,z), м = (2249068.6, 411842.9, 7.5)]		0	104,2	104,3	102,2	98	94,3	88,9	83,2	77,2	
Режим работы источника:		постоянный									
Продолжительность работы в дневной период (7.00-23.00):		16 час									
Продолжительность работы в ночной период (23.00-7.00):		8 час									
Тип источника шума:		внешние источники шума									
Название:		Вентиляторы воздушного охлаждения (2)									
Пространственный угол излучения, рад.		$\Omega = 6.28$									
Уровень звуковой мощности источника LwA, дБА		исходные данные									
Спектральные поправки K( $\Delta_{\text{Lw}}$ ) для разложения общего УЗМ по октавным полосам, дБ		-999	4,2	4,3	2,2	-2	-5,7	-11,1	-16,8	-22,8	100
Октавные уровни звуковой мощности источника Lw, дБ		0	104,2	104,3	102,2	98	94,3	88,9	83,2	77,2	
ИШ-18 [координаты на плане (x,y,z), м = (2249086.5, 411812.2, 7.5)]		исходные данные									
Режим работы источника:		постоянный									
Продолжительность работы в дневной период (7.00-23.00):		16 час									
Продолжительность работы в ночной период (23.00-7.00):		8 час									
Тип источника шума:		внешние источники шума									
Название:		Паропровод КВО пониженного давления к внутреннему КВО									
Пространственный угол излучения, рад.		$\Omega = 6.28$									
Уровень звуковой мощности источника Lw, дБ		исходные данные									
Октавные уровни звуковой мощности источника Lw, дБ		0	71,7	76,7	76,7	86,7	91,7	96,7	91,7	86,7	
ИШ-19 [координаты на плане (x,y,z), м = (2248934.3, 411763.2, 7.5)]		исходные данные									
Режим работы источника:		постоянный									
Продолжительность работы в дневной период (7.00-23.00):		16 час									
Продолжительность работы в ночной период (23.00-7.00):		8 час									
Тип источника шума:		внешние источники шума									
Название:		Отделение шлакоудаления. Челночный конвейер									
Примечание:											
Пространственный угол излучения, рад.		$\Omega = 6.28$									
Уровень звука La на опорном расстоянии d, дБА		исходные данные									
Габариты источника шума, м		исходные данные									
Уровни звуковой мощности источника LwA, дБА		исходные данные									
Спектральные поправки K( $\Delta_{\text{Lw}}$ ) для разложения общего УЗМ по октавным полосам, дБ		-999	7,1	5,5	1,8	-2,4	-6,4	-10,6	-14	-17,1	88
Октавные уровни звуковой мощности источника Lw, дБ		0	95,1	93,5	89,8	85,6	81,6	77,4	74	70,9	
ИШ-20 [координаты на плане (x, y, z), м = (2248919.6, 411772.4, 7.5)]		исходные данные									
Режим работы источника:		постоянный									
Продолжительность работы в дневной период (7.00-23.00):		16 час									
Продолжительность работы в ночной период (23.00-7.00):		8 час									
Тип источника шума:		внешние источники шума									
Название:		Отделение шлакоудаления. Металлоотделитель									
Пространственный угол излучения, рад.		исходные данные									
Уровень звука La на опорном расстоянии d, дБА		исходные данные									
Габариты источника шума, м		исходные данные									
Продолжительность работы в дневной период (7.00-23.00):		длина (l <sub>1</sub> ) = 0.00									
Продолжительность работы в ночной период (23.00-7.00):		длина (l <sub>2</sub> ) = 0.00									
Продолжительность работы в дневной период (7.00-23.00):		длина (l <sub>1</sub> ) = 0.00									
Продолжительность работы в ночной период (23.00-7.00):		длина (l <sub>2</sub> ) = 0.00									
Продолжительность работы в дневной период (7.00-23.00):		ширина (l <sub>3</sub> ) = 0.00									
Продолжительность работы в ночной период (23.00-7.00):		ширина (l <sub>3</sub> ) = 0.00									
Продолжительность работы в дневной период (7.00-23.00):		высота (l <sub>3</sub> ) = 0.00									
Продолжительность работы в ночной период (23.00-7.00):		высота (l <sub>3</sub> ) = 0.00									

Уровни звуковой мощности источника LwA, дБА	$LwA = La + 20 \lg(d) + 10 \lg(\Omega)$	-999	-9,4	-7,7	-6,1	-4,7	-4,1	-6,8	-10,6	88
Спектральные поправки K(Δ <sub>ш</sub> ) для разложения общего УЗМ по октавным полосам, дБ	[5]	0	78,6	80,3	81,9	83,3	83,9	81,2	77,4	-14,4
Октавные уровни звуковой мощности источника Lw, дБ	$Lw = LwA + K(\Delta_{ш})$									73,6
<b>ИШ-21</b> [координаты на плане (x, y, z), м = (2249124.7, 411770.5, 5.0)]										
Режим работы источника: постоянный										
Продолжительность работы в дневной период (7.00-23.00): 16 час										
Продолжительность работы в ночной период (23.00-7.00): 8 час										
Тип источника шума: внешние источники шума										
Название: Трансформатор НУ/МУ (ОВВТ01)										
Пространственный угол излучения, рад.	$\Omega = 6.28$									
Уровень звука La на опорном расстоянии d, дБА	d = 0.3 м									70
Габариты источника шума, м										
Уровни звуковой мощности источника LwA, дБА	$LwA = La + 20 \lg(d) + 10 \lg(\Omega)$									
Спектральные поправки K(Δ <sub>ш</sub> ) для разложения общего УЗМ по октавным полосам, дБ	[5]	-999	9,9	9	2,5	-3	-7,3	-11,6	-16,4	67,5
Октавные уровни звуковой мощности источника Lw, дБ	$Lw = LwA + K(\Delta_{ш})$	0	77,4	76,5	70	64,5	60,2	55,9	51,1	46,8
<b>ИШ-22</b> [координаты на плане (x, y, z), м = (2249134.3, 411777.7, 5.0)]										
Режим работы источника: постоянный										
Продолжительность работы в дневной период (7.00-23.00): 16 час										
Продолжительность работы в ночной период (23.00-7.00): 8 час										
Тип источника шума: внешние источники шума										
Название: Трансформаторы НУ/МУ (ОВВТ01)										
Пространственный угол излучения, рад.	$\Omega = 6.28$									
Уровень звука La на опорном расстоянии d, дБА	d = 0.3 м									60
Габариты источника шума, м										
Уровни звуковой мощности источника LwA, дБА	$LwA = La + 20 \lg(d) + 10 \lg(\Omega)$									
Спектральные поправки K(Δ <sub>ш</sub> ) для разложения общего УЗМ по октавным полосам, дБ	[5]	-999	9,9	9	2,5	-3	-7,3	-11,6	-16,4	57,5
Октавные уровни звуковой мощности источника Lw, дБ	$Lw = LwA + K(\Delta_{ш})$	0	67,4	66,5	60	54,5	50,2	45,9	41,1	36,8
<b>ИШ-23</b> [координаты на плане (x, y, z), м = (2249131.3, 411765.5, 5.0)]										
Режим работы источника: постоянный										
Продолжительность работы в дневной период (7.00-23.00): 16 час										
Продолжительность работы в ночной период (23.00-7.00): 8 час										
Тип источника шума: внешние источники шума										
Название: Трансформатор МУ/МУ (ОВВТ02)										
Пространственный угол излучения, рад.	$\Omega = 6.28$									
Уровень звука La на опорном расстоянии d, дБА	d = 0.3 м									60
Габариты источника шума, м										
Уровни звуковой мощности источника LwA, дБА	$LwA = La + 20 \lg(d) + 10 \lg(\Omega)$									
Спектральные поправки K(Δ <sub>ш</sub> ) для разложения общего УЗМ по октавным полосам, дБ	[5]	-999	9,9	9	2,5	-3	-7,3	-11,6	-16,4	57,5
Октавные уровни звуковой мощности источника Lw, дБ	$Lw = LwA + K(\Delta_{ш})$	0	67,4	66,5	60	54,5	50,2	45,9	41,1	36,8
<b>ИШ-24</b> [координаты на плане (x, y, z), м = (2249050.0, 411643.0, 10.0)]										
Режим работы источника: постоянный										
Продолжительность работы в дневной период (7.00-23.00): 16 час										
Продолжительность работы в ночной период (23.00-7.00): 8 час										
Вентустановка: ГК, приточная вентсистема П1, К1Г 750а										
Тип вентсистемы: приточная										



Режим работы источника:		постоянный	
Продолжительность работы в дневной период (7.00-23.00):		16 час	
Продолжительность работы в ночной период (23.00-7.00):		8 час	
Вентустановка:		ГК, приточная вентсистема П7, П8, П9, решетка 1	
Тип вентсистемы:		приточная	
Пространственный угол излучения, рад.		$\Omega = 3.14$	
Исходные данные			
паспортные данные			
Октавные уровни звуковой мощности вентилятора, излучаемой корпусом, Лрвв, дБ		= 0 (вентилятор в венткамере)	
Октавные уровни звуковой мощности вентилятора, Лр, дБ		0	
на входе		69,3	80,7
Октавные уровни звуковой мощности вентилятора, Лрвв, дБ		79,7	76,7
Октавные уровни звуковой мощности вентилятора, Лр, дБ		73,7	73,1
на входе		73,7	66,1
Октавные уровни звуковой мощности вентилятора, Лр, дБ		73,7	66,1
на входе		73,7	66,1
Суммарный (по энергии) уровень звуковой мощности вентсистемы, Лв, дБ		79,7	76,7
Суммарный (по энергии) уровень звуковой мощности вентсистемы, Лв, дБ		73,7	73,1
на входе		73,7	66,1
на входе		73,7	66,1
ИШ-30 [координаты на плане (x,y,z), м = (2249069.4,411791.1,34.5)]			
Режим работы источника:		постоянный	
Продолжительность работы в дневной период (7.00-23.00):		16 час	
Продолжительность работы в ночной период (23.00-7.00):		8 час	
Вентустановка:		ГК, приточная вентсистема П7, П8, П9, решетка 2	
Тип вентсистемы:		приточная	
Пространственный угол излучения, рад.		$\Omega = 3.14$	
Исходные данные			
паспортные данные			
Октавные уровни звуковой мощности вентилятора, излучаемой корпусом, Лрвв, дБ		= 0 (вентилятор в венткамере)	
Октавные уровни звуковой мощности вентилятора, Лр, дБ		0	
на входе		69,3	80,7
Октавные уровни звуковой мощности вентилятора, Лрвв, дБ		79,7	76,7
Октавные уровни звуковой мощности вентилятора, Лр, дБ		73,7	73,1
на входе		73,7	66,1
Октавные уровни звуковой мощности вентилятора, Лр, дБ		73,7	66,1
на входе		73,7	66,1
Суммарный (по энергии) уровень звуковой мощности вентсистемы, Лв, дБ		79,7	76,7
Суммарный (по энергии) уровень звуковой мощности вентсистемы, Лв, дБ		73,7	73,1
на входе		73,7	66,1
на входе		73,7	66,1
ИШ-31 [координаты на плане (x,y,z), м = (2249108.8,411728.9,20.0)]			
Режим работы источника:		постоянный	
Продолжительность работы в дневной период (7.00-23.00):		16 час	
Продолжительность работы в ночной период (23.00-7.00):		8 час	
Вентустановка:		ГК, приточные вентсистемы П10, П33, П36	
Тип вентсистемы:		приточная	
Пространственный угол излучения, рад.		$\Omega = 3.14$	
Исходные данные			
паспортные данные			
Октавные уровни звуковой мощности вентилятора, излучаемой корпусом, Лрвв, дБ		= 0 (вентилятор в венткамере)	
Октавные уровни звуковой мощности вентилятора, Лр, дБ		0	
на входе		74,4	77,7
Октавные уровни звуковой мощности вентилятора, Лрвв, дБ		74,6	73,5
Октавные уровни звуковой мощности вентилятора, Лр, дБ		69,2	64,9
на входе		69,2	57,7
Октавные уровни звуковой мощности вентилятора, Лр, дБ		69,2	57,7
на входе		69,2	57,7
Суммарный (по энергии) уровень звуковой мощности вентсистемы, Лв, дБ		74,4	77,7
Суммарный (по энергии) уровень звуковой мощности вентсистемы, Лв, дБ		74,6	73,5
на входе		74,6	56,6
на входе		74,6	56,6
ИШ-32 [координаты на плане (x,y,z), м = (2249118.6,411785.6,14.1)]			
Режим работы источника:		постоянный	
Продолжительность работы в дневной период (7.00-23.00):		16 час	
Продолжительность работы в ночной период (23.00-7.00):		8 час	
Вентустановка:		ГК, приточная вентсистема П11	
Тип вентсистемы:		вентиляционная система	
Пространственный угол излучения, рад.		$\Omega = 3.14$	
Исходные данные			
паспортные данные			
Октавные уровни звуковой мощности вентилятора, излучаемой корпусом, Лрвв, дБ		= 0 (вентилятор в венткамере)	
Октавные уровни звуковой мощности вентилятора, Лр, дБ		0	
на входе		67,8	76,2
Октавные уровни звуковой мощности вентилятора, Лрвв, дБ		72,2	72,2
Октавные уровни звуковой мощности вентилятора, Лр, дБ		68,2	63,6
на входе		68,2	56,6
Октавные уровни звуковой мощности вентилятора, Лр, дБ		68,2	56,6
на входе		68,2	56,6
Суммарный (по энергии) уровень звуковой мощности вентсистемы, Лв, дБ		72,2	72,2
Суммарный (по энергии) уровень звуковой мощности вентсистемы, Лв, дБ		72,2	63,6
на входе		72,2	54,6
на входе		72,2	54,6
ИШ-33 [координаты на плане (x,y,z), м = (2249118.0,411784.1,9.3)]			
Режим работы источника:		постоянный	
Продолжительность работы в дневной период (7.00-23.00):		16 час	
Продолжительность работы в ночной период (23.00-7.00):		8 час	
Вентустановка:		ГК, приточные вентсистемы П29 и П30	
Тип вентсистемы:		приточная	

Пространственный угол излучения, рад.		$\Omega = 3.14$	исходные данные						
Октавные уровни звуковой мощности вентилятора, излучаемой корпусом, Лрвв, дБ		на входе	паспортные данные						
Октавные уровни звуковой мощности вентилятора, Лр, дБ			исходные данные	0	53,1	47,6	53,7	57,8	53
Суммарный (по энергии) уровень звуковой мощности вентилятора, Лв, дБ			Эн.сумм(Лрпр, Лрвв)	0	53,1	47,6	53,7	57,8	53
<b>ИШ-34</b> [координаты на плане (x,y,z), м = (2249107.9;411723.5;13.5)]									
Режим работы источника:									постоянный
Продолжительность работы в дневной период (7.00-23.00):									16 час
Продолжительность работы в ночной период (23.00-7.00):									8 час
Вентустановка:									ГК, приточные вентсистемы ПЗ1 и ПЗ2
Тип вентсистемы:									приточная
Пространственный угол излучения, рад.		$\Omega = 3.14$	исходные данные						
Октавные уровни звуковой мощности вентилятора, излучаемой корпусом, Лрвв, дБ		на входе	паспортные данные						
Октавные уровни звуковой мощности вентилятора, Лр, дБ			исходные данные	0	61,6	56,7	69,8	67,3	61,5
Суммарный (по энергии) уровень звуковой мощности вентилятора, Лв, дБ			Эн.сумм(Лрпр, Лрвв)	0	61,6	56,7	69,8	67,3	61,5
<b>ИШ-35</b> [координаты на плане (x,y,z), м = (2249050.2;411646.6;10.3)]									
Режим работы источника:									постоянный
Продолжительность работы в дневной период (7.00-23.00):									16 час
Продолжительность работы в ночной период (23.00-7.00):									8 час
Вентустановка:									ГК, приточная вентсистема ПЗ5
Тип вентсистемы:									приточная
Пространственный угол излучения, рад.		$\Omega = 3.14$	исходные данные						
Октавные уровни звуковой мощности вентилятора, излучаемой корпусом, Лрвв, дБ		на входе	паспортные данные						
Октавные уровни звуковой мощности вентилятора, Лр, дБ			исходные данные	0	69	64	70	77	68
Снижение УЗМ при отражении от открытого конца воздуховода, $\Delta L_k$ , дБ		диаметр, мм	787,4 табл. 5 [4]	0	5	2	0	0	0
Суммарное снижение звуковой мощности, $\Delta L_{рсети}$ , дБ			ф-ла (32) [4]	0	5	2	0	0	0
Октавные уровни звуковой мощности шума, прошедшего через воздуховод, Лрпр, дБ			Лрпр = Лр - $\Delta L_{рсети}$	0	64	62	70	77	68
Суммарный (по энергии) уровень звуковой мощности вентилятора, Лв, дБ			Эн.сумм(Лрпр, Лрвв)	0	64	62	70	77	68
<b>ИШ-36</b> [координаты на плане (x,y,z), м = (2248983.0;411707.6;45.0)]									
Режим работы источника:									постоянный
Продолжительность работы в дневной период (7.00-23.00):									16 час
Продолжительность работы в ночной период (23.00-7.00):									8 час
Вентустановка:									ГК, помещение бункера, вытяжная вентиляция В1, ВКР 5-0-С-1,5/1500
Тип вентсистемы:									вытяжная
Пространственный угол излучения, рад.		$\Omega = 6.28$	исходные данные						
Октавные уровни звуковой мощности вентилятора, излучаемой корпусом, Лрвв, дБ		на входе	исходные данные	0	84	76	76	84	79
Октавные уровни звуковой мощности вентилятора, Лр, дБ			исходные данные	0	0	0	0	0	0
Суммарный (по энергии) уровень звуковой мощности вентилятора, Лв, дБ			Эн.сумм(Лрпр, Лрвв)	0	84	76	76	84	79
<b>ИШ-37</b> [координаты на плане (x,y,z), м = (2248995.5;411705.9;45.0)]									
Режим работы источника:									постоянный
Продолжительность работы в дневной период (7.00-23.00):									16 час
Продолжительность работы в ночной период (23.00-7.00):									8 час
Вентустановка:									ГК, помещение бункера, вытяжная вентиляция В2, ВКР 5-0-С-1,5/1500
Тип вентсистемы:									вытяжная
Пространственный угол излучения, рад.		$\Omega = 6.28$	исходные данные						
Октавные уровни звуковой мощности вентилятора, излучаемой корпусом, Лрвв, дБ		на входе	исходные данные	0	84	76	76	84	79
Октавные уровни звуковой мощности вентилятора, Лр, дБ			исходные данные	0	0	0	0	0	0
Суммарный (по энергии) уровень звуковой мощности вентилятора, Лв, дБ			Эн.сумм(Лрпр, Лрвв)	0	84	76	76	84	79

Октавные уровни звуковой мощности вентилятора, Лр, ДБ	на выходе	исходные данные	0	0	0	0	0	0	0	0	0	0	0
Суммарный (по энергии) уровень звуковой мощности вентсистемы, Лw, ДБ		Эн-сумм(Лрпр, Лрвв)	0	84	76	76	84	79	74	70	70	64	64
<b>ИШ-38</b> [координаты на плане (x,y,z), м = (2249009.0,411704.7,45.0)]													
Режим работы источника: постоянный													
Продолжительность работы в дневной период (7.00-23.00): 16 час													
Продолжительность работы в ночной период (23.00-7.00): 8 час													
Вентустановка: ГК, помещение бункера, вытяжная вентиляция В3, ВКР 5-0-С-1,5/1500													
Тип вентсистемы: вытяжная													
Пространственный угол излучения, рад: $\Omega = 6.28$													
Октавные уровни звуковой мощности вентилятора, излучаемой корпусом, Лрвв, ДБ		исходные данные	0	84	76	76	84	79	74	70	70	64	64
Октавные уровни звуковой мощности вентилятора, Лр, ДБ	на выходе	исходные данные	0	0	0	0	0	0	0	0	0	0	0
Суммарный (по энергии) уровень звуковой мощности вентсистемы, Лw, ДБ		Эн-сумм(Лрпр, Лрвв)	0	84	76	76	84	79	74	70	70	64	64
<b>ИШ-39</b> [координаты на плане (x,y,z), м = (2249023.6,411701.6,45.0)]													
Режим работы источника: постоянный													
Продолжительность работы в дневной период (7.00-23.00): 16 час													
Продолжительность работы в ночной период (23.00-7.00): 8 час													
Вентустановка: ГК, помещение бункера, вытяжная вентиляция В4, ВКР 5-0-С-1,5/1500													
Тип вентсистемы: вытяжная													
Пространственный угол излучения, рад: $\Omega = 6.28$													
Октавные уровни звуковой мощности вентилятора, излучаемой корпусом, Лрвв, ДБ		исходные данные	0	84	76	76	84	79	74	70	70	64	64
Октавные уровни звуковой мощности вентилятора, Лр, ДБ	на выходе	исходные данные	0	0	0	0	0	0	0	0	0	0	0
Суммарный (по энергии) уровень звуковой мощности вентсистемы, Лw, ДБ		Эн-сумм(Лрпр, Лрвв)	0	84	76	76	84	79	74	70	70	64	64
<b>ИШ-40</b> [координаты на плане (x,y,z), м = (2249036.2,411698.8,45.0)]													
Режим работы источника: постоянный													
Продолжительность работы в дневной период (7.00-23.00): 16 час													
Продолжительность работы в ночной период (23.00-7.00): 8 час													
Вентустановка: Вытяжная													
Пространственный угол излучения, рад: $\Omega = 6.28$													
Октавные уровни звуковой мощности вентилятора, излучаемой корпусом, Лрвв, ДБ		исходные данные	0	84	76	76	84	79	74	70	70	64	64
Октавные уровни звуковой мощности вентилятора, Лр, ДБ	на выходе	исходные данные	0	0	0	0	0	0	0	0	0	0	0
Суммарный (по энергии) уровень звуковой мощности вентсистемы, Лw, ДБ		Эн-сумм(Лрпр, Лрвв)	0	84	76	76	84	79	74	70	70	64	64
<b>ИШ-41</b> [координаты на плане (x,y,z), м = (2248982.3,411735.1,52.0)]													
Режим работы источника: постоянный													
Продолжительность работы в дневной период (7.00-23.00): 16 час													
Продолжительность работы в ночной период (23.00-7.00): 8 час													
Вентустановка: Вытяжная													
Пространственный угол излучения, рад: $\Omega = 6.28$													
Октавные уровни звуковой мощности вентилятора, излучаемой корпусом, Лрвв, ДБ		исходные данные	0	57	60	69	65	59	55	48	41	41	41
Октавные уровни звуковой мощности вентилятора, ЛрА, ДБА	на выходе	паспортные данные	0	83,2	76,1	77,6	68,2	59	53,8	47	42,1	42,1	42,1
Октавные уровни звуковой мощности вентилятора без коррекции А <sub>v</sub> , ДБ	на выходе	ЛрА - Акорр.	0	1	1	1,5	1,5	3	3	3	3	3	3
Снижение уровня звуковой мощности в воздуховоде, ΔL <sub>вв</sub> , ДБ	сечение, мм	100											
	длина, м	10											
Снижение УЗМ при отражении от открытого конца воздуховода, ΔL <sub>к</sub> , ДБ	диаметр, мм	100											
Суммарное снижение звуковой мощности, ΔL <sub>рсети</sub> , ДБ	φ-ла (32) [4]		0	20	15	11,5	6,5	5	3	3	3	3	3
ГК, с/у (пом. 3/109, вытяжная вентиляция В6, Канал-ВЕНТ-100)													
Тип вентсистемы: вытяжная													
Пространственный угол излучения, рад: $\Omega = 6.28$													
Октавные уровни звуковой мощности вентилятора, излучаемой корпусом, Лрвв, ДБ		исходные данные											
Октавные уровни звуковой мощности вентилятора, ЛрА, ДБА	на выходе	паспортные данные											
Октавные уровни звуковой мощности вентилятора без коррекции А <sub>v</sub> , ДБ	на выходе	ЛрА - Акорр.											
Снижение уровня звуковой мощности в воздуховоде, ΔL <sub>вв</sub> , ДБ	сечение, мм	100											
	длина, м	10											
Снижение УЗМ при отражении от открытого конца воздуховода, ΔL <sub>к</sub> , ДБ	диаметр, мм	100											
Суммарное снижение звуковой мощности, ΔL <sub>рсети</sub> , ДБ	φ-ла (32) [4]		0	20	15	11,5	6,5	5	3	3	3	3	3

Октивные уровни звуковой мощности шума, прошедшего через воздухоход, $L_{пр, ДБ}$	0	63,2	61,1	66,1	61,7	54	50,8	44	39,1
Суммарный (по энергии) уровень звуковой мощности вентсистемы, $L_{в, ДБ}$	0	63,2	61,1	66,1	61,7	54	50,8	44	39,1
<b>ИШ-42</b> [координаты на плане (x,y,z), м = (2248995.8,411806.4,34.0)]	постоянный								
Режим работы источника:	постоянный								
Продолжительность работы в дневной период (7.00-23.00):	16 час								
Продолжительность работы в ночной период (23.00-7.00):	8 час								
Тип источника шума:	вентиляционная система								
Вентустановка:	ГК, с/у (пом. 4/103, вытяжная вентиляция В7, Канал-ВЕНТ-100)								
Тип вентсистемы:	вытяжная								
Пространственный угол излучения, рад									
Октивные уровни звуковой мощности вентилятора, излучаемой корпусом, $L_{рв, ДБ}$	$\Omega = 6.28$								
Октивные уровни звуковой мощности вентилятора без коррекции А, $L_{р, ДБ}$	на выходе								
Октивные уровни звуковой мощности вентилятора без коррекции А, $L_{р, ДБ}$	0	57	60	69	65	59	55	48	41
Октивные уровни звуковой мощности вентилятора без коррекции А, $L_{р, ДБ}$	0	83,2	76,1	77,6	68,2	59	53,8	47	42,1
Снижение уровня звуковой мощности в воздухоходе, $\Delta L_{вв, дБ}$	0	1	1	1,5	1,5	3	3	3	3
Снижение УЗМ при отражении от открытого конца воздухохода, $\Delta L_{к, ДБ}$	0	19	14	10	5	2	0	0	0
Суммарное снижение звуковой мощности, $\Delta L_{рсети, ДБ}$	0	20	15	11,5	6,5	5	3	3	3
Октивные уровни звуковой мощности шума, прошедшего через воздухоход, $L_{рпр, ДБ}$	0	63,2	61,1	66,1	61,7	54	50,8	44	39,1
Суммарный (по энергии) уровень звуковой мощности вентсистемы, $L_{в, ДБ}$	0	63,2	61,1	66,1	61,7	54	50,8	44	39,1
<b>ИШ-43</b> [координаты на плане (x,y,z), м = (2249111.4,411788.0,34.5)]	постоянный								
Режим работы источника:	постоянный								
Продолжительность работы в дневной период (7.00-23.00):	16 час								
Продолжительность работы в ночной период (23.00-7.00):	8 час								
Вентустановка:	ГК, с/у (пом. 5/122, вытяжная вентиляция В8, Канал-ВЕНТ-125)								
Тип вентсистемы:	вытяжная								
Пространственный угол излучения, рад									
Октивные уровни звуковой мощности вентилятора, излучаемой корпусом, $L_{рв, ДБ}$	$\Omega = 6.28$								
Октивные уровни звуковой мощности вентилятора без коррекции А, $L_{р, ДБ}$	на выходе								
Октивные уровни звуковой мощности вентилятора без коррекции А, $L_{р, ДБ}$	0	60	60	67	64	58	57	51	51
Октивные уровни звуковой мощности вентилятора без коррекции А, $L_{р, ДБ}$	0	86,2	76,1	75,6	67,2	58	55,8	50	52,1
Снижение уровня звуковой мощности в воздухоходе, $\Delta L_{вв, дБ}$	0	1	1	1,5	1,5	3	3	3	3
Снижение УЗМ при отражении от открытого конца воздухохода, $\Delta L_{к, ДБ}$	0	18	13	8	4	1	0	0	0
Суммарное снижение звуковой мощности, $\Delta L_{рсети, ДБ}$	0	19	14	9,5	5,5	4	3	3	3
Октивные уровни звуковой мощности шума, прошедшего через воздухоход, $L_{рпр, ДБ}$	0	67,2	62,1	66,1	61,7	54	52,8	47	49,1
Суммарный (по энергии) уровень звуковой мощности вентсистемы, $L_{в, ДБ}$	0	67,2	62,1	66,1	61,7	54	52,8	47	49,1
<b>ИШ-44</b> [координаты на плане (x,y,z), м = (2249111.2,411786.0,34.5)]	постоянный								
Режим работы источника:	постоянный								
Продолжительность работы в дневной период (7.00-23.00):	16 час								
Продолжительность работы в ночной период (23.00-7.00):	8 час								
Вентустановка:	ГК, с/у, вытяжная вентиляция В9, Канал-ВЕНТ-125								
Тип вентсистемы:	вытяжная								
Пространственный угол излучения, рад									
Октивные уровни звуковой мощности вентилятора, излучаемой корпусом, $L_{рв, ДБ}$	$\Omega = 6.28$								
Октивные уровни звуковой мощности вентилятора без коррекции А, $L_{р, ДБ}$	на выходе								
Октивные уровни звуковой мощности вентилятора без коррекции А, $L_{р, ДБ}$	0	60	60	67	64	58	57	51	51
Октивные уровни звуковой мощности вентилятора без коррекции А, $L_{р, ДБ}$	0	86,2	76,1	75,6	67,2	58	55,8	50	52,1



Снижение уровня звуковой мощности в воздуховоде, ΔLвв, дБ	сечение, мм	125	табл. 21 [4]	0	1	1,5	1,5	3	3	3	3	3
	длина, м	10										
Снижение УЗМ при отражении от открытого конца воздуховода, ΔLк, дБ	диаметр, мм	125	табл. 5 [4]	0	18	8	4	1	0	0	0	0
		φ-ля (32) [4]		0	19	9,5	5,5	4	3	3	3	3
Суммарное снижение звуковой мощности, ΔLрсети, дБ	Црпр = Lр - ΔLрсети			0	67,2	62,1	66,1	61,7	54	52,8	47	49,1
	Эн.сумм(Црпр, Lвв)			0	67,2	62,1	66,1	61,7	54	52,8	47	49,1
<b>ИШ-45</b> [координаты на плане (x,y,z), м = (2249110.7,411784.0,34.5)]												
Режим работы источника: постоянный												
Продолжительность работы в дневной период (7.00-23.00): 16 час												
Продолжительность работы в ночной период (23.00-7.00): 8 час												
Вентустановка: ГК, с/у, вытяжная вентиляция В10, Канал-ВЕНТ-125												
Тип вентсистемы: вытяжная												
Пространственный угол излучения, рад. Ω = 6.28												
Исходные данные												
паспортные данные												
= 0 (вентилятор в венткамере)												
Октавные уровни звуковой мощности вентилятора, излучаемой корпусом, Lрвв, дБ	на выходе	0	60	60	67	64	58	57	51	51	51	51
Октавные уровни звуковой мощности вентилятора, LрА, дБА	на выходе	0	86,2	76,1	75,6	67,2	58	55,8	50	52,1	52,1	52,1
Октавные уровни звуковой мощности вентилятора без коррекции А, Lр, дБ	на выходе											
Снижение уровня звуковой мощности в воздуховоде, ΔLвв, дБ	сечение, мм	125	табл. 21 [4]	0	1	1,5	1,5	3	3	3	3	3
	длина, м	10		0	18	8	4	1	0	0	0	0
Снижение УЗМ при отражении от открытого конца воздуховода, ΔLк, дБ	диаметр, мм	125	табл. 5 [4]	0	19	9,5	5,5	4	3	3	3	3
		φ-ля (32) [4]		0	67,2	62,1	66,1	61,7	54	52,8	47	49,1
Суммарное снижение звуковой мощности, ΔLрсети, дБ	Црпр = Lр - ΔLрсети			0	67,2	62,1	66,1	61,7	54	52,8	47	49,1
	Эн.сумм(Црпр, Lрвв)			0	67,2	62,1	66,1	61,7	54	52,8	47	49,1
<b>ИШ-46</b> [координаты на плане (x,y,z), м = (2249109.1,411733.9,7.3)]												
Режим работы источника: постоянный												
Продолжительность работы в дневной период (7.00-23.00): 16 час												
Продолжительность работы в ночной период (23.00-7.00): 8 час												
Вентустановка: ГК, РУСН 0,4 кв (пом. 5/202), вытяжная вентиляция В11, ОСА 300-050/А-50-00025/04												
Тип вентсистемы: вытяжная												
Пространственный угол излучения, рад. Ω = 3.14												
Исходные данные												
паспортные данные												
= 0 (вентилятор в венткамере)												
Октавные уровни звуковой мощности вентилятора, излучаемой корпусом, Lрвв, дБ	на выходе	0	77,2	77,3	75,2	71	67,3	61,9	56,2	50,2	50,2	50,2
Октавные уровни звуковой мощности вентилятора, Lр, дБ	на выходе	0	8	4	1	0	0	0	0	0	0	0
Снижение УЗМ при отражении от открытого конца воздуховода, ΔLк, дБ	диаметр, мм	500	табл. 5 [4]	0	8	4	1	0	0	0	0	0
Суммарное снижение звуковой мощности, ΔLрсети, дБ	φ-ля (32) [4]			0	8	4	1	0	0	0	0	0
	Црпр = Lр - ΔLрсети			0	69,2	73,3	74,2	71	67,3	61,9	56,2	50,2
Суммарный (по энергии) уровень звуковой мощности вентсистемы, Lв, дБ	Эн.сумм(Црпр, Lрвв)			0	69,2	73,3	74,2	71	67,3	61,9	56,2	50,2
<b>ИШ-47</b> [координаты на плане (x,y,z), м = (2249117.5,411778.6,7.3)]												
Режим работы источника: постоянный												
Продолжительность работы в дневной период (7.00-23.00): 16 час												
Продолжительность работы в ночной период (23.00-7.00): 8 час												
Вентустановка: ГК, РУСН 0,4 кв (пом. 5/208), вытяжная вентиляция В12, ОСА 300-050/А-50-00025/04												
Тип вентсистемы: вытяжная												
Пространственный угол излучения, рад. Ω = 3.14												
Исходные данные												
паспортные данные												
= 0 (вентилятор в венткамере)												
Октавные уровни звуковой мощности вентилятора, излучаемой корпусом, Lрвв, дБ	на выходе	0	77,2	77,3	75,2	71	67,3	61,9	56,2	50,2	50,2	50,2
Октавные уровни звуковой мощности вентилятора, Lр, дБ	на выходе	0	77,2	77,3	75,2	71	67,3	61,9	56,2	50,2	50,2	50,2
Снижение УЗМ при отражении от открытого конца воздуховода, ΔLк, дБ	диаметр, мм	650	табл. 5 [4]	0	6	2	0	0	0	0	0	0

Суммарное снижение звуковой мощности, $\Delta L_{рсети}$ , дБ	Ф-ла (32) [4]	0	6	2	0	0	0	0	0	0	0	0	0
Октавные уровни звуковой мощности шума, прошедшего через воздуховод, $L_{рпр}$ , дБ	$L_{рпр} = L_{р} - \Delta L_{рсети}$	0	71,2	75,3	75,2	71	67,3	61,9	56,2	50,2	50,2	50,2	50,2
Суммарный (по энергии) уровень звуковой мощности вентсистемы, $L_w$ , дБ	$L_{рпр} = L_{р} - \Delta L_{рсети}$ $L_{рпр} = L_{р} - \Delta L_{рсети}$	0	71,2	75,3	75,2	71	67,3	61,9	56,2	50,2	50,2	50,2	50,2
<b>ИШ-48</b> [координаты на плане (x,y,z), м = (2249109.9,411779.2,35.0)]													
Режим работы источника:		постоянный											
Продолжительность работы в дневной период (7.00-23.00):		16 час											
Продолжительность работы в ночной период (23.00-7.00):		8 час											
Вентустановка:		ГК, Помещение АБ (пом. 5/306), В13, кислотная (пом. 5/307), ВРПН-Н-4 5ВК-4-3											
Тип вентсистемы:		вытяжная											
Пространственный угол излучения, рад.	$\Omega = 6,28$												
Октавные уровни звуковой мощности вентилятора, излучаемой корпусом, $L_{рв}$ , дБ	на выходе	= 0 (вентилятор в венткамере)											
Октавные уровни звуковой мощности вентилятора, $L_{р}$ , дБ	диаметр, мм	0	83,2	63,3	81,2	77	73,3	67,9	62,2	56,2	56,2	56,2	56,2
Снижение УЗМ при отражении от открытого конца воздуховода, $\Delta L_k$ , дБ	500 табл. 5 [4]	0	8	4	1	0	0	0	0	0	0	0	0
Октавные уровни звуковой мощности шума, прошедшего через воздуховод, $L_{рпр}$ , дБ	$L_{рпр} = L_{р} - \Delta L_{рсети}$	0	75,2	59,3	80,2	77	73,3	67,9	62,2	56,2	56,2	56,2	56,2
Суммарный (по энергии) уровень звуковой мощности вентсистемы, $L_w$ , дБ	$L_{рпр} = L_{р} - \Delta L_{рсети}$ $L_{рпр} = L_{р} - \Delta L_{рсети}$	0	75,2	59,3	80,2	77	73,3	67,9	62,2	56,2	56,2	56,2	56,2
<b>ИШ-49</b> [координаты на плане (x,y,z), м = (2248987.6,411737.2,51.4)]													
Режим работы источника:		постоянный											
Продолжительность работы в дневной период (7.00-23.00):		16 час											
Продолжительность работы в ночной период (23.00-7.00):		8 час											
Вентустановка:		ГК, котельное отделение, вытяжная вентиляция В14, ВКР 10-0-С											
Тип вентсистемы:		вытяжная											
Пространственный угол излучения, рад.	$\Omega = 6,28$												
Октавные уровни звуковой мощности вентилятора, $L_{р}$ , дБ	на выходе	0	92	83	83	91	86	81	77	72	72	72	72
Суммарный (по энергии) уровень звуковой мощности вентсистемы, $L_w$ , дБ	$L_{рпр} = L_{р} - \Delta L_{рсети}$ $L_{рпр} = L_{р} - \Delta L_{рсети}$	0	92	83	83	91	86	81	77	72	72	72	72
<b>ИШ-50</b> [координаты на плане (x,y,z), м = (2248990.2,411750.8,51.5)]													
Режим работы источника:		постоянный											
Продолжительность работы в дневной период (7.00-23.00):		16 час											
Продолжительность работы в ночной период (23.00-7.00):		8 час											
Вентустановка:		ГК, котельное отделение, вытяжная вентиляция В15, ВКР 10-0-С											
Тип вентсистемы:		вытяжная											
Пространственный угол излучения, рад.	$\Omega = 6,28$												
Октавные уровни звуковой мощности вентилятора, $L_{р}$ , дБ	на выходе	0	92	83	83	91	86	81	77	72	72	72	72
Суммарный (по энергии) уровень звуковой мощности вентсистемы, $L_w$ , дБ	$L_{рпр} = L_{р} - \Delta L_{рсети}$ $L_{рпр} = L_{р} - \Delta L_{рсети}$	0	92	83	83	91	86	81	77	72	72	72	72
<b>ИШ-51</b> [координаты на плане (x,y,z), м = (2248991.7,411763.4,51.5)]													
Режим работы источника:		постоянный											
Продолжительность работы в дневной период (7.00-23.00):		16 час											
Продолжительность работы в ночной период (23.00-7.00):		8 час											
Вентустановка:		ГК, котельное отделение, вытяжная вентиляция В16, ВКР 10-0-С											
Тип вентсистемы:		вытяжная											
Пространственный угол излучения, рад.	$\Omega = 6,28$												
Октавные уровни звуковой мощности вентилятора, $L_{р}$ , дБ	на выходе	0	92	83	83	91	86	81	77	72	72	72	72
Суммарный (по энергии) уровень звуковой мощности вентсистемы, $L_w$ , дБ	$L_{рпр} = L_{р} - \Delta L_{рсети}$ $L_{рпр} = L_{р} - \Delta L_{рсети}$	0	92	83	83	91	86	81	77	72	72	72	72
<b>ИШ-52</b> [координаты на плане (x,y,z), м = (2248997.6,411761.8,51.5)]													
Режим работы источника:		постоянный											

Продолжительность работы в дневной период (7.00-23.00):		16 час									
Продолжительность работы в ночной период (23.00-7.00):		8 час									
Вентустановка:		ГК, котельное отделение, вытяжная вентиляция В17, ВКР 10-0-С									
Тип вентсистемы:		вытяжная									
Пространственный угол излучения, рад.	$\Omega = 6.28$	исходные данные									
Октавные уровни звуковой мощности вентилятора, Лр, ДБ	на выходе	0	92	83	83	91	86	81	77	72	72
Суммарный (по энергии) уровень звуковой мощности вентсистемы, Lw, ДБ		0	92	83	83	91	86	81	77	72	72
<b>ИШ-53</b> [координаты на плане (x,y,z), м = (2248999.3,411734.6,51.5)]											
Режим работы источника:		постоянный									
Продолжительность работы в дневной период (7.00-23.00):		16 час									
Продолжительность работы в ночной период (23.00-7.00):		8 час									
Вентустановка:		ГК, котельное отделение, вытяжная вентиляция В18, ВКР 10-0-С									
Тип вентсистемы:		вытяжная									
Пространственный угол излучения, рад.	$\Omega = 6.28$	исходные данные									
Октавные уровни звуковой мощности вентилятора, Лр, ДБ	на выходе	0	92	83	83	91	86	81	77	72	72
Суммарный (по энергии) уровень звуковой мощности вентсистемы, Lw, ДБ		0	92	83	83	91	86	81	77	72	72
<b>ИШ-54</b> [координаты на плане (x,y,z), м = (2249001.1,411743.1,51.5)]											
Режим работы источника:		постоянный									
Продолжительность работы в дневной период (7.00-23.00):		16 час									
Продолжительность работы в ночной период (23.00-7.00):		8 час									
Вентустановка:		ГК, котельное отделение, вытяжная вентиляция В19, ВКР 10-0-С									
Тип вентсистемы:		вытяжная									
Пространственный угол излучения, рад.	$\Omega = 6.28$	исходные данные									
Октавные уровни звуковой мощности вентилятора, Лр, ДБ	на выходе	0	92	83	83	91	86	81	77	72	72
Суммарный (по энергии) уровень звуковой мощности вентсистемы, Lw, ДБ		0	92	83	83	91	86	81	77	72	72
<b>ИШ-55</b> [координаты на плане (x,y,z), м = (2249002.4,411751.2,51.5)]											
Режим работы источника:		постоянный									
Продолжительность работы в дневной период (7.00-23.00):		16 час									
Продолжительность работы в ночной период (23.00-7.00):		8 час									
Вентустановка:		ГК, котельное отделение, вытяжная вентиляция В20, ВКР 10-0-С									
Тип вентсистемы:		вытяжная									
Пространственный угол излучения, рад.	$\Omega = 6.28$	исходные данные									
Октавные уровни звуковой мощности вентилятора, Лр, ДБ	на выходе	0	92	83	83	91	86	81	77	72	72
Суммарный (по энергии) уровень звуковой мощности вентсистемы, Lw, ДБ		0	92	83	83	91	86	81	77	72	72
<b>ИШ-56</b> [координаты на плане (x,y,z), м = (2249005.0,411761.3,51.5)]											
Режим работы источника:		постоянный									
Продолжительность работы в дневной период (7.00-23.00):		16 час									
Продолжительность работы в ночной период (23.00-7.00):		8 час									
Вентустановка:		ГК, котельное отделение, вытяжная вентиляция В21, ВКР 10-0-С									
Тип вентсистемы:		вытяжная									
Пространственный угол излучения, рад.	$\Omega = 6.28$	исходные данные									
Октавные уровни звуковой мощности вентилятора, Лр, ДБ	на выходе	0	92	83	83	91	86	81	77	72	72
Суммарный (по энергии) уровень звуковой мощности вентсистемы, Lw, ДБ		0	92	83	83	91	86	81	77	72	72
<b>ИШ-57</b> [координаты на плане (x,y,z), м = (2249016.9,411732.0,51.5)]											
Режим работы источника:		постоянный									

Продолжительность работы в дневной период (7.00-23.00):		16 час									
Продолжительность работы в ночной период (23.00-7.00):		8 час									
Вентустановка:		ГК, котельное отделение, вытяжная вентиляция В22, ВКР 10-0-С									
Тип вентсистемы:		вытяжная									
Пространственный угол излучения, рад.	$\Omega = 6.28$										
Октавные уровни звуковой мощности вентилятора, Лр, ДБ	на выходе	0	92	83	83	91	86	81	77	72	72
Суммарный (по энергии) уровень звуковой мощности вентсистемы, Лw, ДБ	Эн.сумм(Лрпр, Лрвв)	0	92	83	83	91	86	81	77	72	72
<b>ИШ-58</b> [координаты на плане (x,y,z), м = (2249018.6,411740.0,51.5)]											
Режим работы источника:		постоянный									
Продолжительность работы в дневной период (7.00-23.00):		16 час									
Продолжительность работы в ночной период (23.00-7.00):		8 час									
Вентустановка:		ГК, котельное отделение, вытяжная вентиляция В23, ВКР 10-0-С									
Тип вентсистемы:		вытяжная									
Пространственный угол излучения, рад.	$\Omega = 6.28$										
Октавные уровни звуковой мощности вентилятора, Лр, ДБ	на выходе	0	92	83	83	91	86	81	77	72	72
Суммарный (по энергии) уровень звуковой мощности вентсистемы, Лw, ДБ	Эн.сумм(Лрпр, Лрвв)	0	92	83	83	91	86	81	77	72	72
<b>ИШ-59</b> [координаты на плане (x,y,z), м = (2249020.5,411749.1,51.5)]											
Режим работы источника:		постоянный									
Продолжительность работы в дневной период (7.00-23.00):		16 час									
Продолжительность работы в ночной период (23.00-7.00):		8 час									
Вентустановка:		ГК, котельное отделение, вытяжная вентиляция В24, ВКР 10-0-С									
Тип вентсистемы:		вытяжная									
Пространственный угол излучения, рад.	$\Omega = 6.28$										
Октавные уровни звуковой мощности вентилятора, Лр, ДБ	на выходе	0	92	83	83	91	86	81	77	72	72
Суммарный (по энергии) уровень звуковой мощности вентсистемы, Лw, ДБ	Эн.сумм(Лрпр, Лрвв)	0	92	83	83	91	86	81	77	72	72
<b>ИШ-60</b> [координаты на плане (x,y,z), м = (2249022.6,411758.9,51.5)]											
Режим работы источника:		постоянный									
Продолжительность работы в дневной период (7.00-23.00):		16 час									
Продолжительность работы в ночной период (23.00-7.00):		8 час									
Вентустановка:		ГК, котельное отделение, вытяжная вентиляция В25, ВКР 10-0-С									
Тип вентсистемы:		вытяжная									
Пространственный угол излучения, рад.	$\Omega = 6.28$										
Октавные уровни звуковой мощности вентилятора, Лр, ДБ	на выходе	0	92	83	83	91	86	81	77	72	72
Суммарный (по энергии) уровень звуковой мощности вентсистемы, Лw, ДБ	Эн.сумм(Лрпр, Лрвв)	0	92	83	83	91	86	81	77	72	72
<b>ИШ-61</b> [координаты на плане (x,y,z), м = (2249034.8,411759.3,51.5)]											
Режим работы источника:		постоянный									
Продолжительность работы в дневной период (7.00-23.00):		16 час									
Продолжительность работы в ночной период (23.00-7.00):		8 час									
Вентустановка:		ГК, котельное отделение, вытяжная вентиляция В26, ВКР 10-0-С									
Тип вентсистемы:		вытяжная									
Пространственный угол излучения, рад.	$\Omega = 6.28$										
Октавные уровни звуковой мощности вентилятора, Лр, ДБ	на выходе	0	92	83	83	91	86	81	77	72	72
Суммарный (по энергии) уровень звуковой мощности вентсистемы, Лw, ДБ	Эн.сумм(Лрпр, Лрвв)	0	92	83	83	91	86	81	77	72	72
<b>ИШ-62</b> [координаты на плане (x,y,z), м = (2249039.1,411727.9,51.5)]											
Режим работы источника:		постоянный									

Продолжительность работы в дневной период (7.00-23.00):		16 час									
Продолжительность работы в ночной период (23.00-7.00):		8 час									
Вентустановка:		ГК, котельное отделение, вытяжная вентиляция В27, ВКР 10-0-С									
Тип вентсистемы:		вытяжная									
Пространственный угол излучения, рад.	$\Omega = 6.28$	исходные данные									
Октавные уровни звуковой мощности вентилятора, Лр, ДБ	на выходе	0	92	83	83	91	86	81	77	72	72
Суммарный (по энергии) уровень звуковой мощности вентсистемы, Лw, ДБ		0	92	83	83	91	86	81	77	72	72
ИШ-63 [координаты на плане (x,y,z), м = (2249041.2,411739.5,51.5)]											
Режим работы источника:		постоянный									
Продолжительность работы в дневной период (7.00-23.00):		16 час									
Продолжительность работы в ночной период (23.00-7.00):		8 час									
Вентустановка:		ГК, котельное отделение, вытяжная вентиляция В28, ВКР 10-0-С									
Тип вентсистемы:		вытяжная									
Пространственный угол излучения, рад.	$\Omega = 6.28$	исходные данные									
Октавные уровни звуковой мощности вентилятора, Лр, ДБ	на выходе	0	92	83	83	91	86	81	77	72	72
Суммарный (по энергии) уровень звуковой мощности вентсистемы, Лw, ДБ		0	92	83	83	91	86	81	77	72	72
ИШ-64 [координаты на плане (x,y,z), м = (2249043.8,411756.0,51.5)]											
Режим работы источника:		постоянный									
Продолжительность работы в дневной период (7.00-23.00):		16 час									
Продолжительность работы в ночной период (23.00-7.00):		8 час									
Вентустановка:		ГК, котельное отделение, вытяжная вентиляция В29, ВКР 10-0-С									
Тип вентсистемы:		вытяжная									
Пространственный угол излучения, рад.	$\Omega = 6.28$	исходные данные									
Октавные уровни звуковой мощности вентилятора, Лр, ДБ	на выходе	0	92	83	83	91	86	81	77	72	72
Суммарный (по энергии) уровень звуковой мощности вентсистемы, Лw, ДБ		0	92	83	83	91	86	81	77	72	72
ИШ-65 [координаты на плане (x,y,z), м = (2248995.9,411791.5,33.5)]											
Режим работы источника:		постоянный									
Продолжительность работы в дневной период (7.00-23.00):		16 час									
Продолжительность работы в ночной период (23.00-7.00):		8 час									
Вентустановка:		ГК, отделение газоочистки, вытяжная вентиляция В30, ВКР 10-0-С									
Тип вентсистемы:		вытяжная									
Пространственный угол излучения, рад.	$\Omega = 6.28$	исходные данные									
Октавные уровни звуковой мощности вентилятора, Лр, ДБ	на выходе	0	92	83	83	91	86	81	77	72	72
Суммарный (по энергии) уровень звуковой мощности вентсистемы, Лw, ДБ		0	92	83	83	91	86	81	77	72	72
ИШ-66 [координаты на плане (x,y,z), м = (2249001.4,411779.4,33.5)]											
Режим работы источника:		постоянный									
Продолжительность работы в дневной период (7.00-23.00):		16 час									
Продолжительность работы в ночной период (23.00-7.00):		8 час									
Вентустановка:		ГК, отделение газоочистки, вытяжная вентиляция В31, ВКР 10-0-С									
Тип вентсистемы:		вытяжная									
Пространственный угол излучения, рад.	$\Omega = 6.28$	исходные данные									
Октавные уровни звуковой мощности вентилятора, Лр, ДБ	на выходе	0	92	83	83	91	86	81	77	72	72
Суммарный (по энергии) уровень звуковой мощности вентсистемы, Лw, ДБ		0	92	83	83	91	86	81	77	72	72
ИШ-67 [координаты на плане (x,y,z), м = (2249010.4,411787.5,33.5)]											
Режим работы источника:		постоянный									

Продолжительность работы в дневной период (7.00-23.00):		16 час									
Продолжительность работы в ночной период (23.00-7.00):		8 час									
Вентустановка:		ГК, отделение газоочистки, вытяжная вентиляция В32, ВКР 10-0-С									
Тип вентсистемы:		вытяжная									
Пространственный угол излучения, рад.	$\Omega = 6.28$	исходные данные									
Октавные уровни звуковой мощности вентилятора, Лр, ДБ	на выходе	0	92	83	83	91	86	81	77	72	72
Суммарный (по энергии) уровень звуковой мощности вентсистемы, Лв, ДБ		0	92	83	83	91	86	81	77	72	72
<b>ИШ-68</b> [координаты на плане (x,y,z), м = (2249014.1,411776.1,33.5)]											
Режим работы источника:		постоянный									
Продолжительность работы в дневной период (7.00-23.00):		16 час									
Продолжительность работы в ночной период (23.00-7.00):		8 час									
Вентустановка:		ГК, отделение газоочистки, вытяжная вентиляция В33, ВКР 10-0-С									
Тип вентсистемы:		вытяжная									
Пространственный угол излучения, рад.	$\Omega = 6.28$	исходные данные									
Октавные уровни звуковой мощности вентилятора, Лр, ДБ	на выходе	0	92	83	83	91	86	81	77	72	72
Суммарный (по энергии) уровень звуковой мощности вентсистемы, Лв, ДБ		0	92	83	83	91	86	81	77	72	72
<b>ИШ-69</b> [координаты на плане (x,y,z), м = (2249025.2,411784.4,33.5)]											
Режим работы источника:		постоянный									
Продолжительность работы в дневной период (7.00-23.00):		16 час									
Продолжительность работы в ночной период (23.00-7.00):		8 час									
Вентустановка:		ГК, отделение газоочистки, вытяжная вентиляция В34, ВКР 10-0-С									
Тип вентсистемы:		вытяжная									
Пространственный угол излучения, рад.	$\Omega = 6.28$	исходные данные									
Октавные уровни звуковой мощности вентилятора, Лр, ДБ	на выходе	0	92	83	83	91	86	81	77	72	72
Суммарный (по энергии) уровень звуковой мощности вентсистемы, Лв, ДБ		0	92	83	83	91	86	81	77	72	72
<b>ИШ-70</b> [координаты на плане (x,y,z), м = (2249030.2,411772.5,33.5)]											
Режим работы источника:		постоянный									
Продолжительность работы в дневной период (7.00-23.00):		16 час									
Продолжительность работы в ночной период (23.00-7.00):		8 час									
Вентустановка:		ГК, отделение газоочистки, вытяжная вентиляция В35, ВКР 10-0-С									
Тип вентсистемы:		вытяжная									
Пространственный угол излучения, рад.	$\Omega = 6.28$	исходные данные									
Октавные уровни звуковой мощности вентилятора, Лр, ДБ	на выходе	0	92	83	83	91	86	81	77	72	72
Суммарный (по энергии) уровень звуковой мощности вентсистемы, Лв, ДБ		0	92	83	83	91	86	81	77	72	72
<b>ИШ-71</b> [координаты на плане (x,y,z), м = (2249041.4,411781.5,33.5)]											
Режим работы источника:		постоянный									
Продолжительность работы в дневной период (7.00-23.00):		16 час									
Продолжительность работы в ночной период (23.00-7.00):		8 час									
Вентустановка:		ГК, отделение газоочистки, вытяжная вентиляция В36, ВКР 10-0-С									
Тип вентсистемы:		вытяжная									
Пространственный угол излучения, рад.	$\Omega = 6.28$	исходные данные									
Октавные УЗМ вентилятора, излучаемой корпусом, Лрвв, ДБ	на выходе	0	92	83	83	91	86	81	77	72	72
Суммарный (по энергии) уровень звуковой мощности вентсистемы, Лв, ДБ		0	92	83	83	91	86	81	77	72	72
<b>ИШ-72</b> [координаты на плане (x,y,z), м = (2249072.9,411736.4,33.8)]											
Режим работы источника:		постоянный									
Продолжительность работы в дневной период (7.00-23.00):		16 час									
Продолжительность работы в ночной период (23.00-7.00):		8 час									
Вентустановка:		ГК, отделение газоочистки, вытяжная вентиляция В36, ВКР 10-0-С									
Тип вентсистемы:		вытяжная									
Пространственный угол излучения, рад.	$\Omega = 6.28$	исходные данные									
Октавные уровни звуковой мощности вентилятора, излучаемой корпусом, Лрвв, ДБ		0	92	83	83	91	86	81	77	72	72
Суммарный (по энергии) уровень звуковой мощности вентсистемы, Лв, ДБ		0	92	83	83	91	86	81	77	72	72
<b>ИШ-72</b> [координаты на плане (x,y,z), м = (2249072.9,411736.4,33.8)]											
Режим работы источника:		постоянный									

Продолжительность работы в дневной период (7.00-23.00):		16 час									
Продолжительность работы в ночной период (23.00-7.00):		8 час									
Вентустановка:		ГК, турбинное отделение, вытяжная вентиляция В37, ВКР 9-0-С									
Тип вентсистемы:		вытяжная									
Пространственный угол излучения, рад.	$\Omega = 6.28$	исходные данные									
Октавные уровни звуковой мощности вентилятора, излучаемой корпусом, Лрвв, ДБ		0	99	91	94	99	92	89	85	80	80
Суммарный (по энергии) уровень звуковой мощности вентсистемы, Лв, ДБ		0	99	91	94	99	92	89	85	80	80
<b>ИШ-73</b> [координаты на плане (x,y,z), м = (2249075.5,411749.6,33.8)]											
Режим работы источника:		постоянный									
Продолжительность работы в дневной период (7.00-23.00):		16 час									
Продолжительность работы в ночной период (23.00-7.00):		8 час									
Вентустановка:		ГК, турбинное отделение, вытяжная вентиляция В38, ВКР 9-0-С									
Тип вентсистемы:		вытяжная									
Пространственный угол излучения, рад.	$\Omega = 6.28$	исходные данные									
Октавные уровни звуковой мощности вентилятора, излучаемой корпусом, Лрвв, ДБ		0	99	91	94	99	92	89	85	80	80
Суммарный (по энергии) уровень звуковой мощности вентсистемы, Лв, ДБ		0	99	91	94	99	92	89	85	80	80
<b>ИШ-74</b> [координаты на плане (x,y,z), м = (2249065.0,411758.1,33.8)]											
Режим работы источника:		постоянный									
Продолжительность работы в дневной период (7.00-23.00):		16 час									
Продолжительность работы в ночной период (23.00-7.00):		8 час									
Вентустановка:		ГК, турбинное отделение, вытяжная вентиляция В39, ВКР 9-0-С									
Тип вентсистемы:		вытяжная									
Пространственный угол излучения, рад.	$\Omega = 6.28$	исходные данные									
Октавные уровни звуковой мощности вентилятора, излучаемой корпусом, Лрвв, ДБ		0	99	91	94	99	92	89	85	80	80
Суммарный (по энергии) уровень звуковой мощности вентсистемы, Лв, ДБ		0	99	91	94	99	92	89	85	80	80
<b>ИШ-75</b> [координаты на плане (x,y,z), м = (2249066.7,411772.2,33.8)]											
Режим работы источника:		постоянный									
Продолжительность работы в дневной период (7.00-23.00):		16 час									
Продолжительность работы в ночной период (23.00-7.00):		8 час									
Вентустановка:		ГК, турбинное отделение, вытяжная вентиляция В40, ВКР 9-0-С									
Тип вентсистемы:		вытяжная									
Пространственный угол излучения, рад.	$\Omega = 6.28$	исходные данные									
Октавные уровни звуковой мощности вентилятора, излучаемой корпусом, Лрвв, ДБ		0	99	91	94	99	92	89	85	80	80
Суммарный (по энергии) уровень звуковой мощности вентсистемы, Лв, ДБ		0	99	91	94	99	92	89	85	80	80
<b>ИШ-76</b> [координаты на плане (x,y,z), м = (2249081.7,411767.0,33.8)]											
Режим работы источника:		постоянный									
Продолжительность работы в дневной период (7.00-23.00):		16 час									
Продолжительность работы в ночной период (23.00-7.00):		8 час									
Вентустановка:		ГК, турбинное отделение, вытяжная вентиляция В41, ВКР 9-0-С									
Тип вентсистемы:		вытяжная									
Пространственный угол излучения, рад.	$\Omega = 6.28$	исходные данные									
Октавные уровни звуковой мощности вентилятора, излучаемой корпусом, Лрвв, ДБ		0	99	91	94	99	92	89	85	80	80
Суммарный (по энергии) уровень звуковой мощности вентсистемы, Лв, ДБ		0	99	91	94	99	92	89	85	80	80
<b>ИШ-77</b> [координаты на плане (x,y,z), м = (2249080.0,411783.0,33.8)]											
Режим работы источника:		постоянный									

Продолжительность работы в дневной период (7.00-23.00):		16 час									
Продолжительность работы в ночной период (23.00-7.00):		8 час									
Вентустановка:		ГК, турбинное отделение, вытяжная вентиляция В42, ВКР 9-0-С									
Тип вентсистемы:		вытяжная									
Пространственный угол излучения, рад.		$\Omega = 6,28$									
Октавные уровни звуковой мощности вентилятора, излучаемой корпусом, Лрвв, дБ		исходные данные									
Суммарный (по энергии) уровень звуковой мощности вентсистемы, Лв, дБ		исходные данные									
ИШ-78 [координаты на плане (x,y,z), м = (2249097.1,411729.2,35.0)]		Эн.сумм(Лрпр, Лрвв)									
Режим работы источника:		постоянный									
Продолжительность работы в дневной период (7.00-23.00):		16 час									
Продолжительность работы в ночной период (23.00-7.00):		8 час									
Тип источника шума:		вентиляционная система									
Вентустановка:		ГК. Склад щелочи, склад гипохлората натрия. Вытяжная вентиляция В43. ВР 85-77-4									
Тип вентсистемы:		вытяжная									
Пространственный угол излучения, рад.		$\Omega = 6,28$									
Октавные уровни звуковой мощности вентилятора, излучаемой корпусом, Лрвв, дБ		исходные данные									
Октавные уровни звуковой мощности вентилятора, Лр, дБ		паспортные данные									
Снижение уровня звуковой мощности в воздуховоде, ΔЛвв, дБ		исходные данные									
Снижение УЗМ при отражении от открытого конца воздуховода, ΔЛк, дБ		табл. 21 [4]									
Суммарное снижение звуковой мощности, ΔЛрсети, дБ		табл. 5 [4]									
Октавные уровни звуковой мощности шума, прошедшего через воздуховод, Лрпр, дБ		ф-ла (32) [4]									
Суммарный (по энергии) уровень звуковой мощности вентсистемы, Лв, дБ		Лрпр = Лр - ΔЛрсети									
ИШ-79 [координаты на плане (x,y,z), м = (2249101.7,411731.9,35.0)]		Эн.сумм(Лрпр, Лрвв)									
Режим работы источника:		постоянный									
Продолжительность работы в дневной период (7.00-23.00):		16 час									
Продолжительность работы в ночной период (23.00-7.00):		8 час									
Вентустановка:		ГК. Склад аммиачной воды. Вытяжная вентиляция В44. ВР 85-77-4									
Тип вентсистемы:		вытяжная									
Пространственный угол излучения, рад.		$\Omega = 6,28$									
Октавные уровни звуковой мощности вентилятора, излучаемой корпусом, Лрвв, дБ		исходные данные									
Октавные уровни звуковой мощности вентилятора, Лр, дБ		паспортные данные									
Снижение уровня звуковой мощности в воздуховоде, ΔЛвв, дБ		исходные данные									
Снижение УЗМ при отражении от открытого конца воздуховода, ΔЛк, дБ		табл. 21 [4]									
Суммарное снижение звуковой мощности, ΔЛрсети, дБ		табл. 5 [4]									
Октавные уровни звуковой мощности шума, прошедшего через воздуховод, Лрпр, дБ		ф-ла (32) [4]									
Суммарный (по энергии) уровень звуковой мощности вентсистемы, Лв, дБ		Лрпр = Лр - ΔЛрсети									
ИШ-80 [координаты на плане (x,y,z), м = (2249101.2,411729.7,35.0)]		Эн.сумм(Лрпр, Лрвв)									
Режим работы источника:		постоянный									
Продолжительность работы в дневной период (7.00-23.00):		16 час									
Продолжительность работы в ночной период (23.00-7.00):		8 час									
Вентустановка:		ГК. Склад аммиачной воды. Вытяжная вентиляция В45. ВР 85-77-2,5									
Тип вентсистемы:		вытяжная									
Пространственный угол излучения, рад.		$\Omega = 6,28$									



Окпавные уровни звуковой мощности вентилятора, излучаемой корпусом, Лрвв, дБ		= 0 (вентилятор в венткамере)									
Окпавные уровни звуковой мощности вентилятора, Лр, дБ											
Снижение уровня звуковой мощности в воздуховоде, ΔЛвв, дБ											
Снижение УЗМ при отражении от открытого конца воздуховода, ΔЛк, дБ											
Суммарное снижение звуковой мощности, ΔЛрсети, дБ											
Окпавные уровни звуковой мощности шума, прошедшего через воздуховод, Лрпр, дБ											
Суммарный (по энергии) уровень звуковой мощности вентсистемы, Лм, дБ											
<b>ИШ-81</b> [координаты на плане (х,у,z), м = (2249100.4,411727.8,35.0)]											
Режим работы источника:		постоянный									
Продолжительность работы в дневной период (7.00-23.00):		16 час									
Продолжительность работы в ночной период (23.00-7.00):		8 час									
Вентустановка:		Г.К. Склад соли. Вытяжная вентиляция В46. ВР 85-77-2,5									
Тип вентсистемы:		вытяжная									
Пространственный угол излучения, рад.		Ω = 6.28									
Окпавные уровни звуковой мощности вентилятора, излучаемой корпусом, Лрвв, дБ		= 0 (вентилятор в венткамере)									
Окпавные уровни звуковой мощности вентилятора, Лр, дБ											
Снижение уровня звуковой мощности в воздуховоде, ΔЛвв, дБ											
Снижение УЗМ при отражении от открытого конца воздуховода, ΔЛк, дБ											
Суммарное снижение звуковой мощности, ΔЛрсети, дБ											
Окпавные уровни звуковой мощности шума, прошедшего через воздуховод, Лрпр, дБ											
Суммарный (по энергии) уровень звуковой мощности вентсистемы, Лм, дБ											
<b>ИШ-82</b> [координаты на плане (х,у,z), м = (2249102.8,411733.6,35.0)]											
Режим работы источника:		постоянный									
Продолжительность работы в дневной период (7.00-23.00):		16 час									
Продолжительность работы в ночной период (23.00-7.00):		8 час									
Вентустановка:		Г.К. Склад фосфатов. Вытяжная вентиляция В47. ВР 85-77-3,55									
Тип вентсистемы:		вытяжная									
Пространственный угол излучения, рад.		Ω = 6.28									
Окпавные уровни звуковой мощности вентилятора, излучаемой корпусом, Лрвв, дБ		= 0 (вентилятор в венткамере)									
Окпавные уровни звуковой мощности вентилятора, Лр, дБ											
Снижение уровня звуковой мощности в воздуховоде, ΔЛвв, дБ											
Снижение УЗМ при отражении от открытого конца воздуховода, ΔЛк, дБ											
Суммарное снижение звуковой мощности, ΔЛрсети, дБ											
Окпавные уровни звуковой мощности шума, прошедшего через воздуховод, Лрпр, дБ											
Суммарный (по энергии) уровень звуковой мощности вентсистемы, Лм, дБ											
<b>ИШ-83</b> [координаты на плане (х,у,z), м = (2249103.7,411726.9,35.0)]											
Режим работы источника:		постоянный									
Продолжительность работы в дневной период (7.00-23.00):		16 час									
Продолжительность работы в ночной период (23.00-7.00):		8 час									
Вентустановка:		Г.К. Фильтровальный зал. Вытяжная вентиляция В48. ВР 85-77-8									
Тип вентсистемы:		вытяжная									
Пространственный угол излучения, рад.		Ω = 6.28									
Окпавные уровни звуковой мощности вентилятора, излучаемой корпусом, Лрвв, дБ		= 0 (вентилятор в венткамере)									

Окватные уровни звуковой мощности вентилятора, Лр, дБ	исходные данные	0	84	76	76	84	79	74	70	65
Снижение уровня звуковой мощности в воздуховоде, ΔLвв, дБ	800 табл. 21 [4]	0	0,4	0,9	0,9	1,5	2,3	2,3	2,3	2,3
	15 длина, м									
Снижение УЗМ при отражении от открытого конца воздуховода, ΔLк, дБ	800 табл. 5 [4]	0	5	2	0	0	0	0	0	0
	диаметр, мм									
Суммарное снижение звуковой мощности, ΔLрсети, дБ	φ-ля (32) [4]	0	5,4	2,9	0,9	1,5	2,3	2,3	2,3	2,3
	Лрп = Лр - ΔLрсети									
Окватные уровни звуковой мощности шума, прошедшего через воздуховод, Црп, дБ	Лрп = Лр - ΔLрсети	0	78,6	73,1	75,1	82,5	76,7	71,7	67,7	62,7
	Эн-сум(Лрп, Лрв)									
Суммарный (по энергии) уровень звуковой мощности вентсистемы, Лв, дБ	Эн-сум(Лрп, Лрв)	0	78,6	73,1	75,1	82,5	76,7	71,7	67,7	62,7
<b>ИШ-84</b> [координаты на плане (х,у,z), м = (2249098.4,411726.4,35.0)]										
Режим работы источника: постоянный										
Продолжительность работы в дневной период (7.00-23.00): 16 час										
Продолжительность работы в ночной период (23.00-7.00): 8 час										
Вентустановка: ГК. Экспресс-лаборатория ВХР и ХВО. Вытяжная вентиляция В49. ВРП 85-77-2,5										
Тип вентсистемы: вытяжная										
Пространственный угол излучения, рад. Ω = 6.28										
Окватные уровни звуковой мощности вентилятора, излучаемой корпусом, Лрв, дБ = 0 (вентилятор в венткамере)										
Окватные уровни звуковой мощности вентилятора, Лр, дБ	паспортные данные	0	72,2	72,3	70,2	66	62,3	56,9	51,2	45,2
	исходные данные									
Снижение уровня звуковой мощности в воздуховоде, ΔLвв, дБ	250 табл. 21 [4]	0	0,9	1,5	1,5	2,3	3	3	3	3
	15 длина, м									
Снижение УЗМ при отражении от открытого конца воздуховода, ΔLк, дБ	250 табл. 5 [4]	0	13	8	4	1	0	0	0	0
	диаметр, мм									
Суммарное снижение звуковой мощности, ΔLрсети, дБ	φ-ля (32) [4]	0	13,9	9,5	5,5	3,3	3	3	3	3
	Лрп = Лр - ΔLрсети									
Окватные уровни звуковой мощности шума, прошедшего через воздуховод, Црп, дБ	Лрп = Лр - ΔLрсети	0	58,3	62,8	64,7	62,7	59,3	53,9	48,2	42,2
	Эн-сум(Лрп, Лрв)									
Суммарный (по энергии) уровень звуковой мощности вентсистемы, Лв, дБ	Эн-сум(Лрп, Лрв)	0	58,3	62,8	64,7	62,7	59,3	53,9	48,2	42,2
<b>ИШ-85</b> [координаты на плане (х,у,z), м = (2249102.4,411724.8,35.0)]										
Режим работы источника: постоянный										
Продолжительность работы в дневной период (7.00-23.00): 16 час										
Продолжительность работы в ночной период (23.00-7.00): 8 час										
Вентустановка: ГК. Экспресс-лаборатория ВХР и ХВО. Вытяжная вентиляция В50. ВРП 85-77-3,15										
Тип вентсистемы: вытяжная										
Пространственный угол излучения, рад. Ω = 6.28										
Окватные уровни звуковой мощности вентилятора, излучаемой корпусом, Лрв, дБ = 0 (вентилятор в венткамере)										
Окватные уровни звуковой мощности вентилятора, Лр, дБ	паспортные данные	0	80,2	80,3	78,2	74	70,3	64,9	59,2	53,2
	исходные данные									
Снижение уровня звуковой мощности в воздуховоде, ΔLвв, дБ	315 табл. 21 [4]	0	0,9	1,5	1,5	2,3	3	3	3	3
	15 длина, м									
Снижение УЗМ при отражении от открытого конца воздуховода, ΔLк, дБ	315 табл. 5 [4]	0	11	7	3	0	0	0	0	0
	диаметр, мм									
Суммарное снижение звуковой мощности, ΔLрсети, дБ	φ-ля (32) [4]	0	11,9	8,5	4,5	2,3	3	3	3	3
	Лрп = Лр - ΔLрсети									
Окватные уровни звуковой мощности шума, прошедшего через воздуховод, Црп, дБ	Лрп = Лр - ΔLрсети	0	68,3	71,8	73,7	71,7	67,3	61,9	56,2	50,2
	Эн-сум(Лрп, Лрв)									
Суммарный (по энергии) уровень звуковой мощности вентсистемы, Лв, дБ	Эн-сум(Лрп, Лрв)	0	68,3	71,8	73,7	71,7	67,3	61,9	56,2	50,2
<b>ИШ-86</b> [координаты на плане (х,у,z), м = (2249103.4,411729.2,35.0)]										
Режим работы источника: постоянный										
Продолжительность работы в дневной период (7.00-23.00): 16 час										
Продолжительность работы в ночной период (23.00-7.00): 8 час										
Вентустановка: ГК. Экспресс-лаборатория ВХР и ХВО. Вытяжная вентиляция В51. ВРП 85-77-3,15										
Тип вентсистемы: вытяжная										
Пространственный угол излучения, рад. Ω = 6.28										
Окватные уровни звуковой мощности вентилятора, излучаемой корпусом, Лрв, дБ = 0 (вентилятор в венткамере)										
Окватные уровни звуковой мощности вентилятора, Лр, дБ	паспортные данные	0	80,2	80,3	78,2	74	70,3	64,9	59,2	53,2
	исходные данные									
Снижение уровня звуковой мощности в воздуховоде, ΔLвв, дБ	315 табл. 21 [4]	0	0,9	1,5	1,5	2,3	3	3	3	3
	15 длина, м									
Снижение УЗМ при отражении от открытого конца воздуховода, ΔLк, дБ	315 табл. 5 [4]	0	11	7	3	0	0	0	0	0
	диаметр, мм									
Суммарное снижение звуковой мощности, ΔLрсети, дБ	φ-ля (32) [4]	0	11,9	8,5	4,5	2,3	3	3	3	3
	Лрп = Лр - ΔLрсети									
Окватные уровни звуковой мощности шума, прошедшего через воздуховод, Црп, дБ	Лрп = Лр - ΔLрсети	0	68,3	71,8	73,7	71,7	67,3	61,9	56,2	50,2
	Эн-сум(Лрп, Лрв)									
Суммарный (по энергии) уровень звуковой мощности вентсистемы, Лв, дБ	Эн-сум(Лрп, Лрв)	0	68,3	71,8	73,7	71,7	67,3	61,9	56,2	50,2
<b>ИШ-87</b> [координаты на плане (х,у,z), м = (2249103.4,411729.2,35.0)]										
Режим работы источника: постоянный										
Продолжительность работы в дневной период (7.00-23.00): 16 час										
Продолжительность работы в ночной период (23.00-7.00): 8 час										
Вентустановка: ГК. Экспресс-лаборатория ВХР и ХВО. Вытяжная вентиляция В51. ВРП 85-77-3,15										
Тип вентсистемы: вытяжная										
Пространственный угол излучения, рад. Ω = 6.28										
Окватные уровни звуковой мощности вентилятора, излучаемой корпусом, Лрв, дБ = 0 (вентилятор в венткамере)										
Окватные уровни звуковой мощности вентилятора, Лр, дБ	паспортные данные	0	80,2	80,3	78,2	74	70,3	64,9	59,2	53,2
	исходные данные									
Снижение уровня звуковой мощности в воздуховоде, ΔLвв, дБ	315 табл. 21 [4]	0	0,9	1,5	1,5	2,3	3	3	3	3
	15 длина, м									
Снижение УЗМ при отражении от открытого конца воздуховода, ΔLк, дБ	315 табл. 5 [4]	0	11	7	3	0	0	0	0	0
	диаметр, мм									
Суммарное снижение звуковой мощности, ΔLрсети, дБ	φ-ля (32) [4]	0	11,9	8,5	4,5	2,3	3	3	3	3
	Лрп = Лр - ΔLрсети									
Окватные уровни звуковой мощности шума, прошедшего через воздуховод, Црп, дБ	Лрп = Лр - ΔLрсети	0	68,3	71,8	73,7	71,7	67,3	61,9	56,2	50,2
	Эн-сум(Лрп, Лрв)									
Суммарный (по энергии) уровень звуковой мощности вентсистемы, Лв, дБ	Эн-сум(Лрп, Лрв)	0	68,3	71,8	73,7	71,7	67,3	61,9	56,2	50,2

Снижение уровня звуковой мощности в воздуховоде, ΔLвв, дБ	сечение, мм	315	табл. 21 [4]	0	0,9	1,5	2,3	3	3	3	3	3
	длина, м	15										
Снижение УЗМ при отражении от открытого конца воздуховода, ΔLк, дБ	диаметр, мм	315	табл. 5 [4]	0	11	7	3	0	0	0	0	0
			φ-ля [32] [4]	0	11,9	8,5	2,3	3	3	3	3	3
Суммарное снижение звуковой мощности шума, прошедшего через воздуховод, Цпрп, дБ			Цпрп = Цр - ΔLрсети	0	68,3	71,8	73,7	71,7	67,3	61,9	56,2	50,2
			Эн.сум(Цпрп, Црвв)	0	68,3	71,8	73,7	71,7	67,3	61,9	56,2	50,2
<b>ИШ-87</b> [координаты на плане (x,y,z), м = (2249102.6,411730.5,35.0)]												
Режим работы источника: постоянный												
Продолжительность работы в дневной период (7.00-23.00): 16 час												
Продолжительность работы в ночной период (23.00-7.00): 8 час												
Вентустановка: ГК. Экспресс-лаборатория ВХР и ХВО. Вытяжная вентиляция В52. ВРП 85-77-3,15												
Тип вентсистемы: вытяжная												
Пространственный угол излучения, рад												
Ω = 6.28												
Исходные данные												
паспортные данные												
= 0 (вентилятор в венткамере)												
Октавные уровни звуковой мощности вентилятора, излучаемой корпусом, Црвв, дБ	на выходе	80,2	80,3	78,2	74	70,3	64,9	59,2	53,2			
Октавные уровни звуковой мощности вентилятора, Цр, дБ	сечение, мм	315	табл. 21 [4]	0	0,9	1,5	2,3	3	3	3	3	3
	длина, м	15										
Снижение уровня звуковой мощности в воздуховоде, ΔLвв, дБ	сечение, мм	315	табл. 21 [4]	0	11	7	3	0	0	0	0	0
	диаметр, мм	315	табл. 5 [4]	0	11,9	8,5	2,3	3	3	3	3	3
Снижение УЗМ при отражении от открытого конца воздуховода, ΔLк, дБ			Цпрп = Цр - ΔLрсети	0	68,3	71,8	73,7	71,7	67,3	61,9	56,2	50,2
			Эн.сум(Цпрп, Црвв)	0	68,3	71,8	73,7	71,7	67,3	61,9	56,2	50,2
<b>ИШ-88</b> [координаты на плане (x,y,z), м = (2249102.4,411728.0,35.0)]												
Режим работы источника: постоянный												
Продолжительность работы в дневной период (7.00-23.00): 16 час												
Продолжительность работы в ночной период (23.00-7.00): 8 час												
Вентустановка: ГК. Экспресс-лаборатория ВХР и ХВО. Вытяжная вентиляция В53. ВРП 85-77-2,5												
Тип вентсистемы: вытяжная												
Пространственный угол излучения, рад												
Ω = 6.28												
Исходные данные												
паспортные данные												
= 0 (вентилятор в венткамере)												
Октавные уровни звуковой мощности вентилятора, излучаемой корпусом, Црвв, дБ	на выходе	72,2	72,3	70,2	66	62,3	56,9	51,2	45,2			
Октавные уровни звуковой мощности вентилятора, Цр, дБ	сечение, мм	250	табл. 21 [4]	0	0,9	1,5	2,3	3	3	3	3	3
	длина, м	15										
Снижение уровня звуковой мощности в воздуховоде, ΔLвв, дБ	сечение, мм	250	табл. 21 [4]	0	13	8	4	1	0	0	0	0
	диаметр, мм	250	табл. 5 [4]	0	13,9	9,5	3,3	3	3	3	3	3
Снижение УЗМ при отражении от открытого конца воздуховода, ΔLк, дБ			Цпрп = Цр - ΔLрсети	0	58,3	62,8	64,7	62,7	59,3	53,9	48,2	42,2
			Эн.сум(Цпрп, Црвв)	0	58,3	62,8	64,7	62,7	59,3	53,9	48,2	42,2
<b>ИШ-89</b> [координаты на плане (x,y,z), м = (2248967.8,411724.6,45.0)]												
Режим работы источника: постоянный												
Продолжительность работы в дневной период (7.00-23.00): 16 час												
Продолжительность работы в ночной период (23.00-7.00): 8 час												
Вентустановка: ГК. Помещение баков карбамида. Вытяжная вентиляция В54. ВР 85-77-5,6												
Тип вентсистемы: вытяжная												
Пространственный угол излучения, рад												
Ω = 6.28												
Исходные данные												
паспортные данные												
= 0 (вентилятор в венткамере)												
Октавные уровни звуковой мощности вентилятора, излучаемой корпусом, Црвв, дБ	на выходе	80	72	72	80	74	70	66	60			
Октавные уровни звуковой мощности вентилятора, Цр, дБ	сечение, мм	560	табл. 21 [4]	0	80	72	72	80	74	70	66	60
	на выходе	560										

Снижение уровня звуковой мощности в воздуховоде, $\Delta L_{вв, дБ}$	длина, м	15	0	0,4	0,9	0,9	1,5	2,3	2,3	2,3	2,3	2,3	2,3
Снижение УЗМ при отражении от открытого конца воздуховода, $\Delta L_k, дБ$	диаметр, мм	560	0	8	3	1	0	0	0	0	0	0	0
Суммарное снижение звуковой мощности, $\Delta L_{рсети}, дБ$	φ-ла (32) [4]		0	8,4	3,9	1,9	1,5	2,3	2,3	2,3	2,3	2,3	2,3
Октавные уровни звуковой мощности шума, прошедшего через воздуховод, $L_{рп}, дБ$	$L_{рп} = L_{р} - \Delta L_{рсети}$		0	71,6	68,1	70,1	78,5	71,7	67,7	67,7	63,7	57,7	57,7
Суммарный (по энергии) уровень звуковой мощности вентсистемы, $L_w, дБ$	Эн.сумм [L <sub>рп</sub> , L <sub>рвв</sub> ]		0	71,6	68,1	70,1	78,5	71,7	67,7	67,7	63,7	57,7	57,7
<b>ИШ-90</b> [координаты на плане (x,y,z), м = (2248968.2,411726.8,45.0)]													
Режим работы источника: постоянный													
Продолжительность работы в дневной период (7.00-23.00): 16 час													
Продолжительность работы в ночной период (23.00-7.00): 8 час													
Вентустановка: ГК. Помещение баков зольной воды. Вытяжная вентиляция В55. ВР 85-77-6.3													
Тип вентсистемы: вытяжная													
Пространственный угол излучения, рад.													
$\Omega = 6,28$													
Октавные уровни звуковой мощности вентилятора, излучаемой корпусом, $L_{рвв}, дБ$													
на выходе													
исходные данные													
0 84 76 76 84 78 74 70 64													
Октавные уровни звуковой мощности вентилятора, $L_{р}, дБ$													
сечение, мм													
630													
длина, м													
15													
Снижение уровня звуковой мощности в воздуховоде, $\Delta L_{вв}, дБ$													
табл. 21 [4]													
Снижение УЗМ при отражении от открытого конца воздуховода, $\Delta L_k, дБ$													
табл. 5 [4]													
Суммарное снижение звуковой мощности, $\Delta L_{рсети}, дБ$													
φ-ла (32) [4]													
Октавные уровни звуковой мощности шума, прошедшего через воздуховод, $L_{рп}, дБ$													
$L_{рп} = L_{р} - \Delta L_{рсети}$													
Эн.сумм [L <sub>рп</sub> , L <sub>рвв</sub> ]													
0 77,6 73,1 75,1 82,5 75,7 71,7 67,7 61,7													
<b>ИШ-91</b> [координаты на плане (x,y,z), м = (2249113.7,411762.0,11.2)]													
Режим работы источника: постоянный													
Продолжительность работы в дневной период (7.00-23.00): 16 час													
Продолжительность работы в ночной период (23.00-7.00): 8 час													
Тип источника шума: вентиляционная система													
Вентустановка: ГК. Помещение оборудования ПТК Вытяжная вентиляция В56. ОСА 300-045/A-45-00018/04													
Тип вентсистемы: вытяжная													
Пространственный угол излучения, рад.													
$\Omega = 6,28$													
Октавные уровни звуковой мощности вентилятора, излучаемой корпусом, $L_{рвв}, дБ$													
на выходе													
исходные данные													
0 0 0 0 0 0 0 0 0 0 0 0 0 0													
Октавные уровни звуковой мощности вентилятора, $L_{р}, дБ$													
сечение, мм													
650													
длина, м													
560													
Снижение уровня звуковой мощности в воздуховоде, $\Delta L_k, дБ$													
табл. 5 [4]													
Суммарное снижение звуковой мощности, $\Delta L_{рсети}, дБ$													
φ-ла (32) [4]													
Октавные уровни звуковой мощности шума, прошедшего через воздуховод, $L_{рп}, дБ$													
$L_{рп} = L_{р} - \Delta L_{рсети}$													
Эн.сумм [L <sub>рп</sub> , L <sub>рвв</sub> ]													
0 77,2 81,3 81,2 77 73,3 67,9 62,2 56,2													
<b>ИШ-92</b> [координаты на плане (x,y,z), м = (2249051.5,411674.6,17.0)]													
Режим работы источника: постоянный													
Продолжительность работы в дневной период (7.00-23.00): 16 час													
Продолжительность работы в ночной период (23.00-7.00): 8 час													
Вентустановка: ГК. Мастерские. Вытяжная вентиляция В57. ВКП-60-35-4D													
Тип вентсистемы: вытяжная													
Пространственный угол излучения, рад.													
$\Omega = 6,28$													
Октавные уровни звуковой мощности вентилятора, излучаемой корпусом, $L_{рвв}, дБ$													
на выходе													
исходные данные													
0 83,2 83,3 81,2 77 73,3 67,9 62,2 56,2													
Октавные уровни звуковой мощности вентилятора, $L_{р}, дБ$													
сечение, мм													
350													
длина, м													
8													
Снижение уровня звуковой мощности в воздуховоде, $\Delta L_{вв}, дБ$													
табл. 21 [4]													
0 4,8 4,8 3,6 2,4 1,6 1,6 1,6 1,6													

Снижение уровня звуковой мощности при отражении от открытого конца воздуховода, $\Delta L_k$ , дБ	диаметр, мм	350	табл. 5 [4]	0	11	6	2	0	0	0	0	0	0
Суммарное снижение звуковой мощности, $\Delta L_{рсети}$ , дБ			ф-ла (32) [4]	0	15,8	10,8	5,6	2,4	1,6	1,6	1,6	1,6	1,6
Окватные уровни звуковой мощности шума, прошедшего через воздуховод, $L_{рпр}$ , дБ			$L_{рпр} = L_p - \Delta L_{рсети}$	0	67,4	72,5	75,6	74,6	71,7	66,3	60,6	54,6	54,6
Суммарный (по энергии) уровень звуковой мощности вентсистемы, $L_w$ , дБ			Эн.сумм ( $L_{рпр}$ , $L_{рвв}$ )	0	67,4	72,5	75,6	74,6	71,7	66,3	60,6	54,6	54,6
<b>ИШ-93</b> [координаты на плане (x,y,z), м = (2249085.4,411722.0,3.3)]													
Режим работы источника: непостоянный													
Продолжительность работы в дневной период (7.00-23.00): 4 час													
Продолжительность работы в ночной период (23.00-7.00): 2 час													
Вентустановка: ГК. Насосная станция пожаротушения/ Вытяжная вентиляция В58. ВКП-60-30-2Е													
Тип вентсистемы: вытяжная													
Пространственный угол излучения, рад.	$\Omega = 3.14$		исходные данные										
Окватные уровни звуковой мощности вентилятора, излучаемой корпусом, $L_{рвв}$ , дБ			паспортные данные										
Окватные уровни звуковой мощности вентилятора, $L_p$ , дБ	на выходе		исходные данные	0	79,2	79,3	77,2	73	69,3	63,9	58,2	52,2	52,2
Снижение уровня звуковой мощности при отражении от открытого конца воздуховода, $\Delta L_k$ , дБ	диаметр, мм	489,9	табл. 5 [4]	0	8	4	1	0	0	0	0	0	0
Суммарное снижение звуковой мощности, $\Delta L_{рсети}$ , дБ			ф-ла (32) [4]	0	8	4	1	0	0	0	0	0	0
Окватные уровни звуковой мощности шума, прошедшего через воздуховод, $L_{рпр}$ , дБ			$L_{рпр} = L_p - \Delta L_{рсети}$	0	71,2	75,3	76,2	73	69,3	63,9	58,2	52,2	52,2
Поправка на время работы источника днём $\Delta T_d$ , дБ	$\tau = 4$ ч время работы		10lg(t/8)										
Поправка на время работы источника ночью $\Delta T_n$ , дБ	$\tau = 2$ ч время работы		10lg(t/8)										
Эквивалентные уровни звуковой мощности источника днём, $L_w$ , дБ			$L_w + \Delta T_n$	0	65,2	69,3	70,2	67	63,3	57,9	52,2	46,2	46,2
Эквивалентные уровни звуковой мощности источника ночью, $L_w$ , дБ			$L_w + \Delta T_n$	0	65,2	69,3	70,2	67	63,3	57,9	52,2	46,2	46,2
<b>ИШ-94</b> [координаты на плане (x,y,z), м = (2249100.4,411764.8,35.0)]													
Режим работы источника: постоянный													
Продолжительность работы в дневной период (7.00-23.00): 16 час													
Продолжительность работы в ночной период (23.00-7.00): 8 час													
Вентустановка: ГК. Маслокомната. Вытяжная вентиляция В59. ВКП-250													
Тип вентсистемы: вытяжная													
Пространственный угол излучения, рад.	$\Omega = 6.28$		исходные данные										
Окватные уровни звуковой мощности вентилятора, излучаемой корпусом, $L_{рвв}$ , дБ			паспортные данные										
Окватные уровни звуковой мощности вентилятора, $L_p$ , дБ	на выходе		исходные данные	0	83	80	78	73	66	65	58	55	55
Снижение уровня звуковой мощности в воздуховоде, $\Delta L_{вв}$ , дБ	сечение, мм	250	табл. 21 [4]	0	0,6	1	1	1,5	2	2	2	2	2
	длина, м	10											
Снижение уровня звуковой мощности при отражении от открытого конца воздуховода, $\Delta L_k$ , дБ	диаметр, мм	250	табл. 5 [4]	0	13	8	4	1	0	0	0	0	0
Снижение уровня звуковой мощности при отражении от открытого конца воздуховода, $\Delta L_k$ , дБ	диаметр, мм	250	табл. 5 [4]	0	13	8	4	1	0	0	0	0	0
Суммарное снижение звуковой мощности, $\Delta L_{рсети}$ , дБ			ф-ла (32) [4]	0	26,6	17	9	3,5	2	2	2	2	2
Окватные уровни звуковой мощности шума, прошедшего через воздуховод, $L_{рпр}$ , дБ			$L_{рпр} = L_p - \Delta L_{рсети}$	0	56,4	63	69	69,5	64	63	56	53	53
Суммарный (по энергии) уровень звуковой мощности вентсистемы, $L_w$ , дБ			Эн.сумм ( $L_{рпр}$ , $L_{рвв}$ )	0	56,4	63	69	69,5	64	63	56	53	53
<b>ИШ-95</b> [координаты на плане (x,y,z), м = (2249114.8,411767.1,18.0)]													
Режим работы источника: постоянный													
Продолжительность работы в дневной период (7.00-23.00): 16 час													
Продолжительность работы в ночной период (23.00-7.00): 8 час													
Категория источника шума: Кондиционеры													

Марка блока:		ГК. РУСН 0,4 кВ котлов. К1, внешний блок. MDOU-60HNDN1 MDV									
Пространственный угол излучения, рад.	$\Omega = 3.14$	исходные данные									
Уровень звука $L_a$ на опорном расстоянии $d$ , дБА	$d = 1 \text{ м}$	исходные данные									63
Габариты источника шума, м		исходные данные									
Уровни звуковой мощности источника $L_{WA}$ , дБА	$L_{WA} = L_a + 20\lg(d) + 10\lg(\Omega)$										68
Спектральные поправки $K(\Delta_{\lambda})$ для разложения общего УЗМ по октавным полосам, дБ	[5]										
Октавные уровни звуковой мощности источника $L_w$ , дБ	$L_w = L_{WA} + K(\Delta_{\lambda})$										
<b>ИШ-96</b> [координаты на плане (x,y,z), м = (2249114.8,411768.1,18.0)]											
Режим работы источника: постоянный											
Продолжительность работы в дневной период (7.00-23.00): 16 час											
Продолжительность работы в ночной период (23.00-7.00): 8 час											
Категория источника шума: Кондиционеры											
Марка блока:		ГК. РУСН 0,4 кВ котлов. К2 внешний блок. MDOU-60HNDN1 MDV									
Пространственный угол излучения, рад.	$\Omega = 3.14$	исходные данные									
Уровень звука $L_a$ на опорном расстоянии $d$ , дБА	$d = 1 \text{ м}$	исходные данные									63
Габариты источника шума, м		исходные данные									
Уровни звуковой мощности источника $L_{WA}$ , дБА	$L_{WA} = L_a + 20\lg(d) + 10\lg(\Omega)$										68
Спектральные поправки $K(\Delta_{\lambda})$ для разложения общего УЗМ по октавным полосам, дБ	[5]										
Октавные уровни звуковой мощности источника $L_w$ , дБ	$L_w = L_{WA} + K(\Delta_{\lambda})$										
<b>ИШ-97</b> [координаты на плане (x,y,z), м = (2249115.8,411773.6,18.0)]											
Режим работы источника: постоянный											
Продолжительность работы в дневной период (7.00-23.00): 16 час											
Продолжительность работы в ночной период (23.00-7.00): 8 час											
Категория источника шума: Кондиционеры											
Марка блока:		ГК. РУСН 0,4 кВ турбоагрегата 1, 2. К3, внешний блок. MDOU-60HNDN1 MDV									
Пространственный угол излучения, рад.	$\Omega = 3.14$	исходные данные									
Уровень звука $L_a$ на опорном расстоянии $d$ , дБА	$d = 1 \text{ м}$	исходные данные									63
Габариты источника шума, м		исходные данные									
Уровни звуковой мощности источника $L_{WA}$ , дБА	$L_{WA} = L_a + 20\lg(d) + 10\lg(\Omega)$										68
Спектральные поправки $K(\Delta_{\lambda})$ для разложения общего УЗМ по октавным полосам, дБ	[5]										
Октавные уровни звуковой мощности источника $L_w$ , дБ	$L_w = L_{WA} + K(\Delta_{\lambda})$										
<b>ИШ-98</b> [координаты на плане (x,y,z), м = (2249116.2,411774.7,18.0)]											
Режим работы источника: постоянный											
Продолжительность работы в дневной период (7.00-23.00): 16 час											
Продолжительность работы в ночной период (23.00-7.00): 8 час											
Категория источника шума: Кондиционеры											
Марка блока:		ГК. РУСН 0,4 кВ турбоагрегата 1, 2. К4, внешний блок. MDOU-60HNDN1 MDV									
Пространственный угол излучения, рад.	$\Omega = 3.14$	исходные данные									
Уровень звука $L_a$ на опорном расстоянии $d$ , дБА	$d = 1 \text{ м}$	исходные данные									63
Габариты источника шума, м		исходные данные									
Уровни звуковой мощности источника $L_{WA}$ , дБА	$L_{WA} = L_a + 20\lg(d) + 10\lg(\Omega)$										68
Спектральные поправки $K(\Delta_{\lambda})$ для разложения общего УЗМ по октавным полосам, дБ	[5]										
Октавные уровни звуковой мощности источника $L_w$ , дБ	$L_w = L_{WA} + K(\Delta_{\lambda})$										
<b>ИШ-99</b> [координаты на плане (x,y,z), м = (2249115.3,411769.9,18.0)]											
Режим работы источника: постоянный											



Октавные уровни звуковой мощности источника Lw, дБ		Lw = LwA + K(ΔLw)		0	56,9	57,7	58,4	58,2	56,7	53,1	48,6	43,9
<b>ИШ-103</b> [координаты на плане (x,y,z), м = (2249049,2,411641,2,2,0)]												
Режим работы источника:												
Продолжительность работы в дневной период (7.00-23.00):												
Продолжительность работы в ночной период (23.00-7.00):												
Тип источника шума:												
Название:												
ГК. Помещение загрузки. У1 завеса КЭВ-36П7021Е												
Пространственный угол излучения, рад.		исходные данные										
Уровни звукового давления L на опорном расстоянии d, дБ		исходные данные		0	62,2	62,3	60,2	56	52,3	46,9	41,2	35,2
Габариты источника шума, м		исходные данные		длина (l1) = 0,00		ширина (l2) = 0,00		высота (l3) = 0,00				
Октавные уровни звуковой мощности источника Lw, дБ		Lw = L + 20lg(d) + 10lg(Ω)		0	81,1	81,2	79,1	74,9	71,2	65,8	60,1	54,1
Поправка на время работы источника днём ΔTd, дБ		τ = 4 ч время работы		-6								
Поправка на время работы источника ночью ΔTn, дБ		τ = 2 ч время работы		-6								
Эквивалентные уровни звуковой мощности источника днем, Lw, дБ		Lw + ΔTn		0	75,1	75,2	73,1	68,9	65,2	59,8	54,1	48,1
Эквивалентные уровни звуковой мощности источника ночью, Lw, дБ		Lw + ΔTn		0	75,1	75,2	73,1	68,9	65,2	59,8	54,1	48,1
<b>ИШ-104</b> [координаты на плане (x,y,z), м = (2249049,4,411641,8,2,0)]												
Режим работы источника:												
Продолжительность работы в дневной период (7.00-23.00):												
Продолжительность работы в ночной период (23.00-7.00):												
Тип источника шума:												
Название:												
ГК. Помещение загрузки. У2 завеса КЭВ-36П7021Е												
Пространственный угол излучения, рад.		исходные данные										
Уровни звукового давления L на опорном расстоянии d, дБ		исходные данные		0	62,2	62,3	60,2	56	52,3	46,9	41,2	35,2
Габариты источника шума, м		исходные данные		длина (l1) = 0,00		ширина (l2) = 0,00		высота (l3) = 0,00				
Октавные уровни звуковой мощности источника Lw, дБ		Lw = L + 20lg(d) + 10lg(Ω)		0	81,1	81,2	79,1	74,9	71,2	65,8	60,1	54,1
Поправка на время работы источника днём ΔTd, дБ		τ = 4 ч время работы		-6								
Поправка на время работы источника ночью ΔTn, дБ		τ = 2 ч время работы		-6								
Эквивалентные уровни звуковой мощности источника днем, Lw, дБ		Lw + ΔTn		0	75,1	75,2	73,1	68,9	65,2	59,8	54,1	48,1
Эквивалентные уровни звуковой мощности источника ночью, Lw, дБ		Lw + ΔTn		0	75,1	75,2	73,1	68,9	65,2	59,8	54,1	48,1
<b>ИШ-105</b> [координаты на плане (x,y,z), м = (2249049,7,411645,2,2,0)]												
Режим работы источника:												
Продолжительность работы в дневной период (7.00-23.00):												
Продолжительность работы в ночной период (23.00-7.00):												
Тип источника шума:												
Название:												
ГК. Помещение загрузки. У3 завеса КЭВ-36П7021Е												
Пространственный угол излучения, рад.		исходные данные										
Уровни звукового давления L на опорном расстоянии d, дБ		исходные данные		0	62,2	62,3	60,2	56	52,3	46,9	41,2	35,2
Габариты источника шума, м		исходные данные		длина (l1) = 0,00		ширина (l2) = 0,00		высота (l3) = 0,00				
Октавные уровни звуковой мощности источника Lw, дБ		Lw = L + 20lg(d) + 10lg(Ω)		0	81,1	81,2	79,1	74,9	71,2	65,8	60,1	54,1
Поправка на время работы источника днём ΔTd, дБ		τ = 4 ч время работы		-6								
Поправка на время работы источника ночью ΔTn, дБ		τ = 2 ч время работы		-6								
Эквивалентные уровни звуковой мощности источника днем, Lw, дБ		Lw + ΔTn		0	75,1	75,2	73,1	68,9	65,2	59,8	54,1	48,1
Эквивалентные уровни звуковой мощности источника ночью, Lw, дБ		Lw + ΔTn		0	75,1	75,2	73,1	68,9	65,2	59,8	54,1	48,1
<b>ИШ-106</b> [координаты на плане (x,y,z), м = (2249049,9,411645,6,2,0)]												
Режим работы источника:												
Продолжительность работы в дневной период (7.00-23.00):												
Продолжительность работы в ночной период (23.00-7.00):												
Тип источника шума:												
Название:												
ГК. Помещение загрузки. У3 завеса КЭВ-36П7021Е												
Пространственный угол излучения, рад.		исходные данные										
Уровни звукового давления L на опорном расстоянии d, дБ		исходные данные		0	62,2	62,3	60,2	56	52,3	46,9	41,2	35,2
Габариты источника шума, м		исходные данные		длина (l1) = 0,00		ширина (l2) = 0,00		высота (l3) = 0,00				
Октавные уровни звуковой мощности источника Lw, дБ		Lw = L + 20lg(d) + 10lg(Ω)		0	81,1	81,2	79,1	74,9	71,2	65,8	60,1	54,1
Поправка на время работы источника днём ΔTd, дБ		τ = 4 ч время работы		-6								
Поправка на время работы источника ночью ΔTn, дБ		τ = 2 ч время работы		-6								
Эквивалентные уровни звуковой мощности источника днем, Lw, дБ		Lw + ΔTn		0	75,1	75,2	73,1	68,9	65,2	59,8	54,1	48,1
Эквивалентные уровни звуковой мощности источника ночью, Lw, дБ		Lw + ΔTn		0	75,1	75,2	73,1	68,9	65,2	59,8	54,1	48,1



Продолжительность работы в дневной период (7.00-23.00):		4 час	
Продолжительность работы в ночной период (23.00-7.00):		2 час	
Тип источника шума:			
внешние источники шума			
Название:			
ГК. Помещение загрузки. У4 завеса КЭВ-36П7021Е			
Пространственный угол излучения, рад.	$\Omega = 3.14$	исходные данные	
Уровни звукового давления L на опорном расстоянии d, дБ	d = 5 м	исходные данные	
Габариты источника шума, м		исходные данные	
Октавные уровни звуковой мощности источника Lw, дБ	$L_w = L + 20\lg(d) + 10\lg(\Omega)$		
Поправка на время работы источника днём $\Delta T_d$ , дБ	$\tau = 4$ ч время работы	$10\lg(\tau/16)$	-6
Поправка на время работы источника ночью $\Delta T_n$ , дБ	$\tau = 2$ ч время работы	$10\lg(\tau/8)$	-6
Эквивалентные уровни звуковой мощности источника днем, Lw, дБ	Lw + $\Delta T_n$		68,9
Эквивалентные уровни звуковой мощности источника ночью, Lw, дБ	Lw + $\Delta T_n$		68,9
<b>ИШ-107</b> [координаты на плане (x,y,z), м = (2248981.2,411741.6,2.0)]			
Режим работы источника:			
непостоянный			
Продолжительность работы в дневной период (7.00-23.00):		4 час	
Продолжительность работы в ночной период (23.00-7.00):		2 час	
Тип источника шума:			
внешние источники шума			
Название:			
ГК. Котельное отделение. У5 завеса КЭВ-24П4060Е			
Пространственный угол излучения, рад.	$\Omega = 3.14$	исходные данные	
Уровни звукового давления L на опорном расстоянии d, дБ	d = 5 м	исходные данные	
Габариты источника шума, м		исходные данные	
Октавные уровни звуковой мощности источника Lw, дБ	$L_w = L + 20\lg(d) + 10\lg(\Omega)$		
Поправка на время работы источника днём $\Delta T_d$ , дБ	$\tau = 4$ ч время работы	$10\lg(\tau/16)$	-6
Поправка на время работы источника ночью $\Delta T_n$ , дБ	$\tau = 2$ ч время работы	$10\lg(\tau/8)$	-6
Эквивалентные уровни звуковой мощности источника днем, Lw, дБ	Lw + $\Delta T_n$		68,9
Эквивалентные уровни звуковой мощности источника ночью, Lw, дБ	Lw + $\Delta T_n$		68,9
<b>ИШ-108</b> [координаты на плане (x,y,z), м = (2248981.4,411742.2,2.0)]			
Режим работы источника:			
непостоянный			
Продолжительность работы в дневной период (7.00-23.00):		4 час	
Продолжительность работы в ночной период (23.00-7.00):		2 час	
Тип источника шума:			
внешние источники шума			
Название:			
ГК. Котельное отделение. У6 завеса КЭВ-24П4060Е			
Пространственный угол излучения, рад.	$\Omega = 3.14$	исходные данные	
Уровни звукового давления L на опорном расстоянии d, дБ	d = 5 м	исходные данные	
Габариты источника шума, м		исходные данные	
Октавные уровни звуковой мощности источника Lw, дБ	$L_w = L + 20\lg(d) + 10\lg(\Omega)$		
Поправка на время работы источника днём $\Delta T_d$ , дБ	$\tau = 4$ ч время работы	$10\lg(\tau/16)$	-6
Поправка на время работы источника ночью $\Delta T_n$ , дБ	$\tau = 2$ ч время работы	$10\lg(\tau/8)$	-6
Эквивалентные уровни звуковой мощности источника днем, Lw, дБ	Lw + $\Delta T_n$		68,9
Эквивалентные уровни звуковой мощности источника ночью, Lw, дБ	Lw + $\Delta T_n$		68,9
<b>ИШ-109</b> [координаты на плане (x,y,z), м = (2248982.1,411746.3,2.0)]			
Режим работы источника:			
непостоянный			
Продолжительность работы в дневной период (7.00-23.00):		4 час	
Продолжительность работы в ночной период (23.00-7.00):		2 час	
Тип источника шума:			
внешние источники шума			





Поправка на время работы источника днём $\Delta T_d$ , дБ	$\tau = 4$ ч время работы	$10 \lg(\tau/16)$	-6								
Поправка на время работы источника ночью $\Delta T_n$ , дБ	$\tau = 2$ ч время работы	$10 \lg(\tau/8)$	-6								
Эквивалентные уровни звуковой мощности источника днем, $L_w$ , дБ		$L_w + \Delta T_n$	0	75,1	75,2	73,1	68,9	65,2	59,8	54,1	48,1
Эквивалентные уровни звуковой мощности источника ночью, $L_w$ , дБ		$L_w + \Delta T_n$	0	75,1	75,2	73,1	68,9	65,2	59,8	54,1	48,1
<b>ИШ-116</b> [координаты на плане (x,y,z), м = (22491103;9,411792,7,2,0)]											
Режим работы источника: непостоянный											
Продолжительность работы в дневной период (7.00-23.00): 4 час											
Продолжительность работы в ночной период (23.00-7.00): 2 час											
Тип источника шума: внешние источники шума											
Название: ГК. Турбинное отделение. У14 завеса КЭВ-24П4060Е											
Пространственный угол излучения, рад	$\Omega = 3,14$	исходные данные									
Уровни звукового давления L на опорном расстоянии d, дБ	d = 5 м	исходные данные	0	59,2	59,3	57,2	53	49,3	43,9	38,2	32,2
Габариты источника шума, м		исходные данные		длина (l <sub>1</sub> ) = 0,00      ширина (l <sub>2</sub> ) = 0,00      высота (l <sub>3</sub> ) = 0,00							
Октавные уровни звуковой мощности источника $L_{w, dB}$	$L_w = L + 20 \lg(d) + 10 \lg(\Omega)$		0	78,1	78,2	76,1	71,9	68,2	62,8	57,1	51,1
Поправка на время работы днём $\Delta T_d$ , дБ	$\tau = 4$ ч время работы	$10 \lg(\tau/16)$		-6							
Поправка на время работы ночью $\Delta T_n$ , дБ	$\tau = 2$ ч время работы	$10 \lg(\tau/8)$		-6							
Эквивалентные уровни звуковой мощности источника днем, $L_w$ , дБ		$L_w + \Delta T_n$	0	75,1	75,2	73,1	68,9	65,2	59,8	54,1	48,1
Эквивалентные уровни звуковой мощности источника ночью, $L_w$ , дБ		$L_w + \Delta T_n$	0	75,1	75,2	73,1	68,9	65,2	59,8	54,1	48,1
<b>ИШ-117</b> [координаты на плане (x,y,z), м = (2249036,0,411879,0,2,0)]											
Режим работы источника: постоянный											
Продолжительность работы в дневной период (7.00-23.00): 16 час											
Продолжительность работы в ночной период (23.00-7.00): 8 час											
Тип источника шума: внешние источники шума											
Категория источника шума: Источники шума на прилегающей территории											
Название: Общественная компрессорная											
Пространственный угол излучения, рад	$\Omega = 6,28$	исходные данные									
Уровень звука $L_a$ на опорном расстоянии d, дБА	d = 1 м	исходные данные									85
Габариты источника шума, м		исходные данные		длина (l <sub>1</sub> ) = 1,00      ширина (l <sub>2</sub> ) = 0,20      высота (l <sub>3</sub> ) = 1,00							
Площадь измерительной поверхности, расположенной на расстоянии d от огибающего источник шума параллелепипеда, S, м <sup>2</sup>		ф-ла (9) [18]		S = 27,40 м <sup>2</sup>							
Уровень звуковой мощности источника $L_{wA, дБА}$		$L_{wA} = L + 10 \lg(S)$	-999	-6,7	-5,3	-4	-3,7	-4,1	-7,4	-11,6	-16,1
Спектральные поправки $K(\Delta\alpha)$ для разложения общего УЗМ по октавным полосам, дБ		[5]	0	92,7	94,1	95,4	95,7	95,3	92	87,8	83,3
Октавные уровни звуковой мощности источника $L_{w, дБ}$		$L_w = L_{wA} + K(\Delta\alpha)$									
<b>ИШ-118</b> [координаты на плане (x,y,z), м = (2249255,8,411696,4,3,0)]											
Режим работы источника: постоянный											
Продолжительность работы в дневной период (7.00-23.00): 16 час											
Продолжительность работы в ночной период (23.00-7.00): 8 час											
Тип источника шума: внешние источники шума											
Категория источника шума: Источники шума на прилегающей территории											
Название: НС пожаротушения и хозяйственно-питьевого водоснабжения, северный фасад											
Пространственный угол излучения, рад		исходные данные									
Октавные уровни звуковой мощности источника $L_{w, дБ}$	$\Omega = 3,14$	исходные данные	0	83,4	78,9	73,8	64,6	58,9	54,9	39,2	28,2
<b>ИШ-119</b> [координаты на плане (x,y,z), м = (2249248,3,411690,7,3,0)]											
Режим работы источника: постоянный											
Продолжительность работы в дневной период (7.00-23.00): 16 час											



Октавные уровни звуковой мощности вентилятора, Lp, дБ	исходные данные	0	79,2	79,3	77,2	73	69,3	63,9	58,2	52,2	
Снижение УЗМ при отражении от открытого конца воздуховода, ΔLк, дБ	табл. 5 [4]	0	13	8	4	1	0	0	0	0	
Суммарное снижение звуковой мощности, ΔLсрсети, дБ	Ф-ла (32) [4]	0	13	8	4	1	0	0	0	0	
Октавные уровни звуковой мощности шума, прошедшего через воздуховод, Lpпр, дБ	Lpпр = Lp - ΔLсрсети	0	66,2	71,3	73,2	72	69,3	63,9	58,2	52,2	
Суммарный (по энергии) уровень звуковой мощности вентсистемы, Lw, дБ	Эн. сумм (Lpпр, Lсрв)	0	66,2	71,3	73,2	72	69,3	63,9	58,2	52,2	
<b>ИШ-124</b> [координаты на плане (x,y,z), м = (2249269.9,411794.0,1.0)]											
Режим работы источника:											
Продолжительность работы в дневной период (7.00-23.00):											
Продолжительность работы в ночной период (23.00-7.00):											
Тип источника шума:											
Категория источника шума:											
Название:											
Пространственный угол излучения, рад:	Ω = 6.28										
Уровень звука La на опорном расстоянии d, дБА	d = 1 м										80
Габариты источника шума, м											
Площадь измерительной поверхности, расположенной на расстоянии d от оглашающего источника шума параллелепипед, S, м2											
Уровень звуковой мощности источника LwA, дБА	LwA = L + 10lg(S)										94,1
Спектральные поправки K(ΔL) для разложения общего УЗМ по октавным полосам, дБ	[5]	-999	-6,7	-5,3	-4	-3,7	-4,1	-7,4	-11,6	-16,1	
Октавные уровни звуковой мощности источника Lw, дБ	Lw = LwA + K(ΔL)	0	87,4	88,8	90,1	90,4	90	86,7	82,5	78	
<b>ИШ-125</b> [координаты на плане (x,y,z), м = (2249240.1,411785.5,1.0)]											
Режим работы источника:											
Продолжительность работы в дневной период (7.00-23.00):											
Продолжительность работы в ночной период (23.00-7.00):											
Тип источника шума:											
Категория источника шума:											
Название:											
Пространственный угол излучения, рад:	Ω = 6.28										
Уровень звука La на опорном расстоянии d, дБА	d = 1 м										78
Габариты источника шума, м											
Уровни звуковой мощности источника LwA, дБА	LwA = La + 20lg(d) + 10lg(Ω)										86
Спектральные поправки K(ΔL) для разложения общего уровня звуковой мощности в спектр по октавным полосам, дБ	[5]	-999	4,2	4,3	2,2	-2	-5,7	-11,1	-16,8	-22,8	
Октавные уровни звуковой мощности источника Lw, дБ	Lw = LwA + K(ΔL)	0	90,2	90,3	88,2	84	80,3	74,9	69,2	63,2	
<b>ИШ-130</b> [координаты на плане (x,y,z), м = (2248912.1,411762.4,1.0)]											
Режим работы источника:											
Продолжительность работы в дневной период (7.00-23.00):											
Продолжительность работы в ночной период (23.00-7.00):											
Тип источника шума:											
Категория источника шума:											
Название:											
Пространственный угол излучения, рад:	Ω = 6.28										
Уровни звукового давления L на опорном расстоянии d, дБ	d = 5 м	0	75	70	67	67	69	66	60	53	
Габариты источника шума, м											
Октавные уровни звуковой мощности источника Lw, дБ	Lw = L + 20lg(d) + 10lg(Ω)	0	97	92	89	89	91	88	82	75	

<b>ИШ-131</b> [координаты на плане (x,y,z), м = (2248951.6,411736.7,4.0)]									
Режим работы источника:					постоянный				
Продолжительность работы в дневной период (7.00-23.00):					16 час				
Продолжительность работы в ночной период (23.00-7.00):					8 час				
Тип источника шума:									
Категория источника шума:									
Источники шума на прилегающей территории									
Выгрузка золы в автотранспорт через загрузочный рукав.									
Источники шума:									
Пространственный угол излучения, рад.		$\Omega = 6,28$		исходные данные					
Уровни звукового давления L на опорном расстоянии d, дБ		d = 3 м		исходные данные		0		72 76 82 76 66 63 57 48	
Габариты источника шума, м				исходные данные		длина (l <sub>1</sub> ) = 0,00		ширина (l <sub>2</sub> ) = 0,00      высота (l <sub>3</sub> ) = 0,00	
Октавные уровни звуковой мощности источника Lw, дБ		Lw = L + 20lg(d) + 10lg(Ω)		исходные данные		0		89,5 93,5 99,5 93,5 83,5 80,5 74,5 65,5	
<b>ИШ-133</b> [координаты на плане (x,y,z), м = (2249120.3,411725.1,1.5)]									
Режим работы источника:					непостоянный				
Продолжительность работы в дневной период (7.00-23.00):					1 час				
Тип источника шума:									
Аварийный дизельгенератор в режиме прокрутки									
Марка блока:									
Пространственный угол излучения, рад.		$\Omega = 6,28$		исходные данные					
Эквивалентный (L <sub>э</sub> ) и максимальный (L <sub>max</sub> ) уровни звука на опорном расстоянии d, дБА		d = 1 м		исходные данные				94 94	
Габариты источника шума, м				исходные данные		длина (l <sub>1</sub> ) = 0,00		ширина (l <sub>2</sub> ) = 0,00      высота (l <sub>3</sub> ) = 0,00	
Эквивалентный (L <sub>WA</sub> ) и максимальный (L <sub>WMax</sub> ) УЗМ источника, дБА		L <sub>WA</sub> = L <sub>a</sub> + 20lg(d) + 10lg(Ω)		исходные данные		-999		-4,1 -3,3 -2,6 -2,8 -4,3 -7,9 -12,4 -17,1	
Спектральные поправки K(ΔL <sub>д</sub> ) для разложения общего УЗМ по октавным полосам, дБ		[5]		исходные данные		0		97,9 98,7 99,4 99,2 97,7 94,1 89,6 84,9	
Октавные уровни звуковой мощности источника Lw, дБ		Lw = L <sub>WA</sub> + K(ΔL <sub>д</sub> )		исходные данные		0		97,9 98,7 99,4 99,2 97,7 94,1 89,6 84,9	
Октавные уровни звуковой мощности максимального звука источника L <sub>Wx</sub> , дБ		L <sub>Wx</sub> = L <sub>WMax</sub> + K(ΔL <sub>д</sub> )		исходные данные		0		97,9 98,7 99,4 99,2 97,7 94,1 89,6 84,9	
Поправка на время работы источника днём ΔT <sub>д</sub> , дБ		τ = 1 ч время работы		исходные данные				-12	
Поправка на время работы источника ночью ΔT <sub>н</sub> , дБ		τ = 0 ч время работы		исходные данные				источник не работает в ночное время	
Эквивалентные уровни звуковой мощности источника днём, Lw, дБ		Lw + ΔT <sub>д</sub>		исходные данные		0		85,8 86,6 87,3 87,1 85,6 82 77,5 72,8	
Эквивалентные уровни звуковой мощности источника ночью, Lw, дБ		Lw + ΔT <sub>н</sub>		исходные данные		0		0 0 0 0 0 0 0 0	
<b>ИШ-134</b> [координаты на плане (x,y,z), м = (2249051.0,411876.0,1.0)]									
Режим работы источника:					постоянный				
Продолжительность работы в дневной период (7.00-23.00):					16 час				
Продолжительность работы в ночной период (23.00-7.00):					8 час				
Тип источника шума:									
внешние источники шума									
ГРП									
Пространственный угол излучения, рад.		$\Omega = 6,28$		исходные данные					
Уровень звука L <sub>a</sub> на опорном расстоянии d, дБА		d = 1 м		исходные данные				80 80	
Габариты источника шума, м				исходные данные		длина (l <sub>1</sub> ) = 0,00		ширина (l <sub>2</sub> ) = 0,00      высота (l <sub>3</sub> ) = 0,00	
Эквивалентный (L <sub>WA</sub> ) и максимальный (L <sub>WMax</sub> ) УЗМ источника, дБА		L <sub>WA</sub> = L <sub>a</sub> + 20lg(d) + 10lg(Ω)		исходные данные		0		0 0 0 0 0 0 0 0	
Спектральные поправки K(ΔL <sub>д</sub> ) для разложения общего УЗМ по октавным полосам, дБ		[5]		исходные данные		88		88 88 88 88 88 88 88 88	
Октавные уровни звуковой мощности источника Lw, дБ		Lw = L <sub>WA</sub> + K(ΔL <sub>д</sub> )		исходные данные		88		88 88 88 88 88 88 88 88	







<b>Расчёт отражённого звука</b>														
<b>Мнимый источник ИШ-2_мн.(1), образованный отражением от поверхности препятствия. Отделение шлакоудаления</b>														
Координаты точки отражения (x,y,z), м (2248950,5;4,11743,3;14,7) Дистанция между ИШ и ИШм: R(ИШ-ИШм) = 26,3м Дистанция между ИШм и РТ: R(ИШм-РТ) = 1034,2м														
Кэффициент отражения поверхности р исходные данные														
1 1 1 1 1 1 1 1 1 1 1 1 1 1 1														
Поправка на телесный угол DΩ, дБ Ω = 3,14 10Lg(4πr/Ω)														
Показатель направленности источника Di, дБ исходные данные														
0 0 0 0 0 0 0 0 0 0 0 0 0 0 0														
Поправка на направленность источника Dir, дБ DΩ + Di														
6 6 6 6 6 6 6 6 6 6 6 6 6 6 6														
<b>Уровни звуковой мощности мнимого источника днём, дБ</b>														
0 91,3 86,1 79,1 72,5 69,6 67,7 53,4 44														
<b>Уровни звуковой мощности мнимого источника ночью, дБ</b>														
0 91,3 86,1 79,1 72,5 69,6 67,7 53,4 44														
Затухание из-за геометрической дивергенции, Adiv, дБ ф-ла (7) [10] 71,5														
Кэффициент затухания звука в атмосфере α, дБ/км Та=20,°С Ра=101,33,кПа hотч.=70% ф-ла (5) [9] 0,02 0,09 0,33 1,12 2,79 4,98 9,04 23,09 77,63														
Учет затухания звука в атмосфере Aatm, дБ ф-ла (8) [10] 0 0,1 0,4 1,2 3 5,3 9,6 24,5 82,3														
<b>Снижение уровня звукового давления из-за влияния застройки между источником шума и расчётной точкой</b>														
Длина звуковой волны для среднегеометрической частоты октавной полосы, λ, м 10,79 5,4 2,72 1,36 0,68 0,34 0,17 0,09 0,04														
Критерий наличия экранирования в горизонтальной плоскости Горизонтальный размер экрана,λкр > λ да да да да да да да да да														
Промежуточные точки: Pss(x,y,z) = (2248971,29,4,11737,52,55,00) Psr(x,y,z) = (2248980,00,4,11735,05,55,00) dss = 45,75 м dsr = 1004,91 м z = 25,50 м														
Траектория над экраном														
Константа С2, учитывающая эффект отражения от земли возле экрана 40 40 40 40 40 40 40 40 40														
Константа С3 (дифракция на краях) ф-ла (15) [10] 1 1,1 1,3 1,7 2,4 2,8 2,9 3 3														
Kклет (влияние метеословий) ф-ла (18) [10] 0,6 0,6 0,6 0,6 0,6 0,6 0,6 0,6 0,6														
Снижение УЗД, Dz, дБ ф-ла (14) [10] 18 21,1 24,7 29,1 33,5 37,2 40,4 43,4 46,5														
Промежуточные точки: Pss(x,y,z) = (2248993,77,4,1181,1,98,14,37) Psr(x,y,z) = (2249118,31,4,11790,02,12,77) dss = 81,08 м dsr = 889,61 м e = 126,45 м z = 62,95 м														
Траектория слева от экрана														
Константа С2, учитывающая эффект отражения от земли возле экрана 40 40 40 40 40 40 40 40 40														
Константа С3 (дифракция на краях) ф-ла (15) [10] 2,3 2,8 2,9 3 3 3 3 3 3														
Kклет (влияние метеословий) ф-ла (18) [10] 1 1 1 1 1 1 1 1 1														
Снижение УЗД, Dz, дБ ф-ла (14) [10] 27,3 31,1 34,3 37,4 40,5 43,5 46,5 49,5 52,5														
Промежуточные точки: Pss(x,y,z) = (2248957,45,4,11654,54,14,28) Psr(x,y,z) = (2248957,45,4,11654,54,14,28) dss = 89,05 м dsr = 1007,16 м e = 0,00 м z = 62,01 м														
Траектория справа от экрана														
Константа С2, учитывающая эффект отражения от земли возле экрана 40 40 40 40 40 40 40 40 40														
Константа С3 (дифракция на краях) ф-ла (15) [10] 1 1 1 1 1 1 1 1 1														
Kклет (влияние метеословий) ф-ла (18) [10] 1 1 1 1 1 1 1 1 1														
Снижение УЗД, Dz, дБ ф-ла (14) [10] 23,7 26,7 29,6 32,6 35,6 38,6 41,6 44,7 47,7														
Общее снижение уровня звука препятствием Dz, дБ Эн.сумма(-Dz) 16,5 19,7 23,1 27,1 30,9 34,3 37,4 40,4 43,4														
Общее снижение уровня звука препятствием с учётом ограничения (25 дБ) для октавных полос Dz, дБ Раздел 7.4 [10] 16,5 19,7 23,1 25 25 25 25 25 25														
Критерий наличия отражения в октавной полосе Imin = 10,5 м ф-ла (19) [10] нет нет да да да да да да да														
Уровни звукового давления от мнимого источника ИШ-2_мн.(1) в расчётной точке днём, дБ ф-ла(9) [10] 0 0 0 0 0 0 0 0 0														
Уровни звукового давления от мнимого источника ИШ-2_мн.(1) в расчётной точке ночью, дБ ф-ла(9) [10] 0 0 0 0 0 0 0 0 0														
<b>Уровни звукового давления от источника ИШ-2 в расчётной точке днём, дБ</b>														
Уровни звукового давления от источника ИШ-2 в расчётной точке ночью, дБ ф-ла(9) [10] 0 0 0 0 0 0 0 0 0														
<b>Источник шума: ИШ-3, координаты источника (x,y,z), м = (2248963,10,411715,90,20,00)</b>														
Уровни звуковой мощности источника днём, Lw, дБ исходные данные														
0 96,5 86,1 81,3 74,3 68,9 67,1 51,6 40,8														
Уровни звуковой мощности источника ночью, Ln, дБ исходные данные														
0 96,5 86,1 81,3 74,3 68,9 67,1 51,6 40,8														
Поправка на телесный угол DΩ, дБ Ω = 3,14 10Lg(4πr/Ω) 6 6 6 6 6 6 6 6 6														
Показатель направленности источника Di, дБ исходные данные														
0 0 0 0 0 0 0 0 0														
Поправка на направленность источника Dc, дБ Dc 0 0 0 0 0 0 0 0 0														
Затухание из-за геометрической дивергенции, Adiv, дБ ф-ла (7) [10] 71,5														

Коэффициент затухания звука в атмосфере $\alpha$ , дБ/км	$T_a = 20, ^\circ C$ $P_a = 101.33, \text{кПа}$ $h_{отн.} = 70\%$	Ф-ла (5) [9]	0,02	0,09	0,33	1,12	2,79	4,98	9,04	23,09	77,63
Учет затухания звука в атмосфере $A_{атм}$ , дБ		Ф-ла (8) [10]	0	0,1	0,3	1,1	2,8	5,1	9,2	23,4	78,8
<b>Снижение уровня звукового давления из-за влияния застройки между источником шума и расчетной точкой</b>											
Промежуточные точки: $P_{ss}(x,y,z) = (2248967,25;411714,85;44,00)$ $P_{st}(x,y,z) = (2249054,72;411692,61;44,00)$											
Траектория над экраном	Константа С2, учитывающая эффект отражения от земли возле экрана		dss = 24,38 м	dstr = 921,32 м	e = 90,25 м	z = 20,91 м					
	Константа С3 (дифракция на кровках)		40	40	40	40	40	40	40	40	40
	$K_{мет}$ (влияние метеословий)		2	2,6	2,9	3	3	3	3	3	3
Траектория справа от экрана	Константа С2, учитывающая эффект отражения от земли возле экрана		dss = 22,41 м	dstr = 1009,38 м	e = 0,00 м	z = 16,75 м					
	Константа С3 (дифракция на кровках)		40	40	40	40	40	40	40	40	40
	$K_{мет}$ (влияние метеословий)		1	1	1	1	1	1	1	1	1
Общее снижение уровня звука препятствием Dz, дБ											
Общее снижение уровня звука препятствием с учётом ограничения (25 дБ) для октавных полос Dz, дБ											
Уровни звукового давления прямого звука от источника ИШ-3 в расчётной точке днём, дБ											
Уровни звукового давления прямого звука от источника ИШ-3 в расчётной точке ночью, дБ											
<b>Расчёт отражённого звука</b>											
<b>Мнимый источник ИШ-3_мн.(1), образованный отражением от поверхности препятствия. Отделение шлакоудаления</b>											
Координаты точки отражения (x,y,z), м $(2248946,3;411717,0;19,7)$ Дистанция между ИШ и ИШм: R(ИШ-ИШм) = 16,8м Дистанция между ИШм и РТ: R(ИШм-РТ) = 1031,6м											
Коэффициент отражения поверхности р		исходные данные	1	1	1	1	1	1	1	1	1
Поправка на телесный угол $\Omega$ , дБ	$\Omega = 3,14$	10lg(4 $\pi$ / $\Omega$ )	6	6	6	6	6	6	6	6	6
Показатель направленности источника Di, дБ		исходные данные	0	0	0	0	0	0	0	0	0
Поправка на направленность источника Dir, дБ	Dir	D $\alpha$ + Di	6	6	6	6	6	6	6	6	6
Уровни звуковой мощности мнимого источника днём, дБ		Ф-ла (20)[10]	0	102,5	92,1	87,3	80,3	74,9	73,1	57,6	46,8
Уровни звуковой мощности мнимого источника ночью, дБ		Ф-ла (20)[10]	0	102,5	92,1	87,3	80,3	74,9	73,1	57,6	46,8
Затухание из-за геометрической дивергенции, Adiv, дБ											
Коэффициент затухания звука в атмосфере $\alpha$ , дБ/км $T_a = 20, ^\circ C$ $P_a = 101.33, \text{кПа}$ $h_{отн.} = 70\%$											
Учет затухания звука в атмосфере $A_{атм}$ , дБ		Ф-ла (5) [9]	0,02	0,09	0,33	1,12	2,79	4,98	9,04	23,09	77,63
<b>Снижение уровня звукового давления из-за влияния застройки между источником шума и расчетной точкой</b>											
Промежуточные точки: $P_{ss}(x,y,z) = (2248966,73;411711,92;44,00)$ $P_{st}(x,y,z) = (2249054,25;411689,95;44,00)$											
Траектория над экраном	Константа С2, учитывающая эффект отражения от земли возле экрана		dss = 32,14 м	dstr = 921,13 м	e = 90,23 м	z = 11,92 м					
	Константа С3 (дифракция на кровках)		40	40	40	40	40	40	40	40	40
	$K_{мет}$ (влияние метеословий)		2	2,6	2,9	3	3	3	3	3	3
Траектория справа от экрана	Константа С2, учитывающая эффект отражения от земли возле экрана		dss = 29,13 м	dstr = 1009,37 м	e = 0,00 м	z = 6,93 м					
	Константа С3 (дифракция на кровках)		40	40	40	40	40	40	40	40	40
	$K_{мет}$ (влияние метеословий)		1	1	1	1	1	1	1	1	1
Общее снижение уровня звука препятствием Dz, дБ											
Общее снижение уровня звука препятствием с учётом ограничения (25 дБ) для октавных полос Dz, дБ											
Критерий наличия отражения в октавной полосе											
Уровни звукового давления от мнимого источника ИШ-3_мн.(1) в расчётной точке днём, дБ											
Уровни звукового давления от мнимого источника ИШ-3_мн.(1) в расчётной точке ночью, дБ											



Снижение поверхностью земли возле источника Аs, дБ	G <sub>s</sub> = 0 lis = 20м	-1,5	-1,5	-1,5	-1,5	-1,5	-1,5	-1,5	-1,5	-1,5	-1,5	-1,5	-1,5	-1,5
Снижение поверхностью земли возле приёмника Аг, дБ	G <sub>r</sub> = 0 hr = 1.5м	-1,5	-1,5	-1,5	-1,5	-1,5	-1,5	-1,5	-1,5	-1,5	-1,5	-1,5	-1,5	-1,5
Снижение поверхностью земли в средней зоне, Аm дБ	G <sub>m</sub> = 0	-0,9	-0,9	-0,9	-0,9	-0,9	-0,9	-0,9	-0,9	-0,9	-0,9	-0,9	-0,9	-0,9
Суммарное снижение поверхности земли на траектории распространения звука Агр, дБ		-3,9	-3,9	-3,9	-3,9	-3,9	-3,9	-3,9	-3,9	-3,9	-3,9	-3,9	-3,9	-3,9
Критерий наличия отражения в октавной полосе	l <sub>min</sub> = 26 м	да	да	да	да	да	да	да	да	да	да	да	да	да
Уровни звукового давления от минимума источника ИШ-5_мн.(1) в расчётной точке днём, дБ	Ф-ла(3)[10]	0	36,1	25,5	20	11,5	4,1	0	0	0	0	0	0	16,2
Уровни звукового давления от минимума источника ИШ-5_мн.(1) в расчётной точке ночью, дБ	Ф-ла(3)[10]	0	36,1	25,5	20	11,5	4,1	0	0	0	0	0	0	16,2
<b>Уровни звукового давления от источника ИШ-5 в расчётной точке днём, дБ</b>														
Уровни звукового давления от источника ИШ-5 в расчётной точке ночью, дБ	Ф-ла(3)[10]	0	39,2	28,5	23	14,5	7,1	0	0	0	0	0	0	19,2
<b>Источник шума: ИШ-6, координаты источника (х,у,z), м = [2248965.00,411755.00,3.00]</b>														
Уровни звуковой мощности источника днём, Lw, дБ	исходные данные	0	102	89	87,5	89,9	85,1	83,2	75,1	83,2	75,1	83,2	75,1	62,5
Уровни звуковой мощности источника ночью, Lw, дБ	исходные данные	0	102	89	87,5	89,9	85,1	83,2	75,1	83,2	75,1	83,2	75,1	62,5
Поправка на телесный угол DΩ, дБ	10Lg(4π/Ω)	0	0	0	0	0	0	0	0	0	0	0	0	0
Показатель направленности источника Di, дБ	исходные данные	0	0	0	0	0	0	0	0	0	0	0	0	0
Поправка на направленность источника Dc, дБ	Dc + Di	0	0	0	0	0	0	0	0	0	0	0	0	0
Затухание из-за геометрической дивергенции, Adiv, дБ	φ-ла (7) [10]	<b>71,2</b>												
Кэффициент затухания звука в атмосфере α, дБ/км	расстояние = 1023.38 м Tа=20, °С Pa=101.33, kПа hотн.=70%	0,02	0,09	0,33	1,12	2,79	4,98	9,04	23,09	77,63				
Учет затухания звука в атмосфере Aatm, дБ	φ-ла (8) [10]	0	0,1	0,3	1,2	2,9	5,1	9,3	23,6	79,4				
<b>Снижение уровня звукового давления из-за влияния застройки между источником шума и расчётной точкой</b>														
Длина звуковой волны для среднегеометрической частоты октавной полосы, λ, м	10,79	5,4	2,72	1,36	0,68	0,34	0,17	0,09	0,04					
Критерий наличия экранирования в горизонтальной плоскости	экран > λ	да	да	да	да	да	да	да	да	да	да	да	да	да
Промежуточные точки:	Pss(x,y,z) = (2248982.82,411749.75,51.00) Горизонтальный размер экрана, Экран = 161.20 м	dss = 51.47 м	dSr = 933.67 м	e = 72.45 м	z = 34.21 м									
Траектория над экраном	Константа С2, учитывающая эффект отражения от земли возле экрана Константа С3 (дифракция на краяхах) K <sub>клет</sub> (влияние метеослоев)	40	40	40	40	40	40	40	40	40	40	40	40	40
	φ-ла (15) [10]	1,8	2,4	2,8	2,9	3	3	3	3	3	3	3	3	3
	φ-ла (18) [10]	0,7	0,7	0,7	0,7	0,7	0,7	0,7	0,7	0,7	0,7	0,7	0,7	0,7
	φ-ла (14) [10]	21,7	26,1	29,7	32,9	36	39	42	45	48				
Промежуточные точки:	Рss(x,y,z) = (2248993.77,411811.88,2.98) Psr(x,y,z) = (22489290.07,411736.60,2.54) Константа С2, учитывающая эффект отражения от земли возле экрана	dss = 63.74 м	dSr = 710.24 м	e = 305.71 м	z = 56.31 м									
Траектория слева от экрана	Константа С2 (дифракция на краяхах) K <sub>клет</sub> (влияние метеослоев)	2,8	3	3	3	3	3	3	3	3	3	3	3	3
	φ-ла (15) [10]	1	1	1	1	1	1	1	1	1	1	1	1	1
	φ-ла (18) [10]	27,7	30,9	33,9	37	40	43	46	49	52				
Промежуточные точки:	Pss(x,y,z) = (2248957.45,411654.53,2.97) Psr(x,y,z) = (2248957.45,411654.53,2.97) Константа С2, учитывающая эффект отражения от земли возле экрана	dss = 100.75 м	dSr = 1007.08 м	e = 0.00 м	z = 84.44 м									
Траектория справа от экрана	Константа С2 (дифракция на краяхах) K <sub>клет</sub> (влияние метеослоев)	40	40	40	40	40	40	40	40	40	40	40	40	40
	φ-ла (15) [10]	1	1	1	1	1	1	1	1	1	1	1	1	1
	φ-ла (18) [10]	1	1	1	1	1	1	1	1	1	1	1	1	1
	φ-ла (14) [10]	25	28	31	34	37	40	43	46	49				
Общее снижение уровня звука препятствием Dz, дБ	Эксп-мне(-Dz)	19,4	23,1	26,4	29,5	32,6	35,6	38,6	41,6	44,6				
Общее снижение уровня звука препятствием с учётом ограничения (25 дБ) для октавных полос Dz, дБ	Раздел 7.4 [10]	19,4	23,1	25	25	25	25	25	25	25				
Уровни звукового давления прямого звука от источника ИШ-6 в расчётной точке днём, дБ	Ф-ла(3)[10]	0	7,6	0	0	0	0	0	0	0	0	0	0	0
Уровни звукового давления прямого звука от источника ИШ-6 в расчётной точке ночью, дБ	Ф-ла(3)[10]	0	7,6	0	0	0	0	0	0	0	0	0	0	0
<b>Расчёт отражённого звука</b>														
<b>Минимый источник ИШ-6_мн.(1), образованный отражением от поверхности препятствия Экран-1</b>														
Координаты точки отражения (х,у,z), м	(2248915.9,411758.6,2.9)													
Кэффициент отражения поверхности р	исходные данные	1	1	1	1	1	1	1	1	1	1	1	1	1
Дистанция между ИШ и ИШм: R(ИШ-ИШм) = 49.2м Дистанция между ИШм и РТ: R(ИШм-РТ) = 1071.5м														



<b>Расчёт отражённого звука</b>										
<b>Мнимый источник ИШ-7_мн.(1), образованный отражением от поверхности препятствия. Отделение шлакоудаления</b>										
Координаты точки отражения (x,y,z), м		Дистанция между ИШ и ИШм: R(ИШ-ИШм) = 24.6м Дистанция между ИШм и РТ: R(ИШм-РТ) = 1038.8м								
Коэффициент отражения поверхности р		исходные данные								
Поправка на телесный угол DΩ, дБ		1	1	1	1	1	1	1	1	1
Показатель направленности источника Di, дБ		6	6	6	6	6	6	6	6	6
Поправка на направленность источника Dir, дБ		0	0	0	0	0	0	0	0	0
Уровни звуковой мощности мнимого источника днём, дБ		6	6	6	6	6	6	6	6	6
Уровни звуковой мощности мнимого источника ночью, дБ		0	97,9	93,4	88,3	79,1	73,4	69,5	53,8	42,8
Затухание из-за геометрической дивергенции, Adiv, дБ		71,5								
Коэффициент затухания звука в атмосфере α, дБ/км		0,02	0,09	0,33	1,12	2,79	4,98	9,04	23,09	77,63
Учет затухания звука в атмосфере Aatm, дБ		0	0,1	0,4	1,2	3	5,3	9,6	24,5	82,6
<b>Снижение уровня звукового давления из-за влияния застройки между источником шума и расчётной точкой</b>										
Промежуточные точки:		Pss(x,y,z) = (2248986.13,411768.51,51.00) Pst(x,y,z) = (2249055.39,411746.69,51.00)								
Траектория над экраном		Константа С2, учитывающая эффект отражения от земли возле экрана								
Константа С3 (дифракция на краях)		dss = 48.14 м	dSt = 89.5	dSr = 935.80 м	e = 72.62 м	z = 17.77 м				
Kклет (влияние метеослоев)		40	40	40	40	40	40	40	40	40
Снижение УЗД, Dz, дБ		1,8	2,4	2,8	2,9	3	3	3	3	3
Промежуточные точки:		Pss(x,y,z) = (2248993.77,411811.88,14.36) Pst(x,y,z) = (2249118.31,411790.02,12.77)								
Траектория слева от экрана		Константа С2, учитывающая эффект отражения от земли возле экрана								
Константа С3 (дифракция на краях)		2,3	2,8	2,9	3	3	3	3	3	3
Kклет (влияние метеослоев)		1	1	1	1	1	1	1	1	1
Снижение УЗД, Dz, дБ		23,8	27,6	30,8	33,9	36,9	40	43	46	49
Общее снижение уровня звука препятствием Dz, дБ		17,2	21,4	24,9	28,1	31,1	34,2	37,2	40,2	43,2
Общее снижение уровня звука препятствием с учётом ограничения (25 дБ) для октавных полос Dz, дБ		17,2	21,4	24,9	25	25	25	25	25	25
Критерий наличия отражения в октавной полосе		lmin = 10.5 м								
Уровни звукового давления от мнимого источника ИШ-7_мн.(1) в расчётной точке днём, дБ		Ф-ла(3)[10]								
Уровни звукового давления от мнимого источника ИШ-7_мн.(1) в расчётной точке ночью, дБ		Ф-ла(3)[10]								
Уровни звукового давления от источника ИШ-7 в расчётной точке днём, дБ		Ф-ла(3)[10]								
Уровни звукового давления от источника ИШ-7 в расчётной точке ночью, дБ		Ф-ла(3)[10]								
<b>Источник шума: ИШ-8, координаты источника (x,y,z), м = [2249022.70,411809.30,15.00]</b>										
Уровни звуковой мощности источника днём, Lw, дБ		исходные данные								
Уровни звуковой мощности источника ночью, Lw, дБ		исходные данные								
Поправка на телесный угол DΩ, дБ		0	94	89,5	84,4	75,2	69,5	65,5	49,8	38,8
Показатель направленности источника Di, дБ		6	6	6	6	6	6	6	6	6
Поправка на направленность источника Ds, дБ		0	0	0	0	0	0	0	0	0
Затухание из-за геометрической дивергенции, Adiv, дБ		Ds								
Коэффициент затухания звука в атмосфере α, дБ/км		расстояние = 985.84 м								
Учет затухания звука в атмосфере Aatm, дБ		0,02	0,09	0,33	1,12	2,79	4,98	9,04	23,09	77,63
Учет затухания звука в атмосфере Aatm, дБ		0	0,1	0,3	1,1	2,8	4,9	8,9	22,8	76,5
<b>Снижение уровня звукового давления из-за влияния застройки между источником шума и расчётной точкой</b>										
Промежуточные точки:		Pss(x,y,z) = (2249035.62,411804.50,33.00) Pst(x,y,z) = (2249115.62,411774.77,33.50)								
Траектория над экраном		Константа С2, учитывающая эффект отражения от земли возле экрана								
Константа С3 (дифракция на краях)		dss = 22.67 м	dSt = 88.7	dSr = 887.20 м	e = 85.34 м	z = 9.37 м				
Kклет (влияние метеослоев)		40	40	40	40	40	40	40	40	40
Снижение УЗД, Dz, дБ		1,9	2,5	2,9	3	3	3	3	3	3
Общее снижение уровня звука препятствием Dz, дБ		0,6	0,6	0,6	0,6	0,6	0,6	0,6	0,6	0,6
Общее снижение уровня звука препятствием с учётом ограничения (25 дБ) для октавных полос Dz, дБ		16,3	20,4	23,8	26,9	30	33	36	39	42

Промежуточные точки:	$P_{ss}(x,y,z) = (2249118.31, 411790.02, 13.68)$	$P_{sr}(x,y,z) = (2249118.31, 411790.02, 13.68)$	$dss = 97,54$ м	$dstr = 889,63$ м	$e = 0,00$ м	$z = 1,33$ м
Траектория слева от экрана	Константа С2, учитывающая эффект отражения от земли возле экрана		40	40	40	40
	Константа С3 (дифракция на краях)	Ф-ла (15) [10]	1	1	1	1
	Крит. (влияние метеословий)	Ф-ла (8) [10]	1	1	1	1
	Снижение УЗД, Дз, ДБ	Ф-ла (14) [10]	9	13,5	19,1	22
Общее снижение уровня звука препятствием Дз, ДБ	Эл. сумма (Dz)	8,2	10,6	13,1	15,9	18,7
Общее снижение уровня звука препятствием с учётом ограничения (25 ДБ) для октавных полос Дз, ДБ	Раздел 7.4 [10]	8,2	10,6	13,1	15,9	18,7
Уровни звукового давления от источника ИШ-8 в расчётной точке днём, ДБ	Ф-ла(3)[10]	0	18,5	11,2	2,6	0
Уровни звукового давления от источника ИШ-8 в расчётной точке ночью, ДБ	Ф-ла(3)[10]	0	18,5	11,2	2,6	0
Источник шума: ИШ-9, координаты источника (x,y,z), м = [2249113.80, 411760.10, 25.00]						
Уровни звуковой мощности источника днём, Lw, ДБ	исходные данные	0	87,2	82,6	77,5	68,3
Уровни звуковой мощности источника ночью, Lw, ДБ	исходные данные	0	87,2	82,6	77,5	68,3
Поправка на телесный угол DΩ, ДБ	$10 \lg(4\pi/S_2)$	6	6	6	6	6
Показатель направленности источника Di, ДБ	исходные данные	0	0	0	0	0
Поправка на направленность источника Dc, ДБ	Dc + Di	6	6	6	6	6
Затухание из-за геометрической дивергенции, Adiv, ДБ	расстояние = 883.64 м					
Коэффициент затухания звука в атмосфере α, ДБ/км	$T_a = 20, ^\circ C$ Pa=101.33, kPa потн.=70%	0,02	0,09	0,33	1,12	2,79
Учет затухания звука в атмосфере Aatm, ДБ		0	0,1	0,3	1	2,5
Снижение поверхностью земли возле источника As, ДБ	$G_s = 0$ h= 25м	-1,5	-1,5	-1,5	-1,5	-1,5
Снижение поверхностью земли возле приёмника Ar, ДБ	$G_r = 0$ h= 1.5м	-1,5	-1,5	-1,5	-1,5	-1,5
Снижение поверхностью земли в средней зоне, Am, ДБ	$G_m = 0$	-0,3	-0,3	-0,3	-0,3	-0,3
Суммарное снижение поверхности земли на траектории распространения звука Agr, ДБ	Ф-ла(9) [10]	-3,3	-3,3	-3,3	-3,3	-3,3
Уровни звукового давления прямого звука от источника ИШ-9 в расчётной точке днём, ДБ	Ф-ла(3)[10]	0	26,5	21,7	15,9	5,2
Уровни звукового давления прямого звука от источника ИШ-9 в расчётной точке ночью, ДБ	Ф-ла(3)[10]	0	26,5	21,7	15,9	5,2
Расчёт отражённого звука						
<b>Минимальный источник ИШ-9_мн.(1), образованный отражением от поверхности препятствия Турбинное отделение</b>						
Координаты точки отражения (x,y,z), м	(2249113.1, 411760.1, 25.0)	Дистанция между ИШ и ИШм: R(ИШ-ИШм) = 0.7м	Дистанция между ИШм и РТ: R(ИШм-РТ) = 884.3м			
Коэффициент отражения поверхности p	исходные данные	1	1	1	1	1
Поправка на телесный угол DΩ, ДБ	$10 \lg(4\pi/S_2)$	6	6	6	6	6
Показатель направленности источника Di, ДБ	исходные данные	0	0	0	0	0
Поправка на направленность источника Dir, ДБ	Dir	6	6	6	6	6
Уровни звуковой мощности минного источника днём, ДБ	Ф-ла (20)[10]	0	93,2	88,6	83,5	74,3
Уровни звуковой мощности минного источника ночью, ДБ	Ф-ла (20)[10]	0	93,2	88,6	83,5	74,3
Затухание из-за геометрической дивергенции, Adiv, ДБ	расстояние = 884.94 м					
Коэффициент затухания звука в атмосфере α, ДБ/км	$T_a = 20, ^\circ C$ Pa=101.33, kPa потн.=70%	0,02	0,09	0,33	1,12	2,79
Учет затухания звука в атмосфере Aatm, ДБ		0	0,1	0,3	1	2,5
Снижение поверхностью земли возле источника As, ДБ	$G_s = 0$ h= 25м	-1,5	-1,5	-1,5	-1,5	-1,5
Снижение поверхностью земли возле приёмника Ar, ДБ	$G_r = 0$ h= 1.5м	-1,5	-1,5	-1,5	-1,5	-1,5
Снижение поверхностью земли в средней зоне, Am, ДБ	$G_m = 0$	-0,3	-0,3	-0,3	-0,3	-0,3
Суммарное снижение поверхности земли на траектории распространения звука Agr, ДБ	Ф-ла(9) [10]	-3,3	-3,3	-3,3	-3,3	-3,3
Уровни звукового давления отражения в октавной полосе	Ф-ла (19)[10]	да	да	да	да	да
Критерий наличия отражения в октавной полосе	$I_{min} = 33.5$ м	да	да	да	да	да
Уровни звукового давления от минного источника ИШ-9_мн.(1) в расчётной точке днём, ДБ	Ф-ла(3)[10]	0	26,5	21,7	15,9	5,2
Уровни звукового давления от минного источника ИШ-9_мн.(1) в расчётной точке ночью, ДБ	Ф-ла(3)[10]	0	26,5	21,7	15,9	5,2
Уровни звукового давления от источника ИШ-9 в расчётной точке днём, ДБ	Ф-ла(3)[10]	0	29,5	24,7	18,9	8,2
Уровни звукового давления от источника ИШ-9 в расчётной точке ночью, ДБ	Ф-ла(3)[10]	0	29,5	24,7	18,9	8,2



<b>Источник шума: ИШ-10, координаты источника (х,у,z), м = [2249035.70,411841.40,98.00]</b>												
Уровни звуковой мощности источника днём, Лw, дБ	исходные данные											
Уровни звуковой мощности источника ночью, Лw, дБ	исходные данные											
Поправка на телесный угол D $\Omega$ , дБ	$\Omega = 12.57$											
Показатель направленности источника Di, дБ	угол разности = 95.6 °											
Поправка на направленности источника Dc, дБ	Dc											
Затухание из-за геометрической дивергенции, Adiv, дБ	расстояние = 990.07 м											
Коэффициент затухания звука в атмосфере $\alpha$ , дБ/км	T $\alpha$ = 20 ° C Pa = 101.33 кПа h $\alpha$ пот. = 70%											
Учет затухания звука в атмосфере Aatm, дБ	Ф-ла (5) [9]											
Снижение поверхностью земли возле источника As, дБ	Ф-ла (8) [10]											
Снижение поверхностью земли возле приёмника Ar, дБ	Ф-лы таб.3 [10]											
Снижение поверхностью земли в средней зоне, Am, дБ	Gr = 0 h $\alpha$ = 98м											
Суммарное снижение поверхностью земли на траектории распространения звука Agr, дБ	Gr = 0 h $\alpha$ = 1.5м											
Уровни звукового давления от источника ИШ-10 в расчётной точке днём, дБ	Gm = 0											
Уровни звукового давления от источника ИШ-10 в расчётной точке ночью, дБ	Ф-ла (9) [10]											
Источник шума: ИШ-11, координаты источника (х,у,z), м = [2249087.30,411800.70,10.00]	Ф-ла(3)[10]											
Уровни звуковой мощности источника днём, Лw, дБ	исходные данные											
Уровни звуковой мощности источника ночью, Лw, дБ	исходные данные											
Поправка на телесный угол D $\Omega$ , дБ	$\Omega = 3.14$											
Показатель направленности источника Di, дБ	Dc											
Поправка на направленности источника Dc, дБ	расстояние = 922.35 м											
Затухание из-за геометрической дивергенции, Adiv, дБ	T $\alpha$ = 20 ° C Pa = 101.33 кПа h $\alpha$ пот. = 70%											
Коэффициент затухания звука в атмосфере $\alpha$ , дБ/км	Ф-ла (5) [9]											
Учет затухания звука в атмосфере Aatm, дБ	Ф-ла (8) [10]											
<b>Снижение уровня звукового давления из-за влияния застройки между источником шума и расчётной точкой</b>												
Траектория над экраном	Промежуточные точки: P $_{ss}(x,y,z)$ = (2249111.74,411791.18,33.50) P $_{sr}(x,y,z)$ = (2249118.08,411788.71,33.50)											
	Константа C $_z$ , учитывающая эффект отражения от земли возле экрана											
	Константа C $_3$ (дифракция на краяхах)											
	K $_{мет}$ (влияние метеословий)											
	Снижение УЗД, Dz, дБ											
Траектория слева от экрана	Промежуточные точки: P $_{ss}(x,y,z)$ = (2249118.31,411790.02,9.70) P $_{sr}(x,y,z)$ = (2249118.31,411790.02,9.70)											
	Константа C $_z$ , учитывающая эффект отражения от земли возле экрана											
	Константа C $_3$ (дифракция на краяхах)											
	K $_{мет}$ (влияние метеословий)											
	Снижение УЗД, Dz, дБ											
Общее снижение уровня звука препятствием Dz, дБ	Ф-ла (15) [10]											
Уровни звукового давления от источника ИШ-11 в расчётной точке днём, дБ	Ф-ла (18) [10]											
Уровни звукового давления от источника ИШ-11 в расчётной точке ночью, дБ	Ф-ла (14) [10]											
Источник шума: ИШ-12, координаты источника (х,у,z), м = [2249080.40,411721.80,10.00]	Эн. сумма (Dz)											
Уровни звуковой мощности источника днём, Лw, дБ	Ф-ла(3)[10]											
Уровни звуковой мощности источника ночью, Лw, дБ	Ф-ла(3)[10]											
Поправка на телесный угол D $\Omega$ , дБ	$\Omega = 3.14$											
Показатель направленности источника Di, дБ	Dc											
Поправка на направленности источника Dc, дБ	расстояние = 903.35 м											
Затухание из-за геометрической дивергенции, Adiv, дБ	Ф-ла (7) [10]											
<b>Источник шума: ИШ-10, координаты источника (х,у,z), м = [2249035.70,411841.40,98.00]</b>												
Уровни звуковой мощности источника днём, Лw, дБ	исходные данные											
Уровни звуковой мощности источника ночью, Лw, дБ	исходные данные											
Поправка на телесный угол D $\Omega$ , дБ	$\Omega = 12.57$											
Показатель направленности источника Di, дБ	угол разности = 95.6 °											
Поправка на направленности источника Dc, дБ	Dc											
Затухание из-за геометрической дивергенции, Adiv, дБ	расстояние = 990.07 м											
Коэффициент затухания звука в атмосфере $\alpha$ , дБ/км	T $\alpha$ = 20 ° C Pa = 101.33 кПа h $\alpha$ пот. = 70%											
Учет затухания звука в атмосфере Aatm, дБ	Ф-ла (5) [9]											
Снижение поверхностью земли возле источника As, дБ	Ф-ла (8) [10]											
Снижение поверхностью земли возле приёмника Ar, дБ	Ф-лы таб.3 [10]											
Снижение поверхностью земли в средней зоне, Am, дБ	Gr = 0 h $\alpha$ = 98м											
Суммарное снижение поверхностью земли на траектории распространения звука Agr, дБ	Gr = 0 h $\alpha$ = 1.5м											
Уровни звукового давления от источника ИШ-10 в расчётной точке днём, дБ	Gm = 0											
Уровни звукового давления от источника ИШ-10 в расчётной точке ночью, дБ	Ф-ла (9) [10]											
Источник шума: ИШ-11, координаты источника (х,у,z), м = [2249087.30,411800.70,10.00]	Ф-ла(3)[10]											
Уровни звуковой мощности источника днём, Лw, дБ	исходные данные											
Уровни звуковой мощности источника ночью, Лw, дБ	исходные данные											
Поправка на телесный угол D $\Omega$ , дБ	$\Omega = 3.14$											
Показатель направленности источника Di, дБ	Dc											
Поправка на направленности источника Dc, дБ	расстояние = 922.35 м											
Затухание из-за геометрической дивергенции, Adiv, дБ	T $\alpha$ = 20 ° C Pa = 101.33 кПа h $\alpha$ пот. = 70%											
Коэффициент затухания звука в атмосфере $\alpha$ , дБ/км	Ф-ла (5) [9]											
Учет затухания звука в атмосфере Aatm, дБ	Ф-ла (8) [10]											
<b>Снижение уровня звукового давления из-за влияния застройки между источником шума и расчётной точкой</b>												
Траектория над экраном	Промежуточные точки: P $_{ss}(x,y,z)$ = (2249111.74,411791.18,33.50) P $_{sr}(x,y,z)$ = (2249118.08,411788.71,33.50)											
	Константа C $_z$ , учитывающая эффект отражения от земли возле экрана											
	Константа C $_3$ (дифракция на краяхах)											
	K $_{мет}$ (влияние метеословий)											
	Снижение УЗД, Dz, дБ											
Траектория слева от экрана	Промежуточные точки: P $_{ss}(x,y,z)$ = (2249118.31,411790.02,9.70) P $_{sr}(x,y,z)$ = (2249118.31,411790.02,9.70)											
	Константа C $_z$ , учитывающая эффект отражения от земли возле экрана											
	Константа C $_3$ (дифракция на краяхах)											
	K $_{мет}$ (влияние метеословий)											
	Снижение УЗД, Dz, дБ											
Общее снижение уровня звука препятствием Dz, дБ	Ф-ла (15) [10]											
Уровни звукового давления от источника ИШ-11 в расчётной точке днём, дБ	Ф-ла (18) [10]											
Уровни звукового давления от источника ИШ-11 в расчётной точке ночью, дБ	Ф-ла (14) [10]											
Источник шума: ИШ-12, координаты источника (х,у,z), м = [2249080.40,411721.80,10.00]	Эн. сумма (Dz)											
Уровни звуковой мощности источника днём, Лw, дБ	Ф-ла(3)[10]											
Уровни звуковой мощности источника ночью, Лw, дБ	Ф-ла(3)[10]											
Поправка на телесный угол D $\Omega$ , дБ	$\Omega = 3.14$											
Показатель направленности источника Di, дБ	Dc											
Поправка на направленности источника Dc, дБ	расстояние = 903.35 м											
Затухание из-за геометрической дивергенции, Adiv, дБ	Ф-ла (7) [10]											

Коэффициент затухания звука в атмосфере $\alpha$ , дБ/км	$T_a=20, ^\circ C$ $P_{atm}=101.33, \text{кПа}$ $h_{отн.}=70\%$	0,02	0,09	0,33	1,12	2,79	4,98	9,04	23,09	77,63
Учет затухания звука в атмосфере $A_{atm}$ , дБ		0	0,1	0,3	1	2,5	4,5	8,2	20,9	70,1
Снижение поверхностью земли возле источника $A_s$ , дБ	$G_s = 0 \text{ лс} = 10\text{м}$	-1,5	-1,5	-1,5	-1,5	-1,5	-1,5	-1,5	-1,5	-1,5
Снижение поверхностью земли возле приёмника $A_r$ , дБ	$G_r = 0 \text{ лс} = 1,5\text{м}$	-1,5	-1,5	-1,5	-1,5	-1,5	-1,5	-1,5	-1,5	-1,5
Снижение поверхностью земли в средней зоне, $A_m$ дБ	$G_m = 0$	-1,9	-1,9	-1,9	-1,9	-1,9	-1,9	-1,9	-1,9	-1,9
Суммарное снижение поверхности земли на траектории распространения звука $A_{gr}$ , дБ		-4,9	-4,9	-4,9	-4,9	-4,9	-4,9	-4,9	-4,9	-4,9
Уровни звукового давления прямого звука от источника ИШ-12 в расчётной точке днём, дБ		0	25	20,7	15	5,2	0	0	0	9,8
Уровни звукового давления прямого звука от источника ИШ-12 в расчётной точке ночью, дБ		0	25	20,7	15	5,2	0	0	0	9,8
<b>Расчёт отражённого звука</b>										
<b>Мнимый источник ИШ-12_мн.(1), образованный отражением от поверхности препятствия Турбинное отделение</b>										
Координаты точки отражения (x,y,z), м (2245905,6;411720,8;9,9)										
Коэффициент отражения поверхности $\rho$	исходные данные	1	1	1	1	1	1	1	1	1
Поправка на телесный угол $D\Omega$ , дБ	$\Omega = 3.14$	6	6	6	6	6	6	6	6	6
Показатель направленности источника $D_i$ , дБ	исходные данные	0	0	0	0	0	0	0	0	0
Поправка на направленность источника $D_{ir}$ , дБ	$D\Omega + D_i$	6	6	6	6	6	6	6	6	6
Уровни звуковой мощности мнимого источника днём, дБ		0	90,3	86,2	81,3	73	69,3	72,4	57,6	47
Уровни звуковой мощности мнимого источника ночью, дБ		0	90,3	86,2	81,3	73	69,3	72,4	57,6	47
Затухание из-за геометрической дивергенции, $A_{div}$ , дБ	расстояние = 903,73 м					70,1				
Коэффициент затухания звука в атмосфере $\alpha$ , дБ/км	$T_a=20, ^\circ C$ $P_{atm}=101.33, \text{кПа}$ $h_{отн.}=70\%$	0,02	0,09	0,33	1,12	2,79	4,98	9,04	23,09	77,63
Учет затухания звука в атмосфере $A_{atm}$ , дБ		0	0,1	0,3	1	2,5	4,5	8,2	20,9	70,2
Снижение поверхностью земли возле источника $A_s$ , дБ	$G_s = 0 \text{ лс} = 10\text{м}$	-1,5	-1,5	-1,5	-1,5	-1,5	-1,5	-1,5	-1,5	-1,5
Снижение поверхностью земли возле приёмника $A_r$ , дБ	$G_r = 0 \text{ лс} = 1,5\text{м}$	-1,5	-1,5	-1,5	-1,5	-1,5	-1,5	-1,5	-1,5	-1,5
Снижение поверхностью земли в средней зоне, $A_m$ дБ	$G_m = 0$	-1,8	-1,8	-1,8	-1,8	-1,8	-1,8	-1,8	-1,8	-1,8
Суммарное снижение поверхностью земли на траектории распространения звука $A_{gr}$ , дБ		-4,8	-4,8	-4,8	-4,8	-4,8	-4,8	-4,8	-4,8	-4,8
Критерий наличия отражения в октавной полосе	$l_{min} = 33,5 \text{ м}$	да	да	да	да	да	да	да	да	да
Уровни звукового давления от мнимого источника ИШ-12_мн.(1) в расчётной точке днём, дБ		0	25	20,6	15	5,2	0	0	0	9,8
Уровни звукового давления от мнимого источника ИШ-12_мн.(1) в расчётной точке ночью, дБ		0	25	20,6	15	5,2	0	0	0	9,8
<b>Мнимый источник ИШ-12_мн.(2), образованный отражением от поверхности препятствия Экран 20</b>										
Координаты точки отражения (x,y,z), м (2245907,3;411722,3;9,9)										
Коэффициент отражения поверхности $\rho$	исходные данные	1	1	1	1	1	1	1	1	1
Поправка на телесный угол $D\Omega$ , дБ	$\Omega = 3.14$	6	6	6	6	6	6	6	6	6
Показатель направленности источника $D_i$ , дБ	исходные данные	0	0	0	0	0	0	0	0	0
Поправка на направленность источника $D_{ir}$ , дБ	$D\Omega + D_i$	6	6	6	6	6	6	6	6	6
Уровни звуковой мощности мнимого источника днём, дБ		0	90,3	86,2	81,3	73	69,3	72,4	57,6	47
Уровни звуковой мощности мнимого источника ночью, дБ		0	90,3	86,2	81,3	73	69,3	72,4	57,6	47
Затухание из-за геометрической дивергенции, $A_{div}$ , дБ	расстояние = 917,79 м					70,3				
Коэффициент затухания звука в атмосфере $\alpha$ , дБ/км	$T_a=20, ^\circ C$ $P_{atm}=101.33, \text{кПа}$ $h_{отн.}=70\%$	0,02	0,09	0,33	1,12	2,79	4,98	9,04	23,09	77,63
Учет затухания звука в атмосфере $A_{atm}$ , дБ		0	0,1	0,3	1	2,6	4,6	8,3	21,2	71,3
Снижение поверхностью земли возле источника $A_s$ , дБ	$G_s = 0 \text{ лс} = 10\text{м}$	-1,5	-1,5	-1,5	-1,5	-1,5	-1,5	-1,5	-1,5	-1,5
Снижение поверхностью земли возле приёмника $A_r$ , дБ	$G_r = 0 \text{ лс} = 1,5\text{м}$	-1,5	-1,5	-1,5	-1,5	-1,5	-1,5	-1,5	-1,5	-1,5
Снижение поверхностью земли в средней зоне, $A_m$ дБ	$G_m = 0$	-1,9	-1,9	-1,9	-1,9	-1,9	-1,9	-1,9	-1,9	-1,9
Суммарное снижение поверхностью земли на траектории распространения звука $A_{gr}$ , дБ		-4,9	-4,9	-4,9	-4,9	-4,9	-4,9	-4,9	-4,9	-4,9
Критерий наличия отражения в октавной полосе	$l_{min} = 26 \text{ м}$	да	да	да	да	да	да	да	да	да
Уровни звукового давления от мнимого источника ИШ-12_мн.(2) в расчётной точке днём, дБ		0	24,8	20,5	14,9	5,1	0	0	0	9,7
Уровни звукового давления от мнимого источника ИШ-12_мн.(2) в расчётной точке ночью, дБ		0	24,8	20,5	14,9	5,1	0	0	0	9,7





Затухание из-за геометрической дивергенции, $A_{div}$ , ДБ		Ф-ла (7) [10]		70,2								
Кoeffициент затухания звука в атмосфере $\alpha$ , ДБ/км		Ф-ла (5) [9]		0,02	0,09	0,33	1,12	2,79	4,98	9,04	23,09	77,63
Учет затухания звука в атмосфере $A_{atm}$ , ДБ		Ф-ла (8) [10]		0	0,1	0,3	1	2,6	4,6	8,3	21,1	71,1
<b>Снижение уровня звукового давления из-за влияния застройки между источником шума и расчетной точкой</b>												
Промежуточные точки:		$P_{s(x,y,z)} = (2249140,68; 411843,20; 8,00)$		$d_{ss} = 18,19$ м		$d_{st} = 889,78$ м		$e = 0,21$ м				
Траектория над экраном		Константа $C_2$ , учитывающая эффект отражения от земли возле экрана		40		40		40				
		Константа $C_3$ (дифракция на краяхах)		1		1		1				
		$K_{мет}$ (влияние метеослоев)		0,3		0,3		0,3				
		Снижение $U_{эд}$ , Дз, дБ		6		7		8,5				
		Общее снижение уровня звука препятствием с учётом ограничения (20 ДБ) для октавных полос $Dz$ , ДБ		6		7		8,5				
		Критерий наличия отражения в октавной полосе		нет		да		да				
		Уровни звукового давления от мнимого источника ИШ-14_мн.(2) в расчётной точке днём, ДБ		0		0		16,3				
		Уровни звукового давления от мнимого источника ИШ-14_мн.(2) в расчётной точке ночью, ДБ		0		0		16,3				
<b>Суммарные уровни звукового давления от мнимых источников в расчётной точке днём, ДБ</b>												
		Суммарные уровни звукового давления от мнимых источников в расчётной точке ночью, ДБ		0		0		16,3				
<b>Уровни звукового давления от источника ИШ-14 в расчётной точке днём, ДБ</b>												
		Уровни звукового давления от источника ИШ-14 в расчётной точке ночью, ДБ		0		20,1		21				
<b>Уровни звукового давления от источника ИШ-14 в расчётной точке ночью, ДБ</b>												
		Источник шума: ИШ-15, координаты источника (x,y,z), м = [2249071,70;411856,80;2,00]		0		20,1		21				
<b>Уровни звуковой мощности источника днём, Lw, ДБ</b>												
		исходные данные		0		93,2		91,2				
		исходные данные		0		93,2		91,2				
		Поправка на телесный угол $D\Omega$ , ДБ		3		3		3				
		Показатель направленности источника $D_i$ , ДБ		0		0		0				
		Поправка на направленность источника $D_c$ , ДБ		3		3		3				
		Затухание из-за геометрической дивергенции, $A_{div}$ , ДБ		расстояние = 958,35 м		расстояние = 958,35 м		расстояние = 958,35 м				
		Кoeffициент затухания звука в атмосфере $\alpha$ , ДБ/км		Ta=20, °C Pa=101,33, kPa $\rho_{отп.} = 70\%$		Ta=20, °C Pa=101,33, kPa $\rho_{отп.} = 70\%$		Ta=20, °C Pa=101,33, kPa $\rho_{отп.} = 70\%$				
<b>Учет затухания звука в атмосфере <math>A_{atm}</math>, ДБ</b>												
<b>Снижение уровня звукового давления из-за влияния застройки между источником шума и расчетной точкой</b>												
Промежуточные точки:		$P_{s(x,y,z)} = (2249094,04; 411846,82; 8,00)$		$d_{ss} = 25,19$ м		$d_{st} = 885,60$ м		$e = 48,30$ м				
Траектория над экраном		Константа $C_2$ , учитывающая эффект отражения от земли возле экрана		40		40		40				
		Константа $C_3$ (дифракция на краяхах)		1,4		2		2,6				
		$K_{мет}$ (влияние метеослоев)		0,2		0,2		0,2				
		Снижение $U_{эд}$ , Дз, дБ		5,6		6,7		8,7				
		Общее снижение уровня звука препятствием с учётом ограничения (25 ДБ) для октавных полос $Dz$ , ДБ		5,6		6,7		8,7				
		Уровни звукового давления прямого звука от источника ИШ-15 в расчётной точке днём, ДБ		0		18,8		16,7				
		Уровни звукового давления прямого звука от источника ИШ-15 в расчётной точке ночью, ДБ		0		18,8		16,7				
<b>Расчёт отражённого звука</b>												
<b>Мнимый источник ИШ-15_мн.(1), образованный отражением от поверхности препятствия Экран-3</b>												
Координаты точки отражения (x,y,z), м		(2249058,0;411855,6;2,0)		Дистанция между ИШ и ИШм: $R(ИШ-ИШм) = 13,7$ м		Дистанция между ИШм и ИШ: $R(ИШм-ИШ) = 970,4$ м		Дистанция между ИШм и ИШ: $R(ИШм-ИШ) = 970,4$ м				
Кoeffициент отражения поверхности $\rho$		исходные данные		0,8		0,8		0,8				
Поправка на телесный угол $D\Omega$ , ДБ		исходные данные		3		3		3				
Показатель направленности источника $D_i$ , ДБ		исходные данные		0		0		0				
Поправка на направленность источника $D_{igr}$ , ДБ		исходные данные		3		3		3				
		Ф-ла [20] [10]		0		95,2		93,2				
		Уровни звуковой мощности мнимого источника днём, ДБ		0		95,2		93,2				
		Уровни звуковой мощности мнимого источника ночью, ДБ		0		95,2		93,2				



Затухание из-за геометрической дивергенции, Adiv, дБ		φ-ла (7) [10]		70,2									
Коэффициент затухания звука в атмосфере α, дБ/км		φ-ла (5) [9]		0,02	0,09	0,33	1,12	2,79	4,98	9,04	23,09	77,63	
Учет затухания звука в атмосфере Aatm, дБ		φ-ла (8) [10]		0	0,1	0,3	1	2,5	4,5	8,2	21	70,8	
<b>Снижение уровня звукового давления из-за влияния застройки между источником шума и расчетной точкой</b>													
Промежуточные точки:		Pss(x,y,z) = (2249137,50;411824,56;8,00)		Rsr(x,y,z) = (2249137,69;411824,48;8,00)		dss = 26,26 м		dst = 884,94 м		e = 0,21 м z = 0,01 м			
Траектория над экраном		Константа С2, учитывающая эффект отражения от земли возле экрана		Константа С3 (дифракция на кровлях)		φ-ла (15) [10]		φ-ла (18) [10]		φ-ла (14) [10]			
		Kmin (влияние метеословий)		Снижение УЗД, Дз, дБ		0		4,8		4,8			
Уровни звукового давления прямого звука от источника ИШ-16 в расчётной точке днём, дБ		φ-ла(3)[10]		0		32,2		32		23,5			
Уровни звукового давления прямого звука от источника ИШ-16 в расчётной точке ночью, дБ		φ-ла(3)[10]		0		32,2		32		23,5			
<b>Расчёт отражённого звука</b>													
<b>Мнимый источник ИШ-16_мн.(1), образованный отражением от поверхности препятствия Экран-4</b>													
Координаты точки отражения (x,y,z), м		(2249099,1;411835,0;7,4)		Дистанция между ИШ и ИШМ: R(ИШ-ИШМ) = 14,4м Дистанция между ИШМ и РТ: R(ИШМ-РТ) = 924,5м									
Коэффициент отражения поверхности ρ		исходные данные		0,8		0,8		0,8		0,8			
Поправка на телесный угол DΩ, дБ		Ω = 6,28		3		3		3		3			
Показатель направленности источника Di, дБ		угол разности = 90,4°		0		0		0		0			
Поправка на направленность источника Dir, дБ		Dir		3		3		3		3			
Уровни звуковой мощности мнимого источника днём, дБ		φ-ла [20][10]		0		106,2		106,3		104,2			
Уровни звуковой мощности мнимого источника ночью, дБ		φ-ла [20][10]		0		106,2		106,3		104,2			
Затухание из-за геометрической дивергенции, Adiv, дБ		расстояние = 938,87 м		70,5									
Коэффициент затухания звука в атмосфере α, дБ/км		Тэ=20,°С Ра=101,33,кПа потн.=70%		0,02		0,09		0,33		1,12		2,79	
Учет затухания звука в атмосфере Aatm, дБ		φ-ла (8) [10]		0		0,1		0,3		1,1		2,6	
<b>Снижение уровня звукового давления из-за влияния застройки между источником шума и расчетной точкой</b>													
Промежуточные точки:		Pss(x,y,z) = (2249136,51;411818,73;8,00)		Rsr(x,y,z) = (2249136,70;411818,65;8,00)		dss = 40,79 м		dst = 883,50 м		e = 0,21 м z = 0,01 м			
Траектория над экраном		Константа С2, учитывающая эффект отражения от земли возле экрана		Константа С3 (дифракция на кровлях)		φ-ла (15) [10]		φ-ла (18) [10]		φ-ла (14) [10]			
		Kmin (влияние метеословий)		Снижение УЗД, Дз, дБ		4,8		4,8		4,8			
Критерий наличия отражения в октавной полосе		lmin = 8 м		нет		нет		да		да			
Уровни звукового давления от мнимого источника ИШ-16_мн.(1) в расчётной точке днём, дБ		φ-ла(3)[10]		0		0		0		28			
Уровни звукового давления от мнимого источника ИШ-16_мн.(1) в расчётной точке ночью, дБ		φ-ла(3)[10]		0		0		0		28			
<b>Уровни звукового давления от источника ИШ-16 в расчётной точке днём, дБ</b>													
Уровни звукового давления от источника ИШ-16 в расчётной точке ночью, дБ		φ-ла(3)[10]		0		32,2		32		31,6			
<b>Источник шума: ИШ-17, координаты источника (x,y,z), м = (2249068,60;411842,90;7,50)</b>													
Уровни звуковой мощности источника днём, Lw, дБ		исходные данные		0		104,2		104,3		102,2			
Уровни звуковой мощности источника ночью, Lw, дБ		исходные данные		0		104,2		104,3		102,2			
Поправка на телесный угол DΩ, дБ		Ω = 6,28		3		3		3		3			
Показатель направленности источника Di, дБ		угол разности = 90,4°		0		0		0		0			
Поправка на направленность источника Dc, дБ		Dc		3		3		3		3			
Затухание из-за геометрической дивергенции, Adiv, дБ		расстояние = 955,63 м		70,6									
Коэффициент затухания звука в атмосфере α, дБ/км		Тэ=20,°С Ра=101,33,кПа потн.=70%		0,02		0,09		0,33		1,12		2,79	
Учет затухания звука в атмосфере Aatm, дБ		φ-ла (8) [10]		0		0,1		0,3		1,1		2,7	
<b>Снижение уровня звукового давления из-за влияния застройки между источником шума и расчетной точкой</b>													

Промежуточные точки:	$R_{ss}(x,y,z) = (2249092,02;411832,85;8,00)$	$R_g(x,y,z) = (2249124,86;411818,74;8,00)$	$dss = 25,49$ м	$dsg = 894,41$ м	$e = 35,74$ м	$z = 0,01$ м	
Траектория над экраном	Константа С2, учитывающая эффект отражения от земли возле экрана Константа С3 (дифракция на краях) $K_{плт}$ (влияние метеословий) Снижение УЗД, Дз, дБ	Ф-ла (15) [10] Ф-ла (18) [10] Ф-ла (14) [10]	40 1,3 0 4,8	40 2,4 0 4,8	40 2,9 0 4,8	40 3 0 4,8	40 3 0 4,8
Уровни звукового давления прямого звука от источника ИШ-17 в расчётной точке днём, ДБ		Ф-ла(3)[10]	0	31,8	23	17,2	0
Уровни звукового давления прямого звука от источника ИШ-17 в расчётной точке ночью, ДБ		Ф-ла(3)[10]	0	31,6	23	17,2	0
Расчёт отражённого звука							
Мнимый источник ИШ-17_мн.(1), образованный отражением от поверхности препятствия Экран-3							
Координаты точки отражения (x,y,z), м	$(2249055,8;411842,0;7,4)$	Дистанция между ИШ и ИШм: $R(ИШ-ИШм) = 12,9$ м Дистанция между ИШм и РТ: $R(ИШм-РТ) = 967,1$ м					
Коэффициент отражения поверхности р		исходные данные	0,8	0,8	0,8	0,8	0,8
Поправка на телесный угол $D\Omega$ , ДБ	$\Omega = 6,28$	$10 \cdot \lg(4\pi/\Omega)$	3	3	3	3	3
Показатель направленности источника Di, ДБ	Угол разности = $90,4^\circ$	исходные данные	0	0	0	0	0
Поправка на направленность источника Dir, ДБ	Dir	$D\Omega + Di$	3	3	3	3	3
Уровни звуковой мощности мнимого источника днём, ДБ		Ф-ла (20)[10]	0	106,2	104,2	100	96,3
Уровни звуковой мощности мнимого источника ночью, ДБ		Ф-ла (20)[10]	0	106,2	104,2	100	96,3
Затухание из-за геометрической дивергенции, Adiv, ДБ	расстояние = 979,96 м	Ф-ла (7) [10]			70,8		
Коэффициент затухания звука в атмосфере $\alpha$ , ДБ/км	$Ta=20^\circ; C Pa=101,33; kPa; \text{потн.}=70\%$	Ф-ла (5) [9]	0,02	0,09	1,12	2,79	4,98
Учет затухания звука в атмосфере Aatm, ДБ		Ф-ла (8) [10]	0	0,1	0,3	1,1	2,7
Снижение уровня звукового давления из-за влияния застройки между источником шума и расчётной точкой							
Промежуточные точки:	$R_{ss}(x,y,z) = (2249091,18;411827,04;8,00)$	$R_g(x,y,z) = (2249101,39;411822,73;8,00)$	$dss = 38,45$ м	$dsg = 917,56$ м	$e = 11,08$ м	$z = 0,01$ м	
Траектория над экраном	Константа С2, учитывающая эффект отражения от земли возле экрана Константа С3 (дифракция на краях) $K_{плт}$ (влияние метеословий) Снижение УЗД, Дз, дБ	Ф-ла (15) [10] Ф-ла (18) [10] Ф-ла (14) [10] Ф-ла (19)[10]	40 1 0 4,8	40 1,1 0 4,8	40 1,9 0 4,8	40 2,9 0 4,8	40 3 0 4,8
Критерий наличия отражения в октавной полосе	$I_{min} = 8$ м	Ф-ла (19)[10]	нет	нет	да	да	да
Уровни звукового давления от мнимого источника ИШ-17_мн.(1) в расчётной точке днём, ДБ		Ф-ла(3)[10]	0	0	27,5	21,7	15,9
Уровни звукового давления от мнимого источника ИШ-17_мн.(1) в расчётной точке ночью, ДБ		Ф-ла(3)[10]	0	0	27,5	21,7	15,9
Уровни звукового давления от источника ИШ-17 в расчётной точке днём, ДБ		Ф-ла(3)[10]	0	31,8	31,2	25,4	19,6
Уровни звукового давления от источника ИШ-17 в расчётной точке ночью, ДБ		Ф-ла(3)[10]	0	31,8	31,2	25,4	19,6
Источник шума: ИШ-18, координаты источника (x,y,z), м = [2249086,50;411812,20;7,50]							
Уровни звуковой мощности источника днём, Lw, ДБ		исходные данные	0	71,7	76,7	86,7	91,7
Уровни звуковой мощности источника ночью, Lw, ДБ		исходные данные	0	71,7	76,7	86,7	91,7
Поправка на телесный угол $D\Omega$ , ДБ	$\Omega = 6,28$	$10 \cdot \lg(4\pi/\Omega)$	3	3	3	3	3
Показатель направленности источника Di, ДБ		исходные данные	0	0	0	0	0
Поправка на направленность источника Dc, ДБ	Dc	$D\Omega + Di$	3	3	3	3	3
Затухание из-за геометрической дивергенции, Adiv, ДБ	расстояние = 927,31 м	Ф-ла (7) [10]			70,3		
Коэффициент затухания звука в атмосфере $\alpha$ , ДБ/км	$Ta=20^\circ; C Pa=101,33; kPa; \text{потн.}=70\%$	Ф-ла (5) [9]	0,02	0,09	1,12	2,79	4,98
Учет затухания звука в атмосфере Aatm, ДБ		Ф-ла (8) [10]	0	0,1	0,3	1,1	2,7
Снижение поверхности земли возле источника As, ДБ	$G_s = 0 \text{ hs} = 7,5\text{м}$	Ф-ла таб.3 [10]	-1,5	-1,5	-1,5	-1,5	-1,5
Снижение поверхности земли возле приёмника Ar, ДБ	$G_r = 0 \text{ hr} = 1,5\text{м}$	Ф-ла таб.3 [10]	-1,5	-1,5	-1,5	-1,5	-1,5
Снижение поверхности земли в средней зоне, Am, ДБ	$G_m = 0$	Ф-ла таб.3 [10]	-2,1	-2,1	-2,1	-2,1	-2,1
Суммарное снижение поверхности земли на траектории распространения звука Agr, ДБ		Ф-ла (9) [10]	-5,1	-5,1	-5,1	-5,1	-5,1
Уровни звукового давления от источника ИШ-18 в расчётной точке днём, ДБ		Ф-ла(3)[10]	0	9,4	14,2	13,5	21,9
Уровни звукового давления от источника ИШ-18 в расчётной точке ночью, ДБ		Ф-ла(3)[10]	0	9,4	14,2	13,5	21,9



<b>Источник шума: ИШ-19, координаты источника (x,y,z), м = [2248934.30,411763.20,7.50]</b>												
<b>Уровни звуковой мощности источника днём, Лw, ДБ</b>			исходные данные			исходные данные			исходные данные			
<b>Уровни звуковой мощности источника ночью, Лw, ДБ</b>			исходные данные			исходные данные			исходные данные			
Поправка на телесный угол DΩ, ДБ			Ω = 6.28			10Lg(4πr²/Ω)			0 95,1 93,5 89,8 85,6 81,6 77,4 74 70,9			
Показатель направленности источника Di, ДБ			Dc			Dc			0 0 0 0 0 0 0 0 0			
Поправка на направленность источника Dc, ДБ			расстояние = 1055.17 м			Dc			0 0 0 0 0 0 0 0 0			
Затухание из-за геометрической дивергенции, Adiv, ДБ			Ta=20,° C Pa=101.33,кПа hотн.=70%			Dc			0 0 0 0 0 0 0 0 0			
Коэффициент затухания звука в атмосфере α, ДБ/км			Ta=20,° C Pa=101.33,кПа hотн.=70%			α			0 0,1 0,4 1,2 2,9 5,3 9,5 24,4 81,9			
Учет затухания звука в атмосфере Aatm, ДБ			Ta=20,° C Pa=101.33,кПа hотн.=70%			α			0 0,1 0,4 1,2 2,9 5,3 9,5 24,4 81,9			
<b>Снижение уровня звукового давления из-за влияния застройки между источником шума и расчетной точкой</b>												
Промежуточные точки:			Pss(x,y,z) = (2248941.08,411761.21,20.60)			Psr(x,y,z) = (2249061.11,411725.96,55.00)			dss = 14.88 м			
Траектория над экраном			Константа C2, учитывающая эффект отражения от земли возле экрана			Константа C2, учитывающая эффект отражения от земли возле экрана			e = 129.74 м			
Траектория слева от экрана			Константа C3 (дифракция на кровлях)			Константа C3 (дифракция на кровлях)			z = 14.00 м			
Общее снижение уровня звука препятствием Dz, ДБ			Kполн (влияние метеословий)			Kполн (влияние метеословий)			z = 37.65 м			
Общее снижение уровня звука препятствием с учётом ограничения (25 ДБ) для октавных полос Dz, ДБ			Pss(x,y,z) = (2248993.77,411811.88,7.25)			Psr(x,y,z) = (2249290.07,411736.60,5.52)			z = 37.65 м			
Уровни звукового давления прямого звука от источника ИШ-19 в расчётной точке днём, ДБ			Константа C2, учитывающая эффект отражения от земли возле экрана			Константа C2, учитывающая эффект отражения от земли возле экрана			z = 37.65 м			
Уровни звукового давления прямого звука от источника ИШ-19 в расчётной точке ночью, ДБ			Константа C3 (дифракция на кровлях)			Константа C3 (дифракция на кровлях)			z = 37.65 м			
Расчёт отражённого звука			Kполн (влияние метеословий)			Kполн (влияние метеословий)			z = 37.65 м			
Минимый источник ИШ-19 мн.(1), образованный отражением от поверхности препятствия Экран-1			(2248916.9,411764.4,7.4)			Дистанция между ИШ и ИШм: R(ИШ-ИШм) = 17.4м			Дистанция между ИШм и РТ: R(ИШм-РТ) = 1072.2м			
Коэффициент отражения поверхности ρ			исходные данные			исходные данные			исходные данные			
Поправка на телесный угол DΩ, ДБ			Ω = 6.28			10Lg(4πr²/Ω)			1 1 1 1 1 1 1 1 1			
Показатель направленности источника Di, ДБ			Dc			Dc			1 1 1 1 1 1 1 1 1			
Поправка на направленность источника Dir, ДБ			Dir			Dir			1 1 1 1 1 1 1 1 1			
Уровни звуковой мощности источника днём, ДБ			Ф-ла [20] [10]			Ф-ла [20] [10]			0 98,1 96,5 92,8 88,6 84,6 80,4 77 73,9			
Уровни звуковой мощности источника ночью, ДБ			Ф-ла [20] [10]			Ф-ла [20] [10]			0 98,1 96,5 92,8 88,6 84,6 80,4 77 73,9			
Затухание из-за геометрической дивергенции, Adiv, ДБ			расстояние = 1089.59 м			расстояние = 1089.59 м			71,7			
Коэффициент затухания звука в атмосфере α, ДБ/км			Ta=20,° C Pa=101.33,кПа hотн.=70%			α			0,02 0,09 0,33 1,12 2,79 4,98 9,04 23,09 77,63			
Учет затухания звука в атмосфере Aatm, ДБ			Ta=20,° C Pa=101.33,кПа hотн.=70%			α			0 0,1 0,4 1,2 3 5,4 9,8 25,2 84,6			
<b>Снижение уровня звукового давления из-за влияния застройки между источником шума и расчетной точкой</b>												
Промежуточные точки:			Pss(x,y,z) = (2248982.06,411745.48,5.100)			Psr(x,y,z) = (2249060.54,411722.73,55.00)			dss = 80.63 м			
Траектория над экраном			Константа C2, учитывающая эффект отражения от земли возле экрана			Константа C2, учитывающая эффект отражения от земли возле экрана			e = 81.80 м			
Траектория слева от экрана			Константа C3 (дифракция на кровлях)			Константа C3 (дифракция на кровлях)			z = 14.44 м			
Общее снижение уровня звука препятствием Dz, ДБ			Kполн (влияние метеословий)			Kполн (влияние метеословий)			z = 34.15 м			
Уровни звукового давления прямого звука от источника ИШ-19 в расчётной точке днём, ДБ			Pss(x,y,z) = (2248993.77,411811.88,7.07)			Psr(x,y,z) = (2249290.07,411736.60,5.39)			z = 34.15 м			
Уровни звукового давления прямого звука от источника ИШ-19 в расчётной точке ночью, ДБ			Pss(x,y,z) = (2248993.77,411811.88,7.07)			Psr(x,y,z) = (2249290.07,411736.60,5.39)			z = 34.15 м			
Расчёт отражённого звука			Kполн (влияние метеословий)			Kполн (влияние метеословий)			z = 34.15 м			

Траектория слева от экрана	Константа С3 (дифракция на краяхах) K <sub>крит</sub> (влияние метеословий) Снижение УзД, Dz, дБ	Ф-ла (15) [10] Ф-ла (18) [10] Ф-ла (14) [10] Эн.сумма(-Dz)	2,8 1 25,6 16,1	3 1 28,8 20,1	3 1 31,8 23,5	3 1 34,8 26,7	3 1 37,8 29,7	3 1 40,8 32,7	3 1 43,8 35,7	3 1 46,8 38,7	3 1 49,8 41,8
Общее снижение уровня звука препятствием с учётом ограничения (25 дБ) для октавных полос Dz, дБ	Раздел 7.4 [10]		16,1	20,1	23,5	25	25	25	25	25	25
Критерий наличия отражения в октавной полосе	l <sub>min</sub> = 10 м	Ф-ла (19) [10]	нет	нет	да	да	да	да	да	да	да
Уровни звукового давления от минимого источника ИШ-19_мн.(1) в расчётной точке днём, дБ		Ф-ла(3)[10]	0	0	0,8	0	0	0	0	0	0
Уровни звукового давления от минимого источника ИШ-19_мн.(1) в расчётной точке ночью, дБ		Ф-ла(3)[10]	0	0	0,8	0	0	0	0	0	0
Уровни звукового давления от источника ИШ-19 в расчётной точке днём, дБ		Ф-ла(3)[10]	0	4,4	0,8	0	0	0	0	0	0
Уровни звукового давления от источника ИШ-19 в расчётной точке ночью, дБ		Ф-ла(3)[10]	0	4,4	0,8	0	0	0	0	0	0
Источник шума: ИШ-20, координаты источника (х,у,z), м = [2248919.60;411772.40;7.50]		исходные данные	0	78,6	80,3	81,9	83,3	83,9	81,2	77,4	73,6
Уровни звуковой мощности источника днём, Lw, дБ		исходные данные	0	78,6	80,3	81,9	83,3	83,9	81,2	77,4	73,6
Уровни звуковой мощности источника ночью, Lw, дБ		10Lg(4πr/Ω)	3	3	3	3	3	3	3	3	3
Поправка на телесный угол DΩ, дБ	Ω = 6.28	исходные данные	0	0	0	0	0	0	0	0	0
Показатель направленности источника Di, дБ	Dc	DOx + Di	3	3	3	3	3	3	3	3	3
Поправка на направленность источника Dc, дБ		Ф-ла (7) [10]									
Затухание из-за геометрической дивергенции, Adiv, дБ	расстояние = 1071.87 м										
Козэффициент затухания звука в атмосфере α, дБ/км	Ta=20; C Pa=101.33;кПа hотн.=70%	Ф-ла (5) [9]	0,02	0,09	0,33	1,12	2,79	4,98	9,04	23,09	77,63
Учет затухания звука в атмосфере Aatm, дБ		Ф-ла (8) [10]	0	0,1	0,4	1,2	3	5,3	9,7	24,7	83,2
<b>Снижение уровня звукового давления из-за влияния застройки между источником шума и расчётной точкой</b>											
Промежуточные точки:	Pss(x,y,z) = [2248983.45;411753.35;51.00] Psr(x,y,z) = [2249052.91;411732.62;51.00]	dss = 79.58 м	dstr = 934.05 м	e = 72.48 м	z = 14.24 м						
Траектория над экраном	Константа С2, учитывающая эффект отражения от земли возле экрана Константа С3 (дифракция на краяхах) K <sub>крит</sub> (влияние метеословий) Снижение УзД, Dz, дБ	Ф-ла (15) [10] Ф-ла (18) [10] Ф-ла (14) [10]	40 1,8 0,4 16,3	40 2,4 0,4 20,5	40 2,8 0,4 24,1	40 2,9 0,4 27,3	40 3 0,4 30,4	40 3 0,4 33,4	40 3 0,4 36,4	40 3 0,4 39,4	40 3 0,4 42,4
Промежуточные точки:	Pss(x,y,z) = [2248993.77;411811.88;7.17] Psr(x,y,z) = [2249290.07;411736.60;5.46]	dss = 84.03 м	dstr = 710.25 м	e = 305.71 м	z = 28.12 м						
Траектория слева от экрана	Константа С2, учитывающая эффект отражения от земли возле экрана Константа С3 (дифракция на краяхах) K <sub>крит</sub> (влияние метеословий) Снижение УзД, Dz, дБ	Ф-ла (15) [10] Ф-ла (18) [10] Ф-ла (14) [10]	40 2,8 1	40 3 1	40 3 1	40 3 1	40 3 1	40 3 1	40 3 1	40 3 1	40 3 1
Общее снижение уровня звука препятствием (25 дБ) для октавных полос Dz, дБ	Раздел 7.4 [10]		15,8	19,8	23,3	25	25	25	25	25	25
Общее снижение уровня звука препятствием с учётом ограничения (25 дБ) для октавных полос Dz, дБ			0	0	0	0	0	0	0	0	0
Уровни звукового давления источника ИШ-20 в расчётной точке днём, дБ		Ф-ла(3)[10]	0	0	0	0	0	0	0	0	0
Уровни звукового давления источника ИШ-20 в расчётной точке ночью, дБ		Ф-ла(3)[10]	0	0	0	0	0	0	0	0	0
<b>Расчёт отражённого звука</b>											
<b>Минимый источник ИШ-20_мн.(1), образованный отражением от поверхности препятствия Экран-1</b>											
Координаты точки отражения (х,у,z), м	(2248918.4;411772.5;7.5)	Дистанция между ИШ и ИШм: R(ИШ-ИШм) = 1.2м	Дистанция между ИШм и РТ: R(ИШм-РТ) = 1073.1м								
Козэффициент отражения поверхности р		исходные данные	1	1	1	1	1	1	1	1	1
Поправка на телесный угол DΩ, дБ	Ω = 6.28	10Lg(4πr/Ω)	3	3	3	3	3	3	3	3	3
Показатель направленности источника Di, дБ		исходные данные	0	0	0	0	0	0	0	0	0
Поправка на направленность источника Diг, дБ	Dir	DOx + Di	3	3	3	3	3	3	3	3	3
Уровни звуковой мощности минимого источника днём, дБ		Ф-ла [20][10]	0	81,6	83,3	84,9	86,3	86,9	84,2	80,4	76,6
Уровни звуковой мощности минимого источника ночью, дБ		Ф-ла [20][10]	0	81,6	83,3	84,9	86,3	86,9	84,2	80,4	76,6

Затухание из-за геометрической дивергенции, Adiv, дБ		расстояние = 1074.34 м		71,6			
Коэффициент затухания звука в атмосфере α, дБ/км		Tа=20; С Ра=101.33,кПа hотн.=70%		0,02		0,09	
Учет затухания звука в атмосфере Aatm, дБ		Ф-ла (7) [10]		0,33		1,12	
		Ф-ла (5) [9]		2,79		4,98	
		Ф-ла (8) [10]		3		5,3	
				9,04		23,09	
				9,7		24,8	
				83,4			
<b>Снижение уровня звукового давления из-за влияния застройки между источником шума и расчетной точкой</b>							
Промежуточные точки:		Pss(x,y,z) = (2248983,40,4111753,07,51,00)		Psr(x,y,z) = (2249052,86,411732,36,51,00)		z = 14,04 м	
Траектория		Константа С2, учитывающая эффект отражения от земли возле экрана		dss = 80,63 м		e = 72,48 м	
над экраном		Константа С3 (дифракция на краяхах)		40		40	
		Кмет (влияние метеословий)		1,8		2,4	
		Снижение УЗД, Dz, дБ		2,4		2,8	
		Pss(x,y,z) = (2248993,78,411811,88,7,15)		Psr(x,y,z) = (2249290,07,411736,61,5,45)		z = 27,98 м	
		Константа С2, учитывающая эффект отражения от земли возле экрана		40		40	
		Константа С3 (дифракция на краяхах)		2,8		3	
		Кмет (влияние метеословий)		1		1	
		Снижение УЗД, Dz, дБ		24,7		27,9	
		Общее снижение уровня звука препятствием с учётом ограничения (25 дБ) для октавных полос Dz, дБ		15,7		19,7	
		Общее снижение уровня звука препятствием с учётом ограничения (25 дБ) для октавных полос Dz, дБ		15,7		19,7	
		Критерий наличия отражения в октавной полосе		да		да	
		Уровни звукового давления от минимого источника ИШ-20_мн(1) в расчётной точке днём, дБ		0		0	
		Уровни звукового давления от минимого источника ИШ-20_мн(1) в расчётной точке ночью, дБ		0		0	
		Уровни звукового давления от источника ИШ-20 в расчётной точке днём, дБ		0		0	
		Уровни звукового давления от источника ИШ-20 в расчётной точке ночью, дБ		0		0	
		Источник шума: ИШ-21, координаты источника (x,y,z), м = [2249124,70,411770,50,5,00]		исходные данные		исходные данные	
		Уровни звуковой мощности источника днём, Lw, дБ		0		0	
		Уровни звуковой мощности источника ночью, Lw, дБ		0		0	
		Поправка на телесный угол DΩ, дБ		Ω = 6,28		Ω = 6,28	
		Показатель направленности источника Di, дБ		3		3	
		Поправка на направленность источника Dc, дБ		Dc		Dc	
		Затухание из-за геометрической дивергенции, Adiv, дБ		расстояние = 876,63 м		расстояние = 876,63 м	
		Коэффициент затухания звука в атмосфере α, дБ/км		Tа=20; С Ра=101.33,кПа hотн.=70%		Tа=20; С Ра=101.33,кПа hотн.=70%	
		Учет затухания звука в атмосфере Aatm, дБ		Ф-ла (7) [10]		Ф-ла (5) [9]	
				Ф-ла (8) [10]		Ф-ла (8) [10]	
<b>Снижение уровня звукового давления из-за влияния застройки между источником шума и расчетной точкой</b>							
Препятствие		Pss(x,y,z) = (2249279,98,411724,03,4,35)		Psr(x,y,z) = (2249279,98,411724,03,4,35)		z = -0,41 м	
слева от трассы		Константа С2, учитывающая эффект отражения от земли возле экрана		40		40	
		Константа С3 (дифракция на краяхах)		1		1	
		Кмет (влияние метеословий)		1		1	
		Снижение УЗД, Dz, дБ		1,7		1,7	
		* трицифральное значение z означает прохождение траектории вблизи экрана, в этом случае дополнительно производится учёт снижения подстилающей поверхностью (см.ниже)		dss = 162,09 м		e = 0,00 м	
		Снижение поверхности земли возле источника As, дБ		Gs = 0 hс = 5м		Gs = 0 hс = 5м	
		Снижение поверхности земли возле приёмника Ar, дБ		Gr = 0 hп = 1,5м		Gr = 0 hп = 1,5м	
		Снижение поверхности земли в средней зоне, Ат дБ		Gm = 0		Gm = 0	
		Суммарное снижение поверхности земли на траектории распространения звука Agr, дБ		-1,5		-1,5	
		Уровни звукового давления прямого звука от источника ИШ-21 в расчётной точке днём, дБ		-1,5		-1,5	
		Уровни звукового давления прямого звука от источника ИШ-21 в расчётной точке ночью, дБ		-2,3		-2,3	
		Расчёт отражённого звука		15,8		14,7	
				15,8		14,7	

Мнимый источник ИШ-21_мн.(1), образованный отражением от поверхности препятствия Турбинное отделение										
Координаты точки отражения (х,у,z), м					Дистанция между ИШ и ИШм: R(ИШ-ИШм) = 9.7м Дистанция между ИШм и РТ: R(ИШм-РТ) = 885.8м					
коэффициент отражения поверхности р	исходные данные									
Поправка на телесный угол DΩ, ДБ Показатель направленности источника Di, ДБ Поправка на направленности источника Dig, ДБ <b>Уровни звуковой мощности мнимого источника днём, ДБ</b> <b>Уровни звуковой мощности мнимого источника ночью, ДБ</b>	Ω = 6.28	10Lg(4πr/Ω)	3	3	3	3	3	3	3	
	Dig	DΩ + Di	3	3	3	3	3	3	3	
		Ф-ла (20)[50]	0	80,4	79,5	73	67,5	58,9	54,1	49,8
		Ф-ла (20)[50]	0	80,4	79,5	73	67,5	58,9	54,1	49,8
Затухание из-за геометрической дивергенции, Adiv, ДБ										
коэффициент затухания звука в атмосфере α, ДБ/км	растояние = 895.49 м									
Учет затухания звука в атмосфере Aatm, ДБ	Ta=20; C Pa=101.33,кПа потн.=70%	0,02	0,09	0,33	1,12	2,79	4,98	9,04	23,09	
Снижение поверхностью земли возле источника As, ДБ	Gs = 0 hs = 5м	0	0,1	0,3	1	2,5	4,5	8,1	20,7	
Снижение поверхностью земли возле приёмника Ag, ДБ	Gr = 0 hr = 1.5м	-1,5	-1,5	-1,5	-1,5	-1,5	-1,5	-1,5	-1,5	
Снижение поверхностью земли в средней зоне, Am, ДБ	Gm = 0	-1,5	-1,5	-1,5	-1,5	-1,5	-1,5	-1,5	-1,5	
Суммарное снижение поверхности земли на траектории распространения звука Agr, ДБ		-2,3	-2,3	-2,3	-2,3	-2,3	-2,3	-2,3	-2,3	
Критерий наличия отражения в октавной полосе	Imln = 33.5 м	да	да	да	да	да	да	да	да	
<b>Уровни звукового давления от мнимого источника ИШ-21_мн.(1) в расчётной точке днём, ДБ</b>	Ф-ла(3)[10]	0	15,7	14,5	7,3	0	0	0	0	
<b>Уровни звукового давления от мнимого источника ИШ-21_мн.(1) в расчётной точке ночью, ДБ</b>	Ф-ла(3)[10]	0	15,7	14,5	7,3	0	0	0	0	
Уровни звукового давления от источника ИШ-21 в расчётной точке днём, ДБ										
Уровни звукового давления от источника ИШ-21 в расчётной точке ночью, ДБ										
Источник шума: ИШ-22, координаты источника (х,у,z), м = [2249134.30;411777.70;5.00]										
исходные данные										
исходные данные										
10Lg(4πr/Ω)	3	3	3	3	3	3	3	3	3	
исходные данные										
DΩ + Di	3	3	3	3	3	3	3	3	3	
Затухание из-за геометрической дивергенции, Adiv, ДБ										
коэффициент затухания звука в атмосфере α, ДБ/км	растояние = 870.19 м									
Учет затухания звука в атмосфере Aatm, ДБ	Ta=20; C Pa=101.33,кПа потн.=70%	0,02	0,09	0,33	1,12	2,79	4,98	9,04	23,09	
Снижение уровня звукового давления из-за влияния застройки источником шума и расчётной точкой										
Промежуточные точки:					dss = 155.25 м	dst = 714.95 м				
Константа C2, учитывающая эффект отражения от земли возле экрана					40	40	40	40	40	
Константа C3 (дифракция на кромках)					1	1	1	1	1	
Kмет (влияние метеоусловий)					1	1	1	1	1	
Снижение Uэд, Dz, ДБ					4,7	4,6	4,4	4	3	
* отрицательное значение z означает прохождение траектории вблизи экрана, в этом случае дополнительное снижение поверхности (см.ниже)					-1,5	-1,5	-1,5	-1,5	-1,5	
Снижение поверхностью земли возле источника As, ДБ					Gs = 0 hs = 5м	-1,5	-1,5	-1,5	-1,5	
Снижение поверхностью земли возле приёмника Ag, ДБ					Gr = 0 hr = 1.5м	-1,5	-1,5	-1,5	-1,5	
Снижение поверхностью земли в средней зоне, Am, ДБ					Gm = 0	-2,3	-2,3	-2,3	-2,3	
Суммарное снижение поверхности земли на траектории распространения звука Agr, ДБ					-5,3	-5,3	-5,3	-5,3	-5,3	
<b>Уровни звукового давления от источника ИШ-22 в расчётной точке днём, ДБ</b>	Ф-ла(3)[10]	0	0	0	0	0	0	0	0	
<b>Уровни звукового давления от источника ИШ-22 в расчётной точке ночью, ДБ</b>	Ф-ла(3)[10]	0	0	0	0	0	0	0	0	
Источник шума: ИШ-23, координаты источника (х,у,z), м = [2249131.30;411765.50;5.00]										
исходные данные										
<b>Уровни звуковой мощности источника днём, Lw, ДБ</b>	0		67,4	66,5	60	54,5	50,2	45,9	41,1	
<b>Уровни звуковой мощности источника ночью, Lw, ДБ</b>	0		67,4	66,5	60	54,5	50,2	45,9	41,1	
Поправка на телесный угол DΩ, ДБ										
Показатель направленности источника Di, ДБ										
Поправка на направленности источника Dc, ДБ										
Затухание из-за геометрической дивергенции, Adiv, ДБ										
коэффициент затухания звука в атмосфере α, ДБ/км	растояние = 870.19 м									
Учет затухания звука в атмосфере Aatm, ДБ	Ta=20; C Pa=101.33,кПа потн.=70%	0	0,1	0,3	1	2,4	4,3	7,9	20,1	
Снижение уровня звукового давления из-за влияния застройки источником шума и расчётной точкой										
Промежуточные точки:					dss = 155.25 м	dst = 714.95 м				
Константа C2, учитывающая эффект отражения от земли возле экрана					40	40	40	40	40	
Константа C3 (дифракция на кромках)					1	1	1	1	1	
Kмет (влияние метеоусловий)					1	1	1	1	1	
Снижение Uэд, Dz, ДБ					4,7	4,6	4,4	4	3	
* отрицательное значение z означает прохождение траектории вблизи экрана, в этом случае дополнительное снижение поверхности (см.ниже)					-1,5	-1,5	-1,5	-1,5	-1,5	
Снижение поверхностью земли возле источника As, ДБ					Gs = 0 hs = 5м	-1,5	-1,5	-1,5	-1,5	
Снижение поверхностью земли возле приёмника Ag, ДБ					Gr = 0 hr = 1.5м	-1,5	-1,5	-1,5	-1,5	
Снижение поверхностью земли в средней зоне, Am, ДБ					Gm = 0	-2,3	-2,3	-2,3	-2,3	
Суммарное снижение поверхности земли на траектории распространения звука Agr, ДБ					-5,3	-5,3	-5,3	-5,3	-5,3	
<b>Уровни звукового давления от источника ИШ-23 в расчётной точке днём, ДБ</b>	Ф-ла(3)[10]	0	0	0	0	0	0	0	0	
<b>Уровни звукового давления от источника ИШ-23 в расчётной точке ночью, ДБ</b>	Ф-ла(3)[10]	0	0	0	0	0	0	0	0	
Источник шума: ИШ-23, координаты источника (х,у,z), м = [2249131.30;411765.50;5.00]										
исходные данные										
<b>Уровни звуковой мощности источника днём, Lw, ДБ</b>	0		67,4	66,5	60	54,5	50,2	45,9	41,1	
<b>Уровни звуковой мощности источника ночью, Lw, ДБ</b>	0		67,4	66,5	60	54,5	50,2	45,9	41,1	



Уровни звукового давления от мнимого источника ИШ-24_мн.(1) в расчётной точке днём, ДБ	ф-ла(3)[10]	0	41,8	33	31,2	24,7	17,7	6,4	0	26,8	26,8
Уровни звукового давления от мнимого источника ИШ-24_мн.(1) в расчётной точке ночью, ДБ	ф-ла(3)[10]	0	41,8	33	31,2	24,7	17,7	6,4	0	26,8	26,8
Уровни звукового давления от источника ИШ-24 в расчётной точке днём, ДБ	ф-ла(3)[10]	0	44,8	36	34,2	27,7	20,7	9,4	0	29,8	29,8
Уровни звукового давления от источника ИШ-24 в расчётной точке ночью, ДБ	ф-ла(3)[10]	0	44,8	36	34,2	27,7	20,7	9,4	0	29,8	29,8
Источники шума: ИШ-25, координаты источника (x,y,z), м = [2249049.90;411644.00;10.00]											
Уровни звуковой мощности источника днём, Lw, ДБ	исходные данные	0	101,2	92,6	91,6	86,6	81,6	74	68	59	
Уровни звуковой мощности источника ночью, Lw, ДБ	исходные данные	0	101,2	92,6	91,6	86,6	81,6	74	68	59	
Поправка на телесный угол ΔΩ, ДБ	Ω = 3.14	6	6	6	6	6	6	6	6	6	
Показатель направленности источника Di, ДБ	угол разности = 1.3 °	0	0	0	0	0	0	0	0	0	
Поправка на направленность источника Dc, ДБ	Dc	6	6	6	6	6	6	6	6	6	
Затухание из-за геометрической дивергенции, Adiv, ДБ	расстояние = 914.35 м										
Коэффициент затухания звука в атмосфере α, ДБ/км	Ta=20, °C Pa=101.33,кПа hотн.=70%	0,02	0,09	0,33	1,12	2,79	4,98	9,04	23,09	77,63	
Учет затухания звука в атмосфере Aatm, ДБ	ф-ла (8) [10]	0	0,1	0,3	1	2,6	4,6	8,3	21,1	71	
Снижение поверхностью земли возле источника As, ДБ	ф-лы таб.3 [10]	-1,5	-1,5	-1,5	-1,5	-1,5	-1,5	-1,5	-1,5	-1,5	
Снижение поверхностью земли возле приёмника Ag, ДБ	Gs = 0 hс = 10м	-1,5	-1,5	-1,5	-1,5	-1,5	-1,5	-1,5	-1,5	-1,5	
Снижение поверхностью земли в средней зоне, Am ДБ	Gr = 0 hг = 1.5м	-1,9	-1,9	-1,9	-1,9	-1,9	-1,9	-1,9	-1,9	-1,9	
Суммарное снижение поверхности земли на траектории распространения звука Agr, ДБ	Gm = 0	-4,9	-4,9	-4,9	-4,9	-4,9	-4,9	-4,9	-4,9	-4,9	
Уровни звукового давления прямого звука от источника ИШ-25 в расчётной точке днём, ДБ	ф-ла(3)[10]	0	41,8	33	31,2	24,7	17,7	6,4	0	26,8	26,8
Уровни звукового давления прямого звука от источника ИШ-25 в расчётной точке ночью, ДБ	ф-ла(3)[10]	0	41,8	33	31,2	24,7	17,7	6,4	0	26,8	26,8
Расчёт отражённого звука											
<b>Мнимый источник ИШ-25_мн.(1), образованный отражением от поверхности препятствия Экран 19</b>											
Координаты точки отражения (x,y,z), м	(2249049.5;411644.1;10.0)										
Коэффициент отражения поверхности р	исходные данные	1	1	1	1	1	1	1	1	1	
Поправка на телесный угол ΔΩ, ДБ	Ω = 3.14	6	6	6	6	6	6	6	6	6	
Показатель направленности источника Di, ДБ	угол разности = 178.3 °	0	0	0	0	0	0	0	0	0	
Поправка на направленность источника Dir, ДБ	Dir	6	6	6	6	6	6	6	6	6	
Уровни звуковой мощности мнимого источника днём, ДБ	ф-ла (20)[10]	0	107,2	98,6	97,6	92,6	87,6	80	74	65	
Уровни звуковой мощности мнимого источника ночью, ДБ	ф-ла (20)[10]	0	107,2	98,6	97,6	92,6	87,6	80	74	65	
Затухание из-за геометрической дивергенции, Adiv, ДБ	расстояние = 915.15 м										
Коэффициент затухания звука в атмосфере α, ДБ/км	Ta=20, °C Pa=101.33,кПа hотн.=70%	0,02	0,09	0,33	1,12	2,79	4,98	9,04	23,09	77,63	
Учет затухания звука в атмосфере Aatm, ДБ	ф-ла (8) [10]	0	0,1	0,3	1	2,6	4,6	8,3	21,1	71	
Снижение поверхностью земли возле источника As, ДБ	Gs = 0 hс = 10м	-1,5	-1,5	-1,5	-1,5	-1,5	-1,5	-1,5	-1,5	-1,5	
Снижение поверхностью земли возле приёмника Ag, ДБ	Gr = 0 hг = 1.5м	-1,5	-1,5	-1,5	-1,5	-1,5	-1,5	-1,5	-1,5	-1,5	
Снижение поверхностью земли в средней зоне, Am ДБ	Gm = 0	-1,9	-1,9	-1,9	-1,9	-1,9	-1,9	-1,9	-1,9	-1,9	
Суммарное снижение поверхности земли на траектории распространения звука Agr, ДБ	Gm = 0	-4,9	-4,9	-4,9	-4,9	-4,9	-4,9	-4,9	-4,9	-4,9	
Критерий наличия отражения в октавной полосе	lmin = 16 м	да	да	да	да	да	да	да	да	да	
Уровни звукового давления от мнимого источника ИШ-25_мн.(1) в расчётной точке днём, ДБ	ф-ла(3)[10]	0	41,8	33	31,2	24,7	17,7	6,4	0	26,8	26,8
Уровни звукового давления от мнимого источника ИШ-25_мн.(1) в расчётной точке ночью, ДБ	ф-ла(3)[10]	0	41,8	33	31,2	24,7	17,7	6,4	0	26,8	26,8
Уровни звукового давления от источника ИШ-25 в расчётной точке днём, ДБ	ф-ла(3)[10]	0	44,8	36	34,2	27,7	20,7	9,4	0	29,8	29,8
Уровни звукового давления от источника ИШ-25 в расчётной точке ночью, ДБ	ф-ла(3)[10]	0	44,8	36	34,2	27,7	20,7	9,4	0	29,8	29,8
Источники шума: ИШ-26, координаты источника (x,y,z), м = [2249049.90;411644.60;10.00]											
Уровни звуковой мощности источника днём, Lw, ДБ	исходные данные	0	101,2	92,6	91,6	86,6	81,6	74	68	59	
Уровни звуковой мощности источника ночью, Lw, ДБ	исходные данные	0	101,2	92,6	91,6	86,6	81,6	74	68	59	

Поправка на телесный угол $D\Omega$ , дБ	$\Omega = 3.14$	6	6	6	6	6	6	6	6	6	6	6	6	6
Показатель направленности источника $D_i$ , дБ	исходные данные	0	0	0	0	0	0	0	0	0	0	0	0	0
Поправка на направленность источника $D_c$ , дБ	$D_c$	6	6	6	6	6	6	6	6	6	6	6	6	6
Затухание из-за геометрической дивергенции, $A_{div}$ , дБ	расстояние = 914.47 м	<b>70,2</b>												
Коэффициент затухания звука в атмосфере $\alpha$ , дБ/км	$T_a=20^\circ\text{C}$ $P_a=101.33$ ,кПа $\rho_{\text{пл.}}=70\%$	0,02	0,09	0,33	1,12	2,79	4,98	9,04	23,09	77,63				
Учет затухания звука в атмосфере $A_{atm}$ , дБ	Ф-ла (8) [10]	0	0,1	0,3	1	2,6	4,6	8,3	21,1	71				
Снижение поверхностью земли возле источника $A_s$ , дБ	$G_s = 0$ $h_s = 10$ м	-1,5	-1,5	-1,5	-1,5	-1,5	-1,5	-1,5	-1,5	-1,5	-1,5	-1,5	-1,5	-1,5
Снижение поверхностью земли возле приёмника $A_r$ , дБ	$G_r = 0$ $h_r = 1.5$ м	-1,5	-1,5	-1,5	-1,5	-1,5	-1,5	-1,5	-1,5	-1,5	-1,5	-1,5	-1,5	-1,5
Снижение поверхностью земли в средней зоне, $A_m$ , дБ	$G_m = 0$	-1,9	-1,9	-1,9	-1,9	-1,9	-1,9	-1,9	-1,9	-1,9	-1,9	-1,9	-1,9	-1,9
Суммарное снижение поперности поверхности земли на траектории распространения звука $A_{gr}$ , дБ	Ф-ла (9) [10]	-4,9	-4,9	-4,9	-4,9	-4,9	-4,9	-4,9	-4,9	-4,9	-4,9	-4,9	-4,9	-4,9
Уровни звукового Давления прямого звука от источника ИШ-26 в расчётной точке днём, дБ	Ф-ла(3)[10]	0	41,8	33	31,2	24,7	17,7	6,4	0	26,8	26,8	26,8	26,8	26,8
Уровни звукового Давления прямого звука от источника ИШ-26 в расчётной точке ночью, дБ	Ф-ла(3)[10]	0	41,8	33	31,2	24,7	17,7	6,4	0	26,8	26,8	26,8	26,8	26,8
Расчёт отражённого звука														
<b>Мнимый источник ИШ-26_мн.(1), образованный отражением от поверхности препятствия ЭКРАН 19</b>														
Координаты точки отражения $(x, y, z)$ , м	(2249049,6,4,11644,6,10,0)													
Коэффициент отражения поверхности $\rho$	исходные данные	1	1	1	1	1	1	1	1	1	1	1	1	1
Поправка на телесный угол $D\Omega$ , дБ	$\Omega = 3.14$	6	6	6	6	6	6	6	6	6	6	6	6	6
Показатель направленности источника $D_i$ , дБ	исходные данные	0	0	0	0	0	0	0	0	0	0	0	0	0
Поправка на направленность источника $D_r$ , дБ	$D_i$	6	6	6	6	6	6	6	6	6	6	6	6	6
Уровни звуковой мощности мнимого источника днём, дБ	Ф-ла [20][10]	0	107,2	98,6	97,6	92,6	87,6	80	74	65				
Уровни звуковой мощности мнимого источника ночью, дБ	Ф-ла [20][10]	0	107,2	98,6	97,6	92,6	87,6	80	74	65				
Затухание из-за геометрической дивергенции, $A_{div}$ , дБ	расстояние = 915.06 м	<b>70,2</b>												
Коэффициент затухания звука в атмосфере $\alpha$ , дБ/км	$T_a=20^\circ\text{C}$ $P_a=101.33$ ,кПа $\rho_{\text{пл.}}=70\%$	0,02	0,09	0,33	1,12	2,79	4,98	9,04	23,09	77,63				
Учет затухания звука в атмосфере $A_{atm}$ , дБ	Ф-ла (8) [10]	0	0,1	0,3	1	2,6	4,6	8,3	21,1	71				
Снижение поверхностью земли возле источника $A_s$ , дБ	$G_s = 0$ $h_s = 10$ м	-1,5	-1,5	-1,5	-1,5	-1,5	-1,5	-1,5	-1,5	-1,5	-1,5	-1,5	-1,5	-1,5
Снижение поверхностью земли возле приёмника $A_r$ , дБ	$G_r = 0$ $h_r = 1.5$ м	-1,5	-1,5	-1,5	-1,5	-1,5	-1,5	-1,5	-1,5	-1,5	-1,5	-1,5	-1,5	-1,5
Снижение поверхностью земли в средней зоне, $A_m$ , дБ	$G_m = 0$	-1,9	-1,9	-1,9	-1,9	-1,9	-1,9	-1,9	-1,9	-1,9	-1,9	-1,9	-1,9	-1,9
Суммарное снижение поверхности земли на траектории распространения звука $A_{gr}$ , дБ	Ф-ла (9) [10]	-4,9	-4,9	-4,9	-4,9	-4,9	-4,9	-4,9	-4,9	-4,9	-4,9	-4,9	-4,9	-4,9
Критерий наличия отражения в октавной полосе	$l_{\text{min}} = 16$ м													
Уровни звукового Давления от мнимого источника ИШ-26_мн.(1) в расчётной точке днём, дБ	Ф-ла(3)[10]	0	41,8	33	31,2	24,7	17,7	6,4	0	26,8	26,8	26,8	26,8	26,8
Уровни звукового Давления от мнимого источника ИШ-26_мн.(1) в расчётной точке ночью, дБ	Ф-ла(3)[10]	0	41,8	33	31,2	24,7	17,7	6,4	0	26,8	26,8	26,8	26,8	26,8
Уровни звукового Давления от источника ИШ-26 в расчётной точке днём, дБ	Ф-ла(3)[10]	0	44,8	36	34,2	27,7	20,7	9,4	0	29,8	29,8	29,8	29,8	29,8
Уровни звукового Давления от источника ИШ-26 в расчётной точке ночью, дБ	Ф-ла(3)[10]	0	44,8	36	34,2	27,7	20,7	9,4	0	29,8	29,8	29,8	29,8	29,8
Источник шума: ИШ-27, координаты источника $(x, y, z)$ , м = [2248981,40,411744,60,9,70]														
Уровни звуковой мощности источника днём, Лв, дБ	исходные данные	0	82,6	94,9	88	88	83,9	81,3	71,4	77,3				
Уровни звуковой мощности источника ночью, Лв, дБ	исходные данные	0	82,6	94,9	88	88	83,9	81,3	71,4	77,3				
Поправка на телесный угол $D\Omega$ , дБ	$\Omega = 3.14$	6	6	6	6	6	6	6	6	6	6	6	6	6
Показатель направленности источника $D_i$ , дБ	угол разности = 172.5°	-9,2	-9,2	-9,2	-9,2	-9,2	-9,2	-9,2	-9,2	-9,2	-9,2	-9,2	-9,2	-9,2
Поправка на направленность источника $D_c$ , дБ	$D_c$	-3,1	-3,1	-3,1	-3,1	-3,1	-3,1	-3,1	-3,1	-3,1	-3,1	-3,1	-3,1	-3,1
Затухание из-за геометрической дивергенции, $A_{div}$ , дБ	Ф-ла (7) [10]	<b>71</b>												
Коэффициент затухания звука в атмосфере $\alpha$ , дБ/км	расстояние = 1004.76 м	0,02	0,09	0,33	1,12	2,79	4,98	9,04	23,09	77,63				
Учет затухания звука в атмосфере $A_{atm}$ , дБ	Ф-ла (8) [10]	0	0,1	0,3	1,1	2,8	5	9,1	23,2	78				
<b>Снижения уровня звукового Давления из-за влияния застройки между источником шума и расчётной точкой</b>														
Длина звуковой волны для среднегеометрической частоты октавной полосы, $\lambda$ , м		10,79	5,4	2,72	1,36	0,68	0,34	0,17	0,09	0,04				

Критерий наличия экранирования в горизонтальной плоскости	Горизонтальный размер экрана, $L_{кр} = 77,93$ м	$\lambda$	да	да	да	да	да	да	да	да	да	да
Траектория над экраном	Промежуточные точки: $P_{сг}(x,y,z) = (2248981,88411744,46,51,00)$ $P_{сг}(x,y,z) = (2249060,37411721,80,55,00)$ Константа С2, учитывающая эффект отражения от земли возле экрана Константа С3 (дифракция на краях) $K_{плт}$ (влияние метеослоев) Снижение УЗД, Dz, дБ	$\lambda >$	40	40	40	40	40	40	40	40	40	40
Траектория слева от экрана	Промежуточные точки: $P_{сг}(x,y,z) = (2248993,7741181,88,9,76)$ $P_{сг}(x,y,z) = (2249118,31411790,02,8,73)$ Константа С2, учитывающая эффект отражения от земли возле экрана Константа С3 (дифракция на краях) $K_{плт}$ (влияние метеослоев) Снижение УЗД, Dz, дБ	$\lambda >$	40	40	40	40	40	40	40	40	40	40
Траектория справа от экрана	Промежуточные точки: $P_{сг}(x,y,z) = (2248972,14411742,36,9,77)$ $P_{сг}(x,y,z) = (2248957,45411654,54,9,68)$ Константа С2, учитывающая эффект отражения от земли возле экрана Константа С3 (дифракция на краях) $K_{плт}$ (влияние метеослоев) Снижение УЗД, Dz, дБ	$\lambda >$	40	40	40	40	40	40	40	40	40	40
Общее снижение уровня звука препятствием Dz, дБ			28,7	32,8	36,3	39,4	42,5	45,5	48,5	51,5	54,5	57,5
Общее снижение уровня звука препятствием с учётом ограничения (25 дБ) для октавных полос Дз, дБ			21,2	25,4	28,8	32	35	38	41	44,1	47,1	50,1
Уровни звукового давления прямого звука от источника ИШ-27 в расчётной точке днём, дБ		Раздел 7.4 [10]	0	0	0	0	0	0	0	0	0	0
Уровни звукового давления прямого звука от источника ИШ-27 в расчётной точке ночью, дБ		Ф-ла(3)[10]	0	0	0	0	0	0	0	0	0	0
Расчёт отражённого звука		Ф-ла(3)[10]	0	0	0	0	0	0	0	0	0	0
<b>Минимальный источник ИШ-27_мн.(1), образованный отражением от поверхности препятствия Экран-1</b>												
Координаты точки отражения (x,y,z), м	(2248914,4411750,0,9,2)	Дистанция между ИШ и ИШМ: R(ИШ-ИШМ) = 67,2 м. Дистанция между ИШМ и РТ: R(ИШМ-РТ) = 1070,7 м	1	1	1	1	1	1	1	1	1	1
Коэффициент отражения поверхности р	исходные данные		6	6	6	6	6	6	6	6	6	6
Поправка на телесный угол $\Omega$ , дБ	$\Omega = 3,14$		4,8	4,8	4,8	4,8	4,8	4,8	4,8	4,8	4,8	4,8
Показатель направленности источника Di, дБ	Рис. 18[4] угол разности = 4,0°		10,8	10,8	10,8	10,8	10,8	10,8	10,8	10,8	10,8	10,8
Поправка на направленность источника Dir, дБ	Dir		0	93,4	105,7	98,8	94,7	92,1	82,2	88,1	82,2	88,1
Уровни звуковой мощности мнимого источника днём, дБ	Ф-ла (20)[10]		0	93,4	105,7	98,8	94,7	92,1	82,2	88,1	82,2	88,1
Уровни звуковой мощности мнимого источника ночью, дБ	Ф-ла (20)[10]		0	93,4	105,7	98,8	94,7	92,1	82,2	88,1	82,2	88,1
Затухание из-за геометрической дивергенции, Adiv, дБ	расстояние = 1137,94 м		0,02	0,09	0,33	1,12	2,79	4,98	9,04	23,09	77,63	88,3
Коэффициент затухания звука в атмосфере $\alpha_a$ , дБ/км	$T_a = 20, C Pa = 101,33, \mu Pa \text{ нотн.} = 70\%$		0	0,1	0,4	1,3	3,2	5,7	10,3	26,3	88,3	88,3
Учет затухания звука в атмосфере $A_{atm}$ , дБ			0	0,1	0,4	1,3	3,2	5,7	10,3	26,3	88,3	88,3
<b>Снижение уровня звукового давления из-за влияния застройки источником шума и расчётной точкой</b>												
Промежуточные точки:	$P_{сг}(x,y,z) = (2248970,75411734,49,55,00)$ $P_{сг}(x,y,z) = (2248979,47411732,09,55,00)$		40	40	40	40	40	40	40	40	40	40
Константа С2, учитывающая эффект отражения от земли возле экрана			1	1,1	1,3	1,7	2,4	2,8	2,9	3	3	3
Константа С3 (дифракция на краях)			0,5	0,5	0,5	0,5	0,5	0,5	0,5	0,5	0,5	0,5
$K_{плт}$ (влияние метеослоев)			15,2	18,2	21,8	26,2	30,6	34,2	37,5	40,5	43,5	43,5
Снижение УЗД, Dz, дБ			dss = 100,65 м	dss = 100,65 м	dss = 889,56 м	e = 126,44 м	e = 126,44 м	e = 126,44 м	e = 126,44 м	e = 126,44 м	e = 126,44 м	e = 126,44 м
Промежуточные точки:	$P_{сг}(x,y,z) = (2248993,7741181,88,8,78)$ $P_{сг}(x,y,z) = (224918,33411790,02,7,87)$		40	40	40	40	40	40	40	40	40	40
Константа С2, учитывающая эффект отражения от земли возле экрана			2,3	2,8	2,9	3	3	3	3	3	3	3
Константа С3 (дифракция на краях)			1	1	1	1	1	1	1	1	1	1
$K_{плт}$ (влияние метеослоев)			25,9	29,7	33	36,1	39,1	42,1	45,1	48,1	51,1	51,1
Снижение УЗД, Dz, дБ			14,9	17,9	21,5	25,7	30	33,6	36,8	39,8	42,8	42,8
Общее снижение уровня звука препятствием Dz, дБ			14,9	17,9	21,5	25,7	30	33,6	36,8	39,8	42,8	42,8
Общее снижение уровня звука препятствием с учётом ограничения (25 дБ) для октавных полос Дз, дБ		Раздел 7.4 [10]	14,9	17,9	21,5	25,7	30	33,6	36,8	39,8	42,8	42,8





* отрицательное значение z означает прохождение траектории вблизи экрана, в этом случае дополнительно производится учёт снижения подстилающей поверхностью (см.ниже)												
Снижение поверхностью земли возле источника Аs, ДБ	gs = 0 hs = 1.6м	-1,5	-1,5	-1,5	-1,5	-1,5	-1,5	-1,5	-1,5	-1,5	-1,5	-1,5
Снижение поверхностью земли возле приёмника Аг, ДБ	Gr = 0 hr = 1.5м	-1,5	-1,5	-1,5	-1,5	-1,5	-1,5	-1,5	-1,5	-1,5	-1,5	-1,5
Снижение поверхностью земли в средней зоне, Ат ДБ	Gm = 0	-2,7	-2,7	-2,7	-2,7	-2,7	-2,7	-2,7	-2,7	-2,7	-2,7	-2,7
Суммарное снижение поверхностью земли на траектории распространения звука Агр, ДБ		-5,7	-5,7	-5,7	-5,7	-5,7	-5,7	-5,7	-5,7	-5,7	-5,7	-5,7
Критерий наличия отражения в октавной полосе	lmin = 45 м	да	да	да	да	да	да	да	да	да	да	да
Уровни звукового давления от мнимого источника ИШ-28_мн.(1) в расчётной точке днём, ДБ	Ф-ла(3)[10]	0	20,7	33,3	25,6	24	18	11,6	0	0	24,9	24,9
Уровни звукового давления от мнимого источника ИШ-28_мн.(1) в расчётной точке ночью, ДБ	Ф-ла(3)[10]	0	20,7	33,3	25,6	24	18	11,6	0	0	24,9	24,9
Уровни звукового давления от источника ИШ-28 в расчётной точке днём, ДБ	Ф-ла(3)[10]	0	23,6	36	28,3	26,7	20,7	14,3	0	0	27,5	27,5
Уровни звукового давления от источника ИШ-28 в расчётной точке ночью, ДБ	Ф-ла(3)[10]	0	23,6	36	28,3	26,7	20,7	14,3	0	0	27,5	27,5
Источник шума: ИШ-29, координаты источника (х,у,z), м = [2249068.50;411794.80;34.50]												
Уровни звуковой мощности источника днём, Lw, ДБ	исходные данные	0	69,3	80,7	79,7	76,7	73,7	73,1	65,1	66,1		
Уровни звуковой мощности источника ночью, Lw, ДБ	исходные данные	0	69,3	80,7	79,7	76,7	73,7	73,1	65,1	66,1		
Поправка на телесный угол DΩ, ДБ	Ω = 3.14	6	6	6	6	6	6	6	6	6	6	6
Показатель направленности источника Di, ДБ	Рис. 18(4)	-9	-9	-9	-9	-9	-9	-9	-9	-9	-9	-9
Поправка на направленность источника Dc, ДБ	Дс	-3	-3	-3	-3	-3	-3	-3	-3	-3	-3	-3
Затухание из-за геометрической дивергенции, Adiv, ДБ	расстояние = 938.35 м											
Коэффициент затухания звука в атмосфере α, ДБ/км	Тa=20;°С Pa=101.33,кПа hотн.=70%	0,02	0,09	0,33	1,12	2,79	4,98	9,04	23,09	77,63		
Учет затухания звука в атмосфере Aatm, ДБ	Ф-ла (8) [10]	0	0,1	0,3	1,1	2,6	4,7	8,5	21,7	72,8		
<b>Снижение уровня звукового давления из-за влияния застройки между источником шума и расчётной точкой</b>												
Промежуточные точки:	Ps(x,y,z) = (2249116.01,411777.00,33.50)	dss = 50.75 м	dsg = 887.61 м	e = 0.00 м	z = 0.01 м							
Траектория над экраном	Константа С2, учитывающая эффект отражения от земли возле экрана	40	40	40	40	40	40	40	40	40	40	40
	Константа С3 (дифракция на краяхах)	1	1	1	1	1	1	1	1	1	1	1
	Kмет (влияние метеословий)	0	0	0	0	0	0	0	0	0	0	0
	Снижение УЗД, Dz, ДБ	4,8	4,8	4,8	4,8	4,8	4,8	4,8	4,8	4,8	4,8	4,8
Уровни звукового давления от источника ИШ-29 в расчётной точке днём, ДБ	Ф-ла(3)[10]	0	0	2,2	0,4	0	0	0	0	0	0	0
Уровни звукового давления от источника ИШ-29 в расчётной точке ночью, ДБ	Ф-ла(3)[10]	0	0	2,2	0,4	0	0	0	0	0	0	0
Источник шума: ИШ-30, координаты источника (х,у,z), м = [2249069.40;411791.10;34.50]												
Уровни звуковой мощности источника днём, Lw, ДБ	исходные данные	0	69,3	80,7	79,7	76,7	73,7	73,1	65,1	66,1		
Уровни звуковой мощности источника ночью, Lw, ДБ	исходные данные	0	69,3	80,7	79,7	76,7	73,7	73,1	65,1	66,1		
Поправка на телесный угол DΩ, ДБ	Ω = 3.14	6	6	6	6	6	6	6	6	6	6	6
Показатель направленности источника Di, ДБ	Рис. 18(4)	4,8	4,8	4,8	4,8	4,8	4,8	4,8	4,8	4,8	4,8	4,8
Поправка на направленность источника Dc, ДБ	Дс	10,8	10,8	10,8	10,8	10,8	10,8	10,8	10,8	10,8	10,8	10,8
Затухание из-за геометрической дивергенции, Adiv, ДБ	расстояние = 936.22 м											
Коэффициент затухания звука в атмосфере α, ДБ/км	Тa=20;°С Pa=101.33,кПа hотн.=70%	0,02	0,09	0,33	1,12	2,79	4,98	9,04	23,09	77,63		
Учет затухания звука в атмосфере Aatm, ДБ	Ф-ла (8) [10]	0	0,1	0,3	1,1	2,6	4,7	8,5	21,6	72,7		
<b>Снижение уровня звукового давления из-за влияния застройки между источником шума и расчётной точкой</b>												
Промежуточные точки:	Ps(x,y,z) = (2249115.49,411774.02,33.50)	dss = 49.16 м	dsg = 887.06 м	e = 0.00 м	z = 0.01 м							
Траектория над экраном	Константа С2, учитывающая эффект отражения от земли возле экрана	40	40	40	40	40	40	40	40	40	40	40
	Константа С3 (дифракция на краяхах)	1	1	1	1	1	1	1	1	1	1	1
	Kмет (влияние метеословий)	0	0	0	0	0	0	0	0	0	0	0
	Снижение УЗД, Dz, ДБ	4,8	4,8	4,8	4,8	4,8	4,8	4,8	4,8	4,8	4,8	4,8
Уровни звукового давления от источника ИШ-30 в расчётной точке днём, ДБ	Ф-ла(3)[10]	0	4,8	16	14,3	9,7	4,7	0,3	0	0	11,3	11,3

Уровни звукового давления от источника ИШ-30 в расчётной точке ночью, ДБ	Ф-ла(3)[10]	0	4,8	16	14,3	9,7	4,7	0,3	0	11,3	11,3
Источник шума: ИШ-31, координаты источника (X,y,z), м = (2249108.80,411728.90,20.00)											
Уровни звуковой мощности источника днём, Lw, ДБ	исходные данные	0	74,4	77,7	74,6	73,5	69,2	64,9	56,6	57,7	
Уровни звуковой мощности источника ночью, Lw, ДБ	исходные данные	0	74,4	77,7	74,6	73,5	69,2	64,9	56,6	57,7	
Поправка на телесный угол DQ, ДБ	$\Omega = 3.14$	6	6	6	6	6	6	6	6	6	
Поправка на направленности источника Di, ДБ	Рис. 18(4) угол равенности = 6.2°	4,7	4,7	4,7	4,7	4,7	4,7	4,7	4,7	4,7	
Поправка на направленности источника Dc, ДБ	Dc	10,7	10,7	10,7	10,7	10,7	10,7	10,7	10,7	10,7	
Затухание из-за геометрической дивергенции, Adiv, ДБ	расстояние = 878.40 м										
Коэффициент затухания звука в атмосфере $\alpha$ , ДБ/км	Ta=20; C Pa=101.33,кПа $\rho_{отн.}=70\%$	0,02	0,09	0,33	1,12	2,79	4,98	9,04	23,09	77,63	
Учет затухания звука в атмосфере Aatm, ДБ	Ф-ла(8) [10]	0	0,1	0,3	1	2,5	4,4	7,9	20,3	68,2	
<b>Снижение уровня звукового давления из-за влияния застройки источника шума и расчётной точки</b>											
Промежуточные точки:	Rsg(X,y,z) = (2249249.39;411684.77;6.00)	dss = 148.01 м	dSt = 730.87 м	e = 0.00 м	z = -0.48 м						
Препятствие	Константа C2, учитывающая эффект отражения от земли возле экрана	40	40	40	40	40	40	40	40	40	
снизу от трассы	Константа C3 (дифракция на краях)	1	1	1	1	1	1	1	1	1	
ИШ-РТ	Kмет (влияние метеословесий)	1	1	1	1	1	1	1	1	1	
	Снижение УЗД, Dz, ДБ	0,8	NAN	NAN	NAN	NAN	NAN	NAN	NAN	NAN	
* отрицательное значение z означает прохождение траектории вблизи экрана, в этом случае дополнительно производится учёт снижения подстилающей поверхностью (см.ниже)											
Снижение поверхностью земли возле источника As, ДБ	$G_s = 0 \text{ lbs} = 20\text{м}$	-1,5	-1,5	-1,5	-1,5	-1,5	-1,5	-1,5	-1,5	-1,5	
Снижение поверхностью земли возле приёмника Ar, ДБ	$G_r = 0 \text{ hr} = 1.5\text{м}$	-1,5	-1,5	-1,5	-1,5	-1,5	-1,5	-1,5	-1,5	-1,5	
Снижение поверхностью земли в средней зоне, Am ДБ	Gm = 0	-0,8	-0,8	-0,8	-0,8	-0,8	-0,8	-0,8	-0,8	-0,8	
Суммарное снижение поверхности земли на траектории распространения звука Agr, ДБ	Ф-ла(9) [10]	-3,8	-3,8	-3,8	-3,8	-3,8	-3,8	-3,8	-3,8	-3,8	
Уровни звукового давления прямого звука от источника ИШ-31 в расчётной точке днём, ДБ	Ф-ла(3)[10]	0	19	22,1	18,3	15,7	9,5	0	0	16	16
Уровни звукового давления прямого звука от источника ИШ-31 в расчётной точке ночью, ДБ	Ф-ла(3)[10]	0	19	22,1	18,3	15,7	9,5	0	0	16	16
Расчёт отражённого звука											
<b>Мнимый источник ИШ-31_мн.(1), образованный отражением от поверхности препятствия Турбинное отделение</b>											
Координаты точки отражения (X,y,z), м	(2249107.64,411728.9,20.0)										
Коэффициент отражения поверхности р	исходные данные	1	1	1	1	1	1	1	1	1	
Поправка на телесный угол DQ, ДБ	$\Omega = 3.14$	6	6	6	6	6	6	6	6	6	
Показатель направленности источника Di, ДБ	Рис. 18(4) угол равенности = 170.6°	-9	-9	-9	-9	-9	-9	-9	-9	-9	
Поправка на направленности источника Dir, ДБ	Dir	-2,9	-2,9	-2,9	-2,9	-2,9	-2,9	-2,9	-2,9	-2,9	
Уровни звуковой мощности мнимого источника днём, ДБ	Ф-ла (20)[10]	0	71,5	74,8	71,7	70,6	66,3	62	53,7	54,8	
Уровни звуковой мощности мнимого источника ночью, ДБ	Ф-ла (20)[10]	0	71,5	74,8	71,7	70,6	66,3	62	53,7	54,8	
Затухание из-за геометрической дивергенции, Adiv, ДБ	расстояние = 880.68 м										
Коэффициент затухания звука в атмосфере $\alpha$ , ДБ/км	Ta=20; C Pa=101.33,кПа $\rho_{отн.}=70\%$	0,02	0,09	0,33	1,12	2,79	4,98	9,04	23,09	77,63	
Учет затухания звука в атмосфере Aatm, ДБ	Ф-ла(8) [10]	0	0,1	0,3	1	2,5	4,4	8	20,3	68,4	
Снижение поверхностью земли возле источника As, ДБ	$G_s = 0 \text{ lbs} = 20\text{м}$	-1,5	-1,5	-1,5	-1,5	-1,5	-1,5	-1,5	-1,5	-1,5	
Снижение поверхностью земли возле приёмника Ar, ДБ	$G_r = 0 \text{ hr} = 1.5\text{м}$	-1,5	-1,5	-1,5	-1,5	-1,5	-1,5	-1,5	-1,5	-1,5	
Снижение поверхностью земли в средней зоне, Am ДБ	Gm = 0	-0,8	-0,8	-0,8	-0,8	-0,8	-0,8	-0,8	-0,8	-0,8	
Суммарное снижение поверхности земли на траектории распространения звука Agr, ДБ	Ф-ла(9) [10]	-3,8	-3,8	-3,8	-3,8	-3,8	-3,8	-3,8	-3,8	-3,8	
Критерий наличия отражения в октавной полосе	lmin = 33.5 м	да	да	да	да	да	да	да	да	да	
Уровни звукового давления от мнимого источника ИШ-31_мн.(1) в расчётной точке днём, ДБ	Ф-ла(3)[10]	0	5,3	8,4	4,6	0	0	0	0	0	0
Уровни звукового давления от мнимого источника ИШ-31_мн.(1) в расчётной точке ночью, ДБ	Ф-ла(3)[10]	0	5,3	8,4	4,6	0	0	0	0	0	0
Уровни звукового давления от источника ИШ-31 в расчётной точке днём, ДБ	Ф-ла(3)[10]	0	19,2	22,3	18,5	15,7	9,5	0	0	16,1	16,1
Уровни звукового давления от источника ИШ-31 в расчётной точке ночью, ДБ	Ф-ла(3)[10]	0	19,2	22,3	18,5	15,7	9,5	0	0	16,1	16,1

<b>Источник шума: ИШ-32, координаты источника (x,y,z), м = [2249118.60;411785.60;14.10]</b>																				
<b>Уровни звуковой мощности источника днём, Лw, ДБ</b>			исходные данные			исходные данные			исходные данные											
<b>Уровни звуковой мощности источника ночью, Лw, ДБ</b>			исходные данные			исходные данные			исходные данные											
Поправка на телесный угол DΩ, ДБ			Ω = 3.14			10Lg(4πr²/Ω)			0 67,8 76,2 72,2 72,2 68,2 63,6 54,6 56,6											
Показатель направленности источника Di, ДБ			угол разности = 13,4 °			Pис. 18(4)			6 6 6 6 6 6 6 6 6											
Поправка на направленности источника Dc, ДБ			Dc			DΩ + Di			4,4 4,4 4,4 4,4 4,4 4,4 4,4 4,4 4,4											
Затухание из-за геометрической дивергенции, Adiv, ДБ			расстояние = 887,76 м			φ-ла (7) [10]			10,4 10,4 10,4 10,4 10,4 10,4 10,4 10,4 10,4											
Коэффициент затухания звука в атмосфере α, ДБ/км			Tа=20 °С Pа=101.33 кПа hотн.=70%			φ-ла (5) [9]			0,02 0,09 0,33 1,12 2,79 4,98 9,04 23,09 77,63											
Учет затухания звука в атмосфере Aatm, ДБ			φ-ла (8) [10]			φ-ла (8) [10]			0 0,1 0,3 1 2,5 4,4 8 20,5 68,9											
<b>Снижение уровня звукового давления из-за влияния застройки между источником шума и расчетной точкой</b>																				
Препятствие			Pss(x,y,z) = (2249288.01;411720.20;2.50)			Pst(x,y,z) = (2249288.01;411720.20;2.50)			dss = 181.95 м			dstr = 706.08 м			e = 0.00 м			z = -0.28 м		
снизу от трассы ИШ-РТ			Константа C2, учитывающая эффект отражения от земли возле экрана			Константа C3 (дифракция на краях)			Kмет (влияние метеословой)			Снижение УЗД, Dz, ДБ								
			40 40 40 40 40 40 40 40 40			1 1 1 1 1 1 1 1 1			1 1 1 1 1 1 1 1 1			NAN NAN NAN NAN NAN NAN NAN NAN			NAN NAN NAN NAN NAN NAN NAN NAN			40 40 40 40 40 40 40 40 40		
			1 1 1 1 1 1 1 1 1			φ-ла (15) [10]			φ-ла (18) [10]			φ-ла (14) [10]						1 1 1 1 1 1 1 1 1		
			2,9 0			0			NAN			NAN			NAN			NAN NAN NAN NAN		
* отрицательное значение z означает прохождение траектории вблизи экрана, в этом случае дополнительно производится учёт снижения подстилающей поверхностью (см.ниже)																				
Снижение поверхностью земли возле источника As, ДБ			Gs = 0 hс = 14.1м			φ-ла таб.3 [10]			-1,5 -1,5 -1,5 -1,5 -1,5 -1,5 -1,5 -1,5 -1,5			-1,5 -1,5 -1,5 -1,5 -1,5 -1,5 -1,5 -1,5 -1,5			-1,5 -1,5 -1,5 -1,5 -1,5 -1,5 -1,5 -1,5 -1,5					
Снижение поверхностью земли возле приёмника Ar, ДБ			Gr = 0 hп = 1.5м			φ-ла таб.3 [10]			-1,5 -1,5 -1,5 -1,5 -1,5 -1,5 -1,5 -1,5 -1,5			-1,5 -1,5 -1,5 -1,5 -1,5 -1,5 -1,5 -1,5 -1,5			-1,5 -1,5 -1,5 -1,5 -1,5 -1,5 -1,5 -1,5 -1,5					
Снижение поверхностью земли в средней зоне, Am ДБ			Gm = 0			φ-ла таб.3 [10]			-1,4 -1,4 -1,4 -1,4 -1,4 -1,4 -1,4 -1,4 -1,4			-1,4 -1,4 -1,4 -1,4 -1,4 -1,4 -1,4 -1,4 -1,4			-1,4 -1,4 -1,4 -1,4 -1,4 -1,4 -1,4 -1,4 -1,4					
Суммарное снижение поверхности земли на траектории распространения звука Agr, ДБ						φ-ла (9) [10]			-4,4 -4,4 -4,4 -4,4 -4,4 -4,4 -4,4 -4,4 -4,4			-4,4 -4,4 -4,4 -4,4 -4,4 -4,4 -4,4 -4,4 -4,4			-4,4 -4,4 -4,4 -4,4 -4,4 -4,4 -4,4 -4,4 -4,4					
Уровни звукового давления прямого звука от источника ИШ-32 в расчётной точке днём, ДБ						φ-ла(3)[10]			0 12,6 20,8 16,1 14,6 8,7 0 0 0			12,6 20,8 16,1 14,6 8,7 0 0 0 0			14,6 8,7 0 0 0 0 0 0 0					
Уровни звукового давления прямого звука от источника ИШ-32 в расчётной точке ночью, ДБ						φ-ла(3)[10]			0 12,6 20,8 16,1 14,6 8,7 0 0 0			12,6 20,8 16,1 14,6 8,7 0 0 0			14,6 8,7 0 0 0 0 0 0 0					
<b>Расчёт отражённого звука</b>																				
<b>Мнимый источник ИШ-32_мн.(1), образованный отражением от поверхности препятствия Турбинное отделение</b>																				
Координаты точки отражения (x,y,z), м			(2249117.6;411785.6;14.1)			Дистанция между ИШ и ИШм: R(ИШ-ИШм) = 1.0м			Дистанция между ИШм и РТ: R(ИШм-РТ) = 888.7м											
Коэффициент отражения поверхности р			исходные данные			исходные данные			исходные данные			исходные данные								
Поправка на телесный угол DΩ, ДБ			Ω = 3.14			10Lg(4πr²/Ω)			1 1 1 1 1 1 1 1 1			1 1 1 1 1 1 1 1 1								
Показатель направленности источника Di, ДБ			угол разности = 170.0 °			Pис. 18(4)			-8,9 -8,9 -8,9 -8,9 -8,9 -8,9 -8,9 -8,9 -8,9			-8,9 -8,9 -8,9 -8,9 -8,9 -8,9 -8,9 -8,9 -8,9								
Поправка на направленности источника Dir, ДБ			Dir			DΩ + Di			-2,9 -2,9 -2,9 -2,9 -2,9 -2,9 -2,9 -2,9 -2,9			-2,9 -2,9 -2,9 -2,9 -2,9 -2,9 -2,9 -2,9 -2,9								
Уровни звуковой мощности мнимого источника днём, ДБ						φ-ла [20][10]			0 64,9 73,3 69,3 69,3 65,3 60,7 53,7			64,9 73,3 69,3 69,3 65,3 60,7 53,7 53,7 53,7								
Уровни звуковой мощности мнимого источника ночью, ДБ						φ-ла [20][10]			0 64,9 73,3 69,3 69,3 65,3 60,7 53,7			64,9 73,3 69,3 69,3 65,3 60,7 53,7 53,7 53,7								
Затухание из-за геометрической дивергенции, Adiv, ДБ			расстояние = 889.63 м			φ-ла (7) [10]			70			70								
Коэффициент затухания звука в атмосфере α, ДБ/км			Tа=20 °С Pа=101.33 кПа hотн.=70%			φ-ла (5) [9]			0,02 0,09 0,33 1,12 2,79 4,98 9,04 23,09 77,63			0,02 0,09 0,33 1,12 2,79 4,98 9,04 23,09 77,63								
Учет затухания звука в атмосфере Aatm, ДБ			φ-ла (8) [10]			φ-ла (8) [10]			0 0,1 0,3 1 2,5 4,4 8 20,5 69,1			0 0,1 0,3 1 2,5 4,4 8 20,5 69,1								
<b>Снижение уровня звукового давления из-за влияния застройки между источником шума и расчетной точкой</b>																				
Препятствие			Pss(x,y,z) = (2249287.95;411719.89;2.50)			Pst(x,y,z) = (2249287.95;411719.89;2.50)			dss = 182.92 м			dstr = 706.02 м			e = 0.00 м			z = -0.28 м		
снизу от трассы ИШ-РТ			Константа C2, учитывающая эффект отражения от земли возле экрана			Константа C3 (дифракция на краях)			Kмет (влияние метеословой)			Снижение УЗД, Dz, ДБ								
			40 40 40 40 40 40 40 40 40			1 1 1 1 1 1 1 1 1			1 1 1 1 1 1 1 1 1			NAN NAN NAN NAN NAN NAN NAN NAN			NAN NAN NAN NAN					
			1 1 1 1 1 1 1 1 1			φ-ла (15) [10]			φ-ла (18) [10]			φ-ла (14) [10]						1 1 1 1 1 1 1 1 1		
			2,9 0			0			NAN			NAN			NAN			NAN NAN NAN NAN		
* отрицательное значение z означает прохождение траектории вблизи экрана, в этом случае дополнительно производится учёт снижения подстилающей поверхностью (см.ниже)																				
Снижение поверхностью земли возле источника As, ДБ			Gs = 0 hс = 14.1м			φ-ла таб.3 [10]			-1,5 -1,5 -1,5 -1,5 -1,5 -1,5 -1,5 -1,5 -1,5			-1,5 -1,5 -1,5 -1,5 -1,5 -1,5 -1,5 -1,5 -1,5			-1,5 -1,5 -1,5 -1,5 -1,5 -1,5 -1,5 -1,5 -1,5					
Снижение поверхностью земли возле приёмника Ar, ДБ			Gr = 0 hп = 1.5м			φ-ла таб.3 [10]			-1,5 -1,5 -1,5 -1,5 -1,5 -1,5 -1,5 -1,5 -1,5			-1,5 -1,5 -1,5 -1,5 -1,5 -1,5 -1,5 -1,5 -1,5			-1,5 -1,5 -1,5 -1,5 -1,5 -1,5 -1,5 -1,5 -1,5					
Снижение поверхностью земли в средней зоне, Am ДБ			Gm = 0			φ-ла таб.3 [10]			-1,4 -1,4 -1,4 -1,4 -1,4 -1,4 -1,4 -1,4 -1,4			-1,4 -1,4 -1,4 -1,4 -1,4 -1,4 -1,4 -1,4 -1,4			-1,4 -1,4 -1,4 -1,4 -1,4 -1,4 -1,4 -1,4 -1,4					
Суммарное снижение поверхности земли на траектории распространения звука Agr, ДБ						φ-ла (9) [10]			-1,5 -1,5 -1,5 -1,5 -1,5 -1,5 -1,5 -1,5 -1,5			-1,5 -1,5 -1,5 -1,5 -1,5 -1,5 -1,5 -1,5 -1,5			-1,5 -1,5 -1,5 -1,5 -1,5 -1,5 -1,5 -1,5 -1,5					

Критерий наличия отражения в октавной полосе		$L_{min} = 33,5 \text{ м}$																																	
Уровни звукового давления от мнимого источника ИШ-32_мн.(1) в расчётной точке днём, ДБ	Ф-ла(3)[10]	Ф-ла(3)[10]	Да	Да	Да	Да	Да	Да	Да	Да	Да	Да	Да	Да																					
Уровни звукового давления от мнимого источника ИШ-32_мн.(1) в расчётной точке ночью, ДБ	Ф-ла(3)[10]	Ф-ла(3)[10]	0	7,5	0	0	0	0	0	0	0	0	0	0																					
Уровни звукового давления от мнимого источника ИШ-32_мн.(1) в расчётной точке ночью, ДБ																																			
Уровни звукового давления от источника ИШ-32 в расчётной точке днём, ДБ			0	12,6	21	16,1	14,6	8,7	0	0	0	0	14,8	14,8	14,8																				
Уровни звукового давления от источника ИШ-32 в расчётной точке ночью, ДБ			0	12,6	21	16,1	14,6	8,7	0	0	0	0	14,8	14,8	14,8																				
Источник шума: ИШ-33, координаты источника (х,у,з), м = [2249118.00,411784.10,9.30]																																			
Уровни звуковой мощности источника днём, Lw, ДБ			исходные данные																																
Уровни звуковой мощности источника ночью, Lw, ДБ			исходные данные																																
Поправка на телесный угол $D\Omega$ , ДБ			$\Omega = 3.14$																																
Показатель направленности источника $D_i$ , ДБ			угол разности = 21,0°																																
Поправка на направленность источника $D_c$ , ДБ			Dc																																
Защитное из-за геометрической дивергенции, Adiv, ДБ			расстояние = 887,73 м																																
Коэффициент затухания звука в атмосфере $\alpha$ , ДБ/км			Ta=20; C Pa=101.33,кПа потн.=70%																																
Учет затухания звука в атмосфере Aatm, ДБ			Ф-ла (7) [10]																																
Снижение поверхностью земли возле источника $A_s$ , ДБ			Ф-ла (8) [10]																																
Снижение поверхностью земли возле приёмника $A_r$ , ДБ			Ф-лы таб.3 [10]																																
Снижение поверхностью земли в средней зоне, $A_m$ , ДБ			Ф-лы таб.3 [10]																																
Суммарное снижение поверхности земли на траектории распространения звука Agr, ДБ			Ф-лы таб.3 [10]																																
Уровни звукового давления от источника ИШ-33 в расчётной точке днём, ДБ			Ф-ла (9) [10]																																
Уровни звукового давления от источника ИШ-33 в расчётной точке ночью, ДБ			Ф-ла(3)[10]																																
Источник шума: ИШ-34, координаты источника (х,у,з), м = [2249107.90,411723.50,13.50]																																			
Уровни звуковой мощности источника днём, Lw, ДБ			исходные данные																																
Уровни звуковой мощности источника ночью, Lw, ДБ			исходные данные																																
Поправка на телесный угол $D\Omega$ , ДБ			$\Omega = 3.14$																																
Показатель направленности источника $D_i$ , ДБ			угол разности = 6,6°																																
Поправка на направленность источника $D_c$ , ДБ			Dc																																
Защитное из-за геометрической дивергенции, Adiv, ДБ			расстояние = 877,55 м																																
Коэффициент затухания звука в атмосфере $\alpha$ , ДБ/км			Ta=20; C Pa=101.33,кПа потн.=70%																																
Учет затухания звука в атмосфере Aatm, ДБ			Ф-ла (8) [10]																																
Снижение уровня звукового давления из-за влияния застройки источником шума и расчетной точкой																																			
Препятствие		Промежуточные точки:		Pst(K,y,z) = (2249279.60,411670.77,2.50)		Pst(K,y,z) = (2249279.60,411670.77,2.50)		dss = 179,95 м		dst = 697,85 м		e = 0,00 м		z = -0,26 м																					
снизу от трассы ИШ-РТ		Константа C2, учитывающая эффект отражения от земли возле экрана		40		40		40		40		40		40																					
		Константа C3 (дифракция на краяхах)		1		1		1		1		1		1																					
		$K_{мет}$ (влияние метеорологий)		Ф-ла (15) [10]		Ф-ла (18) [10]		Ф-ла (14) [10]		3,1		0,4		0,4																					
		Снижение УЗД, Dz, ДБ																																	
* отрицательное значение z означает прохождение траектории воллизи экрана, в этом случае дополнительное понижения производятся с учётом снижения подстилающей поверхностью (см.ниже)																																			
Снижение поверхностью земли возле источника $A_s$ , ДБ			Ф-лы таб.3 [10]																																
Снижение поверхностью земли возле приёмника $A_r$ , ДБ			Ф-лы таб.3 [10]																																
Снижение поверхностью земли в средней зоне, $A_m$ , ДБ			Ф-лы таб.3 [10]																																
Суммарное снижение поверхности земли на траектории распространения звука Agr, ДБ			Ф-ла (9) [10]																																
Уровни звукового давления прямого звука от источника ИШ-34 в расчётной точке днём, ДБ			0			6,4			0			14,1			10,2			0			0			0			9,3			9,3					
Уровни звукового давления прямого звука от источника ИШ-34 в расчётной точке ночью, ДБ			0			6,4			0			14,1			10,2			0			0			0			0			9,3			9,3		
Расчёт отражённого звука																																			
Мнимый источник ИШ-34_мн.(1), образованный отражением от поверхности препятствия Турбинное отделение																																			

Координаты точки отражения (x,y,z), м		Дистанция между ИШ и ИШм: R(ИШ-ИШм) = 1.2м Дистанция между ИШм и РТ: R(ИШм-РТ) = 878.7м									
исходные данные		1	1	1	1	1	1	1	1	1	1
Коэффициент отражения поверхности р		1	1	1	1	1	1	1	1	1	1
Поправка на телесный угол DΩ, дБ	Ω = 3.14	6	6	6	6	6	6	6	6	6	6
Показатель направленности источника Di, дБ	угол разности = 171.8°	-9,1	-9,1	-9,1	-9,1	-9,1	-9,1	-9,1	-9,1	-9,1	-9,1
Поправка на направленность источника Dir, дБ	Dir	-3,1	-3,1	-3,1	-3,1	-3,1	-3,1	-3,1	-3,1	-3,1	-3,1
Уровни звуковой мощности минимого источника днём, дБ		0	58,5	53,6	66,7	64,2	58,4	55,5	52,5	53	
Уровни звуковой мощности минимого источника ночью, дБ		0	58,5	53,6	66,7	64,2	58,4	55,5	52,5	53	
Затухание из-за геометрической дивергенции, Adiv, дБ	расстояние = 879.93 м	69,9									
Коэффициент затухания звука в атмосфере α, дБ/км	Ta=20; Ca=101.33, κПа потн.=70%	0,02	0,09	0,33	1,12	2,79	4,98	9,04	23,09	77,63	
Учет затухания звука в атмосфере Aatm, дБ	φ-ла (8) [10]	0	0,1	0,3	1	2,5	4,4	8	20,3	68,3	
<b>Снижение уровня звукового давления из-за влияния застройки источником шума и расчётной точкой</b>											
Промежуточные точки:		Psg(x,y,z) = (2249279.56;411670.53;2.50)		Psg(x,y,z) = (2249279.56;411670.53;2.50)		dss = 181.15 м		dst = 697.82 м		e = 0.00 м z = -0.25 м	
Константа C2, учитывающая эффект отражения от земли возле экрана		40		40		40		40		40	
Константа C3 (дифракция на краяхах)		1		1		1		1		1	
Kмет (влияние метеословий)		1		1		1		1		1	
Снижение УЗД, Dz, дБ		3,1		0,5		NAN		NAN		NAN	
* отрицательное значение z означает прохождение траектории вблизи экрана, в этом случае дополнительно производится учёт снижения подстилающей поверхностью (см.ниже)											
Снижение поверхностью земли возле источника As, дБ		-1,5		-1,5		-1,5		-1,5		-1,5	
Снижение поверхностью земли возле приёмника Ar, дБ		-1,5		-1,5		-1,5		-1,5		-1,5	
Снижение поверхностью земли в средней зоне, Am, дБ		-1,5		-1,5		-1,5		-1,5		-1,5	
Суммарное снижение поверхности земли на траектории распространения звука Agr, дБ		-4,5		-4,5		-4,5		-4,5		-4,5	
Критерий наличия отражения в октавной полосе		да		да		да		да		да	
Уровни звукового давления от минимого источника ИШ-34_мн.(1) в расчётной точке днём, дБ		0		0		0		0		0	
Уровни звукового давления от мнимого источника ИШ-34_мн.(1) в расчётной точке ночью, дБ		0		0		0		0		0	
Уровни звукового давления от источника ИШ-34 в расчётной точке днём, дБ		0		6,4		0		14,1		10,2	
Уровни звукового давления от источника ИШ-34 в расчётной точке ночью, дБ		0		6,4		0		14,1		10,2	
<b>Источники шума: ИШ-35, координаты источника (x,y,z), м = [2249050.20;411646.60;10.30]</b>											
Уровни звуковой мощности источника днём, Lw, дБ		0		64		62		70		77	
Уровни звуковой мощности источника ночью, Lw, дБ		0		64		62		70		77	
Поправка на телесный угол DΩ, дБ		6		6		6		6		6	
Показатель направленности источника Di, дБ		4,9		4,9		4,9		4,9		4,9	
Поправка на направленность источника Dc, дБ		10,9		10,9		10,9		10,9		10,9	
Затухание из-за геометрической дивергенции, Adiv, дБ		70,2									
Коэффициент затухания звука в атмосфере α, дБ/км		0,02		0,09		0,33		1,12		2,79	
Учет затухания звука в атмосфере Aatm, дБ		0		0,1		0,3		1		2,6	
Снижение поверхностью земли возле источника As, дБ		-1,5		-1,5		-1,5		-1,5		-1,5	
Снижение поверхностью земли возле приёмника Ar, дБ		-1,5		-1,5		-1,5		-1,5		-1,5	
Снижение поверхностью земли в средней зоне, Am, дБ		-1,8		-1,8		-1,8		-1,8		-1,8	
Суммарное снижение поверхности земли на траектории распространения звука Agr, дБ		-4,8		-4,8		-4,8		-4,8		-4,8	
Уровни звукового давления прямого звука от источника ИШ-35 в расчётной точке днём, дБ		0		9,5		7,2		14,5		20	
Уровни звукового давления прямого звука от источника ИШ-35 в расчётной точке ночью, дБ		0		9,5		7,2		14,5		20	
<b>Расчёт отражённого звука</b>											
<b>Мнимый источник ИШ-35_мн.(1), образованный отражением от поверхности препятствия Экран 19</b>											
Координаты точки отражения (x,y,z), м		Дистанция между ИШ и ИШм: R(ИШ-ИШм) = 0.2м Дистанция между ИШм и РТ: R(ИШм-РТ) = 914.8м									
исходные данные											

Коэффициент отражения поверхности р		1	1	1	1	1	1	1	1	1	1	1	1
Поправка на телесный угол $D\Omega, dB$		6	6	6	6	6	6	6	6	6	6	6	6
Показатель направленности источника $D_i, dB$		-9,8	-9,8	-9,8	-9,8	-9,8	-9,8	-9,8	-9,8	-9,8	-9,8	-9,8	-9,8
Поправка на направленность источника $D_{i\Gamma}, dB$		-3,8	-3,8	-3,8	-3,8	-3,8	-3,8	-3,8	-3,8	-3,8	-3,8	-3,8	-3,8
<b>Уровни звуковой мощности мнимого источника днём, дБ</b>		0	60,2	58,2	66,2	73,2	64,2	62,2	59,2	62,2	59,2	54,2	54,2
<b>Уровни звуковой мощности мнимого источника ночью, дБ</b>		0	60,2	58,2	66,2	73,2	64,2	62,2	59,2	62,2	59,2	54,2	54,2
Затухание из-за геометрической дивергенции, $A_{div}, dB$		70,2											
Коэффициент затухания звука в атмосфере $\alpha, dB/km$		0,02	0,09	0,33	1,12	2,79	4,98	9,04	23,09	77,63			
Учет затухания звука в атмосфере $A_{atm}, dB$		0	0,1	0,3	1	2,6	4,6	8,3	21,1	71			
Снижение поверхностью земли возле источника $A_s, dB$		-1,5	-1,5	-1,5	-1,5	-1,5	-1,5	-1,5	-1,5	-1,5	-1,5	-1,5	-1,5
Снижение поверхностью земли возле приёмника $A_r, dB$		-1,5	-1,5	-1,5	-1,5	-1,5	-1,5	-1,5	-1,5	-1,5	-1,5	-1,5	-1,5
Снижение поверхностью земли в средней зоне, $A_m, dB$		-1,8	-1,8	-1,8	-1,8	-1,8	-1,8	-1,8	-1,8	-1,8	-1,8	-1,8	-1,8
Суммарное снижение поверхности земли на траектории распространения звука $A_{\Gamma}, dB$		-4,8	-4,8	-4,8	-4,8	-4,8	-4,8	-4,8	-4,8	-4,8	-4,8	-4,8	-4,8
Критерий наличия отражения в октавной полосе		да	да	да	да	да	да	да	да	да	да	да	да
<b>Уровни звукового давления от мнимого источника ИШ-35_мн.(1) в расчётной точке днём, дБ</b>		0	0	0	0	5,3	0	0	0	0	0	2,1	2,1
<b>Уровни звукового давления от мнимого источника ИШ-35_мн.(1) в расчётной точке ночью, дБ</b>		0	0	0	0	5,3	0	0	0	0	0	2,1	2,1
<b>Уровни звукового давления от источника ИШ-35 в расчётной точке днём, дБ</b>		0	9,5	7,2	14,5	20,1	9	0	0	0	0	17,9	17,9
<b>Уровни звукового давления от источника ИШ-35 в расчётной точке ночью, дБ</b>		0	9,5	7,2	14,5	20,1	9	0	0	0	0	17,9	17,9
<b>Источник шума: ИШ-36, координаты источника (x,y,z), м = [2248983.00;411707.60;45.00]</b>													
Исходные данные		0	84	76	76	84	79	74	70	64	64		
Исходные данные		0	84	76	76	84	79	74	70	64	64		
Поправка на телесный угол $D\Omega, dB$		3	3	3	3	3	3	3	3	3	3	3	3
Показатель направленности источника $D_i, dB$		0	0	0	0	0	0	0	0	0	0	0	0
Поправка на направленность источника $D_{s\Gamma}, dB$		3	3	3	3	3	3	3	3	3	3	3	3
Затухание из-за геометрической дивергенции, $A_{div}, dB$		71											
Коэффициент затухания звука в атмосфере $\alpha, dB/km$		0,02	0,09	0,33	1,12	2,79	4,98	9,04	23,09	77,63			
Учет затухания звука в атмосфере $A_{atm}, dB$		0	0,1	0,3	1,1	2,8	5	9	23	77,2			
<b>Снижение уровня звукового давления из-за влияния застройки между источником шума и расчётной точкой</b>													
Промежуточные точки:		$d_{ss} = 73,42$ м $d_{sr} = 921,11$ м $e = 0,00$ м $z = 0,04$ м											
Траектория над экраном		40	40	40	40	40	40	40	40	40	40	40	40
Константа $C_2$ , учитывающая эффект отражения от земли возле экрана		1	1	1	1	1	1	1	1	1	1	1	1
Константа $C_3$ (дифракция на кровлях)		0	0	0	0	0	0	0	0	0	0	0	0
$K_{мет}$ (влияние метеусловий)		4,8	4,8	4,8	4,8	4,8	4,8	4,8	4,8	4,8	4,8	4,8	4,8
Снижение УЭД, $D_z, dB$		0	11,2	3	2,2	8,5	1,3	0	0	0	0	7	7
<b>Уровни звукового давления от источника ИШ-36 в расчётной точке днём, дБ</b>		0	11,2	3	2,2	8,5	1,3	0	0	0	0	7	7
<b>Уровни звукового давления от источника ИШ-36 в расчётной точке ночью, дБ</b>		0	11,2	3	2,2	8,5	1,3	0	0	0	0	7	7
<b>Источник шума: ИШ-37, координаты источника (x,y,z), м = [2248995.50;411705.90;45.00]</b>													
Исходные данные		0	84	76	76	84	79	74	70	64	64		
Исходные данные		0	84	76	76	84	79	74	70	64	64		
Поправка на телесный угол $D\Omega, dB$		3	3	3	3	3	3	3	3	3	3	3	3
Показатель направленности источника $D_i, dB$		0	0	0	0	0	0	0	0	0	0	0	0
Поправка на направленность источника $D_{s\Gamma}, dB$		3	3	3	3	3	3	3	3	3	3	3	3
Затухание из-за геометрической дивергенции, $A_{div}, dB$		70,8											
Коэффициент затухания звука в атмосфере $\alpha, dB/km$		0,02	0,09	0,33	1,12	2,79	4,98	9,04	23,09	77,63			
Учет затухания звука в атмосфере $A_{atm}, dB$		0	0,1	0,3	1,1	2,7	4,9	8,9	22,7	76,2			

Снижение уровня звукового давления из-за влияния застройки между источником шума и расчетной точкой											
Промежуточные точки:		Pst(x,y,z) = (2249054,44,411693,03,44,00)		Pst(x,y,z) = (2249054,44,411693,03,44,00)		dss = 60,79 м		dst = 921,21 м		e = 0,00 м z = 0,03 м	
Траектория над экраном											
Константа С2, учитывающая эффект отражения от земли возле экрана						40		40		40	
Константа С3 (дифракция на краяхах)						1		1		1	
Kмет (влияние метеословесий)						0		0		0	
Снижение УЗД, Dz, дБ						4,8		4,8		4,8	
Уровни звукового давления от источника ИШ-37 в расчётной точке днём, дБ											
Уровни звукового давления от источника ИШ-37 в расчётной точке ночью, дБ						0		11,3		8,7	
Источник шума: ИШ-38, координаты источника (x,y,z), м = [2249009,00,411704,70,45,00]						0		11,3		8,7	
Уровни звуковой мощности источника днём, Lw, дБ											
Уровни звуковой мощности источника ночью, Lw, дБ						0		84		76	
Исходные данные						0		84		76	
Уровни звуковой мощности источника днём, Lw, дБ						3		3		3	
Исходные данные						3		3		3	
Исходные данные						0		0		0	
Исходные данные						3		3		3	
Исходные данные						0,02		0,09		0,33	
Учет затухания звука в атмосфере Aatm, дБ						0		0,1		0,3	
Снижение уровня звукового давления из-за влияния застройки между источником шума и расчетной точкой											
Промежуточные точки:		Pst(x,y,z) = (2249054,79,411693,04,44,00)		Pst(x,y,z) = (2249054,79,411693,04,44,00)		dss = 47,26 м		dst = 921,36 м		e = 0,00 м z = 0,01 м	
Траектория над экраном											
Константа С2, учитывающая эффект отражения от земли возле экрана						40		40		40	
Константа С3 (дифракция на краяхах)						1		1		1	
Kмет (влияние метеословесий)						0		0		0	
Снижение УЗД, Dz, дБ						4,8		4,8		4,8	
Уровни звукового давления от источника ИШ-38 в расчётной точке днём, дБ											
Уровни звукового давления от источника ИШ-38 в расчётной точке ночью, дБ						0		11,4		8,8	
Источник шума: ИШ-39, координаты источника (x,y,z), м = [2249023,60,411701,60,45,00]						0		11,4		8,8	
Уровни звуковой мощности источника днём, Lw, дБ											
Уровни звуковой мощности источника ночью, Lw, дБ						0		84		76	
Исходные данные						0		84		76	
Уровни звуковой мощности источника ночью, Lw, дБ						3		3		3	
Исходные данные						3		3		3	
Исходные данные						0		0		0	
Исходные данные						3		3		3	
Исходные данные						0,02		0,09		0,33	
Учет затухания звука в атмосфере Aatm, дБ						0		0,1		0,3	
Снижение уровня звукового давления из-за влияния застройки между источником шума и расчетной точкой											
Промежуточные точки:		Pst(x,y,z) = (2249054,89,411693,61,44,00)		Pst(x,y,z) = (2249054,89,411693,61,44,00)		dss = 32,31 м		dst = 921,40 м		e = 0,00 м z = 0,00 м	
Траектория над экраном											
Константа С2, учитывающая эффект отражения от земли возле экрана						40		40		40	
Константа С3 (дифракция на краяхах)						1		1		1	
Kмет (влияние метеословесий)						0		0		0	
Снижение УЗД, Dz, дБ						4,8		4,8		4,8	
Уровни звукового давления от источника ИШ-39 в расчётной точке днём, дБ											
Уровни звукового давления от источника ИШ-39 в расчётной точке ночью, дБ						0		11,6		9	
Источник шума: ИШ-40, координаты источника (x,y,z), м = [2249036,20,411698,80,45,00]						0		11,6		9	
Уровни звуковой мощности источника днём, Lw, дБ											
Уровни звуковой мощности источника ночью, Lw, дБ						0		84		76	
Исходные данные						0		84		76	
Исходные данные						0		84		76	





Уровни звукового давления от источника ИШ-42 в расчётной точке ночью, ДБ													0	0	0	0	0	0	0	0	0	0	0	0	
Источник шума: ИШ-43, координаты источника (X,y,z), м = [2249111.40,411788.00,34.50]																									
Уровни звуковой мощности источника днём, Lw, ДБ													0	67,2	62,1	66,1	61,7	54	52,8	47	49,1				
Уровни звуковой мощности источника ночью, Lw, ДБ													0	67,2	62,1	66,1	61,7	54	52,8	47	49,1				
Исходные данные																									
исходные данные																									
10Lg(4πr/2)													3	3	3	3	3	3	3	3	3	3	3	3	
исходные данные																									
Dc													0	0	0	0	0	0	0	0	0	0	0	0	
Dc													3	3	3	3	3	3	3	3	3	3	3	3	
Затухание из-за геометрической дивергенции, Adiv, ДБ													70												
расстояние = 895.86 м																									
коэффициент затухания звука в атмосфере α, ДБ/км													0,02	0,09	0,33	1,12	2,79	4,98	9,04	23,09	77,63				
Ta=20; C Pa=101.33,кПа hотн.=70%																									
Учет затухания звука в атмосфере Aatm, ДБ													0	0,1	0,3	1	2,5	4,5	8,1	20,7	69,5				
исходные данные																									
φ-ла(8) [10]													-1,5	-1,5	-1,5	-1,5	-1,5	-1,5	-1,5	-1,5	-1,5	-1,5	-1,5	-1,5	
Gs = 0hs = 1м													-1,5	-1,5	-1,5	-1,5	-1,5	-1,5	-1,5	-1,5	-1,5	-1,5	-1,5	-1,5	
φ-лы таб.3 [10]													-1,5	-1,5	-1,5	-1,5	-1,5	-1,5	-1,5	-1,5	-1,5	-1,5	-1,5	-1,5	
Gr = 0ht = 1.5м													-2,7	-2,7	-2,7	-2,7	-2,7	-2,7	-2,7	-2,7	-2,7	-2,7	-2,7	-2,7	
φ-лы таб.3 [10]													-5,7	-5,7	-5,7	-5,7	-5,7	-5,7	-5,7	-5,7	-5,7	-5,7	-5,7	-5,7	
Gm = 0													0	0	0	0	0	0	0	0	0	0	0	0	
φ-ла(9) [10]													5,8	5,8	5,8	5,8	5,8	5,8	5,8	5,8	5,8	5,8	5,8	5,8	
φ-ла(3)[10]													0	5,8	0	0	0	0	0	0	0	0	0	0	
φ-ла(3)[10]													0	5,8	0	0	0	0	0	0	0	0	0	0	
Уровни звукового давления от источника ИШ-43 в расчётной точке ночью, ДБ																									
Источник шума: ИШ-44, координаты источника (X,y,z), м = [2249111.20,411786.00,34.50]																									
Уровни звуковой мощности источника днём, Lw, ДБ													0	67,2	62,1	66,1	61,7	54	52,8	47	49,1				
Уровни звуковой мощности источника ночью, Lw, ДБ													0	67,2	62,1	66,1	61,7	54	52,8	47	49,1				
Исходные данные																									
исходные данные																									
10Lg(4πr/2)													3	3	3	3	3	3	3	3	3	3	3	3	
исходные данные																									
Dc													0	0	0	0	0	0	0	0	0	0	0	0	
Dc													3	3	3	3	3	3	3	3	3	3	3	3	
Затухание из-за геометрической дивергенции, Adiv, ДБ													70												
расстояние = 895.33 м																									
коэффициент затухания звука в атмосфере α, ДБ/км													0,02	0,09	0,33	1,12	2,79	4,98	9,04	23,09	77,63				
Ta=20; C Pa=101.33,кПа hотн.=70%																									
Учет затухания звука в атмосфере Aatm, ДБ													0	0,1	0,3	1	2,5	4,5	8,1	20,7	69,5				
исходные данные																									
φ-ла(8) [10]													-1,5	-1,5	-1,5	-1,5	-1,5	-1,5	-1,5	-1,5	-1,5	-1,5	-1,5	-1,5	
Gs = 0hs = 1м													-1,5	-1,5	-1,5	-1,5	-1,5	-1,5	-1,5	-1,5	-1,5	-1,5	-1,5	-1,5	
φ-лы таб.3 [10]													-1,5	-1,5	-1,5	-1,5	-1,5	-1,5	-1,5	-1,5	-1,5	-1,5	-1,5	-1,5	
Gr = 0ht = 1.5м													-2,7	-2,7	-2,7	-2,7	-2,7	-2,7	-2,7	-2,7	-2,7	-2,7	-2,7	-2,7	
φ-лы таб.3 [10]													-5,7	-5,7	-5,7	-5,7	-5,7	-5,7	-5,7	-5,7	-5,7	-5,7	-5,7	-5,7	
Gm = 0													0	0	0	0	0	0	0	0	0	0	0	0	
φ-ла(9) [10]													5,8	5,8	5,8	5,8	5,8	5,8	5,8	5,8	5,8	5,8	5,8	5,8	
φ-ла(3)[10]													0	5,8	0	0	0	0	0	0	0	0	0	0	
φ-ла(3)[10]													0	5,8	0	0	0	0	0	0	0	0	0	0	
Уровни звукового давления от источника ИШ-44 в расчётной точке ночью, ДБ																									
Источник шума: ИШ-45, координаты источника (X,y,z), м = [2249110.70,411784.00,34.50]																									
Уровни звуковой мощности источника днём, Lw, ДБ													0	67,2	62,1	66,1	61,7	54	52,8	47	49,1				
Уровни звуковой мощности источника ночью, Lw, ДБ													0	67,2	62,1	66,1	61,7	54	52,8	47	49,1				
Исходные данные																									
исходные данные																									
10Lg(4πr/2)													3	3	3	3	3	3	3	3	3	3	3	3	
исходные данные																									
Dc													0	0	0	0	0	0	0	0	0	0	0	0	
Dc													3	3	3	3	3	3	3	3	3	3	3	3	
Затухание из-за геометрической дивергенции, Adiv, ДБ													70												
расстояние = 895.08 м																									
коэффициент затухания звука в атмосфере α, ДБ/км													0,02	0,09	0,33	1,12	2,79	4,98	9,04	23,09	77,63				
Ta=20; C Pa=101.33,кПа hотн.=70%																									
Учет затухания звука в атмосфере Aatm, ДБ													0	0,1	0,3	1	2,5	4,5	8,1	20,7	69,5				
исходные данные																									
φ-ла(8) [10]													-1,5	-1,5	-1,5	-1,5	-1,5	-1,5	-1,5	-1,5	-1,5	-1,5	-1,5	-1,5	
Gs = 0hs = 1м													-1,5	-1,5	-1,5	-1,5	-1,5	-1,5	-1,5	-1,5	-1,5	-1,5	-1,5	-1,5	
φ-лы таб.3 [10]													-1,5	-1,5	-1,5	-1,5	-1,5	-1,5	-1,5	-1,5	-1,5	-1,5	-1,5	-1,5	
Gr = 0ht = 1.5м													-2,7	-2,7	-2,7	-2,7	-2,7	-2,7	-2,7	-2,7	-2,7	-2,7	-2,7	-2,7	
φ-лы таб.3 [10]													-5,7	-5,7	-5,7	-5,7	-5,7	-5,7	-5,7	-5,7	-5,7	-5,7	-5,7	-5,7	
Gm = 0													0	0	0	0	0	0	0	0	0	0	0	0	
φ-ла(9) [10]													5,8	5,8	5,8	5,8	5,8	5,8	5,8	5,8	5,8	5,8	5,8	5,8	
φ-ла(3)[10]													0	5,8	0	0	0	0	0	0	0	0	0	0	
φ-ла(3)[10]													0	5,8	0	0	0	0	0	0	0	0	0	0	
Уровни звукового давления от источника ИШ-45 в расчётной точке ночью, ДБ																									

<b>Уровни звукового давления от источника ИШ-45 в расчётной точке ночью, ДБ</b>												
<b>Источник шума: ИШ-46, координаты источника (x,y,z), м = [2249109.10;411733.90;7.30]</b>												
<b>Уровни звуковой мощности источника днём, Lw, ДБ</b>												
<b>Уровни звуковой мощности источника ночью, Lw, ДБ</b>												
Поправка на телесный угол $\Omega$ , ДБ												
Поправка на направленность источника Di, ДБ												
Поправка на направленность источника Dc, ДБ												
Затухание из-за геометрической дивергенции, Adiv, ДБ												
Кэффициент затухания звука в атмосфере $\alpha$ , ДБ/км												
Учет затухания звука в атмосфере Aatm, ДБ												
Снижение поверхностью земли возле источника As, ДБ												
Снижение поверхностью земли возле приёмника Ar, ДБ												
Снижение поверхностью земли в средней зоне, At, ДБ												
Суммарное снижение поверхности земли на траектории распространения звука Agr, ДБ												
<b>Уровни звукового давления прямого звука от источника ИШ-46 в расчётной точке днём, ДБ</b>												
<b>Уровни звукового давления прямого звука от источника ИШ-46 в расчётной точке ночью, ДБ</b>												
<b>Расчёт отражённого звука</b>												
<b>Мнимый источник ИШ-46_мн.(1), образованный отражением от поверхности препятствия Турбинное отделение</b>												
Координаты точки отражения (x,y,z), м												
Дистанция между ИШ и ИШм: R(ИШ-ИШм) = 0.6м Дистанция между ИШм и РТ: R(ИШм-РТ) = 880.0м												
Коэффициент отражения поверхности р												
Поправка на телесный угол $\Omega$ , ДБ												
Показатель направленности источника Di, ДБ												
Поправка на направленность источника Dir, ДБ												
<b>Уровни звуковой мощности мнимого источника днём, ДБ</b>												
<b>Уровни звуковой мощности мнимого источника ночью, ДБ</b>												
Затухание из-за геометрической дивергенции, Adiv, ДБ												
Кэффициент затухания звука в атмосфере $\alpha$ , ДБ/км												
Учет затухания звука в атмосфере Aatm, ДБ												
Снижение поверхностью земли возле источника As, ДБ												
Снижение поверхностью земли возле приёмника Ar, ДБ												
Снижение поверхностью земли в средней зоне, At, ДБ												
Суммарное снижение поверхности земли на траектории распространения звука Agr, ДБ												
Критерий наличия отражения в октавной полосе												
<b>Уровни звукового давления от мнимого источника ИШ-46_мн.(1) в расчётной точке днём, ДБ</b>												
<b>Уровни звукового давления от мнимого источника ИШ-46_мн.(1) в расчётной точке ночью, ДБ</b>												
<b>Уровни звукового давления от источника ИШ-46 в расчётной точке днём, ДБ</b>												
<b>Уровни звукового давления от источника ИШ-46 в расчётной точке ночью, ДБ</b>												
<b>Источник шума: ИШ-47, координаты источника (x,y,z), м = [2249117.50;411778.60;7.30]</b>												
<b>Уровни звуковой мощности источника днём, Lw, ДБ</b>												
<b>Уровни звуковой мощности источника ночью, Lw, ДБ</b>												
Поправка на телесный угол $\Omega$ , ДБ												
Показатель направленности источника Di, ДБ												
Поправка на направленность источника Dc, ДБ												
Затухание из-за геометрической дивергенции, Adiv, ДБ												
расстояние = 886.22 м												
70												

Коэффициент затухания звука в атмосфере $\alpha$ , дБ/км	$T_a=20^\circ\text{C}$ , $P_a=101.33\text{кПа}$ $\text{hотп.}=70\%$	0,02	0,09	0,33	1,12	2,79	4,98	9,04	23,09	77,63
Учет затухания звука в атмосфере $A_{\text{атм}}$ , дБ		0	0,1	0,3	1	2,5	4,4	8	20,5	68,8
Снижение поверхностью земли возле источника $A_s$ , дБ	$G_s = 0 \text{hs} = 7,3\text{м}$	-1,5	-1,5	-1,5	-1,5	-1,5	-1,5	-1,5	-1,5	-1,5
Снижение поверхностью земли возле приёмника $A_r$ , дБ	$G_r = 0 \text{hr} = 1,5\text{м}$	-1,5	-1,5	-1,5	-1,5	-1,5	-1,5	-1,5	-1,5	-1,5
Снижение поверхностью земли в средней зоне, $A_m$ дБ	$G_m = 0$	-2,1	-2,1	-2,1	-2,1	-2,1	-2,1	-2,1	-2,1	-2,1
Суммарное снижение поверхности земли на траектории распространения звука $A_{\text{гр}}$ , дБ		-5,1	-5,1	-5,1	-5,1	-5,1	-5,1	-5,1	-5,1	-5,1
Уровни звукового давления прямого звука от источника ИШ-47 в расчётной точке днём, дБ	$\Phi\text{-ла}(3)[10]$	0	16,2	20,1	19,3	13,6	8	0	0	15
Уровни звукового давления прямого звука от источника ИШ-47 в расчётной точке ночью, дБ	$\Phi\text{-ла}(3)[10]$	0	16,2	20,1	19,3	13,6	8	0	0	15
Расчёт отражённого звука										
<b>Мнимый источник ИШ-47_мн.(1), образованный отражением от поверхности препятствия Турбинное отделение</b>										
Координаты точки отражения (x,y,z), м	(2249116.4;411778.6;7.3)	Дистанция между ИШ и ИШМ: $R(\text{ИШ}-\text{ИШМ}) = 1.1\text{м}$ Дистанция между ИШМ и РТ: $R(\text{ИШМ}-\text{РТ}) = 887.2\text{м}$								
Коэффициент отражения поверхности $\rho$	исходные данные	1	1	1	1	1	1	1	1	1
Поправка на телесный угол $D\Omega$ , дБ	$\Omega = 3.14$	6	6	6	6	6	6	6	6	6
Показатель направленности источника $D_i$ , дБ	угол разности = 177.7°	-9,7	-9,7	-9,7	-9,7	-9,7	-9,7	-9,7	-9,7	-9,7
Поправка на направленность источника $D_{ir}$ , дБ	$D\Omega + D_i$	-3,7	-3,7	-3,7	-3,7	-3,7	-3,7	-3,7	-3,7	-3,7
Уровни звуковой мощности мнимого источника днём, дБ	$\Phi\text{-ла}(20)[10]$	0	67,5	71,6	71,5	67,3	63,6	58,2	52,5	46,5
Уровни звуковой мощности мнимого источника ночью, дБ	$\Phi\text{-ла}(20)[10]$	0	67,5	71,6	71,5	67,3	63,6	58,2	52,5	46,5
Затухание из-за геометрической дивергенции, $A_{\text{див}}$ , дБ	расстояние = 888.35 м	70								
Коэффициент затухания звука в атмосфере $\alpha$ , дБ/км	$T_a=20^\circ\text{C}$ , $P_a=101.33\text{кПа}$ $\text{hотп.}=70\%$	0,02	0,09	0,33	1,12	2,79	4,98	9,04	23,09	77,63
Учет затухания звука в атмосфере $A_{\text{атм}}$ , дБ		0	0,1	0,3	1	2,5	4,4	8	20,5	69
Снижение поверхностью земли возле источника $A_s$ , дБ	$G_s = 0 \text{hs} = 7,3\text{м}$	-1,5	-1,5	-1,5	-1,5	-1,5	-1,5	-1,5	-1,5	-1,5
Снижение поверхностью земли возле приёмника $A_r$ , дБ	$G_r = 0 \text{hr} = 1,5\text{м}$	-1,5	-1,5	-1,5	-1,5	-1,5	-1,5	-1,5	-1,5	-1,5
Снижение поверхностью земли в средней зоне, $A_m$ дБ	$G_m = 0$	-2,1	-2,1	-2,1	-2,1	-2,1	-2,1	-2,1	-2,1	-2,1
Суммарное снижение поверхности земли на траектории распространения звука $A_{\text{гр}}$ , дБ		-5,1	-5,1	-5,1	-5,1	-5,1	-5,1	-5,1	-5,1	-5,1
Критерий наличия отражения в октавной полосе	$\text{hmin} = 33,5 \text{ м}$	да	да	да	да	да	да	да	да	да
Уровни звукового давления от мнимого источника ИШ-47_мн.(1) в расчётной точке днём, дБ	$\Phi\text{-ла}(3)[10]$	0	0	6,4	5,6	0	0	0	0	0
Уровни звукового давления от мнимого источника ИШ-47_мн.(1) в расчётной точке ночью, дБ	$\Phi\text{-ла}(3)[10]$	0	0	6,4	5,6	0	0	0	0	0
Уровни звукового давления от источника ИШ-47 в расчётной точке днём, дБ	$\Phi\text{-ла}(3)[10]$	0	16,2	20,3	19,5	13,6	8	0	0	15,1
Уровни звукового давления от источника ИШ-47 в расчётной точке ночью, дБ	$\Phi\text{-ла}(3)[10]$	0	16,2	20,3	19,5	13,6	8	0	0	15,1
<b>Источник шума: ИШ-48, координаты источника (x,y,z), м = [2249109.90;411779.20;35.00]</b>										
Уровни звуковой мощности источника днём, Лw, дБ	исходные данные	0	75,2	59,3	80,2	77	73,3	67,9	62,2	56,2
Уровни звуковой мощности источника ночью, Лw, дБ	исходные данные	0	75,2	59,3	80,2	77	73,3	67,9	62,2	56,2
Поправка на телесный угол $D\Omega$ , дБ	$\Omega = 6.28$	3	3	3	3	3	3	3	3	3
Показатель направленности источника $D_i$ , дБ	$D\Omega + D_i$	0	0	0	0	0	0	0	0	0
Поправка на направленность источника $D_s$ , дБ	$D_s$	3	3	3	3	3	3	3	3	3
Затухание из-за геометрической дивергенции, $A_{\text{див}}$ , дБ	расстояние = 894.16 м	70								
Коэффициент затухания звука в атмосфере $\alpha$ , дБ/км	$T_a=20^\circ\text{C}$ , $P_a=101.33\text{кПа}$ $\text{hотп.}=70\%$	0,02	0,09	0,33	1,12	2,79	4,98	9,04	23,09	77,63
Учет затухания звука в атмосфере $A_{\text{атм}}$ , дБ		0	0,1	0,3	1	2,5	4,5	8,1	20,6	69,4
Снижение поверхностью земли возле источника $A_s$ , дБ	$G_s = 0 \text{hs} = 1,5\text{м}$	-1,5	-1,5	-1,5	-1,5	-1,5	-1,5	-1,5	-1,5	-1,5
Снижение поверхностью земли возле приёмника $A_r$ , дБ	$G_r = 0 \text{hr} = 1,5\text{м}$	-1,5	-1,5	-1,5	-1,5	-1,5	-1,5	-1,5	-1,5	-1,5
Снижение поверхностью земли в средней зоне, $A_m$ дБ	$G_m = 0$	-2,7	-2,7	-2,7	-2,7	-2,7	-2,7	-2,7	-2,7	-2,7
Суммарное снижение поверхности земли на траектории распространения звука $A_{\text{гр}}$ , дБ		-5,7	-5,7	-5,7	-5,7	-5,7	-5,7	-5,7	-5,7	-5,7
Уровни звукового давления от источника ИШ-48 в расчётной точке днём, дБ	$\Phi\text{-ла}(3)[10]$	0	13,8	0	17,9	13,2	7,5	0	0	13,8
Уровни звукового давления от источника ИШ-48 в расчётной точке ночью, дБ	$\Phi\text{-ла}(3)[10]$	0	13,8	0	17,9	13,2	7,5	0	0	13,8

<b>Источник шума: ИШ-49, координаты источника (x,y,z), м = [2248987.60,411737.20,51.40]</b>													
<b>Уровни звуковой мощности источника днём, Lw, ДБ</b>													
<b>Уровни звуковой мощности источника ночью, Lw, ДБ</b>													
Поправка на телесный угол $D\Omega, ДБ$													
Показатель направленности источника $D_i, ДБ$													
Поправка на направленности источника $D_c, ДБ$													
Затухание из-за геометрической дивергенции, $A_{div}, ДБ$													
Коэффициент затухания звука в атмосфере $\alpha, ДБ/км$													
Учет затухания звука в атмосфере $A_{atm}, ДБ$													
<b>Снижение уровня звукового давления из-за влияния застройки между источником шума и расчётной точкой</b>													
Промежуточные точки: $P_{ss}(x,y,z) = (2249050.57,411719.39,51.00)$ $P_{st}(x,y,z) = (2249050.57,411719.39,51.00)$													
Константа $C_2$ , учитывающая эффект отражения от земли возле экрана													
Константа $C_3$ (дифракция на краях)													
$K_{мет}$ (влияние метеословий)													
Снижение $U_{эд}, D_z, ДБ$													
<b>Уровни звукового давления прямого звука от источника ИШ-49 в расчётной точке днём, ДБ</b>													
<b>Уровни звукового давления прямого звука от источника ИШ-49 в расчётной точке ночью, ДБ</b>													
<b>Расчёт отражённого звука</b>													
<b>Мнимый источник ИШ-49 мн.(1), образованный отражением от поверхности препятствия Экран 16</b>													
Координаты точки отражения (x,y,z), м $(2248980.6,411737.7,51.0)$													
Дистанция между ИШ и ИШМ: $R(ИШ-ИШМ) = 7.1 м$ Дистанция между ИШМ и РТ: $R(ИШМ-РТ) = 1004.9 м$													
Коэффициент отражения поверхности $\rho$													
Поправка на телесный угол $D\Omega, ДБ$													
Показатель направленности источника $D_i, ДБ$													
Поправка на направленности источника $D_{ig}, ДБ$													
<b>Уровни звуковой мощности мнимого источника днём, ДБ</b>													
<b>Уровни звуковой мощности мнимого источника ночью, ДБ</b>													
Затухание из-за геометрической дивергенции, $A_{div}, ДБ$													
Коэффициент затухания звука в атмосфере $\alpha, ДБ/км$													
Учет затухания звука в атмосфере $A_{atm}, ДБ$													
<b>Снижение уровня звукового давления из-за влияния застройки между источником шума и расчётной точкой</b>													
Промежуточные точки: $P_{ss}(x,y,z) = (2249038.20,411721.50,51.00)$ $P_{st}(x,y,z) = (2249038.20,411721.50,51.00)$													
Константа $C_2$ , учитывающая эффект отражения от земли возле экрана													
Константа $C_3$ (дифракция на краях)													
$K_{мет}$ (влияние метеословий)													
Снижение $U_{эд}, D_z, ДБ$													
Критерий наличия отражения в октавной полосе $l_{min} = 9 м$													
<b>Уровни звукового давления от мнимого источника ИШ-49 мн.(1) в расчётной точке днём, ДБ</b>													
<b>Уровни звукового давления от мнимого источника ИШ-49 мн.(1) в расчётной точке ночью, ДБ</b>													
<b>Уровни звукового давления от источника ИШ-49 в расчётной точке днём, ДБ</b>													
<b>Уровни звукового давления от источника ИШ-49 в расчётной точке ночью, ДБ</b>													
<b>Источник шума: ИШ-50, координаты источника (x,y,z), м = [2248990.20,411750.80,51.50]</b>													
<b>Уровни звуковой мощности источника днём, Lw, ДБ</b>													
<b>Уровни звуковой мощности источника ночью, Lw, ДБ</b>													
Поправка на телесный угол $D\Omega, ДБ$													
Показатель направленности источника $D_i, ДБ$													

Поправка на направленность источника Dc, дБ		Dc		D0 + D1		3		3		3		3		3		3		3	
Затухание из-за геометрической дивергенции, Adiv, дБ		расстояние = 999,28 м		φ-ла (7) [10]		71		71		71		71		71		71		71	
Коэффициент затухания звука в атмосфере α, дБ/км		Ta=20; C Pa=101.33,кПа лотн.=70%		φ-ла (5) [9]		0,02		0,09		0,33		1,12		2,79		4,98		23,09	
Учет затухания звука в атмосфере Aatm, дБ				φ-ла (8) [10]		0		0,1		0,3		1,1		2,8		5		23,1	
<b>Снижение уровня звукового давления из-за влияния застройки между источником шума и расчётной точкой</b>						dss = 65,35 м		dst = 934,00 м		e = 0,00 м		z = 0,06 м							
Промежуточные точки:		Pst(x,y,z) = (2249052,82;411732,15;51,00)		Pst(x,y,z) = (2249052,82;411732,15;51,00)		40		40		40		40		40		40		40	
Траектория над экраном		Константа C2, учитывающая эффект отражения от земли возле экрана		φ-ла (15) [10]		1		1		1		1		1		1		1	
		Константа C3 (дифракция на краяхах)		φ-ла (18) [10]		0		0		0		0		0		0		0	
		Kмет (влияние метеословий)		φ-ла (14) [10]		4,8		4,8		4,8		4,8		4,8		4,8		4,8	
		Снижение УЗД, Dz, дБ		φ-ла(3)[10]		0		19,2		9,9		9,1		15,5		8,3		0	
				φ-ла(3)[10]		0		19,2		9,9		9,1		15,5		8,3		0	
<b>Уровни звукового давления от источника ИШ-50 в расчётной точке днём, дБ</b>						0		92		83		83		91		86		81	
<b>Уровни звукового давления от источника ИШ-50 в расчётной точке ночью, дБ</b>						0		92		83		83		91		86		81	
<b>Источники шума: ИШ-51, координаты источника (x,y,z), m = [2248991,70;411763,40;51,50]</b>						0		92		83		83		91		86		81	
<b>Уровни звуковой мощности источника днём, Lw, дБ</b>						0		92		83		83		91		86		81	
<b>Уровни звуковой мощности источника ночью, Lw, дБ</b>						3		3		3		3		3		3		3	
Поправка на телесный угол DΩ, дБ		Ω = 6,28				0		0		0		0		0		0		0	
Показатель направленности источника Di, дБ		угол разности = 92,9 °				0		0		0		0		0		0		0	
Поправка на направленность источника Dc, дБ		Dc				3		3		3		3		3		3		3	
Затухание из-за геометрической дивергенции, Adiv, дБ		расстояние = 1001,51 м		φ-ла (7) [10]		0,02		0,09		0,33		1,12		2,79		4,98		23,09	
Коэффициент затухания звука в атмосфере α, дБ/км		Ta=20; C Pa=101.33,кПа лотн.=70%		φ-ла (8) [10]		0		0,1		0,3		1,1		2,8		5		9,1	
Учет затухания звука в атмосфере Aatm, дБ				φ-ла (7) [10]		0		0,33		1,12		2,79		4,98		9,04		23,09	
<b>Снижение уровня звукового давления из-за влияния застройки между источником шума и расчётной точкой</b>						dss = 66,16 м		dst = 935,42 м		e = 0,00 м		z = 0,06 м							
Промежуточные точки:		Pst(x,y,z) = (2249054,87;411743,72;51,00)		Pst(x,y,z) = (2249054,87;411743,72;51,00)		40		40		40		40		40		40		40	
Траектория над экраном		Константа C2, учитывающая эффект отражения от земли возле экрана		φ-ла (15) [10]		1		1		1		1		1		1		1	
		Константа C3 (дифракция на краяхах)		φ-ла (18) [10]		0		0		0		0		0		0		0	
		Kмет (влияние метеословий)		φ-ла (14) [10]		4,8		4,8		4,8		4,8		4,8		4,8		4,8	
		Снижение УЗД, Dz, дБ		φ-ла(3)[10]		0		19,1		9,9		9,1		15,4		8,2		0	
				φ-ла(3)[10]		0		19,1		9,9		9,1		15,4		8,2		0	
<b>Уровни звукового давления от источника ИШ-51 в расчётной точке днём, дБ</b>						0		92		83		83		91		86		81	
<b>Уровни звукового давления от источника ИШ-51 в расчётной точке ночью, дБ</b>						0		92		83		83		91		86		81	
<b>Источники шума: ИШ-52, координаты источника (x,y,z), m = [2248997,61;411761,85;51,50]</b>						0		92		83		83		91		86		81	
<b>Уровни звуковой мощности источника днём, Lw, дБ</b>						0		92		83		83		91		86		81	
<b>Уровни звуковой мощности источника ночью, Lw, дБ</b>						3		3		3		3		3		3		3	
Поправка на телесный угол DΩ, дБ		Ω = 6,28				0		0		0		0		0		0		0	
Показатель направленности источника Di, дБ		угол разности = 92,9 °				0		0		0		0		0		0		0	
Поправка на направленность источника Dc, дБ		Dc				3		3		3		3		3		3		3	
Затухание из-за геометрической дивергенции, Adiv, дБ		расстояние = 995,42 м		φ-ла (7) [10]		0,02		0,09		0,33		1,12		2,79		4,98		23,09	
Коэффициент затухания звука в атмосфере α, дБ/км		Ta=20; C Pa=101.33,кПа лотн.=70%		φ-ла (8) [10]		0		0,1		0,3		1,1		2,8		5		9,1	
Учет затухания звука в атмосфере Aatm, дБ				φ-ла (8) [10]		0		0,33		1,12		2,79		4,98		9,04		23,09	
<b>Снижение уровня звукового давления из-за влияния застройки между источником шума и расчётной точкой</b>						dss = 60,03 м		dst = 935,45 м		e = 0,00 м		z = 0,06 м							
Промежуточные точки:		Pst(x,y,z) = (2249054,91;411743,98;51,00)		Pst(x,y,z) = (2249054,91;411743,98;51,00)		40		40		40		40		40		40		40	
Траектория над экраном		Константа C2, учитывающая эффект отражения от земли возле экрана		φ-ла (15) [10]		1		1		1		1		1		1		1	
		Константа C3 (дифракция на краяхах)		φ-ла (18) [10]		0		0		0		0		0		0		0	
		Kмет (влияние метеословий)		φ-ла (14) [10]		4,8		4,8		4,8		4,8		4,8		4,8		4,8	
		Снижение УЗД, Dz, дБ		φ-ла(3)[10]		0		19,2		9,9		9,2		15,5		8,3		0	
				φ-ла(3)[10]		0		19,2		9,9		9,2		15,5		8,3		0	



Траектория над экраном	Промежуточные точки:	$P_{\Sigma}(k,y,z) = (2249053.46; 411735.75; 51.00)$	$P_{\Sigma}(k,y,z) = (2249053.46; 411735.75; 51.00)$	$dss = 53.31$ м	$dstr = 934.42$ м	$e = 0.00$ м	$z = 0.05$ м			
	Константа С2, учитывающая эффект отражения от земли возле экрана			40	40	40	40	40		
	Константа С3 (дифракция на краяхах)		Ф-ла (15) [10]	1	1	1	1	1		
	$K_{мет}$ (влияние метеословий)		Ф-ла (18) [10]	0	0	0	0	0		
Уровни звукового давления от источника ИШ-55 в расчётной точке днём, дБ	Снижение УЗД, Dz, дБ		Ф-ла (14) [10]	4,8	4,8	4,8	4,8	4,8		
	Уровни звукового давления от источника ИШ-55 в расчётной точке ночью, дБ		Ф-ла(3)[10]	0	19,3	10	9,2	15,6	8,4	
Источник шума: ИШ-56, координаты источника (x,y,z), м = [2249005.00; 411761.30; 51.50]	исходные данные		Ф-ла(3)[10]	0	19,3	10	9,2	15,6	8,4	
	Уровни звуковой мощности источника днём, Lw, дБ		исходные данные	0	92	83	83	81	86	81
Уровни звуковой мощности источника ночью, Lw, дБ	исходные данные		исходные данные	0	92	83	83	81	86	81
	Поправка на телесный угол $D\Omega$ , дБ	$\Omega = 6.28$	$10 \lg(4\pi/\Omega)$	3	3	3	3	3	3	3
Показатель направленности источника Di, дБ	угол равенности = 92.9 °		исходные данные	0	0	0	0	0	0	0
	Дс		$D\Omega + Di$	3	3	3	3	3	3	3
Поправка на геометрической дивергенции, Adiv, дБ	расстояние = 988.21 м		Ф-ла (7) [10]							
	Коэффициент затухания звука в атмосфере $\alpha$ , дБ/км	$Ta=20, ^\circ C Pa=101.33, \text{кПа } \text{hотн.}=70\%$	Ф-ла (5) [9]	0,02	0,09	0,33	1,12	2,79	4,98	9,04
Учет затухания звука в атмосфере Aatm, дБ			Ф-ла (8) [10]	0	0,1	0,3	1,1	2,8	4,9	8,9
<b>Снижение уровня звукового давления из-за влияния застройки между источником шума и расчётной точкой</b>										
Траектория над экраном	Промежуточные точки:	$P_{\Sigma}(k,y,z) = (2249055.19; 411745.56; 51.00)$	$P_{\Sigma}(k,y,z) = (2249055.19; 411745.56; 51.00)$	$dss = 52.60$ м	$dstr = 935.65$ м	$e = 0.00$ м	$z = 0.05$ м			
	Константа С2, учитывающая эффект отражения от земли возле экрана			40	40	40	40	40		
	Константа С3 (дифракция на краяхах)		Ф-ла (15) [10]	1	1	1	1	1		
	$K_{мет}$ (влияние метеословий)		Ф-ла (18) [10]	0	0	0	0	0		
Уровни звукового давления от источника ИШ-56 в расчётной точке днём, дБ	Снижение УЗД, Dz, дБ		Ф-ла (14) [10]	4,8	4,8	4,8	4,8	4,8	4,8	
	Уровни звукового давления от источника ИШ-56 в расчётной точке ночью, дБ		Ф-ла(3)[10]	0	19,3	10	9,2	15,6	8,4	0
Источник шума: ИШ-57, координаты источника (x,y,z), м = [2249016.90; 411732.00; 51.50]	исходные данные		Ф-ла(3)[10]	0	19,3	10	9,2	15,6	8,4	0
	Уровни звуковой мощности источника днём, Lw, дБ		исходные данные	0	92	83	83	81	86	81
Уровни звуковой мощности источника ночью, Lw, дБ	исходные данные		исходные данные	0	92	83	83	81	86	81
	Поправка на телесный угол $D\Omega$ , дБ	$\Omega = 6.28$	$10 \lg(4\pi/\Omega)$	3	3	3	3	3	3	3
Показатель направленности источника Di, дБ	угол равенности = 93.0 °		исходные данные	0	0	0	0	0	0	0
	Дс		$D\Omega + Di$	3	3	3	3	3	3	3
Затухание из-за геометрической дивергенции, Adiv, дБ	расстояние = 968.42 м		Ф-ла (7) [10]							
	Коэффициент затухания звука в атмосфере $\alpha$ , дБ/км	$Ta=20, ^\circ C Pa=101.33, \text{кПа } \text{hотн.}=70\%$	Ф-ла (5) [9]	0,02	0,09	0,33	1,12	2,79	4,98	9,04
Учет затухания звука в атмосфере Aatm, дБ			Ф-ла (8) [10]	0	0,1	0,3	1,1	2,7	4,8	8,8
<b>Снижение уровня звукового давления из-за влияния застройки между источником шума и расчётной точкой</b>										
Траектория над экраном	Промежуточные точки:	$P_{\Sigma}(k,y,z) = (2249051.30; 411722.16; 55.00)$	$P_{\Sigma}(k,y,z) = (2249060.00; 411719.67; 55.00)$	$dss = 35.95$ м	$dstr = 923.85$ м	$e = 9.05$ м	$z = 0.43$ м			
	Константа С2, учитывающая эффект отражения от земли возле экрана			40	40	40	40	40		
	Константа С3 (дифракция на краяхах)		Ф-ла (15) [10]	1	1,1	1,3	1,7	2,4	2,8	2,9
	$K_{мет}$ (влияние метеословий)		Ф-ла (18) [10]	0	0	0	0	0	0	0
Уровни звукового давления от источника ИШ-57 в расчётной точке днём, дБ	Снижение УЗД, Dz, дБ		Ф-ла (14) [10]	4,9	5	5,3	6,1	7,7	9,8	12,3
	Уровни звукового давления от источника ИШ-57 в расчётной точке ночью, дБ		Ф-ла(3)[10]	0	19,2	9,7	8,1	12,9	3,6	0
Источник шума: ИШ-58, координаты источника (x,y,z), м = [2249018.60; 411740.00; 51.50]	исходные данные		Ф-ла(3)[10]	0	19,2	9,7	8,1	12,9	3,6	0
	Уровни звуковой мощности источника днём, Lw, дБ		исходные данные	0	92	83	83	81	86	81
Уровни звуковой мощности источника ночью, Lw, дБ	исходные данные		исходные данные	0	92	83	83	81	86	81
	Поправка на телесный угол $D\Omega$ , дБ	$\Omega = 6.28$	$10 \lg(4\pi/\Omega)$	3	3	3	3	3	3	3









Траектория над экраном	Константа С3 (дифракция на кромках)		φ-ла (15) [10]	1,5	2,2	2,7	2,9	3	3	3	3	3	3
	K <sub>мет</sub> (величины метеословий)		φ-ла (18) [10]	0	0	0	0	0	0	0	0	0	0
	Снижение УЗД, Dz, дБ		φ-ла (14) [10]	4,8	4,8	4,8	4,8	4,8	4,8	4,8	4,8	4,8	4,8
<b>Уровни звукового давления от источника ИШ-65 в расчётной точке днём, дБ</b>			φ-ла(3)[10]	0	19,1	9,9	9,1	15,4	8,2	0	0	0	13,9
<b>Источник шума: ИШ-66, координаты источника (x,y,z), м = [2249001.40,411779.40,33.50]</b>			φ-ла(3)[10]	0	19,1	9,9	9,1	15,4	8,2	0	0	0	13,9
<b>Уровни звуковой мощности источника днём, Lw, дБ</b>		исходные данные											
<b>Уровни звуковой мощности источника ночью, Lw, дБ</b>		исходные данные											
Поправка на телесный угол ΔΩ, дБ		Ω = 6.28	3	3	3	3	3	3	3	3	3	3	3
Показатель направленности источника Di, дБ		исходные данные											
Поправка на направленность источника Dc, дБ		Dc	3	3	3	3	3	3	3	3	3	3	3
Затухание из-за геометрической дивергенции, Adiv, дБ		расстояние = 996.44 м	φ-ла (7) [10]										
Коэффициент затухания звука в атмосфере α, дБ/км		Ta=20; C Pa=101.33,κПа номн.=70%	0,02	0,09	0,33	1,12	2,79	4,98	9,04	23,09	77,63		
Учет затухания звука в атмосфере Aatm, дБ			0	0,1	0,3	1,1	2,8	5	9	23	77,4		
<b>Снижение уровня звукового давления из-за влияния застройки между источником шума и расчётной точкой</b>													
Промежуточные точки:		Pst(x,y,z) = (2249038.20,411767.20,51.00)	Pst(x,y,z) = (2249057.85,411760.88,51.00)	dss = 42.54 м	dsl = 937.76 м	e = 20.71 м	z = 4.56 м						
Траектория над экраном		Константа С2, учитывающая эффект отражения от земли возле экрана		40	40	40	40	40	40	40	40	40	40
		Константа С3 (дифракция на кромках)		1,1	1,3	1,9	2,5	2,9	3	3	3	3	3
		K <sub>мет</sub> (величины метеословий)		0,4	0,4	0,4	0,4	0,4	0,4	0,4	0,4	0,4	0,4
Общее снижение уровня звука препятствием с учётом ограничения (25 дБ) для октавных полос Dz, дБ		Снижение УЗД, Dz, дБ		9,8	12,7	16,7	20,8	24,3	27,5	30,5	33,6	36,6	25
<b>Уровни звукового давления от источника ИШ-66 в расчётной точке днём, дБ</b>		Раздел 7.4 [10]		9,8	12,7	16,7	20,8	24,3	25	25	25	25	0
<b>Уровни звукового давления от источника ИШ-66 в расчётной точке ночью, дБ</b>		φ-ла(3)[10]		0	11,2	0	0	0	0	0	0	0	0
<b>Источник шума: ИШ-67, координаты источника (x,y,z), м = [2249010.40,411787.50,33.50]</b>		φ-ла(3)[10]											
<b>Уровни звуковой мощности источника днём, Lw, дБ</b>		исходные данные											
<b>Уровни звуковой мощности источника ночью, Lw, дБ</b>		исходные данные											
Поправка на телесный угол ΔΩ, дБ		Ω = 6.28	3	3	3	3	3	3	3	3	3	3	3
Показатель направленности источника Di, дБ		угол разности = 91.9°											
Поправка на направленность источника Dc, дБ		Dc	3	3	3	3	3	3	3	3	3	3	3
Затухание из-за геометрической дивергенции, Adiv, дБ		расстояние = 990.51 м	φ-ла (7) [10]										
Коэффициент затухания звука в атмосфере α, дБ/км		Ta=20; C Pa=101.33,κПа номн.=70%	0,02	0,09	0,33	1,12	2,79	4,98	9,04	23,09	77,63		
Учет затухания звука в атмосфере Aatm, дБ			0	0,1	0,3	1,1	2,8	4,9	9	22,9	76,9		
<b>Снижение уровня звукового давления из-за влияния застройки между источником шума и расчётной точкой</b>													
Промежуточные точки:		Pst(x,y,z) = (2249060.03,411770.45,33.50)	Pst(x,y,z) = (2249111.73,411752.70,33.50)	dss = 52.47 м	dsl = 883.43 м	e = 54.67 м	z = 0.06 м						
Траектория над экраном		Константа С2, учитывающая эффект отражения от земли возле экрана		40	40	40	40	40	40	40	40	40	40
		Константа С3 (дифракция на кромках)		1,5	2,2	2,7	2,9	3	3	3	3	3	3
		K <sub>мет</sub> (величины метеословий)		0	0	0	0	0	0	0	0	0	0
Общее снижение уровня звука препятствием с учётом ограничения (25 дБ) для октавных полос Dz, дБ		Снижение УЗД, Dz, дБ		4,8	4,8	4,8	4,8	4,8	4,8	4,8	4,8	4,8	4,8
<b>Уровни звукового давления от источника ИШ-67 в расчётной точке днём, дБ</b>		φ-ла(3)[10]		0	19,2	10	9,2	15,6	8,4	0	0	0	14,1
<b>Уровни звукового давления от источника ИШ-67 в расчётной точке ночью, дБ</b>		φ-ла(3)[10]		0	19,2	10	9,2	15,6	8,4	0	0	0	14,1
<b>Источник шума: ИШ-68, координаты источника (x,y,z), м = [2249014.10,411776.10,33.50]</b>		φ-ла(3)[10]											
<b>Уровни звуковой мощности источника днём, Lw, дБ</b>		исходные данные											
<b>Уровни звуковой мощности источника ночью, Lw, дБ</b>		исходные данные											
Поправка на телесный угол ΔΩ, дБ		Ω = 6.28	3	3	3	3	3	3	3	3	3	3	3
Показатель направленности источника Di, дБ		угол разности = 91.9°											

Поправка на направленность источника Dc, дБ		D $\Omega$ + Di		3	3	3	3	3	3	3	3	3	3	3	3	3	3	3	3		
Затухание из-за геометрической дивергенции, Adiv, дБ		Dc																			
Кэффициент затухания звука в атмосфере $\alpha$ , дБ/км		расстояние = 983,36 м																			
Учет затухания звука в атмосфере Aatm, дБ		Т $\alpha$ =20, °С Ра=101,33, кПа потн.=70%		0,02	0,09	0,33	1,12	2,79	4,98	9,04	23,09	77,63									
Снижение уровня звукового давления из-за влияния застройки между источником шума и расчетной точкой		Ф-ла (8) [10]		0	0,1	0,3	1,1	2,7	4,9	8,9	22,7	76,3									
Промежуточные точки:		P $\Sigma$ (х,у,з) = (2249043, 88,411766,19,51,00)		d $\Sigma$ = 35,94 м																	
Траектория над экраном		P $\Sigma$ (х,у,з) = (2249058,00,411761,50,51,00)		e = 14,88 м																	
		Константа С2, учитывающая эффект отражения от земли возле экрана		40	40	40	40	40	40	40	40	40	40	40	40	40	40	40	40		
		Константа С3 (дифракция на краяхах)		1	1,2	1,6	2,2	2,7	2,9	3	3	3	3	3	3	3	3	3	3	3	
		K $\Sigma$ (влияние метеословий)		0,4	0,4	0,4	0,4	0,4	0,4	0,4	0,4	0,4	0,4	0,4	0,4	0,4	0,4	0,4	0,4	0,4	
		Снижение УЗД, Dz, дБ		10,6	13,5	17,3	21,7	25,5	28,8	31,9	34,9	38									
Общее снижение уровня звука препятствием с учётом ограничения (25 дБ) для октавных полос Dz, дБ		Раздел 7.4 [10]		10,6	13,5	17,3	21,7	25	25	25	25	25	25	25	25	25	25	25	25	25	
Уровни звукового давления от источника ИШ-68 в расчётной точке днём, дБ		Ф-ла(3)[10]		0	10,6	0	0	0	0	0	0	0	0	0	0	0	0	0	0	0	
Уровни звукового давления от источника ИШ-68 в расчётной точке ночью, дБ		Ф-ла(3)[10]		0	10,6	0	0	0	0	0	0	0	0	0	0	0	0	0	0	0	0
Источники шума: ИШ-69, координаты источника (х,у,з), м = [2249025,20,411784,40,33,50]																					
Уровни звуковой мощности источника днём, Lw, дБ		исходные данные																			
Уровни звуковой мощности источника ночью, Lw, дБ		исходные данные																			
Поправка на телесный угол D $\Omega$ , дБ		$\Omega$ = 6,28																			
Показатель направленности источника Di, дБ		угол разности = 91,9 °																			
Поправка на направленность источника Dc, дБ		Dc		3	3	3	3	3	3	3	3	3	3	3	3	3	3	3	3	3	
Затухание из-за геометрической дивергенции, Adiv, дБ		расстояние = 975,51 м																			
Кэффициент затухания звука в атмосфере $\alpha$ , дБ/км		Т $\alpha$ =20, °С Ра=101,33, кПа потн.=70%		0,02	0,09	0,33	1,12	2,79	4,98	9,04	23,09	77,63									
Учет затухания звука в атмосфере Aatm, дБ		Ф-ла (8) [10]		0	0,1	0,3	1,1	2,7	4,9	8,8	22,5	75,7									
Снижение уровня звукового давления из-за влияния застройки между источником шума и расчетной точкой		Ф-ла (7) [10]		70,8																	
Промежуточные точки:		P $\Sigma$ (х,у,з) = (2249060,34,411772,25,33,50)		d $\Sigma$ = 37,18 м																	
Траектория над экраном		P $\Sigma$ (х,у,з) = (2249112,03,411754,39,33,50)		e = 54,68 м																	
		Константа С2, учитывающая эффект отражения от земли возле экрана		40	40	40	40	40	40	40	40	40	40	40	40	40	40	40	40	40	
		Константа С3 (дифракция на краяхах)		1,5	2,2	2,7	2,9	3	3	3	3	3	3	3	3	3	3	3	3	3	
		K $\Sigma$ (влияние метеословий)		0	0	0	0	0	0	0	0	0	0	0	0	0	0	0	0	0	0
		Снижение УЗД, Dz, дБ		4,8	4,8	4,8	4,8	4,8	4,8	4,8	4,8	4,8	4,8	4,8	4,8	4,8	4,8	4,8	4,8	4,8	
Уровни звукового давления от источника ИШ-69 в расчётной точке днём, дБ		Ф-ла(3)[10]		0	19,4	10,1	9,4	15,7	8,6	0	0	0	0	0	0	0	0	0	0	0	14,3
Уровни звукового давления от источника ИШ-69 в расчётной точке ночью, дБ		Ф-ла(3)[10]		0	19,4	10,1	9,4	15,7	8,6	0	0	0	0	0	0	0	0	0	0	0	14,3
Источники шума: ИШ-70, координаты источника (х,у,з), м = [2249030,20,411772,50,33,50]																					
Уровни звуковой мощности источника днём, Lw, дБ		исходные данные																			
Уровни звуковой мощности источника ночью, Lw, дБ		исходные данные																			
Поправка на телесный угол D $\Omega$ , дБ		$\Omega$ = 6,28																			
Показатель направленности источника Di, дБ		угол разности = 91,9 °																			
Поправка на направленность источника Dc, дБ		Dc		3	3	3	3	3	3	3	3	3	3	3	3	3	3	3	3	3	
Затухание из-за геометрической дивергенции, Adiv, дБ		расстояние = 966,95 м																			
Кэффициент затухания звука в атмосфере $\alpha$ , дБ/км		Т $\alpha$ =20, °С Ра=101,33, кПа потн.=70%		0,02	0,09	0,33	1,12	2,79	4,98	9,04	23,09	77,63									
Учет затухания звука в атмосфере Aatm, дБ		Ф-ла (8) [10]		0	0,1	0,3	1,1	2,7	4,8	8,7	22,3	75,1									
Снижение уровня звукового давления из-за влияния застройки между источником шума и расчетной точкой		Ф-ла (7) [10]		70,7																	
Промежуточные точки:		P $\Sigma$ (х,у,з) = (2249054,81,411764,27,51,00)		d $\Sigma$ = 31,30 м																	
Траектория над экраном		P $\Sigma$ (х,у,з) = (2249058,28,411763,11,51,00)		e = 3,66 м																	
		Константа С2, учитывающая эффект отражения от земли возле экрана		40	40	40	40	40	40	40	40	40	40	40	40	40	40	40	40	40	
		Константа С3 (дифракция на краяхах)		1	1	1	1,2	1,6	2,2	2,7	2,9	3	3	3	3	3	3	3	3	3	3
		K $\Sigma$ (влияние метеословий)		0,5	0,5	0,5	0,5	0,5	0,5	0,5	0,5	0,5	0,5	0,5	0,5	0,5	0,5	0,5	0,5	0,5	0,5
		Снижение УЗД, Dz, дБ		11,3	13,9	16,7	20,1	24,2	28,7	32,6	36	39									



Учет затухания звука в атмосфере $A_{atm}$ , дБ		Ф-ла (8) [10]		0	0,1	0,3	1	2,6	4,6	8,3	21,2	71,2	
<b>Снижение уровня звукового давления из-за влияния застройки между источником шума и расчетной точкой</b>													
Промежуточные точки:		$P_{57}(x,y,z) = (2249109,24,411738,61,33,50)$		$dss = 35,49$ м		$dsg = 881,32$ м		$e = 0,00$ м		$z = 0,01$ м			
Траектория над экраном		Константа С2, учитывающая эффект отражения от земли возле экрана		40	40	40	40	40	40	40	40	40	
		Константа С3 (дифракция на краяхах)		1	1	1	1	1	1	1	1	1	
		$K_{мет}$ (влияние метеословесий)		0	0	0	0	0	0	0	0	0	
		Снижение УЗД, Дз, дБ		4,8	4,8	4,8	4,8	4,8	4,8	4,8	4,8	4,8	
<b>Уровни звукового давления от источника ИШ-73 в расчётной точке днём, дБ</b>		<b>Ф-ла(3)[10]</b>		0	26,9	18,7	21	24,4	15,4	8,7	0	23	
<b>Уровни звукового давления от источника ИШ-73 в расчётной точке ночью, дБ</b>		<b>Ф-ла(3)[10]</b>		0	26,9	18,7	21	24,4	15,4	8,7	0	23	
<b>Источник шума: ИШ-74, координаты источника (x,y,z), м = [2249065,00,411758,10,33,80]</b>													
<b>Уровни звуковой мощности источника днём, Lw, дБ</b>		исходные данные		0	99	91	94	99	92	89	89	85	
<b>Уровни звуковой мощности источника ночью, Lw, дБ</b>		исходные данные		0	99	91	94	99	92	89	89	85	
Поправка на телесный угол $D\Omega$ , дБ		$\Omega = 6,28$		3	3	3	3	3	3	3	3	3	
Показатель направленности источника $D_i$ , дБ		исходные данные		0	0	0	0	0	0	0	0	0	
Поправка на направленность источника $D_c$ , дБ		$D_c$		3	3	3	3	3	3	3	3	3	
Затухание из-за геометрической дивергенции, $A_{div}$ , дБ		расстояние = 929,42 м											
Коэффициент затухания звука в атмосфере $\alpha$ , дБ/км		$T_a = 20^\circ C$ $P_a = 101,33$ кПа $h_{отп.} = 70\%$											
Учет затухания звука в атмосфере $A_{atm}$ , дБ		Ф-ла (8) [10]		0	0,1	0,3	1	2,6	4,6	8,4	21,5	72,2	
<b>Снижение уровня звукового давления из-за влияния застройки между источником шума и расчетной точкой</b>													
Промежуточные точки:		$P_{57}(x,y,z) = (2249110,05,411743,17,33,50)$		$dss = 47,46$ м		$dsg = 881,98$ м		$e = 0,00$ м		$z = 0,02$ м			
Траектория над экраном		Константа С2, учитывающая эффект отражения от земли возле экрана		40	40	40	40	40	40	40	40	40	
		Константа С3 (дифракция на краяхах)		1	1	1	1	1	1	1	1	1	
		$K_{мет}$ (влияние метеословесий)		0	0	0	0	0	0	0	0	0	
		Снижение УЗД, Дз, дБ		4,8	4,8	4,8	4,8	4,8	4,8	4,8	4,8	4,8	
<b>Уровни звукового давления прямого звука от источника ИШ-74 в расчётной точке днём, дБ</b>		<b>Ф-ла(3)[10]</b>		0	26,8	18,6	20,8	24,3	15,3	8,5	0	22,8	
<b>Уровни звукового давления прямого звука от источника ИШ-74 в расчётной точке ночью, дБ</b>		<b>Ф-ла(3)[10]</b>		0	26,8	18,6	20,8	24,3	15,3	8,5	0	22,8	
<b>Расчёт отражённого звука</b>													
<b>Минимум ИШ-74_мн.(1), образованный отражением от поверхности препятствия ГК котельный зал</b>													
Координаты точки отражения (x,y,z), м		$(2249057,5,411758,3,33,5)$											
Коэффициент отражения поверхности $\rho$		исходные данные		1	1	1	1	1	1	1	1	1	
Поправка на телесный угол $D\Omega$ , дБ		$\Omega = 6,28$		3	3	3	3	3	3	3	3	3	
Показатель направленности источника $D_i$ , дБ		исходные данные		0	0	0	0	0	0	0	0	0	
Поправка на направленность источника $D_{ir}$ , дБ		$D_{ir}$		3	3	3	3	3	3	3	3	3	
<b>Уровни звуковой мощности минимого источника днём, дБ</b>		<b>Ф-ла (20)[10]</b>		0	102	94	97	102	95	92	88	83	
<b>Уровни звуковой мощности минимого источника ночью, дБ</b>		<b>Ф-ла (20)[10]</b>		0	102	94	97	102	95	92	88	83	
Затухание из-за геометрической дивергенции, $A_{div}$ , дБ		расстояние = 944,02 м											
Коэффициент затухания звука в атмосфере $\alpha$ , дБ/км		$T_a = 20^\circ C$ $P_a = 101,33$ кПа $h_{отп.} = 70\%$											
Учет затухания звука в атмосфере $A_{atm}$ , дБ		Ф-ла (8) [10]		0,02	0,09	0,33	1,12	2,79	4,98	9,04	23,09	77,63	
<b>Снижение уровня звукового давления из-за влияния застройки между источником шума и расчетной точкой</b>													
Промежуточные точки:		$P_{57}(x,y,z) = (2249109,70,411741,17,33,50)$		$dss = 54,90$ м		$dsg = 881,69$ м		$e = 0,00$ м		$z = 0,03$ м			
Траектория над экраном		Константа С2, учитывающая эффект отражения от земли возле экрана		40	40	40	40	40	40	40	40	40	
		Константа С3 (дифракция на краяхах)		1	1	1	1	1	1	1	1	1	
		$K_{мет}$ (влияние метеословесий)		0	0	0	0	0	0	0	0	0	
		Снижение УЗД, Дз, дБ		4,8	4,8	4,8	4,8	4,8	4,8	4,8	4,8	4,8	
<b>Критерий наличия отражения в октавной полосе</b>		$l_{min} = 45$ м		да		да		да		да		да	











Поправка на направленность источника Dc, дБ	Dc	0	3	3	3	3	3	3	3	3	3	3		
Затухание из-за геометрической дивергенции, Adiv, дБ	расстояние = 884,08 м													
Коэффициент затухания звука в атмосфере α, дБ/км	Ta=20, °C Pa=101.33, kПа hотн.=70%	0,02	0,09	0,33	1,12	2,79	4,98	9,04	23,09	77,63				
Учет затухания звука в атмосфере Aatm, дБ		0	0,1	0,3	1	2,5	4,4	8	20,4	68,6				
Снижение поверхностью земли возле источника As, дБ	Gs = 0 hс = 1.5м	-1,5	-1,5	-1,5	-1,5	-1,5	-1,5	-1,5	-1,5	-1,5				
Снижение поверхностью земли возле приёмника Ar, дБ	Gr = 0 hr = 1.5м	-1,5	-1,5	-1,5	-1,5	-1,5	-1,5	-1,5	-1,5	-1,5				
Снижение поверхностью земли в средней зоне, Am, дБ	Gm = 0	-2,7	-2,7	-2,7	-2,7	-2,7	-2,7	-2,7	-2,7	-2,7				
Суммарное снижение поверхности земли на траектории распространения звука Agr, дБ		-5,7	-5,7	-5,7	-5,7	-5,7	-5,7	-5,7	-5,7	-5,7				
Уровни звукового давления от источника ИШ-86 в расчётной точке днём, дБ		0	7	10,3	11,5	8,1	0	0	0	0	0	0	0	7,2
Уровни звукового давления от источника ИШ-86 в расчётной точке ночью, дБ		0	7	10,3	11,5	8,1	0	0	0	0	0	0	0	7,2
Источник шума: ИШ-87, координаты источника (x,y,z), м = [2249102.60,411730.50,35.00]														
Уровни звуковой мощности источника днём, Lw, дБ	исходные данные	0	68,3	71,8	73,7	71,7	67,3	61,9	56,2	50,2				
Уровни звуковой мощности источника ночью, Lw, дБ	исходные данные	0	68,3	71,8	73,7	71,7	67,3	61,9	56,2	50,2				
Поправка на телесный угол ΔΩ, дБ	Ω = 6.28	3	3	3	3	3	3	3	3	3				
Показатель направленности источника Di, дБ	исходные данные	0	0	0	0	0	0	0	0	0				
Поправка на направленность источника Dc, дБ	Dc	3	3	3	3	3	3	3	3	3				
Затухание из-за геометрической дивергенции, Adiv, дБ	расстояние = 885,23 м													
Коэффициент затухания звука в атмосфере α, дБ/км	Ta=20, °C Pa=101.33, kПа hотн.=70%	0,02	0,09	0,33	1,12	2,79	4,98	9,04	23,09	77,63				
Учет затухания звука в атмосфере Aatm, дБ		0	0,1	0,3	1	2,5	4,4	8	20,4	68,7				
Снижение поверхностью земли возле источника As, дБ	Gs = 0 hс = 1.5м	-1,5	-1,5	-1,5	-1,5	-1,5	-1,5	-1,5	-1,5	-1,5				
Снижение поверхностью земли возле приёмника Ar, дБ	Gr = 0 hr = 1.5м	-1,5	-1,5	-1,5	-1,5	-1,5	-1,5	-1,5	-1,5	-1,5				
Снижение поверхностью земли в средней зоне, Am, дБ	Gm = 0	-2,7	-2,7	-2,7	-2,7	-2,7	-2,7	-2,7	-2,7	-2,7				
Суммарное снижение поверхности земли на траектории распространения звука Agr, дБ		-5,7	-5,7	-5,7	-5,7	-5,7	-5,7	-5,7	-5,7	-5,7				
Уровни звукового давления от источника ИШ-87 в расчётной точке днём, дБ		0	7	10,3	11,5	8	0	0	0	0	0	0	0	7,2
Уровни звукового давления от источника ИШ-87 в расчётной точке ночью, дБ		0	7	10,3	11,5	8	0	0	0	0	0	0	0	7,2
Источник шума: ИШ-88, координаты источника (x,y,z), м = [2249102.40,411728.00,35.00]														
Уровни звуковой мощности источника днём, Lw, дБ	исходные данные	0	58,3	62,8	64,7	62,7	59,3	53,9	48,2	42,2				
Уровни звуковой мощности источника ночью, Lw, дБ	исходные данные	0	58,3	62,8	64,7	62,7	59,3	53,9	48,2	42,2				
Поправка на телесный угол ΔΩ, дБ	Ω = 6.28	3	3	3	3	3	3	3	3	3				
Показатель направленности источника Di, дБ	исходные данные	0	0	0	0	0	0	0	0	0				
Поправка на направленность источника Dc, дБ	Dc	3	3	3	3	3	3	3	3	3				
Затухание из-за геометрической дивергенции, Adiv, дБ	расстояние = 884,68 м													
Коэффициент затухания звука в атмосфере α, дБ/км	Ta=20, °C Pa=101.33, kПа hотн.=70%	0,02	0,09	0,33	1,12	2,79	4,98	9,04	23,09	77,63				
Учет затухания звука в атмосфере Aatm, дБ		0	0,1	0,3	1	2,5	4,4	8	20,4	68,7				
Снижение поверхностью земли возле источника As, дБ	Gs = 0 hс = 1.5м	-1,5	-1,5	-1,5	-1,5	-1,5	-1,5	-1,5	-1,5	-1,5				
Снижение поверхностью земли возле приёмника Ar, дБ	Gr = 0 hr = 1.5м	-1,5	-1,5	-1,5	-1,5	-1,5	-1,5	-1,5	-1,5	-1,5				
Снижение поверхностью земли в средней зоне, Am, дБ	Gm = 0	-2,7	-2,7	-2,7	-2,7	-2,7	-2,7	-2,7	-2,7	-2,7				
Суммарное снижение поверхности земли на траектории распространения звука Agr, дБ		-5,7	-5,7	-5,7	-5,7	-5,7	-5,7	-5,7	-5,7	-5,7				
Уровни звукового давления от источника ИШ-88 в расчётной точке днём, дБ		0	0	0	0	0	0	0	0	0	0	0	0	0
Уровни звукового давления от источника ИШ-88 в расчётной точке ночью, дБ		0	0	0	0	0	0	0	0	0	0	0	0	0
Источник шума: ИШ-89, координаты источника (x,y,z), м = [2248967.80,411724.60,45.00]														
Уровни звуковой мощности источника днём, Lw, дБ	исходные данные	0	71,6	68,1	70,1	78,5	71,7	67,7	63,7	57,7				
Уровни звуковой мощности источника ночью, Lw, дБ	исходные данные	0	71,6	68,1	70,1	78,5	71,7	67,7	63,7	57,7				
Поправка на телесный угол ΔΩ, дБ	Ω = 6.28	3	3	3	3	3	3	3	3	3				
Показатель направленности источника Di, дБ	исходные данные	0	0	0	0	0	0	0	0	0				











Поправка на телесный угол $\Delta\alpha$ , дБ	$\Omega = 3.14$	$10 \lg(4\pi/r^2)$	6	6	6	6	6	6	6	6	6	6	6	6	
Показатель направленности источника Di, дБ		исходные данные	0	0	0	0	0	0	0	0	0	0	0	0	
Поправка на направленность источника Dir, дБ	Dir	$\Delta\alpha + Di$	6	6	6	6	6	6	6	6	6	6	6	6	
<b>Уровни звуковой мощности мнимого источника днём, дБ</b>		<b>Ф-ла [20][10]</b>	<b>0</b>	<b>69,9</b>	<b>70,7</b>	<b>71,4</b>	<b>71,2</b>	<b>69,7</b>	<b>66,1</b>	<b>61,6</b>	<b>56,9</b>				
<b>Уровни звуковой мощности мнимого источника ночью, дБ</b>		<b>Ф-ла [20][10]</b>	<b>0</b>	<b>69,9</b>	<b>70,7</b>	<b>71,4</b>	<b>71,2</b>	<b>69,7</b>	<b>66,1</b>	<b>61,6</b>	<b>56,9</b>				
Затухание из-за геометрической дивергенции, Adiv, дБ	расстояние = 885.74 м	Ф-ла (7) [10]		69,9											
Коэффициент затухания звука в атмосфере $\alpha$ , дБ/км	Ta=20; C Pa=101.33,кПа lогн.=70%	Ф-ла (5) [9]	0,02	0,09	0,33	1,12	2,79	4,98	9,04	23,09	77,63				
Учет затухания звука в атмосфере Aatm, дБ		Ф-ла (8) [10]	0	0,1	0,3	1	2,5	4,4	8	20,4	68,8				
Снижение поверхностью земли возле источника As, дБ	Gs = 0 hs = 18м	Ф-лы таб.3 [10]	-1,5	-1,5	-1,5	-1,5	-1,5	-1,5	-1,5	-1,5	-1,5				
Снижение поверхностью земли возле приёмника Ar, дБ	Gr = 0 hr = 1.5м	Ф-лы таб.3 [10]	-1,5	-1,5	-1,5	-1,5	-1,5	-1,5	-1,5	-1,5	-1,5				
Снижение поверхностью земли в средней зоне, Am, дБ	Gm = 0	Ф-лы таб.3 [10]	-1	-1	-1	-1	-1	-1	-1	-1	-1				
Суммарное снижение поверхности земли на траектории распространения звука Agr, дБ		Ф-ла (9) [10]	-4	-4	-4	-4	-4	-4	-4	-4	-4				
Критерий наличия отражения в октавной полосе	lmin = 33.5 м	Ф-ла (19)[10]	да	да	да	да	да	да	да	да	да				
<b>Уровни звукового давления от мнимого источника ИШ-95_мн.(1) в расчётной точке днём, дБ</b>		Ф-ла(3)[10]	<b>0</b>	<b>0</b>	<b>4,5</b>	<b>4,5</b>	<b>0</b>	<b>0</b>	<b>0</b>	<b>0</b>	<b>0</b>	<b>0</b>	<b>0</b>	<b>0</b>	
<b>Уровни звукового давления от мнимого источника ИШ-95_мн.(1) в расчётной точке ночью, дБ</b>		Ф-ла(3)[10]	<b>0</b>	<b>0</b>	<b>4,5</b>	<b>4,5</b>	<b>0</b>	<b>0</b>	<b>0</b>	<b>0</b>	<b>0</b>	<b>0</b>	<b>0</b>	<b>0</b>	
<b>Расчёт отражённого звука</b>															
<b>Уровни звукового давления от источника ИШ-95 в расчётной точке днём, дБ</b>		Ф-ла(3)[10]	<b>0</b>	<b>0</b>	<b>7,5</b>	<b>7,5</b>	<b>0</b>	<b>0</b>	<b>0</b>	<b>0</b>	<b>0</b>	<b>0</b>	<b>0</b>	<b>0</b>	
<b>Уровни звукового давления от источника ИШ-95 в расчётной точке ночью, дБ</b>		Ф-ла(3)[10]	<b>0</b>	<b>0</b>	<b>7,5</b>	<b>7,5</b>	<b>0</b>	<b>0</b>	<b>0</b>	<b>0</b>	<b>0</b>	<b>0</b>	<b>0</b>	<b>0</b>	
<b>Источник шума: ИШ-96, координаты источника (x,y,z), м = [2249114.85;411768.10;18.00]</b>															
<b>Уровни звуковой мощности источника днём, Lw, дБ</b>		исходные данные	<b>0</b>	<b>63,9</b>	<b>64,7</b>	<b>65,4</b>	<b>65,2</b>	<b>63,7</b>	<b>60,1</b>	<b>55,6</b>	<b>50,9</b>				
<b>Уровни звуковой мощности источника ночью, Lw, дБ</b>		исходные данные	<b>0</b>	<b>63,9</b>	<b>64,7</b>	<b>65,4</b>	<b>65,2</b>	<b>63,7</b>	<b>60,1</b>	<b>55,6</b>	<b>50,9</b>				
Поправка на телесный угол $\Delta\alpha$ , дБ	$\Omega = 3.14$	$10 \lg(4\pi/r^2)$	6	6	6	6	6	6	6	6	6				
Показатель направленности источника Di, дБ		исходные данные	0	0	0	0	0	0	0	0	0				
Поправка на направленность источника Dc, дБ	Дс	$\Delta\alpha + Di$	6	6	6	6	6	6	6	6	6				
Затухание из-за геометрической дивергенции, Adiv, дБ	расстояние = 885.20 м	Ф-ла (7) [10]		69,9											
Коэффициент затухания звука в атмосфере $\alpha$ , дБ/км	Ta=20; C Pa=101.33,кПа lогн.=70%	Ф-ла (5) [9]	0,02	0,09	0,33	1,12	2,79	4,98	9,04	23,09	77,63				
Учет затухания звука в атмосфере Aatm, дБ		Ф-ла (8) [10]	0	0,1	0,3	1	2,5	4,4	8	20,4	68,7				
Снижение поверхностью земли возле источника As, дБ	Gs = 0 hs = 18м	Ф-лы таб.3 [10]	-1,5	-1,5	-1,5	-1,5	-1,5	-1,5	-1,5	-1,5	-1,5				
Снижение поверхностью земли возле приёмника Ar, дБ	Gr = 0 hr = 1.5м	Ф-лы таб.3 [10]	-1,5	-1,5	-1,5	-1,5	-1,5	-1,5	-1,5	-1,5	-1,5				
Снижение поверхностью земли в средней зоне, Am, дБ	Gm = 0	Ф-лы таб.3 [10]	-1	-1	-1	-1	-1	-1	-1	-1	-1				
Суммарное снижение поверхности земли на траектории распространения звука Agr, дБ		Ф-ла (9) [10]	-4	-4	-4	-4	-4	-4	-4	-4	-4				
<b>Уровни звукового давления прямого звука от источника ИШ-96 в расчётной точке днём, дБ</b>		Ф-ла(3)[10]	<b>0</b>	<b>0</b>	<b>4,5</b>	<b>4,5</b>	<b>0</b>	<b>0</b>	<b>0</b>	<b>0</b>	<b>0</b>	<b>0</b>	<b>0</b>	<b>0</b>	
<b>Уровни звукового давления прямого звука от источника ИШ-96 в расчётной точке ночью, дБ</b>		Ф-ла(3)[10]	<b>0</b>	<b>0</b>	<b>4,5</b>	<b>4,5</b>	<b>0</b>	<b>0</b>	<b>0</b>	<b>0</b>	<b>0</b>	<b>0</b>	<b>0</b>	<b>0</b>	
<b>Расчёт отражённого звука</b>															
<b>Мнимый источник ИШ-96_мн.(1), образованный отражением от поверхности препятствия Турбинное отделение</b>															
Координаты точки отражения (x,y,z), м	(2249114.5;411768.1;18.0)	Дистанция между ИШ и ИШм: R(ИШ-ИШм) = 0.3м Дистанция между ИШм и РТ: R(ИШм-РТ) = 885.5м													
Коэффициент отражения поверхности p		исходные данные	1	1	1	1	1	1	1	1	1				
Поправка на телесный угол $\Delta\alpha$ , дБ	$\Omega = 3.14$	$10 \lg(4\pi/r^2)$	6	6	6	6	6	6	6	6	6				
Показатель направленности источника Di, дБ		исходные данные	0	0	0	0	0	0	0	0	0				
Поправка на направленность источника Dir, дБ	Dir	$\Delta\alpha + Di$	6	6	6	6	6	6	6	6	6				
<b>Уровни звуковой мощности мнимого источника днём, дБ</b>		<b>Ф-ла [20][10]</b>	<b>0</b>	<b>69,9</b>	<b>70,7</b>	<b>71,4</b>	<b>71,2</b>	<b>69,7</b>	<b>66,1</b>	<b>61,6</b>	<b>56,9</b>				
<b>Уровни звуковой мощности мнимого источника ночью, дБ</b>		<b>Ф-ла [20][10]</b>	<b>0</b>	<b>69,9</b>	<b>70,7</b>	<b>71,4</b>	<b>71,2</b>	<b>69,7</b>	<b>66,1</b>	<b>61,6</b>	<b>56,9</b>				
Затухание из-за геометрической дивергенции, Adiv, дБ	расстояние = 885.78 м	Ф-ла (7) [10]		69,9											
Коэффициент затухания звука в атмосфере $\alpha$ , дБ/км	Ta=20; C Pa=101.33,кПа lогн.=70%	Ф-ла (5) [9]	0,02	0,09	0,33	1,12	2,79	4,98	9,04	23,09	77,63				
Учет затухания звука в атмосфере Aatm, дБ		Ф-ла (8) [10]	0	0,1	0,3	1	2,5	4,4	8	20,4	68,8				



<b>Уровни звукового давления от источника ИШ-97 в расчётной точке ночью, ДБ</b>													
<b>Источник шума: ИШ-98, координаты источника (x,y,z), м = [2249116.20,411774.70,18.00]</b>													
<b>Уровни звуковой мощности источника днём, Лw, ДБ</b>													
<b>Уровни звуковой мощности источника ночью, Лw, ДБ</b>													
Поправка на телесный угол $D\Omega$ , ДБ													
Поправка на направленность источника $D_i$ , ДБ													
Поправка на направленность источника $D_c$ , ДБ													
Затухание из-за геометрической дивергенции, $A_{div}$ , ДБ													
Кэффициент затухания звука в атмосфере $\alpha$ , ДБ/км													
Учет затухания звука в атмосфере $A_{atm}$ , ДБ													
Снижение поверхностью земли возле источника $A_s$ , ДБ													
Снижение поверхностью земли возле приёмника $A_r$ , ДБ													
Снижение поверхностью земли в средней зоне, $A_m$ , ДБ													
Суммарное снижение поверхностью земли на траектории распространения звука $A_{gr}$ , ДБ													
<b>Уровни звукового давления прямого звука от источника ИШ-98 в расчётной точке днём, ДБ</b>													
<b>Уровни звукового давления прямого звука от источника ИШ-98 в расчётной точке ночью, ДБ</b>													
<b>Расчёт отражённого звука</b>													
<b>Мнимый источник ИШ-98_мн.(1), образованный отражением от поверхности препятствия Турбинное отделение</b>													
Координаты точки отражения (x,y,z), м													
Дистанция между ИШ и ИШм: $R(ИШ-ИШм) = 0.5m$ Дистанция между ИШм и РТ: $R(ИШм-РТ) = 886.7m$													
Коэффициент отражения поверхности $\rho$													
Поправка на телесный угол $D\Omega$ , ДБ													
Показатель направленности источника $D_i$ , ДБ													
Поправка на направленность источника $D_{ir}$ , ДБ													
<b>Уровни звуковой мощности мнимого источника днём, ДБ</b>													
<b>Уровни звуковой мощности мнимого источника ночью, ДБ</b>													
Затухание из-за геометрической дивергенции, $A_{div}$ , ДБ													
Кэффициент затухания звука в атмосфере $\alpha$ , ДБ/км													
Учет затухания звука в атмосфере $A_{atm}$ , ДБ													
Снижение поверхностью земли возле источника $A_s$ , ДБ													
Снижение поверхностью земли возле приёмника $A_r$ , ДБ													
Снижение поверхностью земли в средней зоне, $A_m$ , ДБ													
Суммарное снижение поверхностью земли на траектории распространения звука $A_{gr}$ , ДБ													
Критерий наличия отражения в октавной полосе													
<b>Уровни звукового давления от мнимого источника ИШ-98_мн.(1) в расчётной точке днём, ДБ</b>													
<b>Уровни звукового давления от мнимого источника ИШ-98_мн.(1) в расчётной точке ночью, ДБ</b>													
<b>Уровни звукового давления от источника ИШ-98 в расчётной точке днём, ДБ</b>													
<b>Уровни звукового давления от источника ИШ-98 в расчётной точке ночью, ДБ</b>													
<b>Источник шума: ИШ-99, координаты источника (x,y,z), м = [2249115.30,411769.90,18.00]</b>													
<b>Уровни звуковой мощности источника днём, Лw, ДБ</b>													
<b>Уровни звуковой мощности источника ночью, Лw, ДБ</b>													
Поправка на телесный угол $D\Omega$ , ДБ													
Показатель направленности источника $D_i$ , ДБ													
Поправка на направленность источника $D_c$ , ДБ													
Затухание из-за геометрической дивергенции, $A_{div}$ , ДБ													
Затухание из-за геометрической дивергенции, $A_{div}$ , ДБ													
расстояние = 885.39 м													
расстояние = 886.7 м													
расстояние = 887.15 м													
расстояние = 888.39 м													
расстояние = 889.5 м													
расстояние = 890.7 м													
расстояние = 891.9 м													
расстояние = 893.1 м													
расстояние = 894.3 м													
расстояние = 895.5 м													
расстояние = 896.7 м													
расстояние = 897.9 м													
расстояние = 899.1 м													
расстояние = 900.3 м													
расстояние = 901.5 м													
расстояние = 902.7 м													
расстояние = 903.9 м													
расстояние = 905.1 м													
расстояние = 906.3 м													
расстояние = 907.5 м													
расстояние = 908.7 м													
расстояние = 910.0 м													
расстояние = 911.2 м													
расстояние = 912.4 м													
расстояние = 913.6 м													
расстояние = 914.8 м													
расстояние = 916.0 м													
расстояние = 917.2 м													
расстояние = 918.4 м													
расстояние = 919.6 м													
расстояние = 920.8 м													
расстояние = 922.0 м													
расстояние = 923.2 м													
расстояние = 924.4 м													
расстояние = 925.6 м													
расстояние = 926.8 м													
расстояние = 928.0 м													
расстояние = 929.2 м													
расстояние = 930.4 м													
расстояние = 931.6 м													
расстояние = 932.8 м													
расстояние = 934.0 м													
расстояние = 935.2 м													
расстояние = 936.4 м													
расстояние = 937.6 м													
расстояние = 938.8 м													
расстояние = 940.0 м													
расстояние = 941.2 м													
расстояние = 942.4 м													
расстояние = 943.6 м													
расстояние = 944.8 м													
расстояние = 946.0 м													
расстояние = 947.2 м													
расстояние = 948.4 м													
расстояние = 949.6 м													
расстояние = 950.8 м													
расстояние = 952.0 м													
расстояние = 953.2 м													
расстояние = 954.4 м													
расстояние = 955.6 м													
расстояние = 956.8 м													
расстояние = 958.0 м													
расстояние = 959.2 м													
расстояние = 960.4 м													
расстояние = 961.6 м													
расстояние = 962.8 м													
расстояние = 964.0 м													
расстояние = 965.2 м													
расстояние = 966.4 м													
расстояние = 967.6 м													
расстояние = 968.8 м													
расстояние = 970.0 м													
расстояние = 971.2 м													
расстояние = 972.4 м													
расстояние = 973.6 м													
расстояние = 974.8 м													
расстояние = 976.0 м													
расстояние = 977.2 м													
расстояние = 978.4 м													
расстояние = 979.6 м													
расстояние = 980.8 м													
расстояние = 982.0 м													
расстояние = 983.2 м													
расстояние = 984.4 м													
расстояние = 985.6 м													
расстояние = 986.8 м													
расстояние = 988.0 м													
расстояние = 989.2 м													
расстояние = 990.4 м													
расстояние = 991.6 м													
расстояние = 992.8 м													
расстояние = 994.0 м													
расстояние = 995.2 м													
расстояние = 996.4 м													
расстояние = 997.6 м													
расстояние = 998.8 м													
расстояние = 1000.0 м													



Расчёт отражённого звука		Расчёт отражённого звука																
Мнимый источник ИШ-100_мн.(1), образованный отражением от поверхности препятствия Турбинное отделение		Мнимый источник ИШ-100_мн.(1), образованный отражением от поверхности препятствия Турбинное отделение																
Координаты точки отражения (х,у,z), м		Дистанция между ИШ и ИШм: R(ИШ-ИШм) = 0.2м Дистанция между ИШм и РТ: R(ИШм-РТ) = 885.7м																
Коэффициент отражения поверхности р		исходные данные																
Поправка на телесный угол DΩ, дБ		1	1	1	1	1	1	1	1	1	1	1	1	1	1	1	1	1
Показатель направленности источника Di, дБ		6	6	6	6	6	6	6	6	6	6	6	6	6	6	6	6	6
Поправка на направленности источника Dir, дБ		0	0	0	0	0	0	0	0	0	0	0	0	0	0	0	0	0
Уровни звуковой мощности мнимого источника днём, дБ		6	6	6	6	6	6	6	6	6	6	6	6	6	6	6	6	6
Уровни звуковой мощности мнимого источника ночью, дБ		0	65.9	66.7	67.4	67.2	65.7	62.1	57.6	62.1	57.6	62.1	57.6	62.1	57.6	62.1	57.6	62.1
Затухание из-за геометрической дивергенции, Adiv, дБ		φ-ла (7) [10]																
Коэффициент затухания звука в атмосфере α, дБ/км		φ-ла (5) [9]																
Учет затухания звука в атмосфере Aatm, дБ		φ-ла (8) [10]																
Снижение поверхностью земли возле источника As, дБ		φ-лы таб.3 [10]																
Снижение поверхностью земли возле приёмника Ar, дБ		φ-лы таб.3 [10]																
Снижение поверхностью земли в средней зоне, Am, дБ		φ-лы таб.3 [10]																
Суммарное снижение поверхности земли на траектории распространения звука Agr, дБ		φ-ла (9) [10]																
Критерий наличия отражения в октавной полосе		φ-ла (10) [10]																
Уровни звукового давления от мнимого источника ИШ-100_мн.(1) в расчётной точке днём, дБ		φ-ла(3)[10]																
Уровни звукового давления от мнимого источника ИШ-100_мн.(1) в расчётной точке ночью, дБ		φ-ла(3)[10]																
Уровни звукового давления от источника ИШ-100 в расчётной точке днём, дБ		0	0	0	0	0	0	0	0	0	0	0	0	0	0	0	0	0
Уровни звукового давления от источника ИШ-100 в расчётной точке ночью, дБ		0	0	0	0	0	0	0	0	0	0	0	0	0	0	0	0	0
Источник шума: ИШ-101, координаты источника (х,у,z), м = [2249115.50,411772.10,18.00]		исходные данные																
Уровни звуковой мощности источника днём, Lw, дБ		0	56.9	57.7	58.4	58.2	56.7	53.1	48.6	53.1	48.6	53.1	48.6	53.1	48.6	53.1	48.6	53.1
Уровни звуковой мощности источника ночью, Lw, дБ		0	56.9	57.7	58.4	58.2	56.7	53.1	48.6	53.1	48.6	53.1	48.6	53.1	48.6	53.1	48.6	53.1
Поправка на телесный угол DΩ, дБ		6	6	6	6	6	6	6	6	6	6	6	6	6	6	6	6	6
Показатель направленности источника Di, дБ		0	0	0	0	0	0	0	0	0	0	0	0	0	0	0	0	0
Поправка на направленности источника Dc, дБ		6	6	6	6	6	6	6	6	6	6	6	6	6	6	6	6	6
Затухание из-за геометрической дивергенции, Adiv, дБ		φ-ла (7) [10]																
Коэффициент затухания звука в атмосфере α, дБ/км		φ-ла (5) [9]																
Учет затухания звука в атмосфере Aatm, дБ		φ-ла (8) [10]																
Снижение поверхностью земли возле источника As, дБ		φ-лы таб.3 [10]																
Снижение поверхностью земли возле приёмника Ar, дБ		φ-лы таб.3 [10]																
Снижение поверхностью земли в средней зоне, Am, дБ		φ-лы таб.3 [10]																
Суммарное снижение поверхности земли на траектории распространения звука Agr, дБ		φ-ла (9) [10]																
Уровни звукового давления от источника ИШ-101 в расчётной точке днём, дБ		φ-ла(3)[10]																
Уровни звукового давления от источника ИШ-101 в расчётной точке ночью, дБ		φ-ла(3)[10]																
Источник шума: ИШ-102, координаты источника (х,у,z), м = [2249115.40,411771.50,18.00]		исходные данные																
Уровни звуковой мощности источника днём, Lw, дБ		0	56.9	57.7	58.4	58.2	56.7	53.1	48.6	53.1	48.6	53.1	48.6	53.1	48.6	53.1	48.6	53.1
Уровни звуковой мощности источника ночью, Lw, дБ		0	56.9	57.7	58.4	58.2	56.7	53.1	48.6	53.1	48.6	53.1	48.6	53.1	48.6	53.1	48.6	53.1
Поправка на телесный угол DΩ, дБ		6	6	6	6	6	6	6	6	6	6	6	6	6	6	6	6	6
Показатель направленности источника Di, дБ		0	0	0	0	0	0	0	0	0	0	0	0	0	0	0	0	0
Поправка на направленности источника Dc, дБ		6	6	6	6	6	6	6	6	6	6	6	6	6	6	6	6	6
Затухание из-за геометрической дивергенции, Adiv, дБ		φ-ла (7) [10]																
Коэффициент затухания звука в атмосфере α, дБ/км		φ-ла (5) [9]																

Учет затухания звука в атмосфере $A_{atm}$ , дБ													
Снижение поверхностью земли возле источника $A_s$ , дБ	$G_s = 0$ $h_s = 18$ м		Ф-ла таб.3 [10]		0	0,1	0,3	1	2,5	4,4	8	20,5	68,8
Снижение поверхностью земли возле приёмника $A_r$ , дБ	$G_r = 0$ $h_r = 1,5$ м		Ф-лы таб.3 [10]		-1,5	-1,5	-1,5	-1,5	-1,5	-1,5	-1,5	-1,5	-1,5
Снижение поверхностью земли в средней зоне, $A_m$ дБ	$G_m = 0$		Ф-лы таб.3 [10]		-1	-1	-1	-1	-1	-1	-1	-1	-1
Суммарное снижение поверхности земли на траектории распространения звука $A_{gr}$ , дБ			Ф-ла (9) [10]		-4	-4	-4	-4	-4	-4	-4	-4	-4
Уровни звукового давления от источника ИШ-102 в расчётной точке днём, ДБ			Ф-ла(3)[10]		0	0	0	0	0	0	0	0	0
Уровни звукового давления от источника ИШ-102 в расчётной точке ночью, ДБ			Ф-ла(3)[10]		0	0	0	0	0	0	0	0	0
Источник шума: ИШ-103, координаты источника (x,y,z), м = [2249049,20,411641,20,2.00]													
Уровни звуковой мощности источника днём, Lw, дБ	исходные данные				0	75,1	75,2	73,1	68,9	65,2	59,8	54,1	48,1
Уровни звуковой мощности источника ночью, Lw, дБ	исходные данные				0	75,1	75,2	73,1	68,9	65,2	59,8	54,1	48,1
Поправка на телесный угол $D\Omega$ , дБ	$\Omega = 3,14$		10Lg(4π/Ω)		6	6	6	6	6	6	6	6	6
Показатель направленности источника $D_i$ , дБ	исходные данные				0	0	0	0	0	0	0	0	0
Поправка на направленность источника $D_s$ , дБ	исходные данные				0	0	0	0	0	0	0	0	0
Затухание из-за геометрической дивергенции, $A_{div}$ , дБ	$D_s$		DΩ + Di		6	6	6	6	6	6	6	6	6
Косэффициент затухания звука в атмосфере α, дБ/км	расстояние = 914,46 м		Ф-ла (7) [10]		0,02	0,09	0,33	1,12	2,79	4,98	9,04	23,09	77,63
Учет затухания звука в атмосфере $A_{atm}$ , дБ	$T_a = 20, ^\circ C$ $P_a = 101,33$ кПа $h_{отн.} = 70\%$		Ф-ла (5) [9]		0	0,1	0,3	1	2,6	4,6	8,3	21,1	71
Учет затухания звука в атмосфере $A_{atm}$ , дБ													
<b>Снижение уровня звукового давления из-за влияния застройки между источником шума и расчётной точкой</b>													
Промежуточные точки: $P_{ss}(x,y,z) = [2249267,12,411598,64,2,50]$ $P_{sg}(x,y,z) = [2249267,32,411598,60,2,50]$ $e = 0,20$ м $d_{sr} = 692,22$ м $d_{ss} = 222,04$ м $z = 0,00$ м													
Траектория над экраном	Константа С2, учитывающая эффект отражения от земли возле экрана				40	40	40	40	40	40	40	40	40
	Константа С3 (дифракция на кровле)		Ф-ла (15) [10]		1	1	1	1	1	1	1	1	1,5
	$K_{мет}$ (влияние метеослоев)		Ф-ла (18) [10]		0	0	0	0	0	0	0	0	0
	Снижение УЗД, Dz, дБ		Ф-ла (14) [10]		4,8	4,8	4,8	4,8	4,8	4,8	4,8	4,8	4,8
Уровни звукового давления от источника ИШ-103 в расчётной точке днём, ДБ			Ф-ла(3)[10]		0	6,1	6	3,1	0	0	0	0	0
Уровни звукового давления от источника ИШ-103 в расчётной точке ночью, ДБ			Ф-ла(3)[10]		0	6,1	6	3,1	0	0	0	0	0
Источник шума: ИШ-104, координаты источника (x,y,z), м = [2249049,40,411641,80,2.00]													
Уровни звуковой мощности источника днём, Lw, дБ	исходные данные				0	75,1	75,2	73,1	68,9	65,2	59,8	54,1	48,1
Уровни звуковой мощности источника ночью, Lw, дБ	исходные данные				0	75,1	75,2	73,1	68,9	65,2	59,8	54,1	48,1
Поправка на телесный угол $D\Omega$ , дБ	$\Omega = 3,14$		10Lg(4π/Ω)		6	6	6	6	6	6	6	6	6
Показатель направленности источника $D_i$ , дБ	исходные данные				0	0	0	0	0	0	0	0	0
Поправка на направленность источника $D_s$ , дБ	исходные данные				0	0	0	0	0	0	0	0	0
Затухание из-за геометрической дивергенции, $A_{div}$ , дБ	$D_s$		DΩ + Di		6	6	6	6	6	6	6	6	6
Косэффициент затухания звука в атмосфере α, дБ/км	расстояние = 914,38 м		Ф-ла (7) [10]		0,02	0,09	0,33	1,12	2,79	4,98	9,04	23,09	77,63
Учет затухания звука в атмосфере $A_{atm}$ , дБ	$T_a = 20, ^\circ C$ $P_a = 101,33$ кПа $h_{отн.} = 70\%$		Ф-ла (5) [9]		0	0,1	0,3	1	2,6	4,6	8,3	21,1	71
Учет затухания звука в атмосфере $A_{atm}$ , дБ													
<b>Снижение уровня звукового давления из-за влияния застройки между источником шума и расчётной точкой</b>													
Промежуточные точки: $P_{ss}(x,y,z) = [2249231,41,411606,12,6,00]$ $P_{sg}(x,y,z) = [2249242,30,411603,99,6,00]$ $e = 11,10$ м $d_{sr} = 717,82$ м $d_{ss} = 185,52$ м $z = 0,06$ м													
Траектория над экраном	Константа С2, учитывающая эффект отражения от земли возле экрана				40	40	40	40	40	40	40	40	40
	Константа С3 (дифракция на кровле)		Ф-ла (15) [10]		1	1,1	1,4	1,9	2,6	2,9	3	3	3
	$K_{мет}$ (влияние метеослоев)		Ф-ла (18) [10]		0	0	0	0	0	0	0	0	0
	Снижение УЗД, Dz, дБ		Ф-ла (14) [10]		4,8	4,8	4,8	4,8	4,8	4,8	4,8	4,8	4,8
Уровни звукового давления прямого звука от источника ИШ-104 в расчётной точке днём, ДБ			Ф-ла(3)[10]		0	6,1	5,9	3,1	0	0	0	0	0
Уровни звукового давления прямого звука от источника ИШ-104 в расчётной точке ночью, ДБ			Ф-ла(3)[10]		0	6,1	5,9	3,1	0	0	0	0	0
Расчёт отражённого звука			Ф-ла(3)[10]		0	6,1	5,9	3,1	0	0	0	0	0
<b>Мнимый источник ИШ-104_мн.(1), образованный отражением от поверхности препятствия Экран 19</b>													
Координаты точки отражения (x,y,z), м (2249049,1,411641,8,2.0)													
Косэффициент отражения поверхности $\rho$	исходные данные				1	1	1	1	1	1	1	1	1
Дистанция между ИШ и ИШм: R(ИШ-ИШм) = 0,3м Дистанция между ИШм и РТ: R(ИШм-РТ) = 914,7м													

Поправка на телесный угол $D\Omega$ , дБ	$\Omega = 3.14$					6	6	6	6	6	6	6	6	6					
Показатель направленности источника Di, дБ		исходные данные				0	0	0	0	0	0	0	0	0	0				
Поправка на направленность источника Dir, дБ	Dir					6	6	6	6	6	6	6	6	6	6				
Уровни звуковой мощности мнимого источника днём, дБ		Ф-ла [20][10]				0	78.2	78.3	76.2	72	68.3	62.9	57.2	51.2					
Уровни звуковой мощности мнимого источника ночью, дБ		Ф-ла [20][10]				0	78.2	78.3	76.2	72	68.3	62.9	57.2	51.2					
Затухание из-за геометрической дивергенции, Adiv, дБ	расстояние = 914.96 м	Ф-ла [7] [10]									70.2								
Коэффициент затухания звука в атмосфере $\alpha$ , дБ/км	Т <sub>в</sub> =20.°С Р <sub>в</sub> =101.33,кПа потн.=70%	Ф-ла [5] [9]				0,02	0,09	0,33	1,12	2,79	4,98	9,04	23,09	77,63					
Учет затухания звука в атмосфере Aatm, дБ		Ф-ла [8] [10]				0	0,1	0,3	1	2,6	4,6	8,3	21,1	71					
<b>Снижение уровня звукового давления из-за влияния застройки между источником шума и расчетной точкой</b>																			
Промежуточные точки:		Pss(x,y,z) = (2249231.41,411606.11,6.00)			Psr(x,y,z) = (2249241.78,411604.08,6.00)			dss = 185.81 м			dsr = 718.35 м			e = 10.57 м			z = 0.06 м		
Траектория над экраном		Константа C2, учитывающая эффект отражения от земли возле экрана			Константа C3 [дифракция на краяхах]			Kмет (влияние метеословий)			Снижение УЗД, Dz, дБ			lmin = 16 м					
Уровни звукового давления от мнимого источника ИШ-104 днём, дБ		0	9,1	9	6,1	0	0	0	0	0	0	0	0	0	0	0	0	0	0
Уровни звукового давления от мнимого источника ИШ-104 ночью, дБ		0	9,1	9	6,1	0	0	0	0	0	0	0	0	0	0	0	0	0	0
Источник шума: ИШ-105, координаты источника (x,y,z), м = [2249049.70,411645.20,2.00]																			
Уровни звуковой мощности источника днём, Lw, дБ		исходные данные		0	75,1	75,2	73,1	68,9	65,2	59,8	54,1	48,1							
Уровни звуковой мощности источника ночью, Lw, дБ		исходные данные		0	75,1	75,2	73,1	68,9	65,2	59,8	54,1	48,1							
Поправка на телесный угол DΩ, дБ		$\Omega = 3.14$				6	6	6	6	6	6	6	6	6					
Показатель направленности источника Di, дБ			исходные данные			0	0	0	0	0	0	0	0	0	0	0	0	0	0
Поправка на направленность источника Dc, дБ		Dc				6	6	6	6	6	6	6	6	6	6	6	6	6	6
Затухание из-за геометрической дивергенции, Adiv, дБ		расстояние = 914.74 м	Ф-ла [7] [10]								70.2								
Коэффициент затухания звука в атмосфере $\alpha$ , дБ/км		Т <sub>в</sub> =20.°С Р <sub>в</sub> =101.33,кПа потн.=70%	Ф-ла [5] [9]			0,02	0,09	0,33	1,12	2,79	4,98	9,04	23,09	77,63					
Учет затухания звука в атмосфере Aatm, дБ			Ф-ла [8] [10]			0	0,1	0,3	1	2,6	4,6	8,3	21,1	71					
<b>Снижение уровня звукового давления из-за влияния застройки между источником шума и расчетной точкой</b>																			
Промежуточные точки:		Pss(x,y,z) = (2249231.88,411608.78,6.00)			Psr(x,y,z) = (2249245.61,411606.04,6.00)			dss = 185.83 м			dsr = 714.97 м			e = 14.00 м			z = 0.06 м		
Траектория над экраном		Константа C2, учитывающая эффект отражения от земли возле экрана			Константа C3 [дифракция на краяхах]			Kмет (влияние метеословий)			Снижение УЗД, Dz, дБ								
Уровни звукового давления от источника ИШ-105 днём, дБ		0	6,1	5,9	3,1	0	0	0	0	0	0	0	0	0	0	0	0	0	0
Уровни звукового давления от источника ИШ-105 ночью, дБ		0	6,1	5,9	3,1	0	0	0	0	0	0	0	0	0	0	0	0	0	0
Источник шума: ИШ-106, координаты источника (x,y,z), м = [2249049.90,411645.60,2.00]																			
Уровни звуковой мощности источника днём, Lw, дБ		исходные данные		0	75,1	75,2	73,1	68,9	65,2	59,8	54,1	48,1							
Уровни звуковой мощности источника ночью, Lw, дБ		исходные данные		0	75,1	75,2	73,1	68,9	65,2	59,8	54,1	48,1							
Поправка на телесный угол DΩ, дБ		$\Omega = 3.14$				6	6	6	6	6	6	6	6	6					
Показатель направленности источника Di, дБ			исходные данные			0	0	0	0	0	0	0	0	0	0	0	0	0	0
Поправка на направленность источника Dc, дБ		Dc				6	6	6	6	6	6	6	6	6	6	6	6	6	6
Затухание из-за геометрической дивергенции, Adiv, дБ		расстояние = 914.63 м	Ф-ла [7] [10]								70.2								
Коэффициент затухания звука в атмосфере $\alpha$ , дБ/км		Т <sub>в</sub> =20.°С Р <sub>в</sub> =101.33,кПа потн.=70%	Ф-ла [5] [9]			0,02	0,09	0,33	1,12	2,79	4,98	9,04	23,09	77,63					





Константа С3 (дифракция на краяхах)	ф-ла (15) [10]	1,9	2,5	2,8	3	3	3	3	3	3	3	3	3	3	3	3
$K_{мет}$ (влияние метеословий)	ф-ла (18) [10]	0,7	0,7	0,7	0,7	0,7	0,7	0,7	0,7	0,7	0,7	0,7	0,7	0,7	0,7	0,7
Снижение УЗД, Dz, ДБ	ф-ла (14) [10]	24	28,3	31,8	35	38	41,1	44,1	47,1	50,1						
Промежуточные точки:	$P_{ss}(x,y,z) = (2248993,77;411,811,88;2,00)$	$R_{st}(x,y,z) = (2249308,22;411,839,05;1,86)$	$d_{ss} = 70,77$ м	$d_{st} = 739,52$ м	$e = 315,62$ м	$z = 121,85$ м										
Траектория слева от экрана	Константа С2, учитывающая эффект отражения от земли возле экрана		2,8	3	3	3	3	3	3	3	3	3	3	3	3	3
	Константа С3 (дифракция на краяхах)	ф-ла (15) [10]	1	1	1	1	1	1	1	1	1	1	1	1	1	1
	$K_{мет}$ (влияние метеословий)	ф-ла (18) [10]	1	1	1	1	1	1	1	1	1	1	1	1	1	1
	Снижение УЗД, Dz, ДБ	ф-ла (14) [10]	31,1	34,3	37,3	40,3	43,3	46,3	49,3	52,4	55,4					
Общее снижение уровня звука препятствием Dz, ДБ	Эн-сумма(Дз)		23,3	27,3	30,7	33,9	36,9	39,9	42,9	46	49					
Общее снижение уровня звука препятствием с учётом ограничения (25 ДБ) для октавных полос Dz, ДБ	Раздел 7.4 [10]		23,3	25	25	25	25	25	25	25	25					
Уровни звукового Давления прямого звука от источника ИШ-108 в расчётной точке днём, ДБ	ф-ла(3)[10]		0	0	0	0	0	0	0	0	0	0	0	0	0	0
Уровни звукового Давления прямого звука от источника ИШ-108 в расчётной точке ночью, ДБ	ф-ла(3)[10]		0	0	0	0	0	0	0	0	0	0	0	0	0	0
Расчёт отражённого звука	ф-ла(3)[10]		0	0	0	0	0	0	0	0	0	0	0	0	0	0
<b>Минимый источник ИШ-108_мн_(1), образованийный отражением от поверхности препятствия Экран-1</b>																
Координаты точки отражения (x,y,z), м	$(2248914,0;411747,8;2,0)$															
Дистанция между ИШ и ИШм: R(ИШ-ИШм) = 67,6м	Дистанция между ИШм и РТ: R(ИШм-РТ) = 1070,5м															
Коэффициент отражения поверхности $\rho$	исходные данные	1	1	1	1	1	1	1	1	1	1	1	1	1	1	1
Поправка на телесный угол $D\Omega$ , ДБ	$10 \cdot \lg(4\pi/z^2)$	6	6	6	6	6	6	6	6	6	6	6	6	6	6	6
Показатель направленности источника $D_i$ , ДБ	исходные данные	0	0	0	0	0	0	0	0	0	0	0	0	0	0	0
Поправка на направленность источника $D_{iR}$ , ДБ	$D_{iR} + D_i$	6	6	6	6	6	6	6	6	6	6	6	6	6	6	6
Уровни звуковой мощности минимого источника днём, ДБ	ф-ла (20)[10]	0	78,2	78,3	76,2	72	68,3	62,9	57,2	51,2						
Уровни звуковой мощности минимого источника ночью, ДБ	ф-ла (20)[10]	0	78,2	78,3	76,2	72	68,3	62,9	57,2	51,2						
Затухание из-за геометрической дивергенции, $A_{div}$ , ДБ	ф-ла (7) [10]		72,1													
Затухание из-за атмосферической дивергенции, $A_{div}$ , ДБ	расстояние = 1138,11 м		0,02													
Коэффициент затухания звука в атмосфере $\alpha$ , ДБ/км	$T_a = 20^\circ C$ $P_a = 101,33$ кПа $h_{отн.} = 70\%$		0,02	0,09	0,33	1,12	2,79	4,98	9,04	23,09	77,63					
Учет затухания звука в атмосфере $A_{atm}$ , ДБ	ф-ла (8) [10]		0	0,1	0,4	1,3	3,2	5,7	10,3	26,3	88,4					
<b>Снижение уровня звукового Давления из-за влияния застройки между источником шума и расчётной точкой</b>																
Промежуточные точки:	$P_{ss}(x,y,z) = (2248937,91;411741,24;2,0)$	$R_{st}(x,y,z) = (2249057,53;411708,59;44,00)$	$d_{ss} = 31,01$ м	$d_{st} = 922,67$ м	$e = 126,18$ м	$z = 9,39$ м										
Траектория над экраном	Константа С2, учитывающая эффект отражения от земли возле экрана		40	40	40	40	40	40	40	40	40	40	40	40	40	40
	Константа С3 (дифракция на краяхах)	ф-ла (15) [10]	2,3	2,8	2,9	3	3	3	3	3	3	3	3	3	3	3
	$K_{мет}$ (влияние метеословий)	ф-ла (18) [10]	0,5	0,5	0,5	0,5	0,5	0,5	0,5	0,5	0,5	0,5	0,5	0,5	0,5	0,5
	Снижение УЗД, Dz, ДБ	ф-ла (14) [10]	16,5	20,2	23,4	26,4	29,4	32,4	35,4	38,5	41,5					
Общее снижение уровня звука препятствием с учётом ограничения (25 ДБ) для октавных полос Dz, ДБ	Раздел 7.4 [10]		16,5	20,2	23,4	25	25	25	25	25	25					
Критерий наличия отражения в октавной полосе	$I_{min} = 10$ м		нет													
Уровни звукового Давления от мнимого источника ИШ-108_мн_(1) в расчётной точке днём, ДБ	ф-ла(3)[10]		0	0	0	0	0	0	0	0	0	0	0	0	0	0
Уровни звукового Давления от мнимого источника ИШ-108_мн_(1) в расчётной точке ночью, ДБ	ф-ла(3)[10]		0	0	0	0	0	0	0	0	0	0	0	0	0	0
Уровни звукового Давления от мнимого источника ИШ-108_мн_(1) в расчётной точке ночью, ДБ	ф-ла(3)[10]		0	0	0	0	0	0	0	0	0	0	0	0	0	0
<b>Уровни звукового Давления от источника ИШ-108 в расчётной точке днём, ДБ</b>																
Уровни звукового Давления от источника ИШ-108 в расчётной точке ночью, ДБ	ф-ла(3)[10]		0	0	0	0	0	0	0	0	0	0	0	0	0	0
<b>Источники шума: ИШ-109, координаты источника (x,y,z), м = [2248982,10;411746,30;2,00]</b>																
Уровни звуковой мощности источника днём, Lw, ДБ	исходные данные	0	75,1	75,2	73,1	68,9	65,2	59,8	54,1	48,1						
Уровни звуковой мощности источника ночью, Lw, ДБ	исходные данные	0	75,1	75,2	73,1	68,9	65,2	59,8	54,1	48,1						
Поправка на телесный угол $D\Omega$ , ДБ	$10 \cdot \lg(4\pi/z^2)$	6	6	6	6	6	6	6	6	6	6	6	6	6	6	6
Показатель направленности источника $D_i$ , ДБ	исходные данные	0	0	0	0	0	0	0	0	0	0	0	0	0	0	0
Поправка на направленность источника $D_{iR}$ , ДБ	$D_{iR} + D_i$	6	6	6	6	6	6	6	6	6	6	6	6	6	6	6
Затухание из-за геометрической дивергенции, $A_{div}$ , ДБ	$D_{iR} + D_i$		71													
Коэффициент затухания звука в атмосфере $\alpha$ , ДБ/км	расстояние = 1004,53 м		0,02													
	$T_a = 20^\circ C$ $P_a = 101,33$ кПа $h_{отн.} = 70\%$		0,02	0,09	0,33	1,12	2,79	4,98	9,04	23,09	77,63					

Учет затухания звука в атмосфере A <sub>atm</sub> , дБ		φ-ла (8) [10]	0	0,1	0,3	1,1	2,8	5	9,1	23,2	78
<b>Снижение уровня звукового давления из-за влияния застройки между источником шума и расчетной точкой</b>											
Промежуточные точки:		P <sub>сг</sub> (х,у,з) = (2248982.20,411746.27,51.00)	P <sub>сг</sub> (х,у,з) = (2249060.66,411723.46,55.00)								
Траектория над экраном		Константа С2, учитывающая эффект отражения от земли возле экрана	dss = 49,00 м								
		Константа С3 (дифракция на краяхах)	40	40	40	40	40	40	40	40	40
		К <sub>мет</sub> (влияние метеословий)	1,9	2,5	2,8	3	3	3	3	3	3
		Снижение УЗД, Dz, дБ	0,7	0,7	0,7	0,7	0,7	0,7	0,7	0,7	0,7
		Промежуточные точки:	24	28,3	31,8	35	38	41,1	44,1	47,1	50,1
		P <sub>сг</sub> (х,у,з) = (2248993.77,411811.88,2.00)	P <sub>сг</sub> (х,у,з) = (2249308.23,411839.05,1.86)								
Траектория слева от экрана		Константа С2, учитывающая эффект отражения от земли возле экрана	dss = 66,61 м								
		Константа С3 (дифракция на краяхах)	40	40	40	40	40	40	40	40	40
		К <sub>мет</sub> (влияние метеословий)	2,8	3	3	3	3	3	3	3	3
		Снижение УЗД, Dz, дБ	1	1	1	1	1	1	1	1	1
		Общее снижение уровня звука препятствием Dz, дБ	30,9	34,1	37,1	40,1	43,2	46,2	49,2	52,2	55,2
		Общее снижение уровня звука препятствием с учётом ограничения (25 дБ) для октавных полос Dz, дБ	23,2	27,3	30,7	33,8	36,9	39,9	42,9	45,9	48,9
		Уровни звукового давления прямого звука от источника ИШ-109 в расчётной точке днём, дБ	23,2	25	25	25	25	25	25	25	25
		Уровни звукового давления прямого звука от источника ИШ-109 в расчётной точке ночью, дБ	0	0	0	0	0	0	0	0	0
		Расчёт отражённого звука	0	0	0	0	0	0	0	0	0
<b>Мнимый источник ИШ-109_мн.(1), образованный отражением от поверхности препятствия Экран-1</b>											
Координаты точки отражения (х,у,з), м		(2248914,7,411751,6,2,0)									
Коэффициент отражения поверхности р		исходные данные									
Поправка на телесный угол Ω, дБ		Ω = 3,14									
Показатель направленности источника Di, дБ		исходные данные									
Поправка на направленность источника Dir, дБ		D0 + Di									
Уровни звуковой мощности мнимого источника днём, дБ		φ-ла [20][10]									
Уровни звуковой мощности мнимого источника ночью, дБ		φ-ла [20][10]									
Затухание из-за геометрической дивергенции, Adiv, дБ		φ-ла (7) [10]									
Учет затухания звука в атмосфере α, дБ/км		Ta = -20, °C Pa = 101,33, кПа h <sub>отп.</sub> = 70%									
Учет затухания звука в атмосфере A <sub>atm</sub> , дБ		φ-ла (8) [10]									
<b>Снижение уровня звукового давления из-за влияния застройки между источником шума и расчетной точкой</b>											
Промежуточные точки:		P <sub>сг</sub> (х,у,з) = (2248971.03,411736.03,55.00)	P <sub>сг</sub> (х,у,з) = (2248979.74,411733.61,55.00)								
Траектория над экраном		Константа С2, учитывающая эффект отражения от земли возле экрана	dss = 78,93 м								
		Константа С3 (дифракция на краяхах)	40	40	40	40	40	40	40	40	40
		К <sub>мет</sub> (влияние метеословий)	1	1,1	1,3	1,7	2,4	2,8	2,9	3	3
		Снижение УЗД, Dz, дБ	0,5	0,5	0,5	0,5	0,5	0,5	0,5	0,5	0,5
		Общее снижение уровня звука препятствием с учётом ограничения (25 дБ) для октавных полос Dz, дБ	16,5	19,5	23,1	27,5	31,9	35,6	38,8	41,9	44,9
		Критерий наличия отражения в октавной полосе	16,5	19,5	23,1	25	25	25	25	25	25
		Уровни звукового давления от мнимого источника ИШ-109_мн.(1) в расчётной точке днём, дБ	нет								
		Уровни звукового давления от мнимого источника ИШ-109_мн.(1) в расчётной точке ночью, дБ	нет								
		Уровни звукового давления от источника ИШ-109 в расчётной точке днём, дБ	φ-ла(3)[10]								
		Уровни звукового давления от источника ИШ-109 в расчётной точке ночью, дБ	φ-ла(3)[10]								
		Источник шума: ИШ-110, координаты источника (х,у,з), м = [2248982.30,411747.30,2.00]	φ-ла(3)[10]								
Уровни звуковой мощности источника днём, Lw, дБ		исходные данные									
Уровни звуковой мощности источника ночью, Lw, дБ		исходные данные									
Показатель на телесный угол Ω, дБ		Ω = 3,14									
Показатель направленности источника Di, дБ		исходные данные									

Поправка на направленность источника Dc, дБ	Dc	D0 + Di	6	6	6	6	6	6	6	6	6	6	6	6	
Затухание из-за геометрической дивергенции, Adiv, дБ	расстояние = 1004.62 м	φ-ла (7) [10]	71												
Коэффициент затухания звука в атмосфере α, дБ/км	Ta=20, °C Pa=101.33, kPa Потн.=70%	φ-ла (5) [9]	0,02	0,09	0,33	1,12	2,79	4,98	9,04	23,09	77,63				
Учет затухания звука в атмосфере Aatm, дБ		φ-ла (8) [10]	0	0,1	0,3	1,1	2,8	5	9,1	23,2	78				
<b>Снижение уровня звукового давления из-за влияния застройки между источником шума и расчетной точкой</b>															
Промежуточные точки:	Pst(x,y,z) = (2248982.38,411747.28,51.00)	Pst(x,y,z) = (2249060.83,411724.39,55.00)	dss = 49,00 м	dstr = 924,36 м	e = 81,82 м	z = 50,56 м									
Траектория над экраном	Константа С2, учитывающая эффект отражения от земли возле экрана	φ-ла (15) [10]	40	40	40	40	40	40	40	40	40	40	40	40	
	Константа С3 (дифракция на краях)	φ-ла (18) [10]	1,9	2,5	2,8	3	3	3	3	3	3	3	3	3	
	Kмет (влияние метеословий)	φ-ла (14) [10]	0,7	0,7	0,7	0,7	0,7	0,7	0,7	0,7	0,7	0,7	0,7	0,7	
	Снижение УЗД, Dz, дБ	φ-ла (14) [10]	24	28,3	31,8	35	38	41,1	44,1	47,1	50,1				
	Pst(x,y,z) = (2248993.77,411811.88,2.00)	Pst(x,y,z) = (2249308.23,411839.05,1.86)	dss = 65,59 м	dstr = 739,52 м	e = 315,62 м	z = 116,12 м									
Траектория слева от экрана	Константа С2, учитывающая эффект отражения от земли возле экрана	φ-ла (15) [10]	40	40	40	40	40	40	40	40	40	40	40	40	
	Константа С3 (дифракция на краях)	φ-ла (18) [10]	2,8	3	3	3	3	3	3	3	3	3	3	3	
	Kмет (влияние метеословий)	φ-ла (14) [10]	1	1	1	1	1	1	1	1	1	1	1	1	
	Снижение УЗД, Dz, дБ	φ-ла (14) [10]	30,9	34,1	37,1	40,1	43,1	46,1	49,1	52,1	55,2				
Общее снижение уровня звука препятствием Dz, дБ	Эн.сумма(-Dz)	φ-ла (20) [10]	23,2	27,3	30,7	33,8	36,9	39,9	42,9	45,9	48,9				
Общее снижение уровня звука препятствием с учётом ограничения (25 дБ) для октавных полос Dz, дБ	Раздел 7.4 [10]	φ-ла (3) [10]	23,2	25	25	25	25	25	25	25	25				
Уровни звукового давления прямого звука от источника ИШ-110 в расчётной точке днём, дБ	φ-ла (3) [10]	φ-ла (3) [10]	0	0	0	0	0	0	0	0	0	0	0	0	
Уровни звукового давления прямого звука от источника ИШ-110 в расчётной точке ночью, дБ	φ-ла (3) [10]	φ-ла (3) [10]	0	0	0	0	0	0	0	0	0	0	0	0	
Расчёт отражённого звука															
<b>Мнимый источник ИШ-110_мн.(1), образованный отражением от поверхности препятствия Экран-1</b>															
Координаты точки отражения (x,y,z), м	(2248914.8,411752.6,2.0)	Дистанция между ИШ и ИШМ: R(ИШ-ИШМ) = 67.7м Дистанция между ИШМ и РТ: R(ИШМ-РТ) = 1070.9м													
Коэффициент отражения поверхности р	исходные данные	1	1	1	1	1	1	1	1	1	1	1	1	1	
Поправка на телесный угол DΩ, дБ	Ω = 3.14	6	6	6	6	6	6	6	6	6	6	6	6	6	
Показатель направленности источника Di, дБ	исходные данные	0	0	0	0	0	0	0	0	0	0	0	0	0	
Поправка на направленность источника Dir, дБ	Dir	6	6	6	6	6	6	6	6	6	6	6	6	6	
Уровни звуковой мощности мнимого источника днём, дБ	φ-ла (20) [10]	0	78,2	78,3	76,2	72	68,3	62,9	57,2	51,2					
Уровни звуковой мощности мнимого источника ночью, дБ	φ-ла (20) [10]	0	78,2	78,3	76,2	72	68,3	62,9	57,2	51,2					
Затухание из-за геометрической дивергенции, Adiv, дБ	расстояние = 1138.60 м	φ-ла (7) [10]	72,1												
Коэффициент затухания звука в атмосфере α, дБ/км	Ta=20, °C Pa=101.33, kPa Потн.=70%	φ-ла (5) [9]	0,02	0,09	0,33	1,12	2,79	4,98	9,04	23,09	77,63				
Учет затухания звука в атмосфере Aatm, дБ		φ-ла (8) [10]	0	0,1	0,4	1,3	3,2	5,7	10,3	26,3	88,4				
<b>Снижение уровня звукового давления из-за влияния застройки между источником шума и расчетной точкой</b>															
Промежуточные точки:	Pst(x,y,z) = (2248971.18,411736.92,55.00)	Pst(x,y,z) = (2248979.89,411734.50,55.00)	dss = 78,94 м	dstr=1004,85 м	e = 9,04 м	z = 21,89 м									
Траектория над экраном	Константа С2, учитывающая эффект отражения от земли возле экрана	φ-ла (15) [10]	40	40	40	40	40	40	40	40	40	40	40	40	
	Константа С3 (дифракция на краях)	φ-ла (18) [10]	1	1,1	1,3	1,7	2,4	2,8	2,9	3	3	3	3	3	
	Kмет (влияние метеословий)	φ-ла (18) [10]	0,5	0,5	0,5	0,5	0,5	0,5	0,5	0,5	0,5	0,5	0,5	0,5	
	Снижение УЗД, Dz, дБ	φ-ла (14) [10]	16,5	19,5	23,1	27,5	31,9	35,6	38,8	41,9	44,9				
Общее снижение уровня звука препятствием с учётом ограничения (25 дБ) для октавных полос Dz, дБ	Раздел 7.4 [10]	φ-ла (19) [10]	16,5	19,5	23,1	25	25	25	25	25	25				
Критерий наличия отражения в октавной полосе	lmin = 10 м	φ-ла (3) [10]	нет	нет	нет	да	да	да	да	да	да				
Уровни звукового давления от мнимого источника ИШ-110_мн.(1) в расчётной точке днём, дБ	φ-ла (3) [10]	φ-ла (3) [10]	0	0	0	0	0	0	0	0	0	0	0	0	
Уровни звукового давления от мнимого источника ИШ-110_мн.(1) в расчётной точке ночью, дБ	φ-ла (3) [10]	φ-ла (3) [10]	0	0	0	0	0	0	0	0	0	0	0	0	
Уровни звукового давления от источника ИШ-110 в расчётной точке днём, дБ	φ-ла (3) [10]	φ-ла (3) [10]	0	0	0	0	0	0	0	0	0	0	0	0	
Уровни звукового давления от источника ИШ-110 в расчётной точке ночью, дБ	φ-ла (3) [10]	φ-ла (3) [10]	0	0	0	0	0	0	0	0	0	0	0	0	
Источник шума: ИШ-111, координаты источника (x,y,z), м = [2249061.50,411725.30,2.00]															







Поправка на направленность источника $D_s$ , дБ	$D_s$		6	6	6	6	6	6	6	6	6	6	6	6	
Затухание из-за геометрической дивергенции, $A_{div}$ , дБ	расстояние = 896,95 м		70,1												
Коэффициент затухания звука в атмосфере $\alpha$ , дБ/км	$T_a=20; ^\circ\text{C}$ $P_a=101.33$ , кПа $h_{отп.}=70\%$		0,02	0,09	0,33	1,12	2,79	4,98	9,04	23,09	44,98	77,63			
Учет затухания звука в атмосфере $A_{atm}$ , дБ			0	0,1	0,3	1	2,5	4,5	8,1	20,7	69,6				
<b>Снижение уровня звукового давления из-за влияния застройки источника шума и расчетной точкой</b>															
Промежуточные точки: $P_{ss}(x,y,z) = (2249278,37,411664,76,2,50)$   $P_{sr}(x,y,z) = (2249278,57,411664,70,2,50)$   $dss = 199,66$ м   $dsg = 697,08$ м   $e = 0,20$ м   $z = 0,00$ м															
Константа $S_2$ , учитывающая эффект отражения от земли возле экрана															
Траектория над экраном	Константа $S_3$ (дифракция на краяхах)	Фла (15) [10]	1	1	1	1	1	1	1	1	1	1	1	1,1	
	$K_{мет}$ (влияние метеословий)	Фла (18) [10]	0	0	0	0	0	0	0	0	0	0	0	0	
	Снижение $U_{3D}$ , $D_z$ , дБ	Фла (14) [10]	4,8	4,8	4,8	4,8	4,8	4,8	4,8	4,8	4,8	4,8	4,8	4,8	
Уровни звукового Давления прямого звука от источника ИШ-113 в расчётной точке днём, дБ		Ф-ла(9)[10]	0	3,2	3,1	0,3	0	0	0	0	0	0	0	0	
Уровни звукового Давления прямого звука от источника ИШ-113 в расчётной точке ночью, дБ		Ф-ла(9)[10]	0	3,2	3,1	0,3	0	0	0	0	0	0	0	0	
<b>Расчёт отражённого звука</b>															
<b>Мнимый источник ИШ-113_мн.(1), образованный отражением от поверхности препятствия Турбинное отделение</b>															
Координаты точки отражения $(x,y,z)$ , м (2249093,2,411721,2,2,0)   Дистанция между ИШ и ИШМ: $R(ИШ-ИШМ) = 6,2$ м   Дистанция между ИШМ и РТ: $R(ИШМ-РТ) = 890,9$ м															
Коэффициент отражения поверхности $\rho$															
Поправка на телесный угол $D\Omega$ , дБ	$\Omega = 3,14$	исходные данные	1	1	1	1	1	1	1	1	1	1	1	1	
Показатель направленности источника $Di$ , дБ		$10 \lg(4\pi/S_2)$	6	6	6	6	6	6	6	6	6	6	6	6	
исходные данные															
Поправка на направленность источника $Dir$ , дБ	$Dir$	$D\Omega + Di$	6	6	6	6	6	6	6	6	6	6	6	6	
Уровни звуковой мощности мнимого источника днём, дБ		Ф-ла (20)[10]	0	78,2	78,3	76,2	72	68,3	62,9	57,2	51,2				
Уровни звуковой мощности мнимого источника ночью, дБ		Ф-ла (20)[10]	0	78,2	78,3	76,2	72	68,3	62,9	57,2	51,2				
Затухание из-за геометрической дивергенции, $A_{div}$ , дБ															
расстояние = 897,09 м   $z = 0,00$ м															
Коэффициент затухания звука в атмосфере $\alpha$ , дБ/км	$T_a=20; ^\circ\text{C}$ $P_a=101.33$ , кПа $h_{отп.}=70\%$		0,02	0,09	0,33	1,12	2,79	4,98	9,04	23,09	44,98	77,63			
Учет затухания звука в атмосфере $A_{atm}$ , дБ			0	0,1	0,3	1	2,5	4,5	8,1	20,7	69,6				
<b>Снижение уровня звукового давления из-за влияния застройки источника шума и расчетной точкой</b>															
Промежуточные точки: $P_{ss}(x,y,z) = (2249278,55,411665,79,2,50)$   $P_{sr}(x,y,z) = (2249278,74,411665,73,2,50)$   $dss = 193,48$ м   $dsg = 697,21$ м   $e = 0,20$ м   $z = 0,00$ м															
Константа $S_2$ , учитывающая эффект отражения от земли возле экрана															
Траектория над экраном	Константа $S_3$ (дифракция на краяхах)	Ф-ла (15) [10]	1	1	1	1	1	1	1	1	1	1	1	1,1	
	$K_{мет}$ (влияние метеословий)	Ф-ла (18) [10]	0	0	0	0	0	0	0	0	0	0	0	0	
	Снижение $U_{3D}$ , $D_z$ , дБ	Ф-ла (14) [10]	4,8	4,8	4,8	4,8	4,8	4,8	4,8	4,8	4,8	4,8	4,8	4,8	
Критерий наличия отражения в октавной полосе	$I_{min} = 33,5$ м	Ф-ла (19)[10]	Да	Да	Да	Да	Да	Да	Да	Да	Да	Да	Да	Да	
Уровни звукового Давления от мнимого источника ИШ-113_мн.(1) в расчётной точке днём, дБ		Ф-ла(9)[10]	0	3,2	3,1	0,3	0	0	0	0	0	0	0	0	
Уровни звукового Давления от мнимого источника ИШ-113_мн.(1) в расчётной точке ночью, дБ		Ф-ла(9)[10]	0	3,2	3,1	0,3	0	0	0	0	0	0	0	0	
<b>Мнимый источник ИШ-113_мн.(2), образованный отражением от поверхности препятствия Экран 20</b>															
Координаты точки отражения $(x,y,z)$ , м (2249073,2,411722,6,2,0)   Дистанция между ИШ и ИШМ: $R(ИШ-ИШМ) = 13,9$ м   Дистанция между ИШМ и РТ: $R(ИШМ-РТ) = 910,5$ м															
Коэффициент отражения поверхности $\rho$															
исходные данные															
Поправка на телесный угол $D\Omega$ , дБ	$\Omega = 3,14$	$10 \lg(4\pi/S_2)$	1	1	1	1	1	1	1	1	1	1	1	1	
Показатель направленности источника $Di$ , дБ		исходные данные	0	0	0	0	0	0	0	0	0	0	0	0	
Поправка на направленность источника $Dir$ , дБ	$Dir$	$D\Omega + Di$	6	6	6	6	6	6	6	6	6	6	6	6	
Уровни звуковой мощности мнимого источника днём, дБ		Ф-ла (20)[10]	0	78,2	78,3	76,2	72	68,3	62,9	57,2	51,2				
Уровни звуковой мощности мнимого источника ночью, дБ		Ф-ла (20)[10]	0	78,2	78,3	76,2	72	68,3	62,9	57,2	51,2				
Затухание из-за геометрической дивергенции, $A_{div}$ , дБ															
расстояние = 924,35 м															
Коэффициент затухания звука в атмосфере $\alpha$ , дБ/км	$T_a=20; ^\circ\text{C}$ $P_a=101.33$ , кПа $h_{отп.}=70\%$		0,02	0,09	0,33	1,12	2,79	4,98	9,04	23,09	44,98	77,63			
Учет затухания звука в атмосфере $A_{atm}$ , дБ			0	0,1	0,3	1	2,6	4,6	8,4	21,3	71,8				
<b>Снижение уровня звукового давления из-за влияния застройки источника шума и расчетной точкой</b>															

Траектория над экраном	Промежуточные точки:	$P_{55}(x,y,z) = (2249277.97, 411662.39, 2.50)$	$P_{57}(x,y,z) = (2249278.16, 411662.33, 2.50)$	dss = 213.47 м	dstr = 696.80 м	e = 0.20 м	z = 0.00 м	
	Константа С2, учитывающая эффект отражения от земли возле экрана			40	40	40	40	40
Критерий наличия отражения в октавной полосе	Константа С3 (дифракция на краяхах)		Ф-ла (15) [10]	1	1	1	1	1,1
	$K_{мет}$ (влияние метеословесий)		Ф-ла (18) [10]	0	0	0	0	0
Уровни звукового давления от мнимого источника ИШ-113_мн.(2) в расчётной точке днём, ДБ	Снижение УЗД, Dz, дБ		Ф-ла (14) [10]	4,8	4,8	4,8	4,8	4,8
	$l_{min} = 26$ м		Ф-ла (19) [10]	да	да	да	да	да
Уровни звукового давления от мнимого источника ИШ-113_мн.(2) в расчётной точке ночью, ДБ			Ф-ла(3) [10]	0	3	2,9	0	0
			Ф-ла(3) [10]	0	3	2,9	0	0
Суммарные уровни звукового давления от мнимых источников в расчётной точке днём, ДБ			Ф-ла (19) [1]	0	6,1	6	3,2	0
			Ф-ла (19) [1]	0	6,1	6	3,2	0
Уровни звукового давления от источника ИШ-113 в расчётной точке днём, ДБ			Ф-ла(3) [10]	0	7,9	7,8	5	0
			Ф-ла(3) [10]	0	7,9	7,8	5	0
Источник шума: ИШ-114, координаты источника (x,y,z), м = [2249088.56, 411721.48, 2.00]			исходные данные	0	75,1	75,2	73,1	68,9
			исходные данные	0	75,1	75,2	73,1	68,9
Уровни звуковой мощности источника ночью, Lw, ДБ			10Lg(4p/Q)	6	6	6	6	6
		$\Omega = 3.14$	исходные данные	0	0	0	0	0
Показатель направленности источника Di, ДБ			D0 + Di	6	6	6	6	6
			Ф-ла (7) [10]			70		
Поправка на направленность источника Dc, ДБ		расстояние = 895.39 м	Ф-ла (5) [9]	0,02	0,09	0,33	1,12	2,79
		$Ta=20, ^\circ C Pa=101.33, kПа \text{ потн.} = 70\%$	Ф-ла (8) [10]	0	0,1	0,3	1	2,5
Затухание из-за геометрической дивергенции, Adiv, ДБ								
Кoeffициент затухания звука в атмосфере $\alpha$ , ДБ/км								
Учет затухания звука в атмосфере Aatm, ДБ								
Снижение уровня звукового давления из-за влияния застройки между источником шума и расчётной точкой	Промежуточные точки:	$P_{55}(x,y,z) = (2249278.40, 411664.94, 2.50)$	$P_{57}(x,y,z) = (2249278.60, 411664.88, 2.50)$	dss = 198.08 м	dstr = 697.11 м	e = 0.20 м	z = 0.00 м	
	Константа С2, учитывающая эффект отражения от земли возле экрана			40	40	40	40	40
Траектория над экраном	Константа С3 (дифракция на краяхах)		Ф-ла (15) [10]	1	1	1	1	1,1
	$K_{мет}$ (влияние метеословесий)		Ф-ла (18) [10]	0	0	0	0	0
Уровни звукового давления прямого звука от источника ИШ-114 в расчётной точке днём, ДБ	Снижение УЗД, Dz, дБ		Ф-ла (14) [10]	4,8	4,8	4,8	4,8	4,8
			Ф-ла(3) [10]	0	3,3	3,1	0,3	0
Уровни звукового давления прямого звука от источника ИШ-114 в расчётной точке ночью, ДБ			Ф-ла(3) [10]	0	3,3	3,1	0,3	0
			Ф-ла(3) [10]	0	3,3	3,1	0,3	0
Расчёт отражённого звука								
Мнимый источник ИШ-114_мн.(1), образованный отражением от поверхности препятствия Турбинное отделение	Координаты точки отражения (x,y,z), м							
		$(2249094.3, 411721.0, 2.0)$						
Кoeffициент отражения поверхности $\rho$			исходные данные	1	1	1	1	1
			10Lg(4p/Q)	6	6	6	6	6
Поправка на телесный угол DQ, ДБ		$\Omega = 3.14$	исходные данные	0	0	0	0	0
			исходные данные	0	0	0	0	0
Показатель направленности источника Di, ДБ			D0 + Di	6	6	6	6	6
			Ф-ла (20) [10]	0	78,2	78,3	76,2	72
Уровни звуковой мощности мнимого источника ночью, ДБ			Ф-ла (20) [10]	0	78,2	78,3	76,2	72
			Ф-ла (20) [10]	0	78,2	78,3	76,2	72
Уровни звуковой мощности мнимого источника днём, ДБ		расстояние = 895.52 м	Ф-ла (7) [10]	0,02	0,09	0,33	1,12	2,79
		$Ta=20, ^\circ C Pa=101.33, kПа \text{ потн.} = 70\%$	Ф-ла (5) [9]	0	0,1	0,3	1	2,5
Затухание из-за геометрической дивергенции, Adiv, ДБ			Ф-ла (8) [10]	0	0,1	0,3	1	2,5
Кoeffициент затухания звука в атмосфере $\alpha$ , ДБ/км								
Учет затухания звука в атмосфере Aatm, ДБ								
Снижение уровня звукового давления из-за влияния застройки между источником шума и расчётной точкой	Промежуточные точки:	$P_{55}(x,y,z) = (2249278.56, 411665.89, 2.50)$	$P_{57}(x,y,z) = (2249278.76, 411665.83, 2.50)$	dss = 192.37 м	dstr = 697.22 м	e = 0.20 м	z = 0.00 м	
	Константа С2, учитывающая эффект отражения от земли возле экрана			40	40	40	40	40



Константа С3 (дифракция на краяхах)	1	1	1	1	1	1	1	1	1	1	1	1	1	1,5
	0	0	0	0	0	0	0	0	0	0	0	0	0	0
К <sub>мет</sub> (величине метеословий)	4,8	4,8	4,8	4,8	4,8	4,8	4,8	4,8	4,8	4,8	4,8	4,8	4,8	4,8
Снижение УЗД, Dz, дБ	да	да	да	да	да	да	да	да	да	да	да	да	да	да
Критерий наличия отражения в октавной полосе	0	3,3	3,1	0,3	0	0	0	0	0	0	0	0	0	0
Уровни звукового давления от мнимого источника ИШ-114_мн.(1) в расчётной точке днём, ДБ	0	3,3	3,1	0,3	0	0	0	0	0	0	0	0	0	1,4
Уровни звукового давления от мнимого источника ИШ-114_мн.(1) в расчётной точке ночью, ДБ	0	3,3	3,1	0,3	0	0	0	0	0	0	0	0	0	1,4
<b>Мнимый источник ИШ-114_мн.(2), образованный отражением от поверхности препятствия Экран 20</b>														
Координаты точки отражения (х,у,з), м	(2249073.1,411722.4,2.0)													
Дистанция между ИШ и ИШм: R(ИШ-ИШм) = 15.5м	Дистанция между ИШм и РТ: R(ИШм-РТ) = 910.5м													
Коскоэффициент отражения поверхности р	исходные данные													
Поправка на телесный угол DΩ, ДБ	6	6	6	6	6	6	6	6	6	6	6	6	6	6
Показатель направленности источника Di, дБ	исходные данные													
Поправка на направленность источника Dir, дБ	исходные данные													
Уровни звуковой мощности мнимого источника днём, ДБ	0	78,2	78,3	76,2	72	68,3	62,9	57,2	51,2					
Уровни звуковой мощности мнимого источника ночью, ДБ	0	78,2	78,3	76,2	72	68,3	62,9	57,2	51,2					
Затухание из-за геометрической дивергенции, Adiv, ДБ	70,3													
Коэффициент затухания звука в атмосфере α, дБ/км	0,02	0,09	0,33	1,12	2,79	4,98	9,04	23,09	77,63					
Учет затухания звука в атмосфере Aatm, ДБ	0	0,1	0,3	1	2,6	4,6	8,4	21,4	71,9					
<b>Снижение уровня звукового давления из-за влияния застройки между источником шума и расчётной точкой</b>														
Промежуточные точки:	Ps(x,y,z) = (2249277.95,411662.30,2.50)	dss = 213.47 м	dstr = 696.79 м	e = 0.20 м	z = 0.00 м									
Траектория над экраном	Константа С2, учитывающая эффект отражения от земли возле экрана	40	40	40	40	40	40	40	40	40	40	40	40	40
	Константа С3 (дифракция на краяхах)	1	1	1	1	1	1	1	1	1	1	1	1	1,5
	К <sub>мет</sub> (величине метеословий)	0	0	0	0	0	0	0	0	0	0	0	0	0
	Снижение УЗД, Dz, дБ	4,8	4,8	4,8	4,8	4,8	4,8	4,8	4,8	4,8	4,8	4,8	4,8	4,8
	Критерий наличия отражения в октавной полосе	да	да	да	да	да	да	да	да	да	да	да	да	да
	Уровни звукового давления от мнимого источника ИШ-114_мн.(2) в расчётной точке днём, ДБ	0	3	2,8	0	0	0	0	0	0	0	0	0	0
	Уровни звукового давления от мнимого источника ИШ-114_мн.(2) в расчётной точке ночью, ДБ	0	3	2,8	0	0	0	0	0	0	0	0	0	0
<b>Суммарные уровни звукового давления от мнимых источников в расчётной точке днём, ДБ</b>														
Суммарные уровни звукового давления от мнимых источников в расчётной точке ночью, ДБ	0	6,1	6	3,2	0	0	0	0	0	0	0	0	0	4,2
Уровни звукового давления от источника ИШ-114 в расчётной точке днём, ДБ	0	6,1	6	3,2	0	0	0	0	0	0	0	0	0	4,2
Уровни звукового давления от источника ИШ-114 в расчётной точке ночью, ДБ	0	7,9	7,8	5	0	0	0	0	0	0	0	0	0	6
Источник шума: ИШ-115, координаты источника (х,у,з), м = [2249101.33,411793.14,2.00]	0	7,9	7,8	5	0	0	0	0	0	0	0	0	0	6
Уровни звуковой мощности источника днём, Lw, ДБ	исходные данные													
Уровни звуковой мощности источника ночью, Lw, ДБ	исходные данные													
Поправка на телесный угол DΩ, ДБ	6	6	6	6	6	6	6	6	6	6	6	6	6	6
Показатель направленности источника Di, дБ	исходные данные													
Поправка на направленность источника Dc, дБ	Dc + Di													
Затухание из-за геометрической дивергенции, Adiv, ДБ	70,1													
Коэффициент затухания звука в атмосфере α, дБ/км	0,02	0,09	0,33	1,12	2,79	4,98	9,04	23,09	77,63					
Учет затухания звука в атмосфере Aatm, ДБ	0	0,1	0,3	1	2,5	4,5	8,2	20,9	70,4					
<b>Снижение уровня звукового давления из-за влияния застройки между источником шума и расчётной точкой</b>														
Промежуточные точки:	Ps(x,y,z) = (2249101.95,411792.9,33.50)	dss = 31.51 м	dstr = 889.48 м	e = 16.94 м	z = 31.42 м									
Траектория над экраном	Константа С2, учитывающая эффект отражения от земли возле экрана	40	40	40	40	40	40	40	40	40	40	40	40	40
	Константа С3 (дифракция на краяхах)	1,1	1,2	1,7	2,3	2,8	2,9	3	3	3	3	3	3	3



Траектория над экраном	Промежуточные точки:	$P_{55}(x,y,z) = (2249079,06,4,11859,47,8,00)$	$P_{57}(x,y,z) = (2249139,02,411832,27,8,00)$	$d_{55} = 47,66$ м	$d_{57} = 886,92$ м	$e = 65,84$ м	$z = 0,40$ м						
		Константа С2, учитывающая эффект отражения от земли возле экрана		40	40	40	40	40	40				
		Константа С3 (дифракция на краяхах)	Ф-ла (15) [10]	1,7	2,3	2,9	3	3	3	3			
		$K_{мет}$ (влияние метеословий)	Ф-ла (18) [10]	0	0	0	0	0	0	0			
Уровни звукового давления прямого звука от источника ИШ-117 в расчётной точке днём, ДБ		Снижение УЗД, Дз, ДБ	Ф-ла(14) [10]	4,9	5,4	5,9	8,3	10,3	12,6	15,2			
		Ф-ла(3)[10]	Ф-ла(3)[10]	0	19,6	20,4	20,3	18	14	4,7	0	18,9	18,9
Уровни звукового давления прямого звука от источника ИШ-117 в расчётной точке ночью, ДБ		Ф-ла(3)[10]	Ф-ла(3)[10]	0	19,6	20,4	20,3	18	14	4,7	0	18,9	18,9
<b>Расчёт отражённого звука</b>													
<b>Мнимый источник ИШ-117_мн.(1), образованный отражением от поверхности препятствия НС жидкого топлива</b>													
Координаты точки отражения (x,y,z), м		$(2249007,0,411875,1,2,0)$											
Дистанция между ИШ и ИШм: R(ИШ-ИШм) = 29,3м		Дистанция между ИШм и РТ: R(ИШм-РТ) = 1025,0м											
Коэффициент отражения поверхности $\rho$		исходные данные											
Поправка на телесный угол $D\Omega$ , ДБ		$\Omega = 6,28$											
Показатель направленности источника $D_i$ , ДБ		исходные данные											
Поправка на направленность источника $D_{iR}$ , ДБ		Dir											
Уровни звуковой мощности мнимого источника днём, ДБ		Ф-ла (20)[10]											
Уровни звуковой мощности мнимого источника ночью, ДБ		Ф-ла (20)[10]											
Затухание из-за геометрической дивергенции, $A_{div}$ , ДБ		расстояние = 1054,26 м											
Коэффициент затухания звука в атмосфере $\alpha$ , ДБ/км		Т <sub>в</sub> =20, °С Pa=101,33, kПа h <sub>отн.</sub> =70%											
Учет затухания звука в атмосфере $A_{atm}$ , ДБ		Ф-ла (8) [10]											
<b>Снижение уровня звукового давления из-за влияния застройки между источником шума и расчётной точкой</b>													
Промежуточные точки:		$P_{54}(x,y,z) = (2249057,32,411853,21,8,00)$											
Траектория над экраном		$P_{55}(x,y,z) = (2249057,32,411853,21,8,00)$											
		Константа С2, учитывающая эффект отражения от земли возле экрана											
		Константа С3 (дифракция на краяхах)											
		$K_{мет}$ (влияние метеословий)											
		Снижение УЗД, Дз, ДБ											
Промежуточные точки:		$P_{56}(x,y,z) = (2249095,66,411856,67,1,94)$											
Траектория слева от экрана		$P_{57}(x,y,z) = (2249006,97,411875,14,1,99)$											
		Константа С2, учитывающая эффект отражения от земли возле экрана											
		Константа С3 (дифракция на краяхах)											
		$K_{мет}$ (влияние метеословий)											
		Снижение УЗД, Дз, ДБ											
Общее снижение уровня звука препятствием $D_z$ , ДБ		$l_{min} = 6$ м											
Критерий наличия отражения в октавной полосе		Ф-ла (19)[10]											
Уровни звукового давления от мнимого источника ИШ-117_мн.(1) в расчётной точке днём, ДБ		Ф-ла(3)[10]											
Уровни звукового давления от мнимого источника ИШ-117_мн.(1) в расчётной точке ночью, ДБ		Ф-ла(3)[10]											
<b>Мнимый источник ИШ-117_мн.(2), образованный отражением от поверхности препятствия Экран-2</b>													
Координаты точки отражения (x,y,z), м		$(2249061,0,411881,3,2,0)$											
Дистанция между ИШ и ИШм: R(ИШ-ИШм) = 25,1м		Дистанция между ИШм и РТ: R(ИШм-РТ) = 978,3м											
Коэффициент отражения поверхности $\rho$		исходные данные											
Поправка на телесный угол $D\Omega$ , ДБ		$\Omega = 6,28$											
Показатель направленности источника $D_i$ , ДБ		исходные данные											
Поправка на направленность источника $D_{iR}$ , ДБ		Dir											
Уровни звуковой мощности мнимого источника днём, ДБ		Ф-ла (20)[10]											
Уровни звуковой мощности мнимого источника ночью, ДБ		Ф-ла (20)[10]											
Затухание из-за геометрической дивергенции, $A_{div}$ , ДБ		расстояние = 1003,39 м											
Коэффициент затухания звука в атмосфере $\alpha$ , ДБ/км		Т <sub>в</sub> =20, °С Pa=101,33, kПа h <sub>отн.</sub> =70%											
Учет затухания звука в атмосфере $A_{atm}$ , ДБ		Ф-ла (8) [10]											

Учет затухания звука в атмосфере $A_{atm}$ , дБ												0	0,1	0,3	1,1	2,8	5	9,1	23,2	77,9	
<b>Снижение уровня звукового давления из-за влияния застройки между источником шума и расчетной точкой</b>																					
Промежуточные точки: $P_{ss}(x,y,z) = (2249126,63;411850,55;8,00)$   $P_{sg}(x,y,z) = (2249140,99;411843,81;8,00)$																					
Константа $C_2$ , учитывающая эффект отражения от земли возле экрана																					
Константа $C_3$ (дифракция на краях)																					
$K_{мет}$ (влияние метеословий)																					
Снижение $УЗд$ , $Dz$ , дБ																					
Критерий наличия отражения в октавной полосе $l_{min} = 2,5$ м																					
Уровни звукового давления от мнимого источника ИШ-117_мн.(2) в расчётной точке днём, дБ																					
Уровни звукового давления от мнимого источника ИШ-117_мн.(2) в расчётной точке ночью, дБ																					
Суммарные уровни звукового давления от мнимых источников в расчётной точке днём, дБ																					
Суммарные уровни звукового давления от мнимых источников в расчётной точке ночью, дБ																					
Уровни звукового давления от источника ИШ-117 в расчётной точке днём, дБ																					
Уровни звукового давления от источника ИШ-117 в расчётной точке ночью, дБ																					
Источник шума: ИШ-118, координаты источника (x,y,z), м = [2249255,80;411696,40;3,00]																					
Уровни звуковой мощности источника днём, $Lw$ , дБ																					
Уровни звуковой мощности источника ночью, $Lw$ , дБ																					
Поправка на телесный угол $D\Omega$ , дБ																					
Показатель направленности источника $D_i$ , дБ																					
Поправка на направленности источника $D_c$ , дБ																					
Затухание из-за геометрической дивергенции, $A_{div}$ , дБ																					
Коэффициент затухания звука в атмосфере $\alpha$ , дБ/км																					
Учет затухания звука в атмосфере $A_{atm}$ , дБ																					
<b>Снижение уровня звукового давления из-за влияния застройки между источником шума и расчетной точкой</b>																					
Промежуточные точки: $P_{ss}(x,y,z) = (2249257,71;411695,76;6,00)$   $P_{sg}(x,y,z) = (2249262,07;411694,31;6,00)$																					
Константа $C_2$ , учитывающая эффект отражения от земли возле экрана																					
Константа $C_3$ (дифракция на краях)																					
$K_{мет}$ (влияние метеословий)																					
Снижение $УЗд$ , $Dz$ , дБ																					
Промежуточные точки: $P_{ss}(x,y,z) = (2249262,17;411695,08;2,99)$   $P_{sg}(x,y,z) = (2249262,17;411695,08;2,99)$																					
Константа $C_2$ , учитывающая эффект отражения от земли возле экрана																					
Константа $C_3$ (дифракция на краях)																					
$K_{мет}$ (влияние метеословий)																					
Снижение $УЗд$ , $Dz$ , дБ																					
Общее снижение уровня звука препятствием $Dz$ , дБ																					
Уровни звукового давления от источника ИШ-118 в расчётной точке днём, дБ																					
Уровни звукового давления от источника ИШ-118 в расчётной точке ночью, дБ																					
Источник шума: ИШ-119, координаты источника (x,y,z), м = [2249248,30;411690,70;3,00]																					
Уровни звуковой мощности источника днём, $Lw$ , дБ																					
Уровни звуковой мощности источника ночью, $Lw$ , дБ																					
Поправка на телесный угол $D\Omega$ , дБ																					
Показатель направленности источника $D_i$ , дБ																					
Поправка на направленности источника $D_c$ , дБ																					
Затухание из-за геометрической дивергенции, $A_{div}$ , дБ																					











Коэффициент затухания звука в атмосфере $\alpha$ , дБ/км	$T_a=20^\circ\text{C}$ , $P_a=101.33\text{кПа}$ $\text{hотп.}=70\%$	0,02	0,09	0,33	1,12	2,79	4,98	9,04	23,09	77,63
Учет затухания звука в атмосфере $A_{\text{атм}}$ , дБ		0	0,1	0,2	0,8	2	3,6	6,6	16,8	56,5
Снижение поверхностью земли возле источника $A_s$ , дБ	$G_s = 0 \text{ hс} = 5\text{м}$	-1,5	-1,5	-1,5	-1,5	-1,5	-1,5	-1,5	-1,5	-1,5
Снижение поверхностью земли возле приёмника $A_r$ , дБ	$G_r = 0 \text{ hр} = 1,5\text{м}$	-1,5	-1,5	-1,5	-1,5	-1,5	-1,5	-1,5	-1,5	-1,5
Снижение поверхностью земли в средней зоне, $A_m$ дБ	$G_m = 0$	-2,2	-2,2	-2,2	-2,2	-2,2	-2,2	-2,2	-2,2	-2,2
Суммарное снижение поверхности земли на траектории распространения звука $A_{\text{гр}}$ , дБ		-5,2	-5,2	-5,2	-5,2	-5,2	-5,2	-5,2	-5,2	-5,2
Уровни звукового давления прямого звука от источника ИШ-123 в расчётной точке днём, дБ		0	9,3	14,2	15,6	13,1	8,8	0	0	13,6
Уровни звукового давления прямого звука от источника ИШ-123 в расчётной точке ночью, дБ		0	9,3	14,2	15,6	13,1	8,8	0	0	13,6
Расчёт отражённого звука										
<b>Мнимый источник ИШ-123_мн.(1), образованный отражением от поверхности препятствия НС пожаротушения</b>										
Координаты точки отражения (x,y,z), м	(2249256,5,411683,5,5,0)	Дистанция между ИШ и ИШМ: R(ИШ-ИШМ) = 4,6м Дистанция между ИШМ и РТ: R(ИШМ-РТ) = 723,7м								
Коэффициент отражения поверхности $\rho$	исходные данные	1	1	1	1	1	1	1	1	1
Поправка на телесный угол $DQ$ , дБ	$\Omega = 3,14$	6	6	6	6	6	6	6	6	6
Показатель направленности источника $D_i$ , дБ	угол разности = 101,6°	-1,3	-1,3	-1,3	-1,3	-1,3	-1,3	-1,3	-1,3	-1,3
Поправка на направленность источника $D_{ir}$ , дБ	$DQ + Di$	4,7	4,7	4,7	4,7	4,7	4,7	4,7	4,7	4,7
Уровни звуковой мощности мнимого источника днём, дБ		0	70,9	76	77,9	76,7	74	68,6	62,9	56,9
Уровни звуковой мощности мнимого источника ночью, дБ		0	70,9	76	77,9	76,7	74	68,6	62,9	56,9
Затухание из-за геометрической дивергенции, $A_{\text{див}}$ , дБ	расстояние = 728,29 м	68,2								
Коэффициент затухания звука в атмосфере $\alpha$ , дБ/км	$T_a=20^\circ\text{C}$ , $P_a=101.33\text{кПа}$ $\text{hотп.}=70\%$	0,02	0,09	0,33	1,12	2,79	4,98	9,04	23,09	77,63
Учет затухания звука в атмосфере $A_{\text{атм}}$ , дБ		0	0,1	0,2	0,8	2	3,6	6,6	16,8	56,5
Снижение поверхностью земли возле источника $A_s$ , дБ	$G_s = 0 \text{ hс} = 5\text{м}$	-1,5	-1,5	-1,5	-1,5	-1,5	-1,5	-1,5	-1,5	-1,5
Снижение поверхностью земли возле приёмника $A_r$ , дБ	$G_r = 0 \text{ hр} = 1,5\text{м}$	-1,5	-1,5	-1,5	-1,5	-1,5	-1,5	-1,5	-1,5	-1,5
Снижение поверхностью земли в средней зоне, $A_m$ дБ	$G_m = 0$	-2,2	-2,2	-2,2	-2,2	-2,2	-2,2	-2,2	-2,2	-2,2
Суммарное снижение поверхностью земли на траектории распространения звука $A_{\text{гр}}$ , дБ		-5,2	-5,2	-5,2	-5,2	-5,2	-5,2	-5,2	-5,2	-5,2
Критерий наличия отражения в октавной полосе	$l_{\text{min}} = 6 \text{ м}$	нет	нет	да	да	да	да	да	да	да
Уровни звукового давления от мнимого источника ИШ-123_мн.(1) в расчётной точке днём, дБ		0	0	12,7	14,1	11,6	7,4	0	0	12,1
Уровни звукового давления от мнимого источника ИШ-123_мн.(1) в расчётной точке ночью, дБ		0	0	12,7	14,1	11,6	7,4	0	0	12,1
<b>Мнимый источник ИШ-123_мн.(2), образованный отражением от поверхности препятствия Экран 20</b>										
Координаты точки отражения (x,y,z), м	(2249069,2,411699,9,4,4)	Дистанция между ИШ и ИШМ: R(ИШ-ИШМ) = 183,5м Дистанция между ИШМ и РТ: R(ИШМ-РТ) = 908,2м								
Коэффициент отражения поверхности $\rho$	исходные данные	1	1	1	1	1	1	1	1	1
Поправка на телесный угол $DQ$ , дБ	$\Omega = 3,14$	6	6	6	6	6	6	6	6	6
Показатель направленности источника $D_i$ , дБ	угол разности = 80,6°	0,6	0,6	0,6	0,6	0,6	0,6	0,6	0,6	0,6
Поправка на направленность источника $D_{ir}$ , дБ	$DQ + Di$	6,7	6,7	6,7	6,7	6,7	6,7	6,7	6,7	6,7
Уровни звуковой мощности мнимого источника днём, дБ		0	72,9	78	79,9	78,7	76	70,6	64,9	58,9
Уровни звуковой мощности мнимого источника ночью, дБ		0	72,9	78	79,9	78,7	76	70,6	64,9	58,9
Затухание из-за геометрической дивергенции, $A_{\text{див}}$ , дБ	расстояние = 1091,67 м	71,8								
Коэффициент затухания звука в атмосфере $\alpha$ , дБ/км	$T_a=20^\circ\text{C}$ , $P_a=101.33\text{кПа}$ $\text{hотп.}=70\%$	0,02	0,09	0,33	1,12	2,79	4,98	9,04	23,09	77,63
Учет затухания звука в атмосфере $A_{\text{атм}}$ , дБ		0	0,1	0,4	1,2	3	5,4	9,9	25,2	84,7
Снижение поверхностью земли возле источника $A_s$ , дБ	$G_s = 0 \text{ hс} = 5\text{м}$	-1,5	-1,5	-1,5	-1,5	-1,5	-1,5	-1,5	-1,5	-1,5
Снижение поверхностью земли возле приёмника $A_r$ , дБ	$G_r = 0 \text{ hр} = 1,5\text{м}$	-1,5	-1,5	-1,5	-1,5	-1,5	-1,5	-1,5	-1,5	-1,5
Снижение поверхностью земли в средней зоне, $A_m$ дБ	$G_m = 0$	-2,4	-2,4	-2,4	-2,4	-2,4	-2,4	-2,4	-2,4	-2,4
Суммарное снижение поверхностью земли на траектории распространения звука $A_{\text{гр}}$ , дБ		-5,4	-5,4	-5,4	-5,4	-5,4	-5,4	-5,4	-5,4	-5,4
Критерий наличия отражения в октавной полосе	$l_{\text{min}} = 26 \text{ м}$	нет	нет	нет	да	да	да	да	да	да
Уровни звукового давления от мнимого источника ИШ-123_мн.(2) в расчётной точке днём, дБ		0	0	0	12,2	9,2	0	0	0	8
Уровни звукового давления от мнимого источника ИШ-123_мн.(2) в расчётной точке ночью, дБ		0	0	0	12,2	9,2	0	0	0	8











Поправка на направленность источника Dc, дБ		D <sub>0</sub> + D <sub>i</sub>		3	3	3	3	3	3	3	3	3	3
Затухание из-за геометрической дивергенции, Adiv, дБ		Dc		70,9									
Кэффициент затухания звука в атмосфере α, дБ/км		расстояние = 985.12 м		0,02	0,09	0,33	1,12	2,79	4,98	9,04	23,09	77,63	
Учет затухания звука в атмосфере Aatm, дБ		Ta=20; C Pa=101.33, kPa лотн.=70%		0	0,1	0,3	1,1	2,7	4,9	8,9	22,7	76,5	
<b>Снижение уровня звукового давления из-за влияния застройки между источником шума и расчётной точкой</b>													
Промежуточные точки:		Pst(k,y,z) = (2249112,47;411847,86;18,00)		dss = 69,71 м		dsg = 890,75 м		e = 26,91 м		z = 2,26 м			
Траектория над экраном		Константа C2, учитывающая эффект отражения от земли возле экрана		40	40	40	40	40	40	40	40	40	40
		Константа C3 (дифракция на краяхах)		1,2	1,5	2,1	2,7	2,9	3	3	3	3	3
		Kнет (влияние метеословий)		0,2	0,2	0,2	0,2	0,2	0,2	0,2	0,2	0,2	0,2
		Снижение УЗД, Dz, дБ		6,6	8,4	11,5	14,9	18,1	21,1	24,1	27,1	30,1	
Общее снижение уровня звука препятствием с учётом ограничения (25 дБ) для октавных полос Dv, дБ		Раздел 7.4 [10]		6,6	8,4	11,5	14,9	18,1	21,1	24,1	25	25	
Уровни звукового давления прямого звука от источника ИШ-134 в расчётной точке днём, дБ		Pst(k,y,z) = (2249112,47;411847,86;18,00)		13,5		11,6		8,3		4,1		0	
Уровни звукового давления прямого звука от источника ИШ-134 в расчётной точке ночью, дБ		Pst(k,y,z) = (2249112,47;411847,86;18,00)		13,5		11,6		8,3		4,1		0	
<b>Расчёт отражённого звука</b>													
<b>Мнимый источник ИШ-134_мн.(1), образованный отражением от поверхности препятствия КС общестанционная</b>													
Координаты точки отражения (X,y,z), м		(2249039,1;411874,7;1,0)											
Дистанция между ИШ и ИШм: R(ИШ-ИШм) = 11,9м		Дистанция между ИШм и РТ: R(ИШм-РТ) = 995,4м											
Кэффициент отражения поверхности ρ		исходные данные		1	1	1	1	1	1	1	1	1	1
Поправка на телесный угол DΩ, дБ		10Lg(4π/Ω)		3	3	3	3	3	3	3	3	3	3
Показатель направленности источника Di, дБ		исходные данные		0	0	0	0	0	0	0	0	0	0
Поправка на направленность источника Dig, дБ		Dir		3	3	3	3	3	3	3	3	3	3
Уровни звуковой мощности мнимого источника днём, дБ		D <sub>0</sub> + D <sub>i</sub>		91	91	91	91	91	91	91	91	91	91
Уровни звуковой мощности мнимого источника ночью, дБ		Ф-ла [20][10]		91	91	91	91	91	91	91	91	91	91
Затухание из-за геометрической дивергенции, Adiv, дБ		Ф-ла [7] [10]		71,1									
Кэффициент затухания звука в атмосфере α, дБ/км		расстояние = 1007,31 м		0,02	0,09	0,33	1,12	2,79	4,98	9,04	23,09	77,63	
Учет затухания звука в атмосфере Aatm, дБ		Ta=20; C Pa=101.33, kPa лотн.=70%		0	0,1	0,3	1,1	2,8	5	9,1	23,3	78,2	
<b>Снижение уровня звукового давления из-за влияния застройки между источником шума и расчётной точкой</b>													
Промежуточные точки:		Pst(k,y,z) = (2249090,48;411851,55;18,09)		dss = 58,84 м		dsg = 889,33 м		e = 49,89 м		z = 2,69 м			
Траектория над экраном		Константа C2, учитывающая эффект отражения от земли возле экрана		40	40	40	40	40	40	40	40	40	40
		Константа C3 (дифракция на краяхах)		1,4	2,1	2,6	2,9	3	3	3	3	3	3
		Kнет (влияние метеословий)		0,2	0,2	0,2	0,2	0,2	0,2	0,2	0,2	0,2	0,2
		Снижение УЗД, Dz, дБ		7,8	10,7	14	17,1	20,1	23,1	26,1	29	32,1	
Общее снижение уровня звука препятствием с учётом ограничения (25 дБ) для октавных полос Dz, дБ		Раздел 7.4 [10]		7,8	10,7	14	17,1	20,1	23,1	25	25	25	
Критерий наличия отражения в октавной полосе		lmin = 33,5 м		нет									
Уровни звукового давления от мнимого источника ИШ-134_мн.(1) в расчётной точке днём, дБ		Ф-ла [19][10]		нет									
Уровни звукового давления от мнимого источника ИШ-134_мн.(1) в расчётной точке ночью, дБ		Ф-ла [3][10]		0									
Уровни звукового давления в расчётной точке		Ф-ла [3][10]		0									
<b>Уровни звукового давления в расчётной точке</b>													
Суммарные уровни звукового давления в расчётной точке от всех источников шума днём, L <sub>вс</sub> , дБ		Ф-ла [19] [1]		0	50,7	43,8	41,7	38,3	32	27,5	8,1	0	39,3
Суммарные уровни звукового давления в расчётной точке от всех источников шума ночью, L <sub>вс</sub> , дБ		Ф-ла [19] [1]		0	50,7	43,8	41,6	38,2	31,9	27,4	8,1	0	39,2
Допускаемые УЗД днём, Lдоп, дБ		Табл. 3[2]		85	70	61	54	49	45	42	40	39	50
Допускаемые УЗД ночью, Lдоп, дБ		Табл. 3[2]		78	62	52	44	39	35	32	30	28	40
с учётом поправки -5 дБ на работу технологического оборудования													
Превышение днём, дБ		Lрт - Lдоп		-85	-19,3	-17,2	-12,3	-10,7	-13	-14,5	-31,9	-39	-30,4
Превышение ночью, дБ		Lрт - Lдоп		-78	-11,3	-8,2	-2,4	-0,8	-3,1	-4,6	-21,9	-28	-20,8

## Расчет уровней звуковой мощности ограждающих конструкций

Параметры расчета	Значения рассчитываемой величины, дБ, в октавных полосах частот со средними геометрическими частотами, Гц								УЗ, дБА
	63	125	250	500	1k	2k	4k	8k	
<b>Котельный зал</b>									
Primary air fan (основной вентилятор), 3 ед.	102,0	102,1	100,0	95,8	92,1	86,7	81,0	75,0	97,8
Secondary air fan (вспомогательный вентилятор), 3 ед.	97,0	97,1	95,0	90,8	87,1	81,7	76,0	70,0	92,8
Flue gas recirculation fan (вентилятор рециркуляции дымовых газов), 3 ед.	92,0	92,1	90,0	85,8	82,1	76,7	71,0	65,0	87,8
Burners fan (вентилятор горелки), 3 ед.	97,0	97,1	95,0	90,8	87,1	81,7	76,0	70,0	92,8
Burners (горелка), 3 ед.	74,1	76,3	79,0	83,3	86,3	87,6	85,8	81,4	92,7
Bottom ash extractor incl. vibrating conveyor, 3 ед.	108,8	95,8	94,3	96,7	91,9	90,0	81,9	69,3	97,7
Boiler ash chain conveyor (цепной транспортер золы бойлера), 3 ед.	108,8	95,8	94,3	96,7	91,9	90,0	81,9	69,3	97,7
Boiler soothblowers (воздуходувки котла), 3 ед.	102,0	102,1	100,0	95,8	92,1	86,7	81,0	75,0	97,8
Rapping system (система встряхивания электродов электрофильтра), 3 ед.	91,1	92,5	93,8	94,1	93,7	90,4	86,2	81,7	97,8
Hydraulic station (гидравлическая станция), 3 ед.	97,0	97,1	95,0	90,8	87,1	81,7	76,0	70,0	92,8
Bottom ash conveyor (нижний транспортер золы), 3 ед.	103,8	90,8	89,3	91,7	86,9	85,0	76,9	64,3	92,7
E-house - Air conditioning system, 3 ед.	87,0	87,1	85,0	80,8	77,1	71,7	66,0	60,0	82,8
Сумма	113,5	107,8	105,9	104,0	100,5	97,3	91,8	86,0	106,0
k	1,25	1,25	1,25	1,25	1,25	1,25	1,25	1,25	
$\alpha_{ср}^*$	0,07	0,08	0,08	0,08	0,08	0,09	0,09	0,09	
$S_{орг}$	16960	16960	16960	16960	16960	16960	16960	16960	
A	1187,2	1356,8	1356,8	1356,8	1356,8	1526,4	1526,4	1526,4	
B	1276,6	1474,8	1474,8	1474,8	1474,8	1677,4	1677,4	1677,4	
Западный фасад помещения, $S_{орг}$ , м <sup>2</sup>	2000	2000	2000	2000	2000	2000	2000	2000	
Южный фасад помещения, $S_{орг}$ , м <sup>2</sup>	2880	2880	2880	2880	2880	2880	2880	2880	
Восточный фасад помещения, $S_{орг}$ , м <sup>2</sup>	1000	1000	1000	1000	1000	1000	1000	1000	
ЗИ (минимальная) эталонного стеклопакета 10-16-44,2, содержащего многослойное стекло с звукопоглощающим промежуточным слоем ГОСТ 12758-2015	25,4	21,2	32,4	39,7	43,6	47,9	49,4	49,4	
Сэндвич-панель, 150, ЗИ, дБ	18	22	25	30	32	30	40	45	
Площадь сэндвич-панели, м <sup>2</sup>	2000	2000	2000	2000	2000	2000	2000	2000	
Звукоизоляция стены с окном	17,0	17,6	24,0	29,4	31,6	29,9	39,3	43,2	
Западный фасад здания, $L_w$ , дБ	96,5	86,1	81,3	74,3	68,9	67,1	51,6	40,8	78,3
Южный фасад здания, $L_w$ , дБ	98,1	87,7	82,9	75,9	70,4	68,7	53,2	42,4	79,8



Параметры расчета	Значения рассчитываемой величины, дБ, в октавных полосах частот со средними геометрическими частотами, Гц								УЗ, дБА
	63	125	250	500	1k	2k	4k	8k	
*Значение $\alpha_{ср}$ принято в соответствии с рекомендациями инструктивно-нормативного издания: "Руководство по расчету и проектированию шумоглушения в промышленных зданиях", НИИСФ, Стройиздат, 1982 г.									

Параметры расчета	Значения рассчитываемой величины, дБ, в октавных полосах частот со средними геометрическими частотами, Гц								УЗ, дБА
	63	125	250	500	1k	2k	4k	8k	
<b>Система очистки дымовых газов</b>									
Bag filters compressed air cleaning (рукавные фильтры очистки сжатого воздуха), 6 ед.	82,0	82,1	80,0	75,8	72,1	66,7	61,0	55,0	77,8
Hydrated lime blower УЗМ, 3 ед.	100,0	100,1	98,0	93,8	90,1	84,7	79,0	73,0	95,8
Active Carbon blower УЗМ	95,2	95,3	93,2	89	85,3	79,9	74,2	68,2	91,0
ID fan УЗМ, 3 ед.	109,0	109,1	107,0	102,8	99,1	93,7	88,0	82,0	104,8
E-house - Air conditioning system, 3 ед.	87,0	87,1	85,0	80,8	77,1	71,7	66,0	60,0	82,8
Суммарный УЗМ, дБ	109,7	109,8	107,7	103,5	99,8	94,4	88,7	82,7	105,5
k	1,25	1,25	1,25	1,25	1,25	1,25	1,25	1,25	
$\alpha_{ср}^*$	0,07	0,08	0,08	0,08	0,08	0,09	0,09	0,09	
$S_{огр}$	13500	13500	13500	13500	13500	13500	13500	13500	
A	945,0	1080,0	1080,0	1080,0	1080,0	1215,0	1215,0	1215,0	
B	1016,1	1173,9	1173,9	1173,9	1173,9	1335,2	1335,2	1335,2	
Западный фасад помещения, $S_{огр}, M^2$	1350	1350	1350	1350	1350	1350	1350	1350	
Северный (южный) фасад помещения, $S_{огр}, M^2$	2160	2160	2160	2160	2160	2160	2160	2160	
Восточный фасад помещения, $S_{огр}, M^2$	450,0	450,0	450,0	450,0	450,0	450,0	450,0	450,0	
ЗИ (минимальная) эталонного стеклопакета 10-16-44,2, содержащего многослойное стекло с звукопоглощающим промежуточным слоем ГОСТ 12758-2015	25,4	21,2	32,4	39,7	43,6	47,9	49,4	49,4	
Сэндвич-панель, 150, ЗИ, дБ	18	22	25	30	32	30	40	45	
Площадь сэндвич-панели, $M^2$	1350	1350	1350	1350	1350	1350	1350	1350	
Звукоизоляция стены с окном	16,9	17,3	23,9	29,3	31,5	29,9	39,3	43,0	
Западный фасад здания, $L_w$ , дБ	91,9	87,4	82,3	73,1	67,4	63,5	47,8	36,8	77,7
Северный (южный) фасад здания, $L_w$ , дБ	94,0	89,5	84,4	75,2	69,5	65,5	49,8	38,8	79,8
Восточный фасад здания, $L_w$ , дБ	87,2	82,6	77,5	68,3	62,6	58,7	43,0	32,0	72,9
<b>Турбинный зал</b>									
Feed water pumps, enclosure (питательные насосы), $r_0=1$ м	84,2	84,3	82,2	78	74,3	68,9	63,2	57,2	80
3 насоса, УЗМ	97,0	97,1	95,0	90,8	87,1	81,7	76,0	70,0	92,8
Condensate pumps (конденсатный насос), $r_0=1$ м	92,2	92,3	90,2	86,0	82,3	76,9	71,2	65,2	88,0
Turbine+Generator (турбогенератор)	88,9	89,7	90,4	90,2	88,7	85,1	80,6	75,9	93,0
НР/МР station	97,2	97,3	95,2	91,0	87,3	81,9	76,2	70,2	93,0
Steam jet ejector system	94,2	96,8	94,7	91,2	87,4	81,9	76,0	68,9	92,9



Параметры расчета	Значения рассчитываемой величины, дБ, в октавных полосах частот со средними геометрическими частотами, Гц								УЗ, дБА
	63	125	250	500	1к	2к	4к	8к	
<b>А</b>	113,4	129,6	129,6	129,6	129,6	145,8	145,8	145,8	
<b>В</b>	121,9	140,9	140,9	140,9	140,9	160,2	160,2	160,2	
Западный фасад здания, $S_{огр}$ , м <sup>2</sup>	450,0	450,0	450,0	450,0	450,0	450,0	450,0	450,0	
Северный фасад здания, $S_{огр}$ , м <sup>2</sup>	240,0	240,0	240,0	240,0	240,0	240,0	240,0	240,0	
ЗИ (минимальная) эталонного стеклопакета 10-16-44,2, содержащего многослойное стекло с звукопоглощающим промежуточным слоем ГОСТ 12758-2015	25,4	21,2	32,4	39,7	43,6	47,9	49,4	49,4	
Сэндвич-панель, 150, ЗИ, дБ	18	22	25	30	32	30	40	45	
Площадь сэндвич-панели, м <sup>2</sup>	450	450	450	450	450	450	450	450	
Звукоизоляция стены с окном	17,6	19,8	24,6	29,8	31,8	30,0	39,7	44,2	
Западный фасад здания, $L_w$ , дБ	88,0	82,8	75,8	69,3	66,4	64,4	50,2	40,7	73,7
Северный фасад здания, $L_w$ , дБ	85,3	80,1	73,1	66,5	63,6	61,7	47,4	38,0	71,0
*Значение $a_{ср}$ принято в соответствии с рекомендациями инструктивно-нормативного издания: "Руководство по расчету и проектированию шумоглушения в промышленных зданиях", НИИСФ, Стройиздат, 1982 г.									

Параметры расчета	Значения рассчитываемой величины, дБ, в октавных полосах частот со средними геометрическими частотами, Гц								УЗ, дБА
	63	125	250	500	1к	2к	4к	8к	
<b>Насосная станция противопожарного водоснабжения (и хозяйственно-питьевого водоснабжения)</b>									
Насосная установка типа УНВ 3 ЗМ50-200, 15кВт, 2900 об./мин., УЗМ	100,2	100,3	98,2	94	90,3	84,9	79,2	73,2	96,0
<b>к</b>	1,25	1,25	1,25	1,25	1,25	1,25	1,25	1,25	
$\alpha_{ср}^*$	0,07	0,08	0,08	0,08	0,08	0,09	0,09	0,09	
$S_{огр}$	576	576	576	576	576	576	576	576	
<b>А</b>	40,3	46,1	46,1	46,1	46,1	51,8	51,8	51,8	
<b>В</b>	43,4	50,1	50,1	50,1	50,1	57,0	57,0	57,0	
Западный фасад здания, $S_{огр}$ , м <sup>2</sup>	72,0	72,0	72,0	72,0	72,0	72,0	72,0	72,0	
Северный фасад здания, $S_{огр}$ , м <sup>2</sup>	72,0	72,0	72,0	72,0	72,0	72,0	72,0	72,0	
ЗИ (минимальная) эталонного стеклопакета 10-16-44,2, содержащего многослойное стекло с звукопоглощающим промежуточным слоем ГОСТ 12758-2015	25,4	21,2	32,4	39,7	43,6	47,9	49,4	49,4	
Сэндвич-панель, 150, ЗИ, дБ	18	22	25	30	32	30	40	45	
Площадь сэндвич-панели, м <sup>2</sup>	67,7	67,7	67,7	67,7	67,7	67,7	67,7	67,7	
Площадь остекления, м <sup>2</sup>	4,3	4,3	4,3	4,3	4,3	4,3	4,3	4,3	
Звукоизоляция стены с окном	18,2	21,9	25,2	30,2	32,2	30,3	40,2	45,2	
Западный (южный, восточный) фасад здания, $L_w$ , дБ	83,2	79,0	73,6	64,4	58,7	54,7	39,0	28,1	69,0
Северный фасад здания, $L_w$ , дБ	83,4	78,9	73,8	64,6	58,9	54,9	39,2	28,2	69,2
*Значение $a_{ср}$ принято в соответствии с рекомендациями инструктивно-нормативного издания: "Руководство по расчету и проектированию шумоглушения в промышленных зданиях", НИИСФ, Стройиздат, 1982 г.									



Параметры расчета	Значения рассчитываемой величины, дБ, в октавных полосах частот со средними геометрическими частотами, Гц								УЗ, дБА
	63	125	250	500	1k	2k	4k	8k	
Решетка, Lw, дБ	69,3	80,7	79,7	76,7	73,7	73,1	65,1	66,1	79,8
Турбинное отделение (пом. 5/101), П10, KLG 400	77	86	82	82	78	74	65	67	83,3
Фильтровальный зал (пом. 5/302), П33, KLG 100	67	74	77	74	69	65	60	58	75,2
Тамбур (пом. 5/403), П36, ВК 160	82	80	77	72	65	65	57	55	74
Суммарный УЗМ, дБ	83,3	87,2	84,1	83,0	78,7	75,0	66,7	67,8	84,3
k	1,25	1,25	1,25	1,25	1,25	1,25	1,25	1,25	
$\alpha_{ср}^*$	0,07	0,08	0,08	0,08	0,08	0,09	0,09	0,09	
S <sub>огр</sub> , приточная шахта, 12*2 сечение, высота 10 м	328	328	328	328	328	328	328	328	
A	23,0	26,2	26,2	26,2	26,2	29,5	29,5	29,5	
B	24,7	28,5	28,5	28,5	28,5	32,4	32,4	32,4	
Решетка, S <sub>огр</sub> , м <sup>2</sup>	4,0	4,0	4,0	4,0	4,0	4,0	4,0	4,0	
Решетка, Lw, дБ	74,4	77,7	74,6	73,5	69,2	64,9	56,6	57,7	74,7
Турбинное отделение (пом. 5/101), П11, KLG 400	77	86	82	82	78	74	65	67	83,3
k	1,25	1,25	1,25	1,25	1,25	1,25	1,25	1,25	
$\alpha_{ср}^*$	0,07	0,08	0,08	0,08	0,08	0,09	0,09	0,09	
S <sub>огр</sub> , приточная шахта, 12*2 сечение, высота 10 м	328	328	328	328	328	328	328	328	
A	23,0	26,2	26,2	26,2	26,2	29,5	29,5	29,5	
B	24,7	28,5	28,5	28,5	28,5	32,4	32,4	32,4	
Решетка, S <sub>огр</sub> , м <sup>2</sup>	3,7	3,7	3,7	3,7	3,7	3,7	3,7	3,7	
Решетка, Lw, дБ	67,8	76,2	72,2	72,2	68,2	63,6	54,6	56,6	73,4
Помещение АБ (пом. 5/306), кислотная (пом. 5/307), П29, KLG 040	66	61	67	71	64	61	58	54	70,8
Тамбур (пом.5/308), П30, FLG-012-2P-W	37,1	47,1	54,1	60,1	63,1	64,1	64,1	62,1	70,2
Суммарный УЗМ, дБ	66,0	61,2	67,2	71,3	66,6	65,8	65,1	62,7	73,5
k	1,25	1,25	1,25	1,25	1,25	1,25	1,25	1,25	
$\alpha_{ср}^*$	0,07	0,08	0,08	0,08	0,08	0,09	0,09	0,09	
S <sub>огр</sub> , приточная камерв, 5,5*1 сечение, высота 5 м	76	76	76	76	76	76	76	76	
A	5,3	6,1	6,1	6,1	6,1	6,8	6,8	6,8	
B	5,7	6,6	6,6	6,6	6,6	7,5	7,5	7,5	
Решетка, S <sub>огр</sub> , м <sup>2</sup>	0,4	0,4	0,4	0,4	0,4	0,4	0,4	0,4	
Решетка, Lw, дБ	53,1	47,6	53,7	57,8	53,0	51,7	50,9	48,6	59,7
Экспресс-лаборатория ВХР и ХВО (пом.5/315), П31, KLG 040	65	60	68	69	64	60	57	53	69,7
Помещения складов ВХР и ХВО (пом.5/104-5/110), П32, KLG 040	69	65	79	76	70	68	65	66	77,4
Суммарный УЗМ, дБ	70,5	66,2	79,3	76,8	71,0	68,6	65,6	66,2	78,1
k	1,25	1,25	1,25	1,25	1,25	1,25	1,25	1,25	
$\alpha_{ср}^*$	0,07	0,08	0,08	0,08	0,08	0,09	0,09	0,09	

Параметры расчета	Значения рассчитываемой величины, дБ, в октавных полосах частот со средними геометрическими частотами, Гц								УЗ, дБА
	63	125	250	500	1k	2k	4k	8k	
S <sub>орг</sub> , приточная камерв, 5,8*0,9 сечение, высота 5 м	77	77	77	77	77	77	77	77	
A	5,4	6,2	6,2	6,2	6,2	7,0	7,0	7,0	
B	5,8	6,7	6,7	6,7	6,7	7,7	7,7	7,7	
Решетка, S <sub>орг</sub> , м <sup>2</sup>	0,9	0,9	0,9	0,9	0,9	0,9	0,9	0,9	
Решетка, L <sub>w</sub> , дБ	61,6	56,7	69,8	67,3	61,5	58,6	55,6	56,1	68,5
Турбинное отделение (пом.5/101), П10, KLG 400	77	86	82	82	78	74	65	67	83,3
Фильтровальный зал (пом.5/302), П33, KLG 100	67	74	77	74	69	65	60	58	75,2
Тамбур (пом. 5/403), П36, ВК 160	82	80	77	72	65	65	57	55	74
Суммарный УЗМ, дБ	83,3	87,2	84,1	83,0	78,7	75,0	66,7	67,8	84,3
k	1,25	1,25	1,25	1,25	1,25	1,25	1,25	1,25	
α <sub>ср</sub> *	0,07	0,08	0,08	0,08	0,08	0,09	0,09	0,09	
S <sub>орг</sub> , приточная шахта, 12*2 сечение, высота 10 м	328	328	328	328	328	328	328	328	
A	23,0	26,2	26,2	26,2	26,2	29,5	29,5	29,5	
B	24,7	28,5	28,5	28,5	28,5	32,4	32,4	32,4	
Решетка, S <sub>орг</sub> , м <sup>2</sup>	4,0	4,0	4,0	4,0	4,0	4,0	4,0	4,0	
Решетка, L <sub>w</sub> , дБ	74,4	77,7	74,6	73,5	69,2	64,9	56,6	57,7	74,7
Турбинное отделение (пом.5/101), П11, KLG 400	77	86	82	82	78	74	65	67	83,3
k	1,25	1,25	1,25	1,25	1,25	1,25	1,25	1,25	
α <sub>ср</sub> *	0,07	0,08	0,08	0,08	0,08	0,09	0,09	0,09	
S <sub>орг</sub> , приточная шахта, 12*2 сечение, высота 10 м	328	328	328	328	328	328	328	328	
A	23,0	26,2	26,2	26,2	26,2	29,5	29,5	29,5	
B	24,7	28,5	28,5	28,5	28,5	32,4	32,4	32,4	
Решетка, S <sub>орг</sub> , м <sup>2</sup>	3,7	3,7	3,7	3,7	3,7	3,7	3,7	3,7	
Решетка, L <sub>w</sub> , дБ	67,8	76,2	72,2	72,2	68,2	63,6	54,6	56,6	73,4
Помещение АБ (пом. 5/306), кислотная (пом. 5/307), П29, KLG 040	66	61	67	71	64	61	58	54	70,8
Тамбур (пом.5/308), П30, FLG-012-2P-W	37,1	47,1	54,1	60,1	63,1	64,1	64,1	62,1	70,2
Суммарный УЗМ, дБ	66,0	61,2	67,2	71,3	66,6	65,8	65,1	62,7	73,5
k	1,25	1,25	1,25	1,25	1,25	1,25	1,25	1,25	
α <sub>ср</sub> *	0,07	0,08	0,08	0,08	0,08	0,09	0,09	0,09	
S <sub>орг</sub> , приточная камерв, 5,5*1 сечение, высота 5 м	76	76	76	76	76	76	76	76	
A	5,3	6,1	6,1	6,1	6,1	6,8	6,8	6,8	
B	5,7	6,6	6,6	6,6	6,6	7,5	7,5	7,5	
Решетка, S <sub>орг</sub> , м <sup>2</sup>	0,4	0,4	0,4	0,4	0,4	0,4	0,4	0,4	
Решетка, L <sub>w</sub> , дБ	53,1	47,6	53,7	57,8	53,0	51,7	50,9	48,6	59,7
Экспресс-лаборатория ВХР и ХВО (пом.5/315), П31, KLG 040	65	60	68	69	64	60	57	53	69,7



Параметры расчета	Значения рассчитываемой величины, дБ, в октавных полосах частот со средними геометрическими частотами, Гц								УЗ, дБА
	63	125	250	500	1k	2k	4k	8k	
Решетка, Lw, дБ	53,1	47,6	53,7	57,8	53,0	51,7	50,9	48,6	59,7
Экспресс-лаборатория ВХР и ХВО (пом.5/315), П31, KLG 040	65	60	68	69	64	60	57	53	69,7
Помещения складов ВХР и ХВО (пом.5/104-5/110), П32, KLG 040	69	65	79	76	70	68	65	66	77,4
Суммарный УЗМ, дБ	70,5	66,2	79,3	76,8	71,0	68,6	65,6	66,2	78,1
k	1,25	1,25	1,25	1,25	1,25	1,25	1,25	1,25	
$\alpha_{ср}^*$	0,07	0,08	0,08	0,08	0,08	0,09	0,09	0,09	
S <sub>огр</sub> , приточная камерв, 5,8*0,9 сечение, высота 5 м	77	77	77	77	77	77	77	77	
A	5,4	6,2	6,2	6,2	6,2	7,0	7,0	7,0	
B	5,8	6,7	6,7	6,7	6,7	7,7	7,7	7,7	
Решетка, S <sub>огр</sub> , м <sup>2</sup>	0,9	0,9	0,9	0,9	0,9	0,9	0,9	0,9	
Решетка, Lw, дБ	61,6	56,7	69,8	67,3	61,5	58,6	55,6	56,1	68,5
Турбинное отделение (пом. 5/101), П10, KLG 400	77	86	82	82	78	74	65	67	83,3
Фильтровальный зал (пом. 5/302), П33, KLG 100	67	74	77	74	69	65	60	58	75,2
Тамбур (пом. 5/403), П36, ВК 160	82	80	77	72	65	65	57	55	74
Суммарный УЗМ, дБ	83,3	87,2	84,1	83,0	78,7	75,0	66,7	67,8	84,3
k	1,25	1,25	1,25	1,25	1,25	1,25	1,25	1,25	
$\alpha_{ср}^*$	0,07	0,08	0,08	0,08	0,08	0,09	0,09	0,09	
S <sub>огр</sub> , приточная шахта, 12*2 сечение, высота 10 м	328	328	328	328	328	328	328	328	
A	23,0	26,2	26,2	26,2	26,2	29,5	29,5	29,5	
B	24,7	28,5	28,5	28,5	28,5	32,4	32,4	32,4	
Решетка, S <sub>огр</sub> , м <sup>2</sup>	4,0	4,0	4,0	4,0	4,0	4,0	4,0	4,0	
Решетка, Lw, дБ	74,4	77,7	74,6	73,5	69,2	64,9	56,6	57,7	74,7